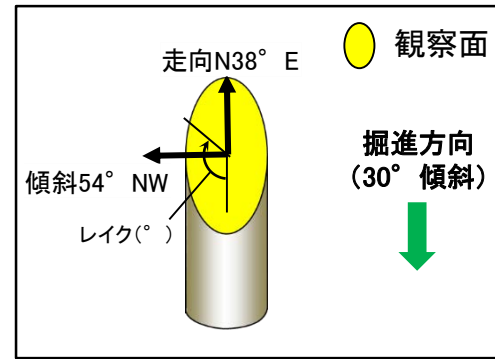
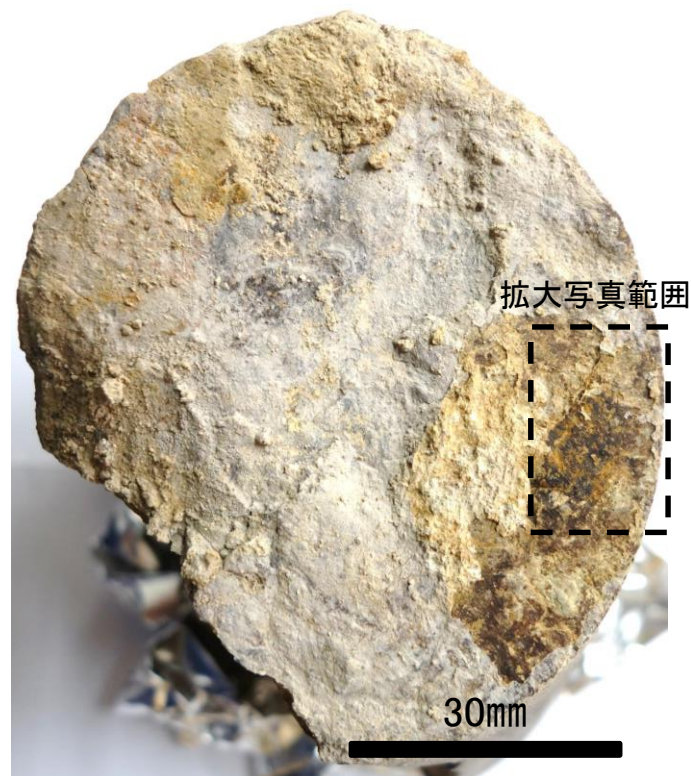


# 条線観察結果 ボーリングE-8.50' 孔[深度113.10m](下盤側)



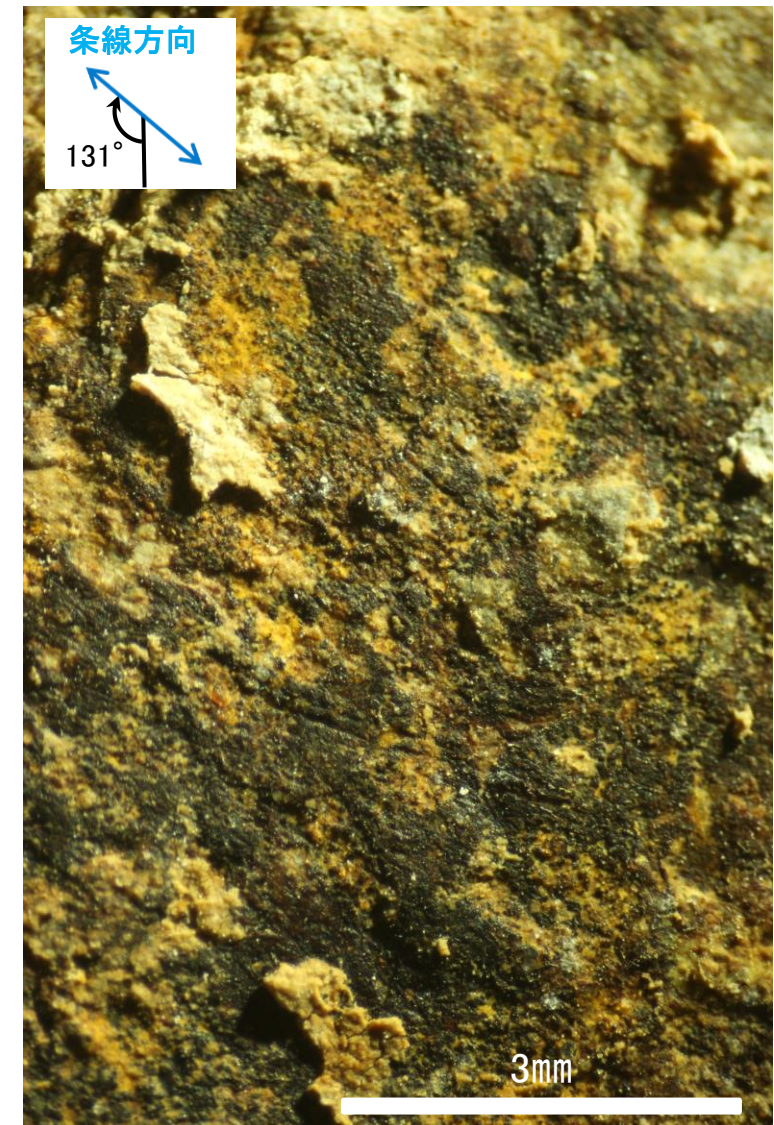
概念図  
※走向は真北で示す。



観察面写真



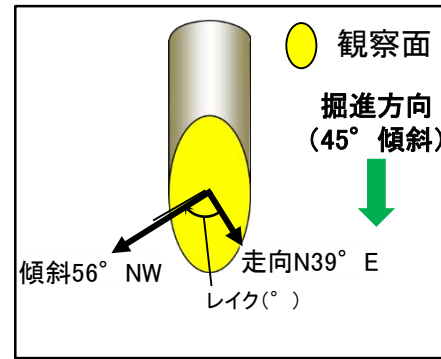
観察面拡大写真



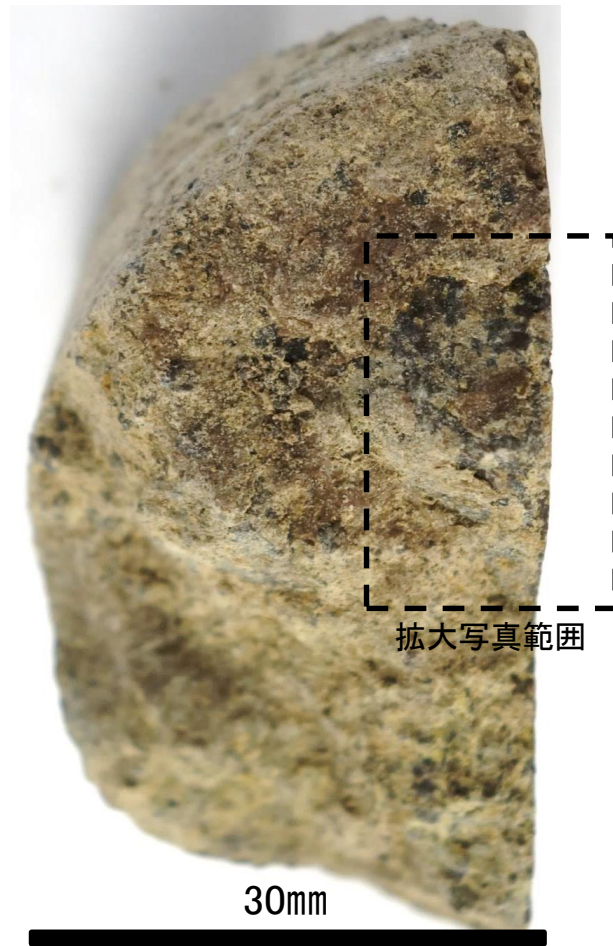
詳細観察写真

・条線のレイクは131° R, 変位センスは不明

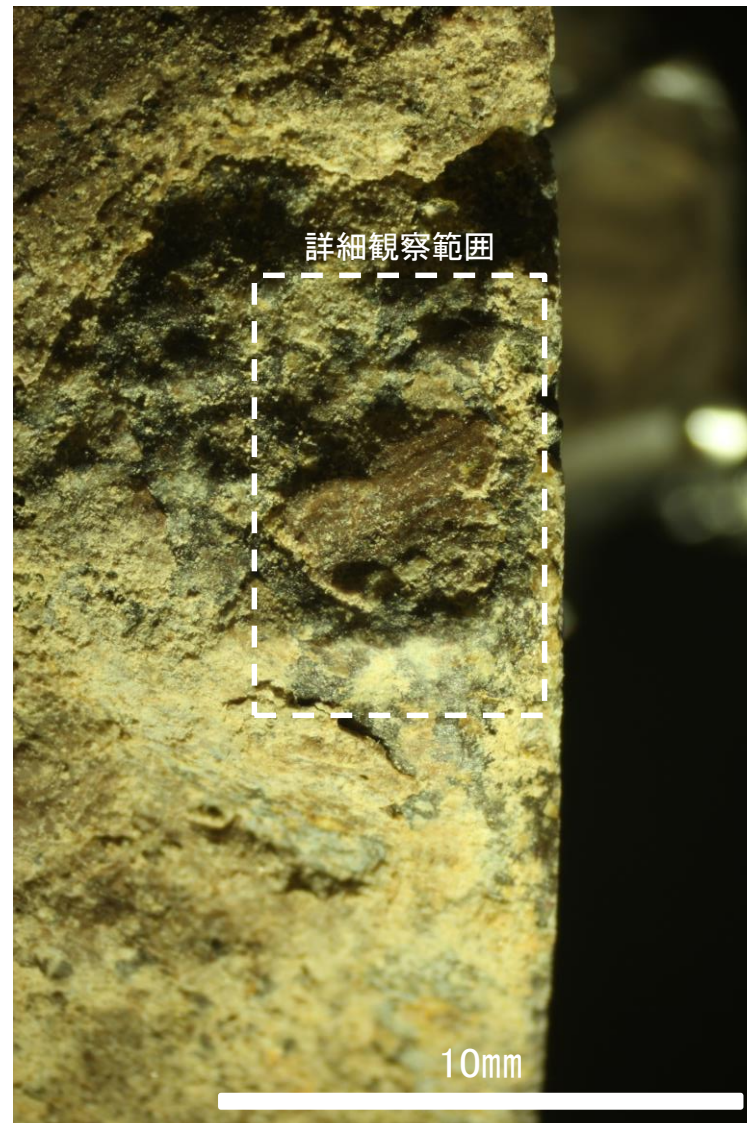
# 条線観察結果 ボーリングH-6.4孔[深度94.65m](上盤側)



概念図  
※走向は真北で示す。



観察面写真



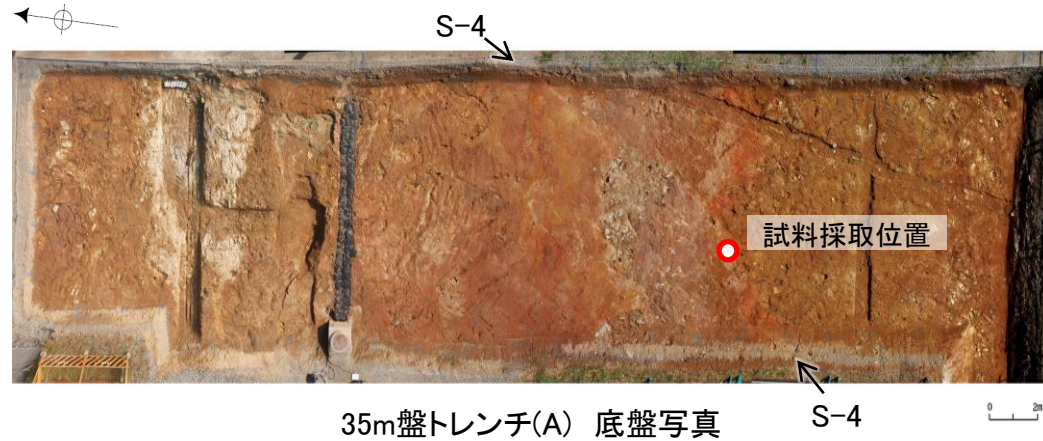
観察面拡大写真



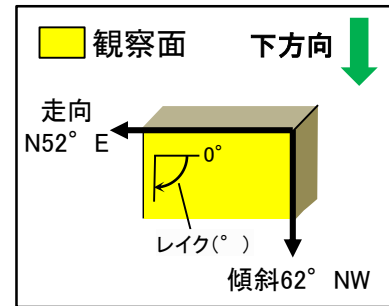
詳細観察写真

・条線のレイクは88° R(下盤側換算), 変位センスは不明

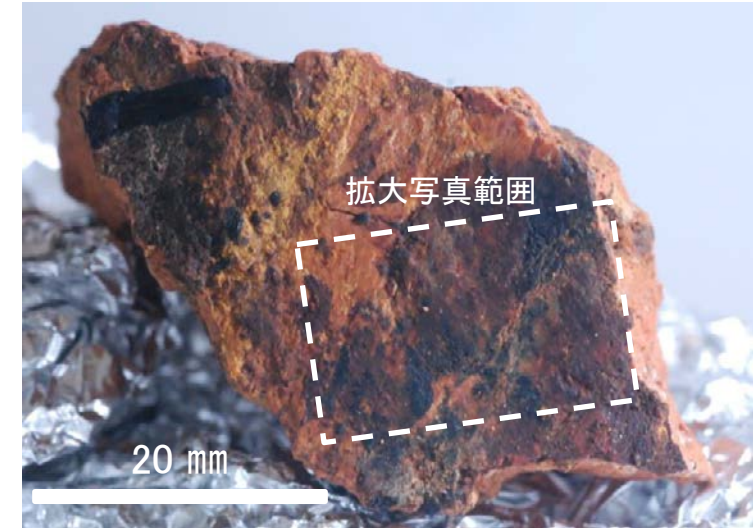
# 条線観察結果 35m盤トレンチ(A)底盤(下盤側)



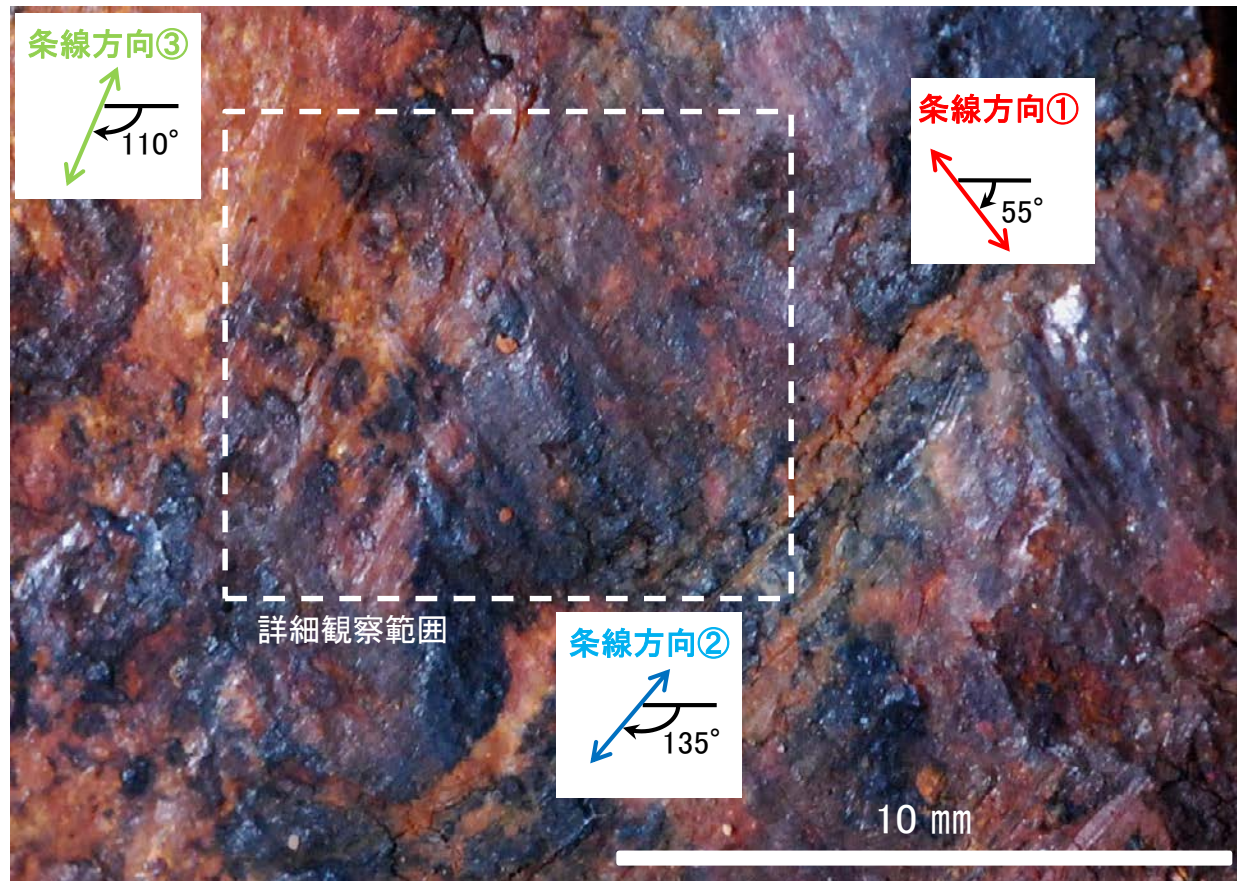
35m盤トレンチ(A) 底盤写真



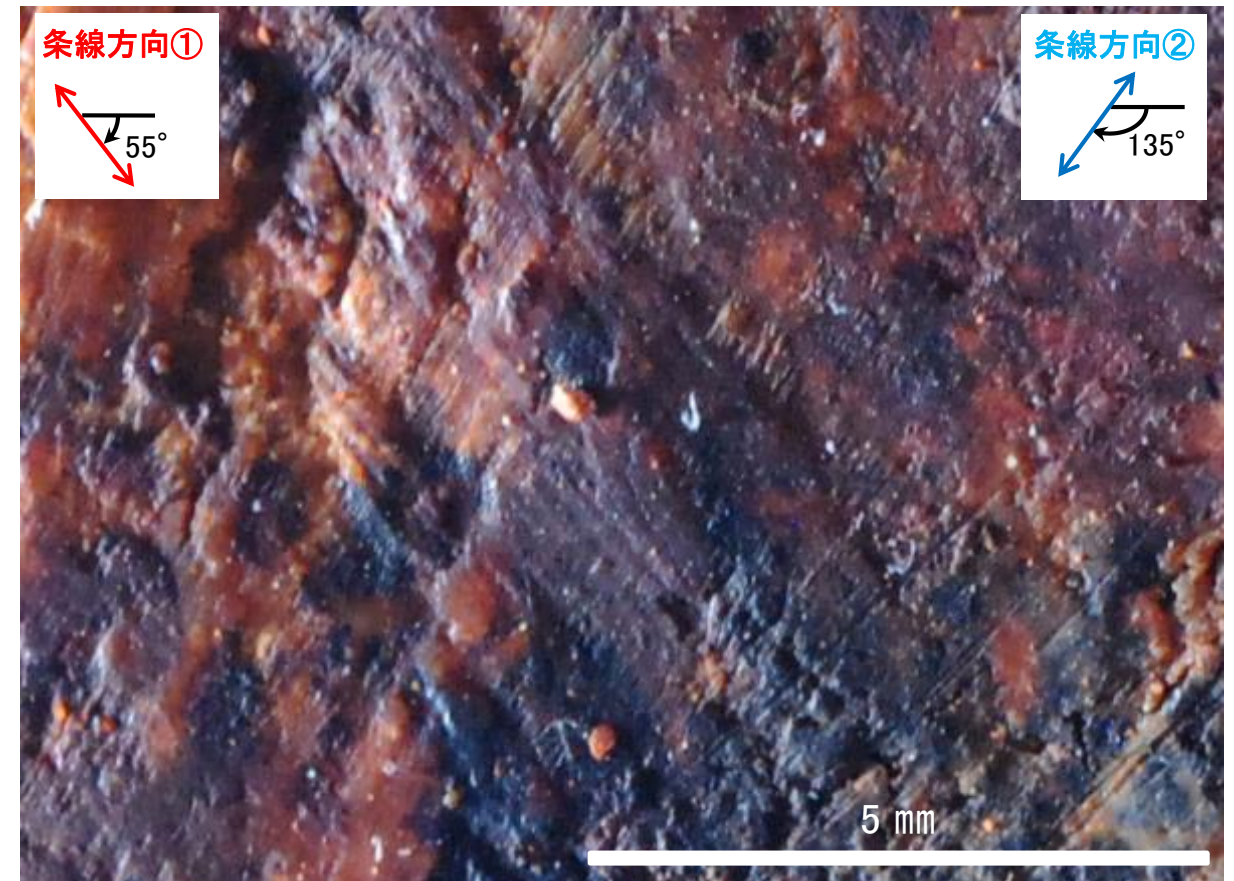
概念図  
※走向は真北で示す。



観察面写真



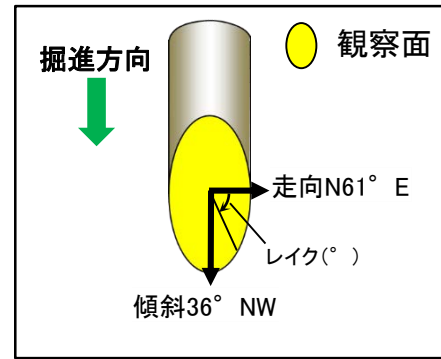
観察面拡大写真



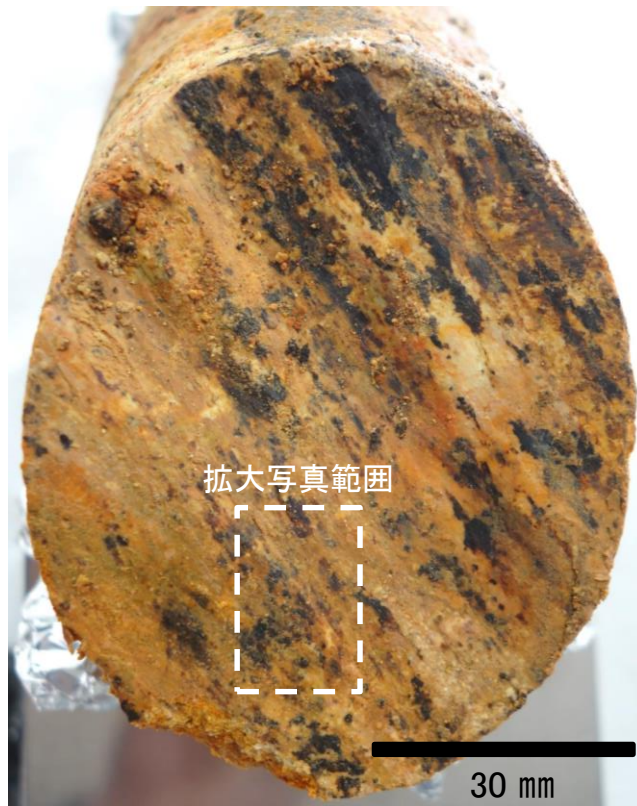
詳細観察写真

- ・条線方向: 3方向の条線が認められ, 条線①のレイクは55° R, 条線②のレイクは135° R, 条線③のレイクは110° R
- ・条線の新旧関係: 条線①を条線②が上書きしている
- ・変位センス: 条線②及び条線③の変位センスは不明

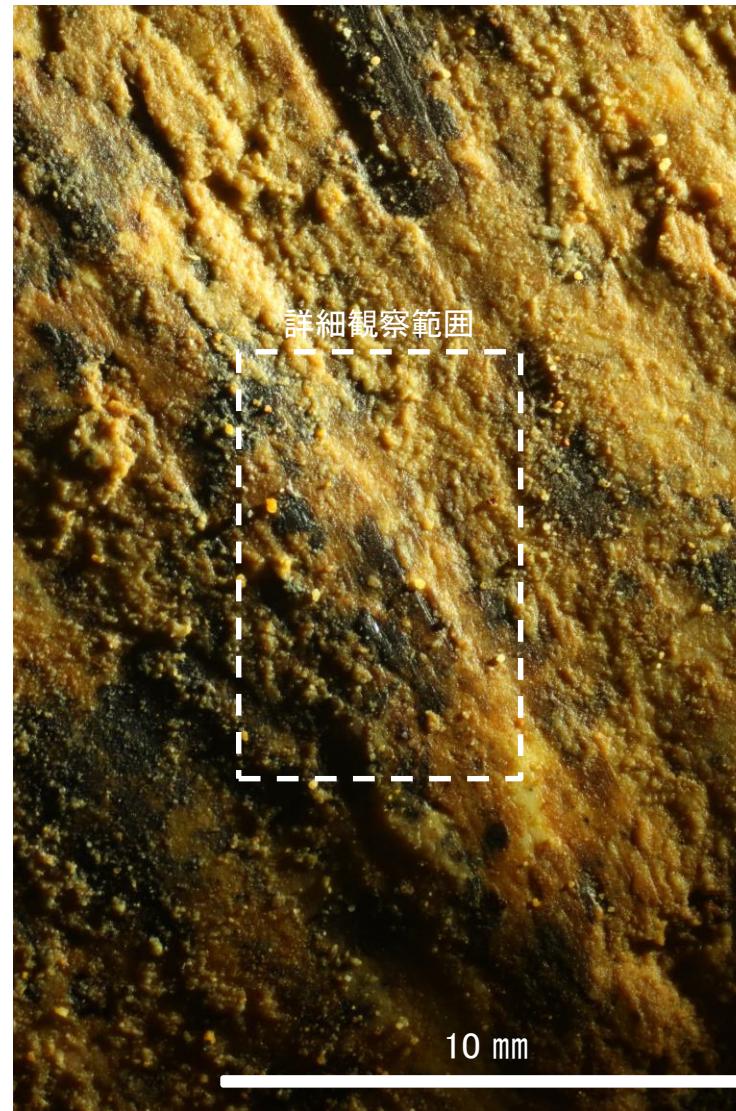
# 条線観察結果 ボーリングD-12.3[深度6.00m](上盤側)



概念図  
※走向は真北で示す。



観察面写真



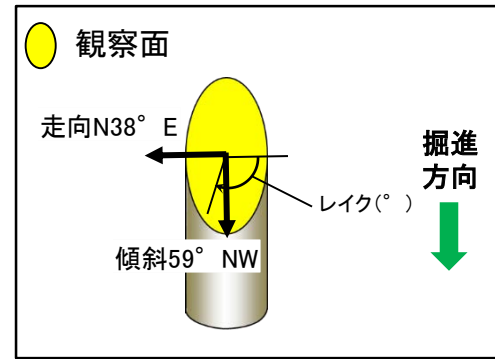
観察面拡大写真



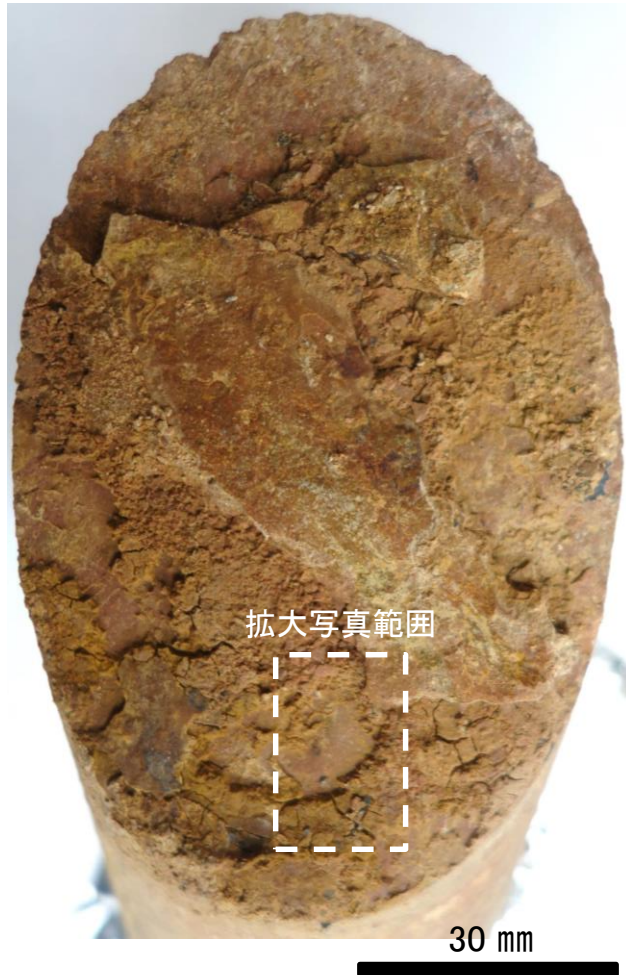
詳細観察写真

・条線のレイクは115° R(下盤側換算), 変位センスは不明

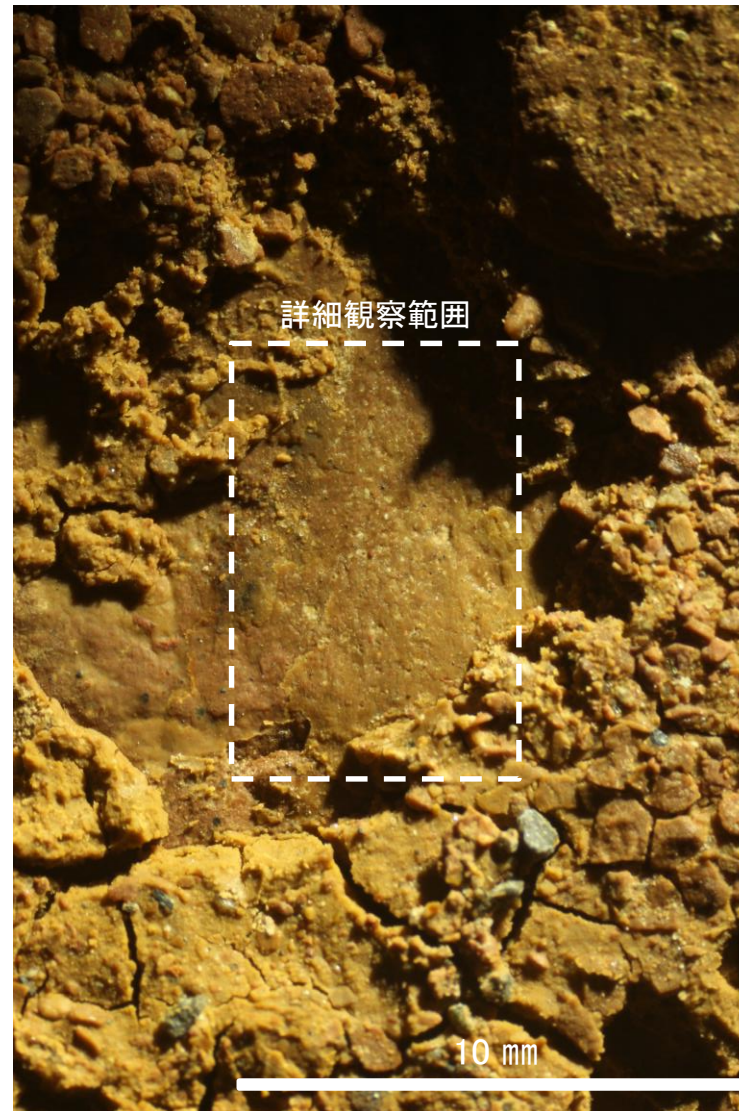
# 条線観察結果 ボーリングE-11.1SE[深度2.35m](下盤側①)



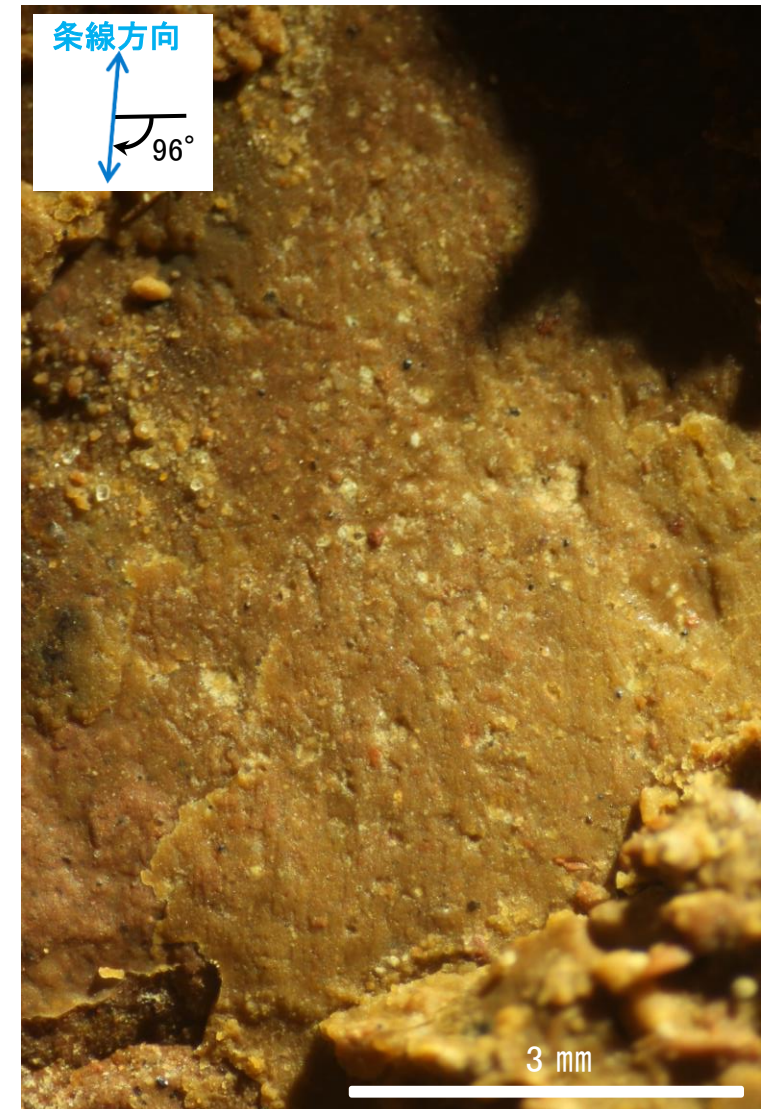
概念図  
※走向は真北で示す。



観察面写真

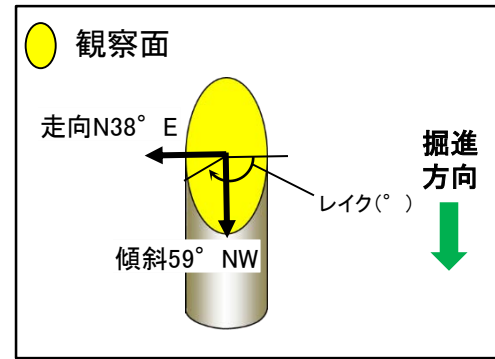


観察面拡大写真



詳細観察写真

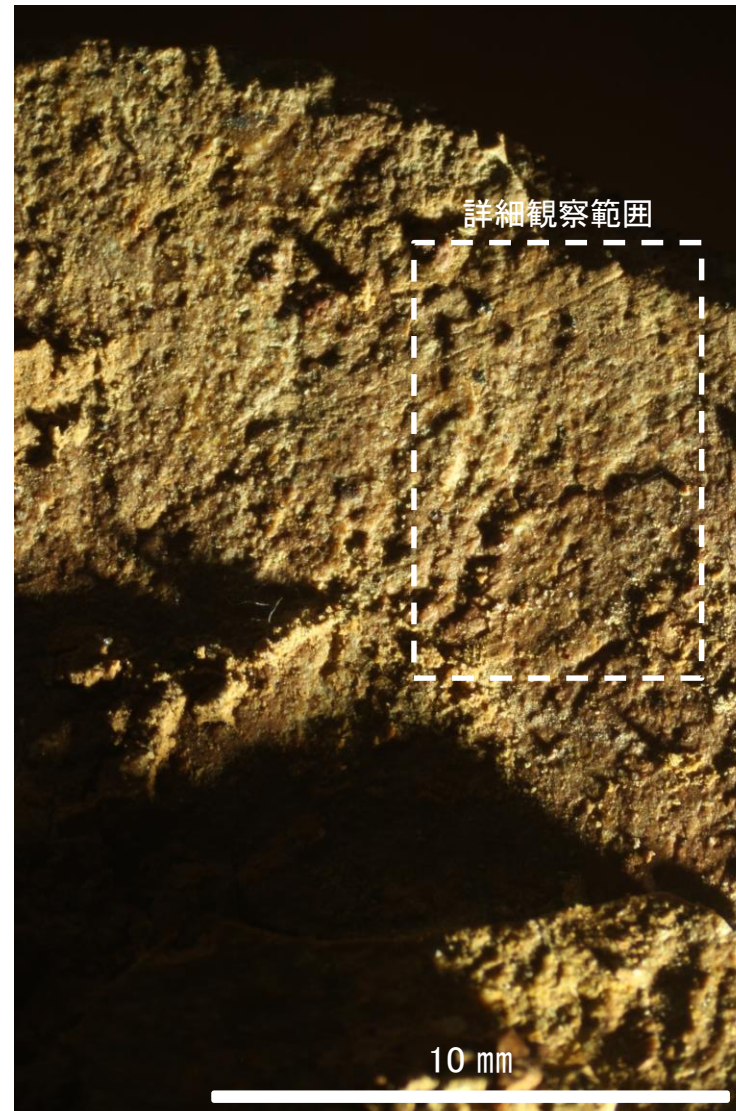
・条線のレイクは $96^\circ$  R, 変位センスは不明



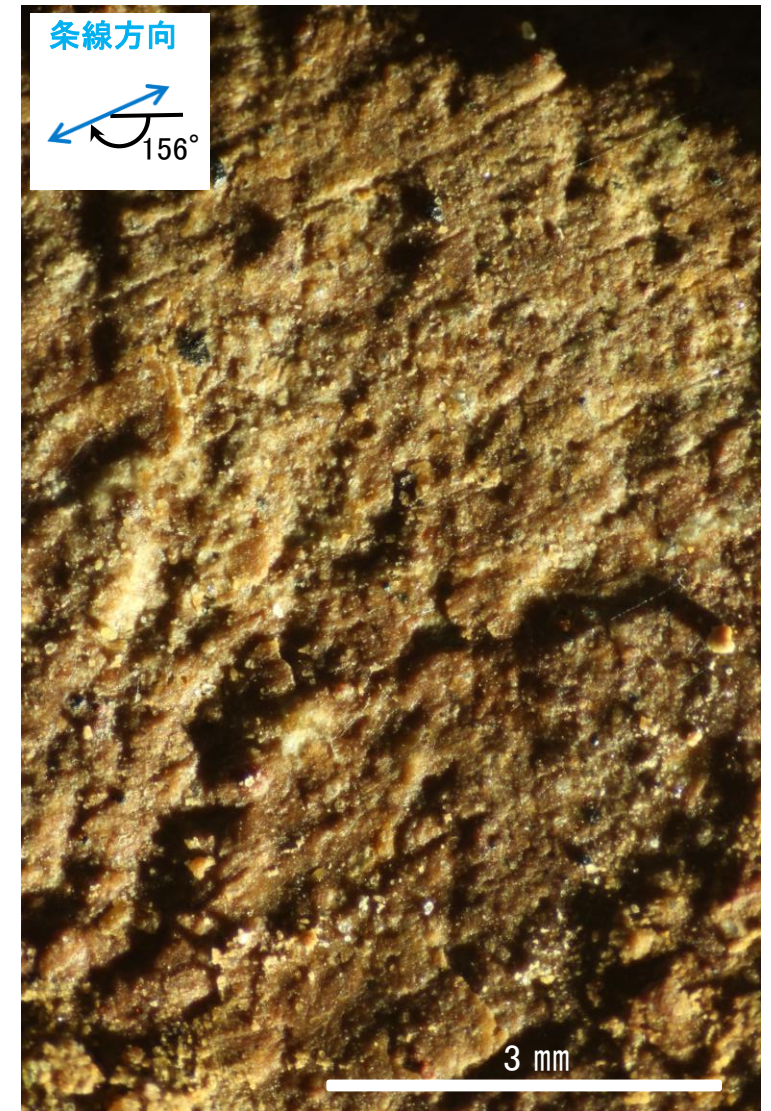
概念図  
※走向は真北で示す。



観察面写真



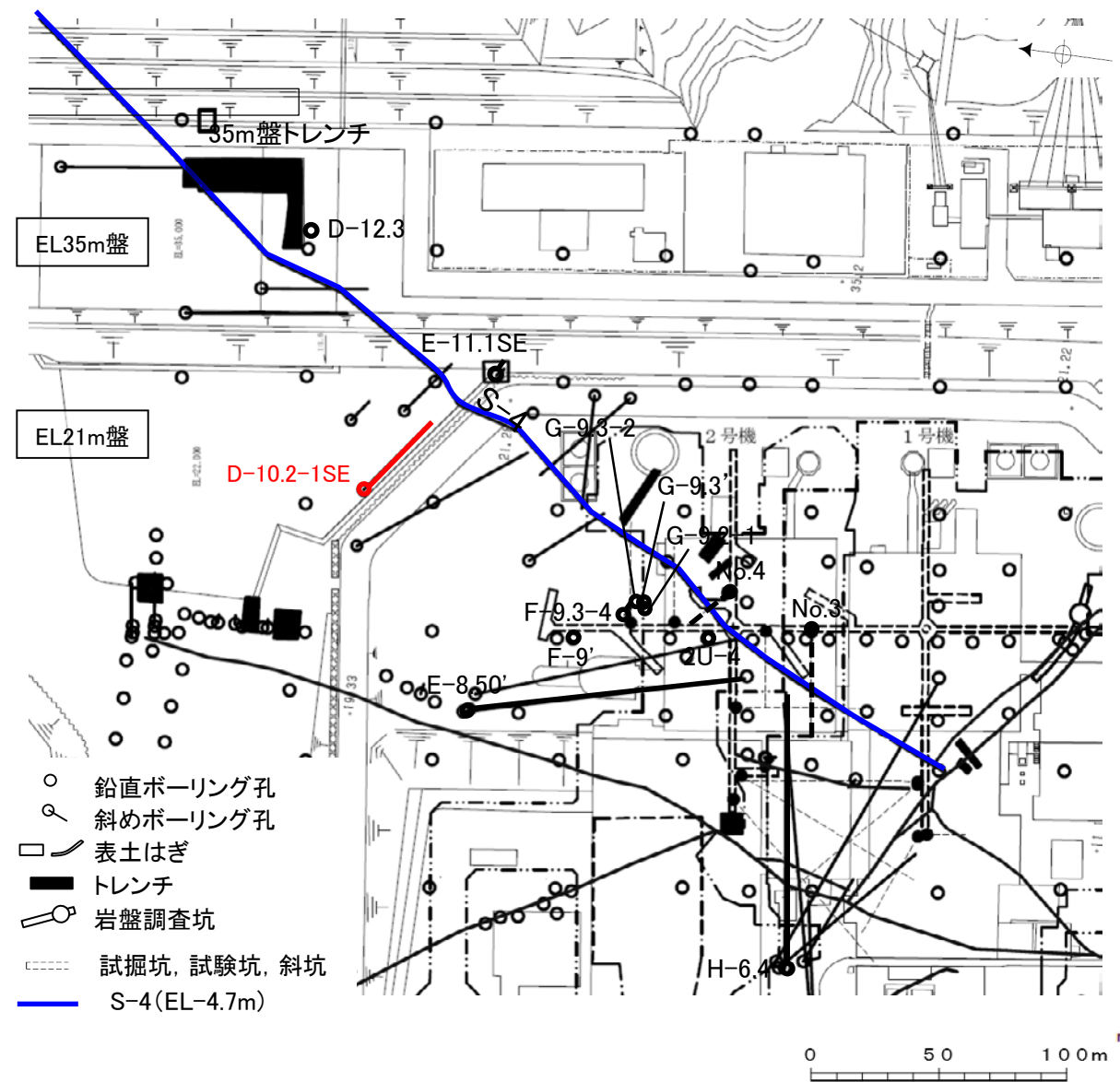
観察面拡大写真



詳細観察写真

・条線のレイクは $156^\circ$  R, 変位センスは不明

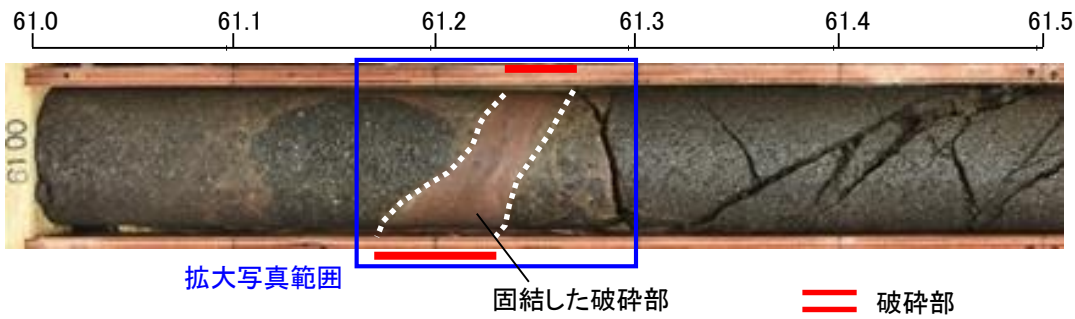
コア観察結果(固結した破碎部)	
ボーリング孔名	変位センス
D-10.2-1SE孔	正断層



赤字: コア観察箇所

位置図

# コア観察結果(ボーリングD-10.2-1SE孔)



D-10.2-1SE孔(傾斜角60°)  
コア写真(深度61.0~61.5m)

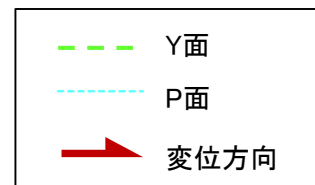
ボーリング  
孔口側  
(上盤)



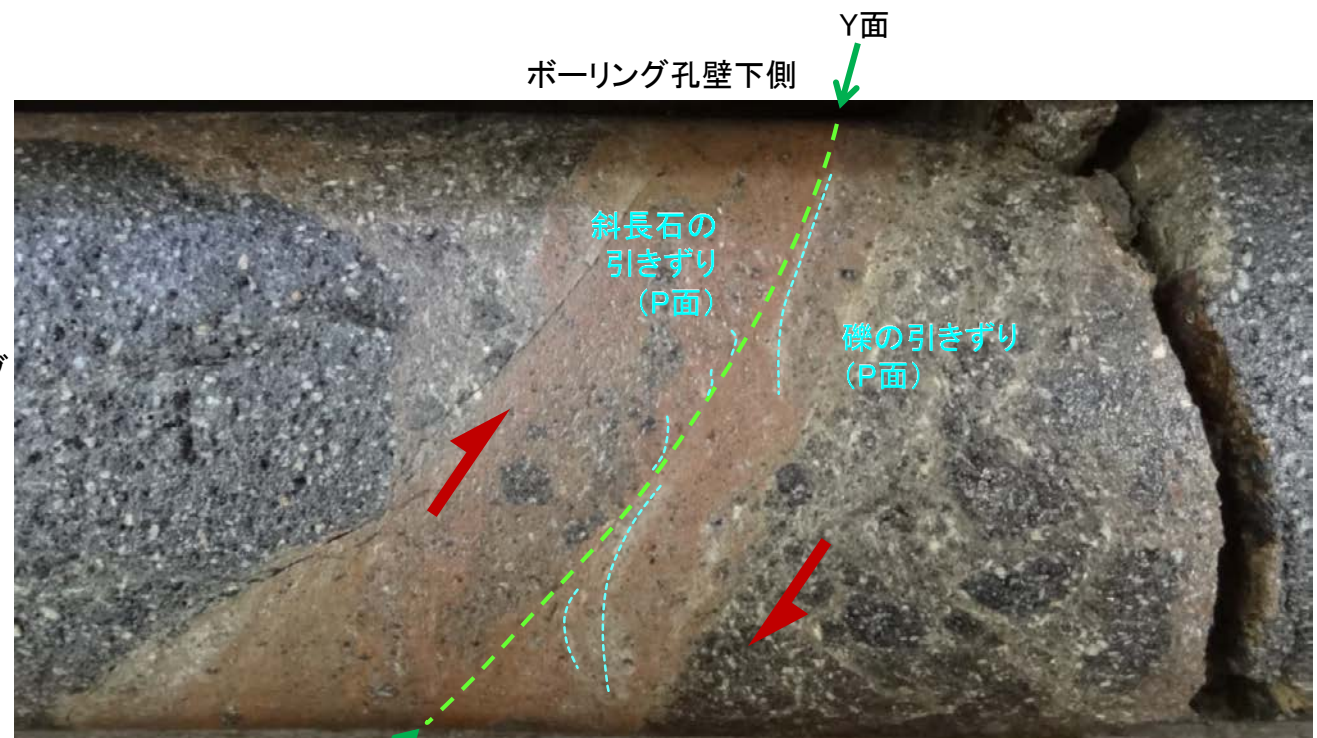
ボーリング  
孔底側  
(下盤)

ボーリング孔壁上側

1cm



ボーリング  
孔口側  
(上盤)



ボーリング  
孔底側  
(下盤)

ボーリング孔壁上側

1cm

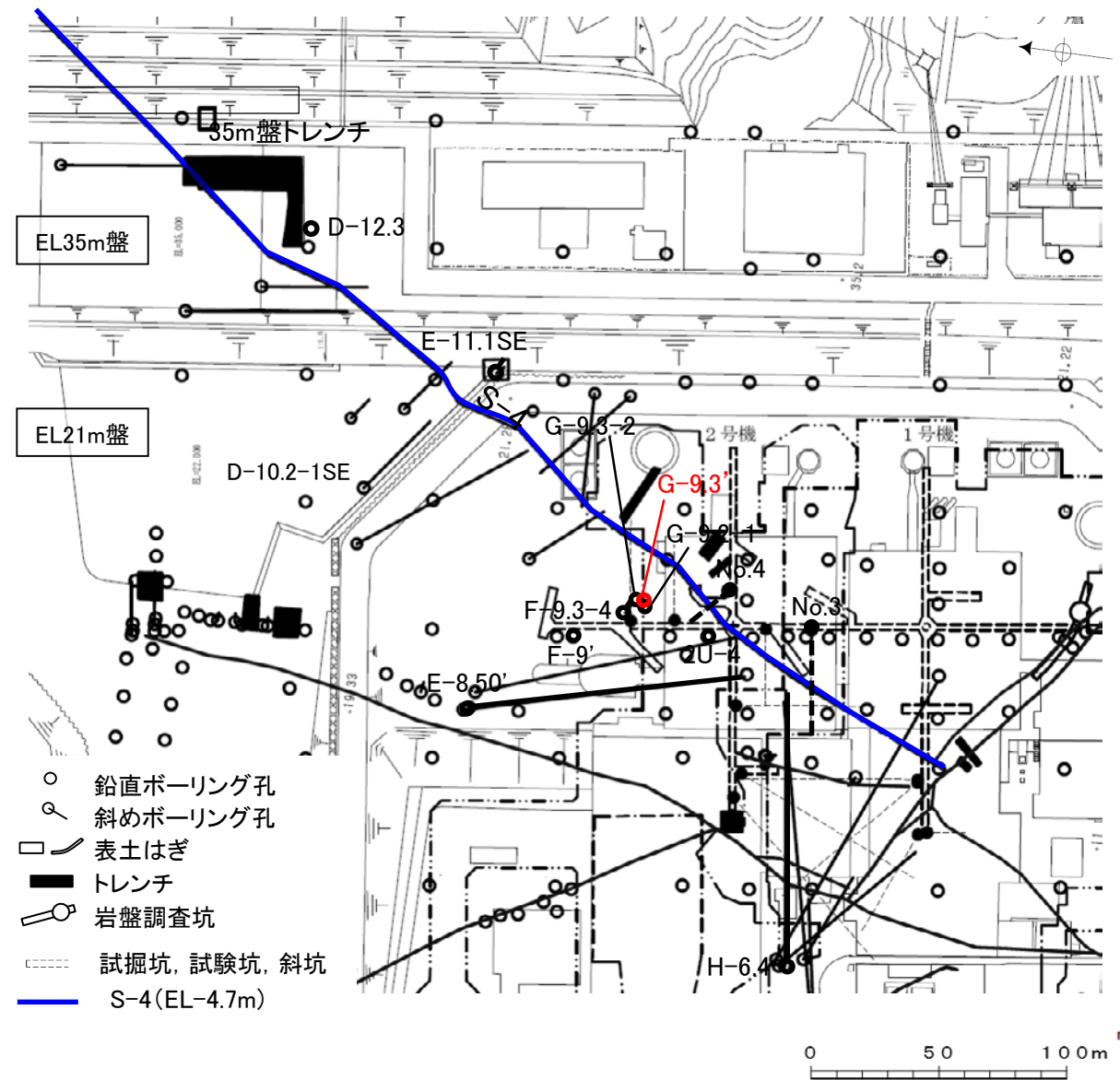
・固結した破碎部中の変形構造から、見かけ上盤側下がりの変位が推定され、正断層センスが認定できる。

拡大写真(下は構造等を加筆)



薄片観察結果(粘土状破碎部)	
薄片番号	変位センス
G-9.3'_130R	逆断層

\* 各薄片試料は、付近の断層の条線観察結果を踏まえたレイクで切断し、作成した。



- 鉛直ボーリング孔
- ◊ 斜めボーリング孔
- 表土はぎ
- トレンチ
- 岩盤調査坑
- ⋯ 試掘坑, 試験坑, 斜坑
- S-4(EL-4.7m)

赤字: コア観察箇所

位置図

# 薄片観察結果 (G-9.3' \_130R)

■ 条線観察結果を踏まえ、130° Rのレイクでボーリングコアを切断して作成した薄片を観察した。

	顕微鏡観察 (右に構造等を加筆)		顕微鏡観察 拡大 (右に構造等を加筆)			
G-9.3' 孔 (深度62.19m)	(単ニコル)	<p>上 下 1cm</p>	<p>上 下 1cm</p>	(単ニコル)	<p>上盤 下盤 1mm</p>	<p>上盤 下盤 1mm</p>
	(直交ニコル)	<p>上 下 1cm</p>	<p>上 下 1cm</p>	(直交ニコル)	<p>上盤 下盤 1mm</p>	<p>上盤 下盤 1mm</p>

凡例  
 Y面  
 R1面  
 変位方向

・粘土状破碎部中の変形構造から、見かけ上盤側上がりの変位が推定され、逆断層センスが認定できる。

---

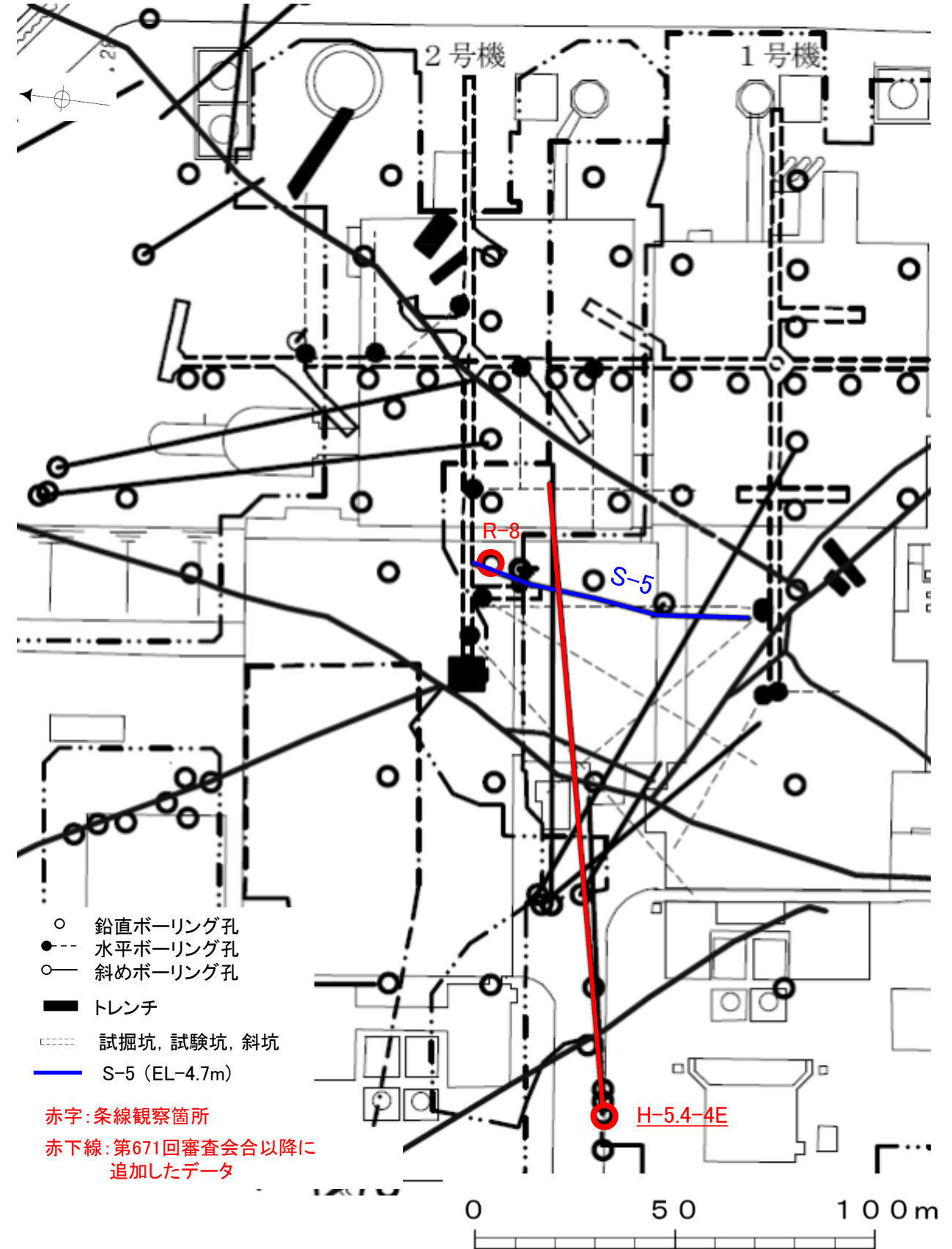
(5) S-5の運動方向調査結果

# S-5の条線観察結果

試料名		走向/傾斜 (走向は真北)	条線のレイク <sup>※1</sup>	変位センス
ボーリングR-8孔 [深度25.50m]	上盤側	N13° E/70° SE	25° R	(不明)
			45° R	左横ずれ正断層
ボーリングH-5.4-4E孔 [深度133.87m]	上盤側	N19° E/83° SE	97° R	(不明)

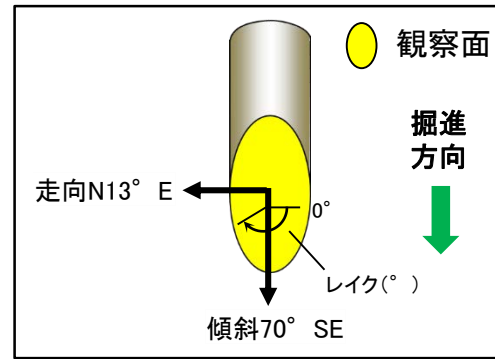
赤字: 第671回審査会合以降に追加したデータ

※1 上盤側で確認したレイクは下盤側に換算して示す。

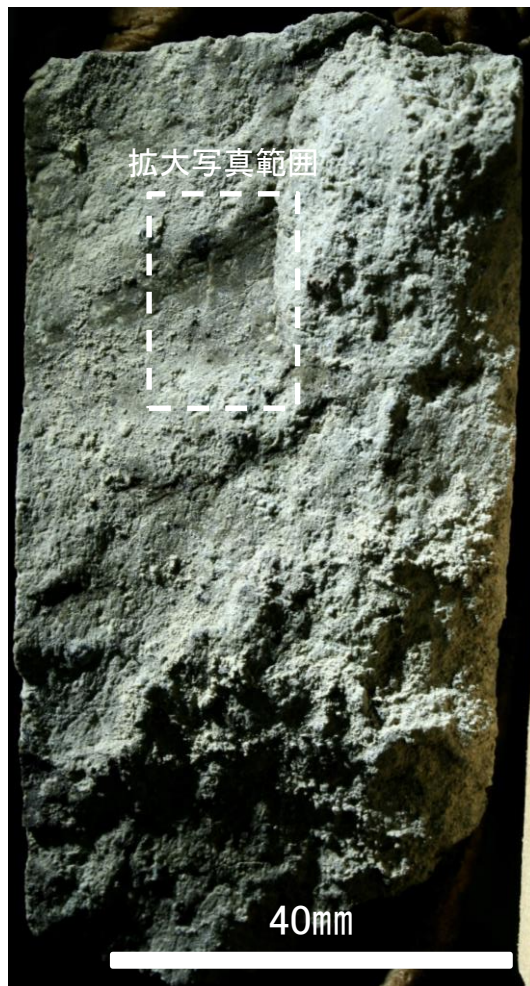


位置図

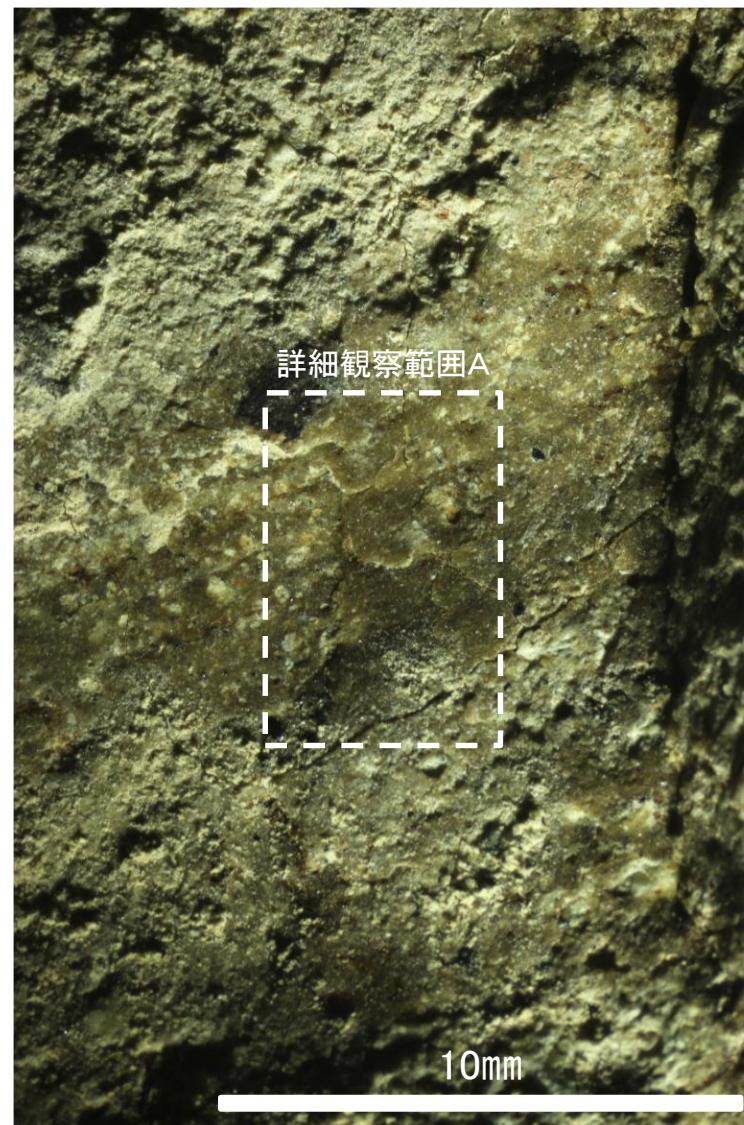
# 条線観察結果 ボーリングR-8孔[深度25.50m](上盤側)①



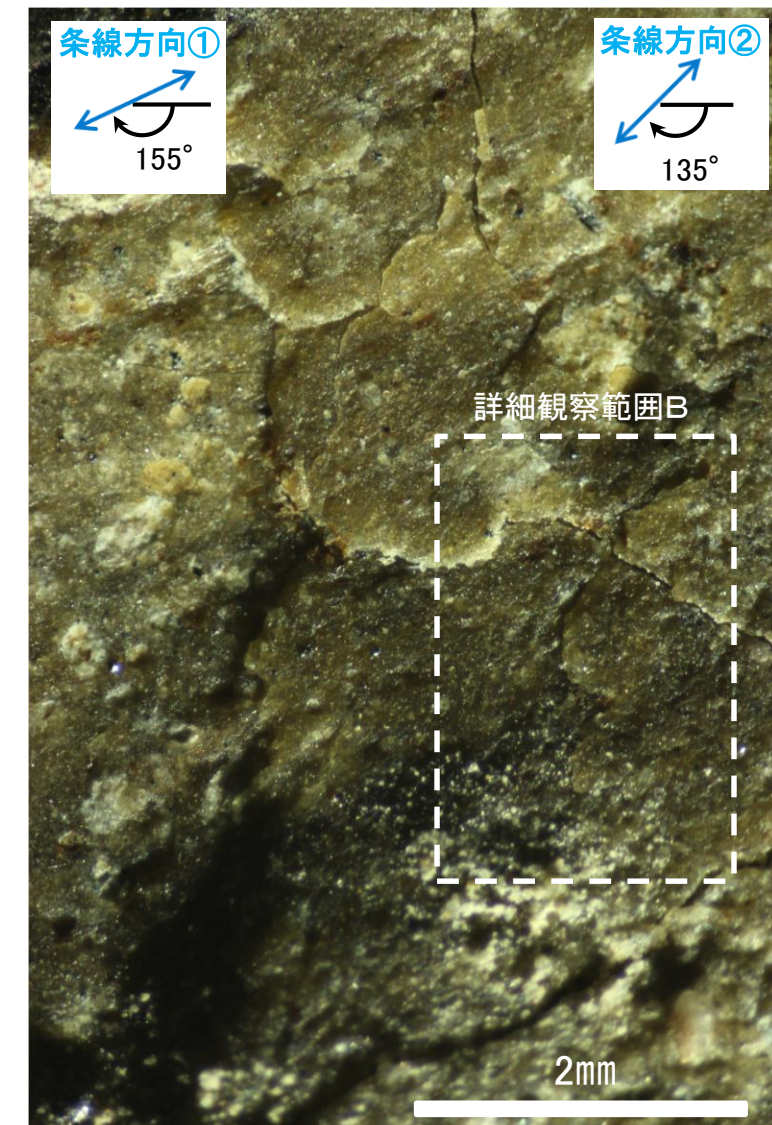
概念図  
※走向は真北で示す。



観察面写真

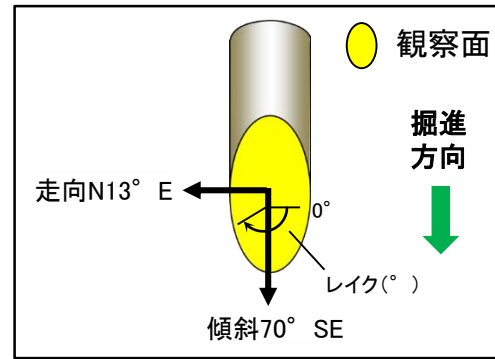


観察面拡大写真

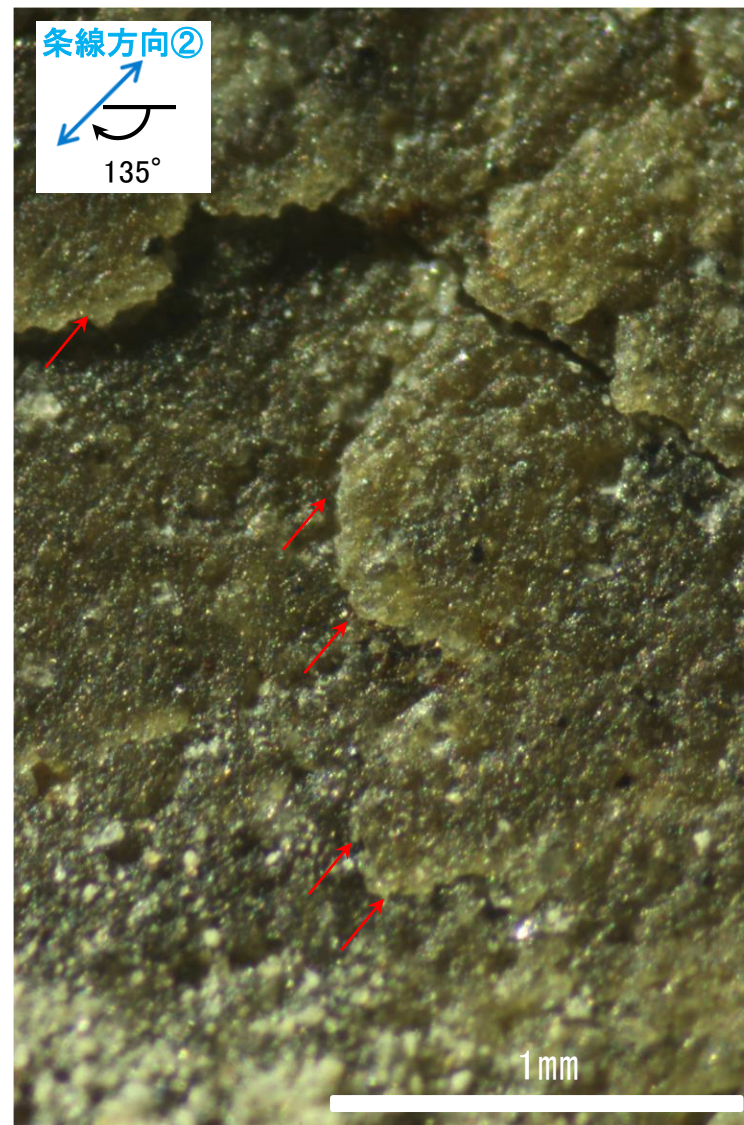
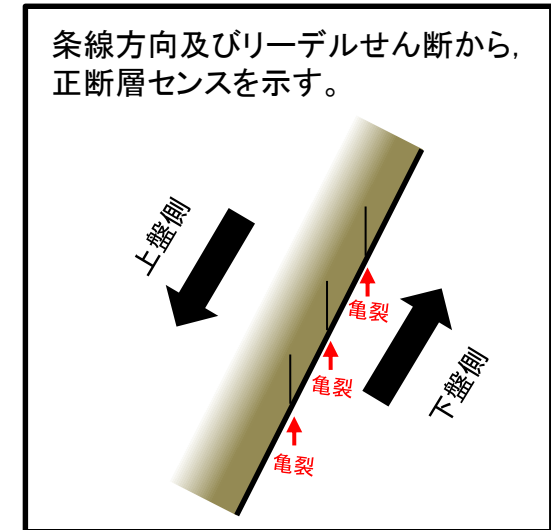


詳細観察写真A

- ・条線①のレイクは25° R (下盤側換算), 変位センスは不明
- ・条線②のレイクは45° R (下盤側換算), 変位センスは左横ずれ正断層センス



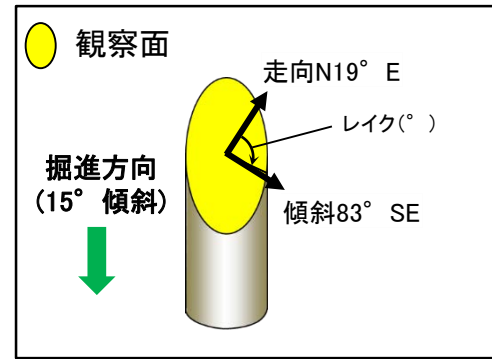
概念図  
※走向は真北で示す。



詳細観察写真B

・条線②のレイクは45° R (下盤側換算), 変位センスは左横ずれ正断層センス

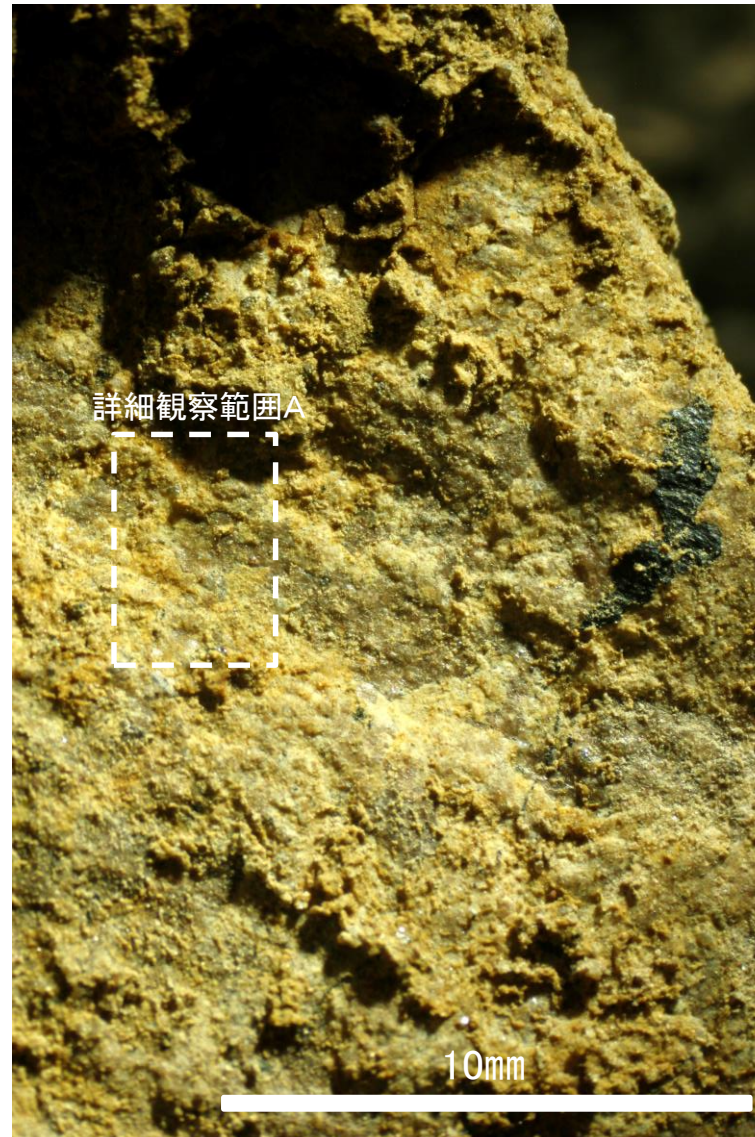
# 条線観察結果 ボーリングH-5.4-4E孔[深度133.87m](上盤側)



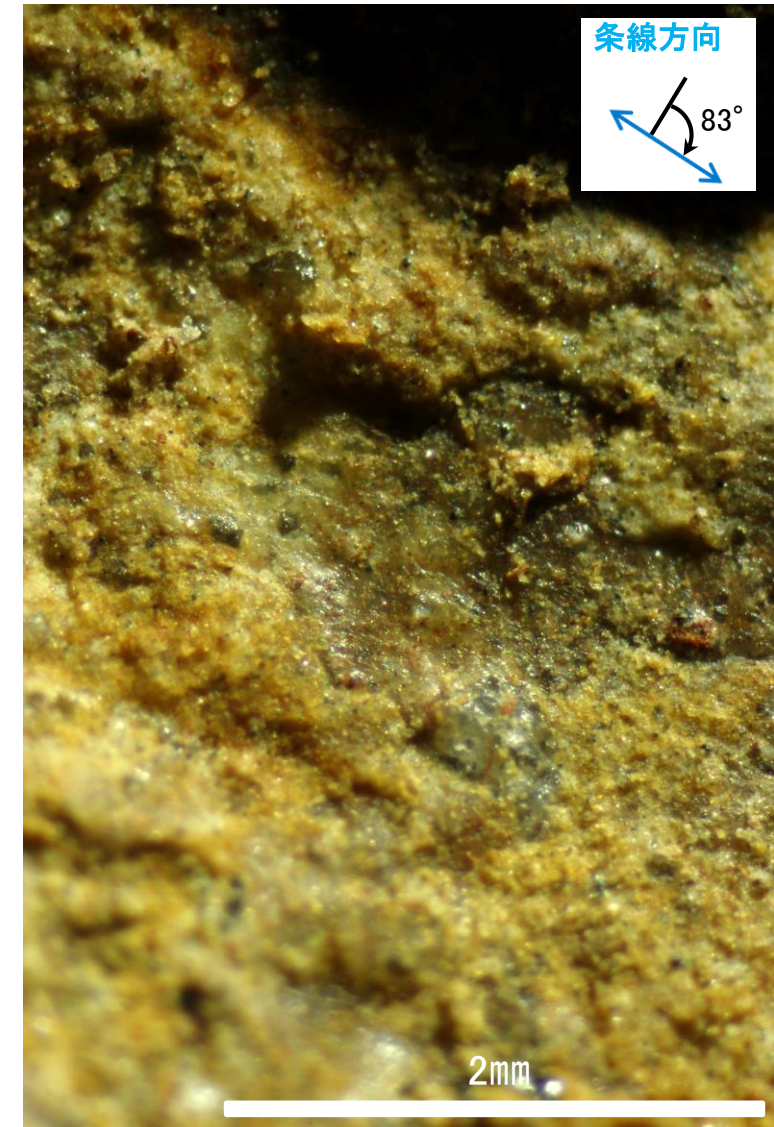
概念図  
※走向は真北で示す。



観察面写真



観察面拡大写真



詳細観察写真A

・条線のレイクは $97^{\circ}$  R (下盤側換算), 変位センスは不明

---

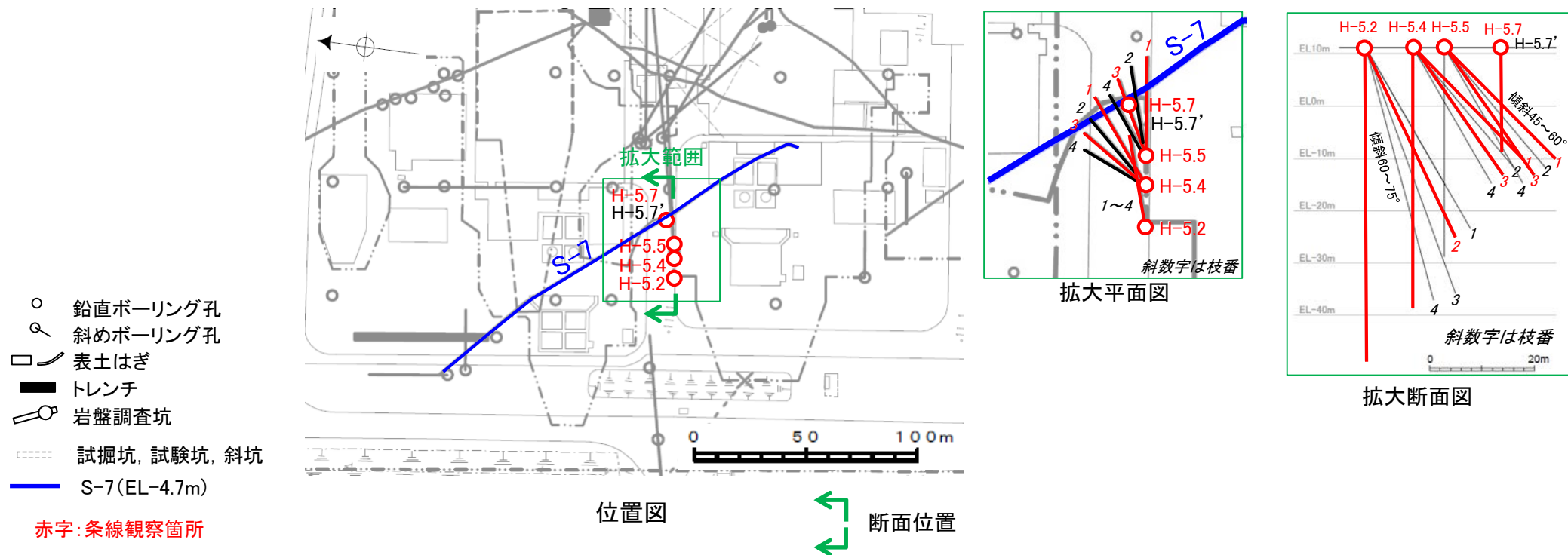
(6) S-7の運動方向調査結果

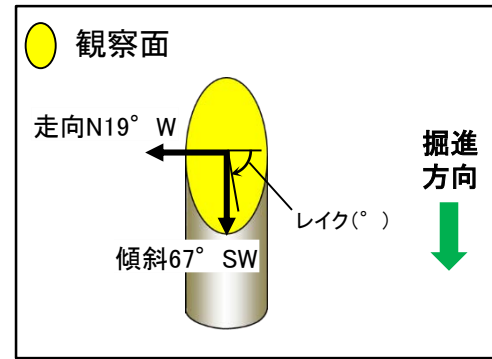


# S-7の条線観察結果

試料名		走向/傾斜 (走向は真北)	条線のレイク※1	変位センス
ボーリングH-5.2孔 [深度55.15m]	下盤側	N19° W/67° SW	80° R	(不明)
ボーリングH-5.2-2孔 [深度34.50m]	上盤側	N43° W/58° SW	18° R	(不明)
ボーリングH-5.4孔 [深度40.20m]	上盤側	N35° W/55° SW	35° R	(不明)
ボーリング H-5.4-1孔 [深度22.70m]	下盤側	N57° W/61° SW	95° R	(不明)
ボーリング H-5.4-3孔 [深度24.15m]	上盤側	N23° W/56° SW	75° R	(不明)
ボーリングH-5.5-1孔 [深度20.90m]	下盤側	N51° W/62° SW	78° R	右横ずれ逆断層
			53° R	(不明)
ボーリングH-5.5-3孔 [深度19.85m]	下盤側	N22° W/71° SW	69° R	右横ずれ逆断層
			94° R	(不明)
ボーリングH-5.7孔 [深度13.20m]	上盤側	N56° W/65° SW	20° R	(不明)
			160° R	(不明)
			45° R	右横ずれ逆断層

※1 上盤側で確認したレイクは下盤側に換算して示す。

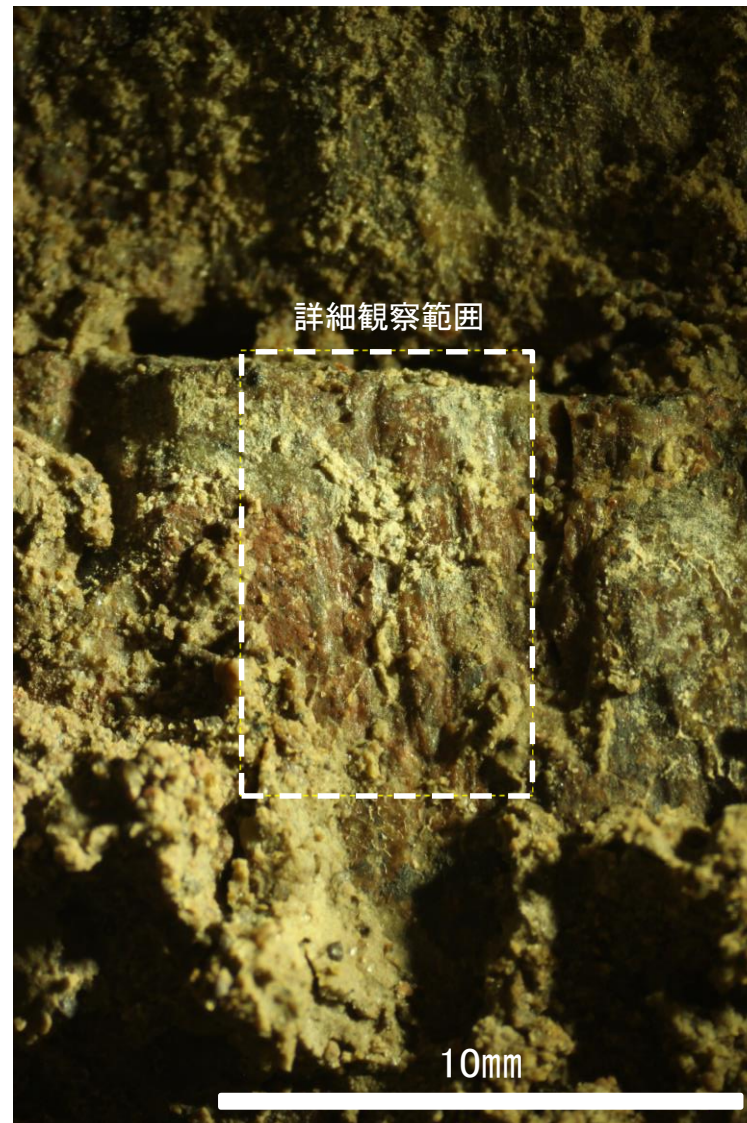




概念図  
※走向は真北で示す。



観察面写真



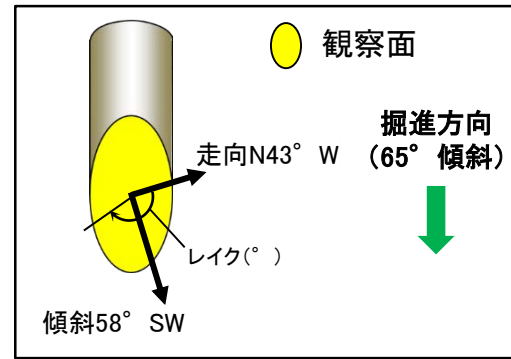
観察面拡大写真



詳細観察写真

・条線のレイクは80° R, 変位センスは不明

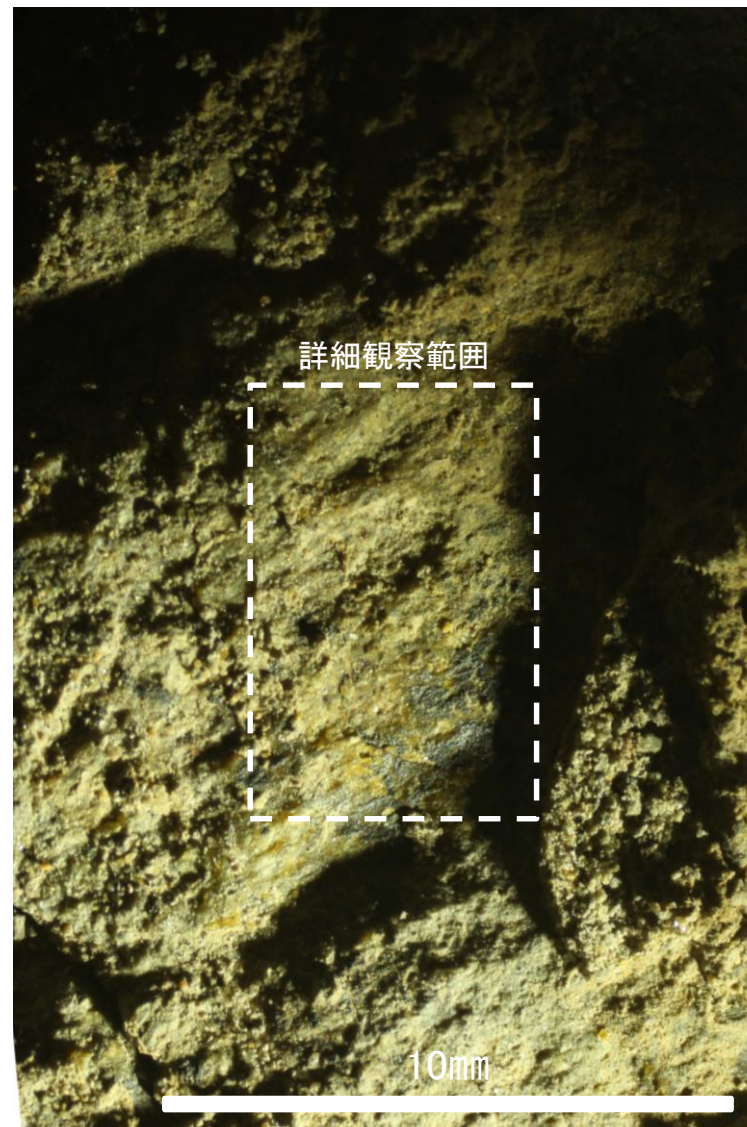
# 条線観察結果 ボーリングH-5.2-2孔[深度34.50m](上盤側)



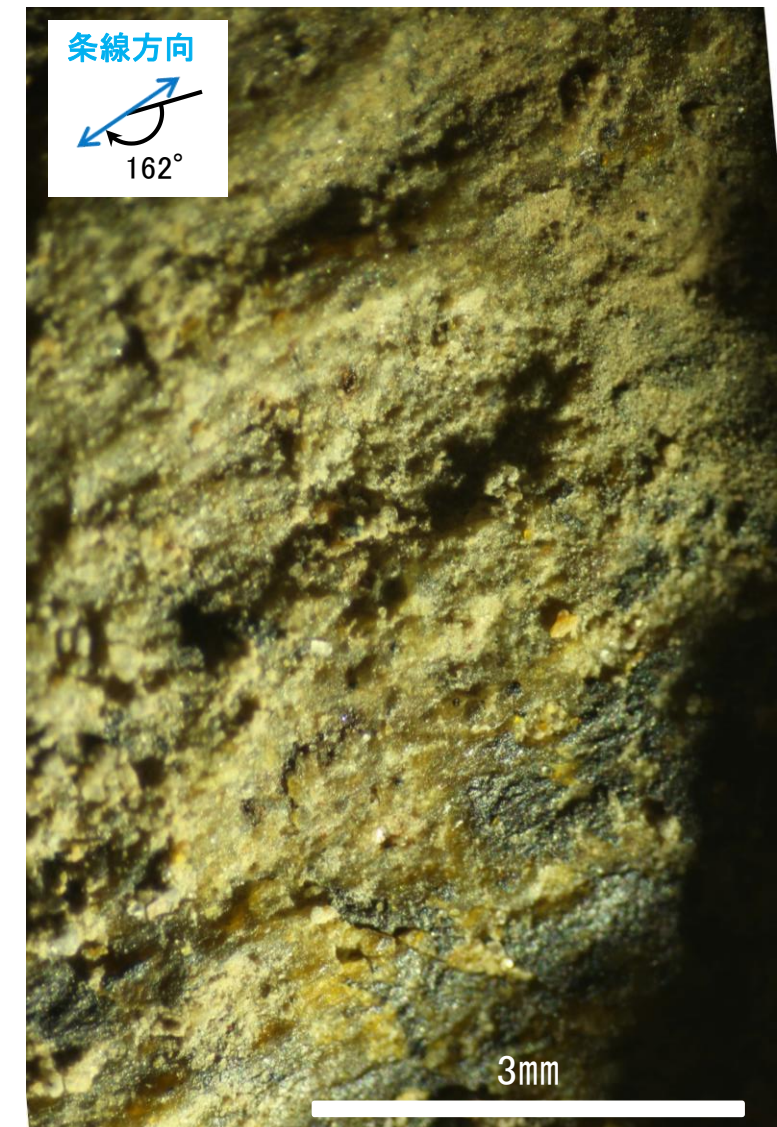
概念図  
※走向は真北で示す。



観察面写真



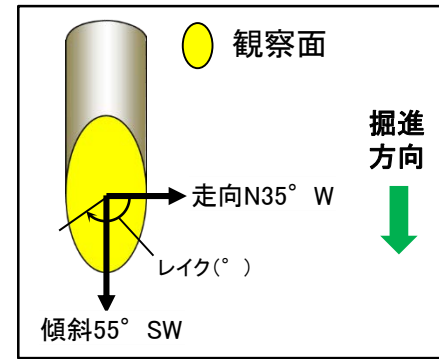
観察面拡大写真



詳細観察写真

・条線のレイクは $18^\circ$  R(下盤側換算), 変位センスは不明

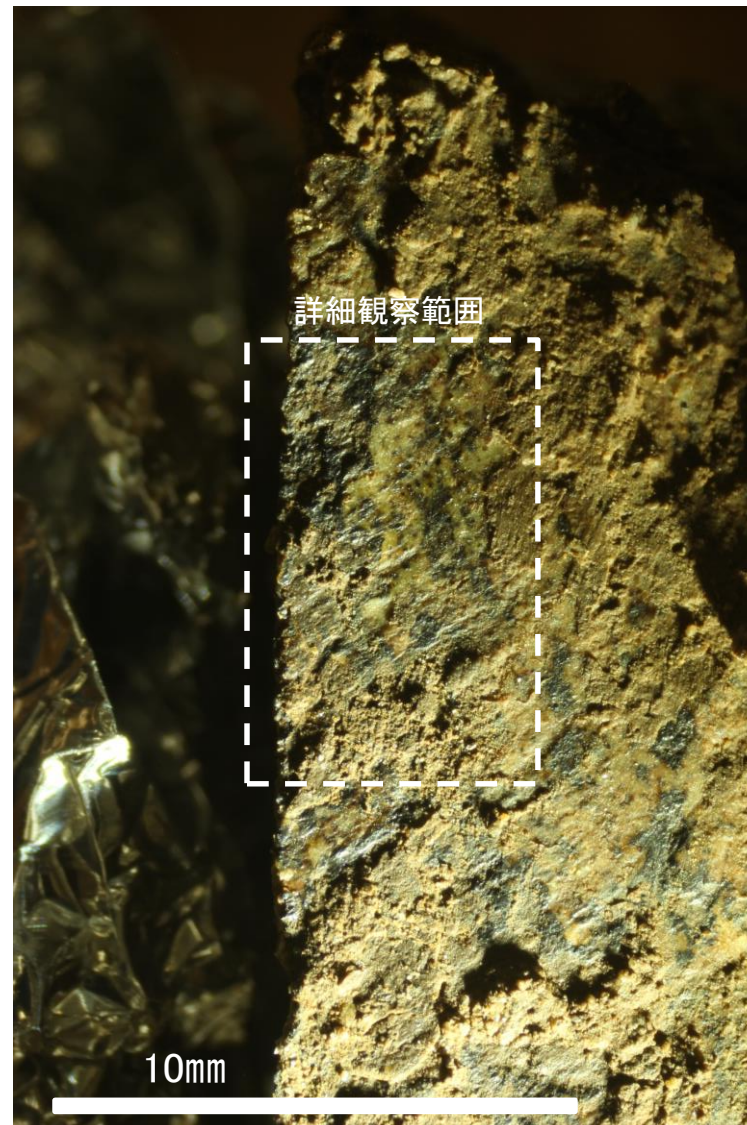
# 条線観察結果 ボーリングH-5.4孔[深度40.20m](上盤側)



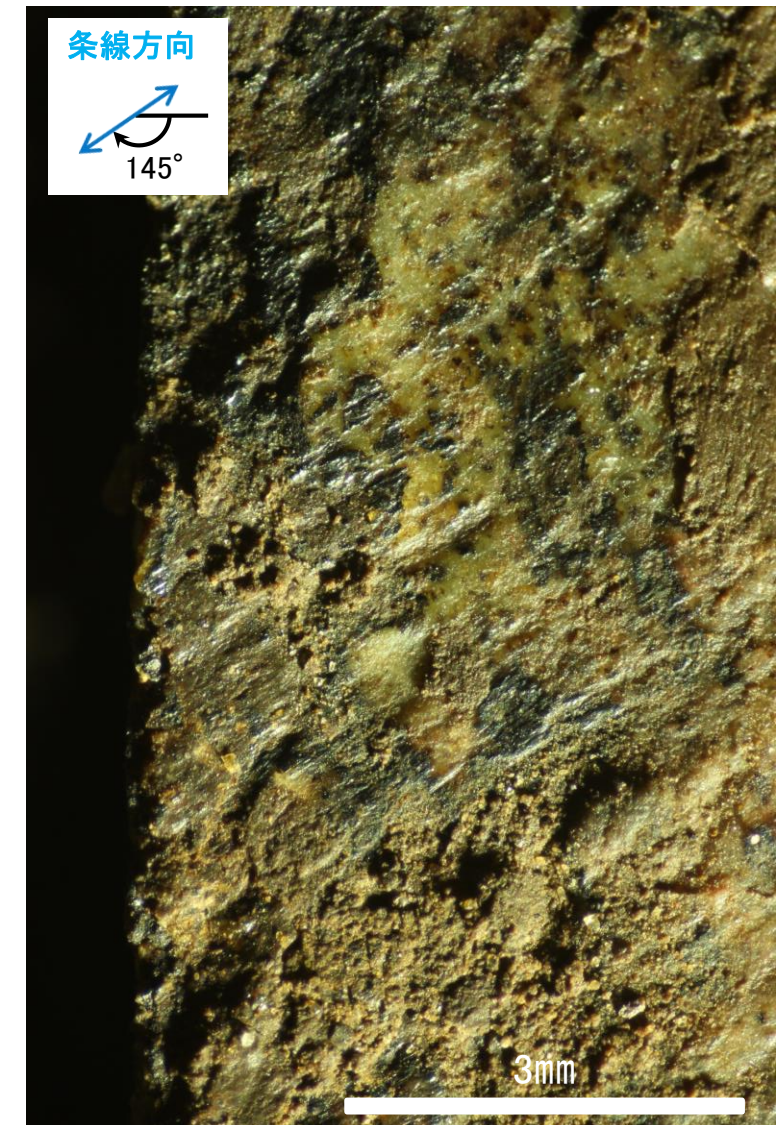
概念図  
※走向は真北で示す。



観察面写真



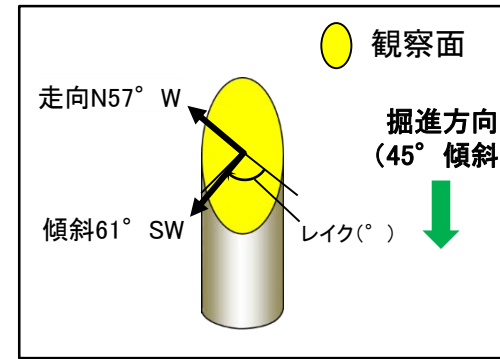
観察面拡大写真



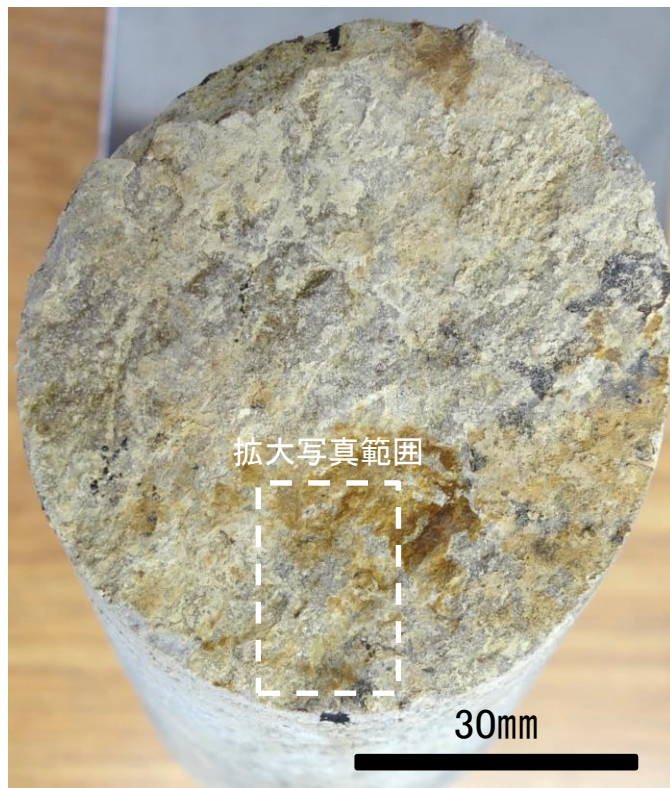
詳細観察写真

・条線のレイクは35° R(下盤側換算), 変位センスは不明

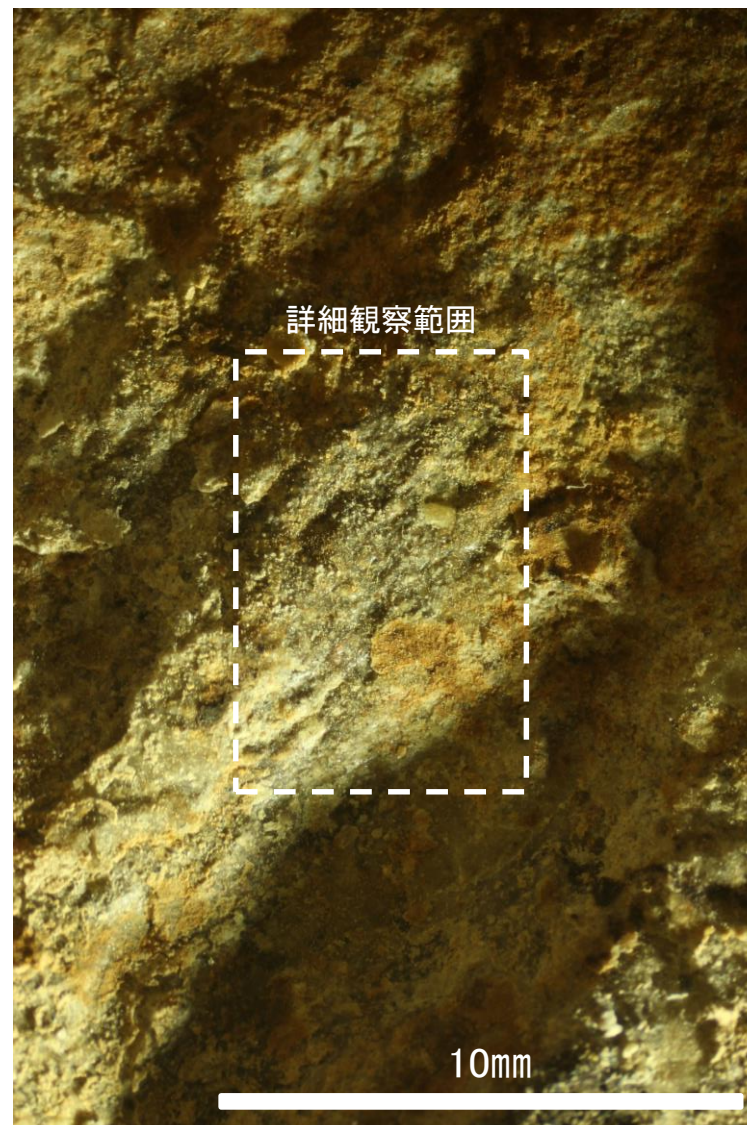
# 条線観察結果 ボーリングH-5.4-1孔[深度22.70m](下盤側)



概念図  
※走向は真北で示す。



観察面写真



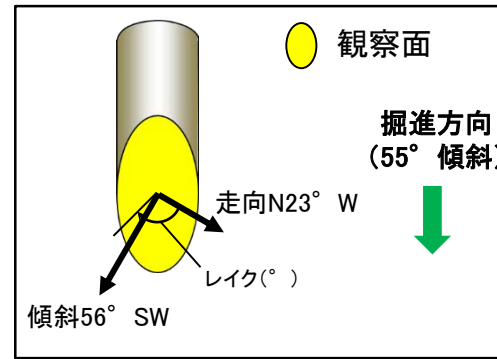
観察面拡大写真



詳細観察写真

・条線のレイクは95° R, 変位センスは不明

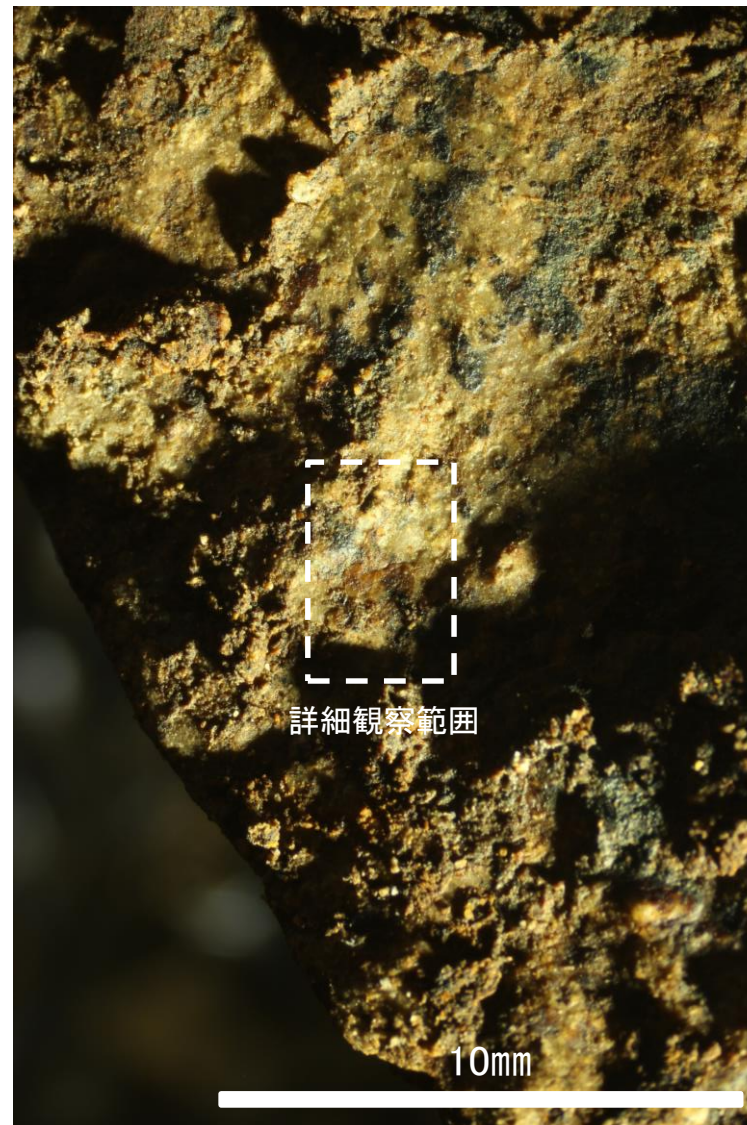
# 条線観察結果 ボーリングH-5.4-3孔[深度24.15m](上盤側)



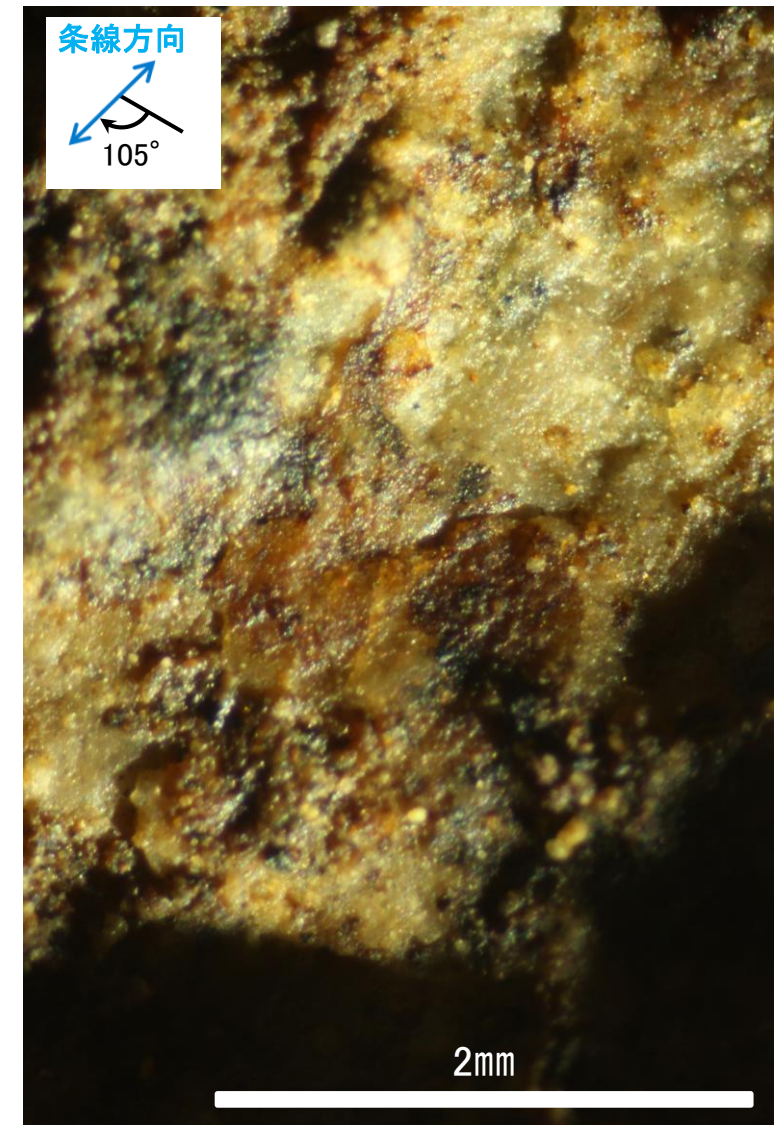
概念図  
※走向は真北で示す。



観察面写真



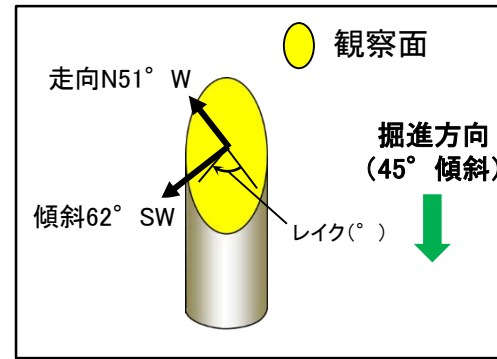
観察面拡大写真



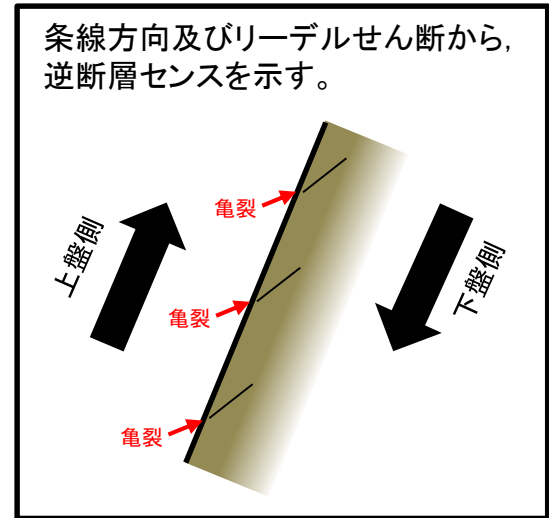
詳細観察写真

・条線のレイクは75° R(下盤側換算), 変位センスは不明

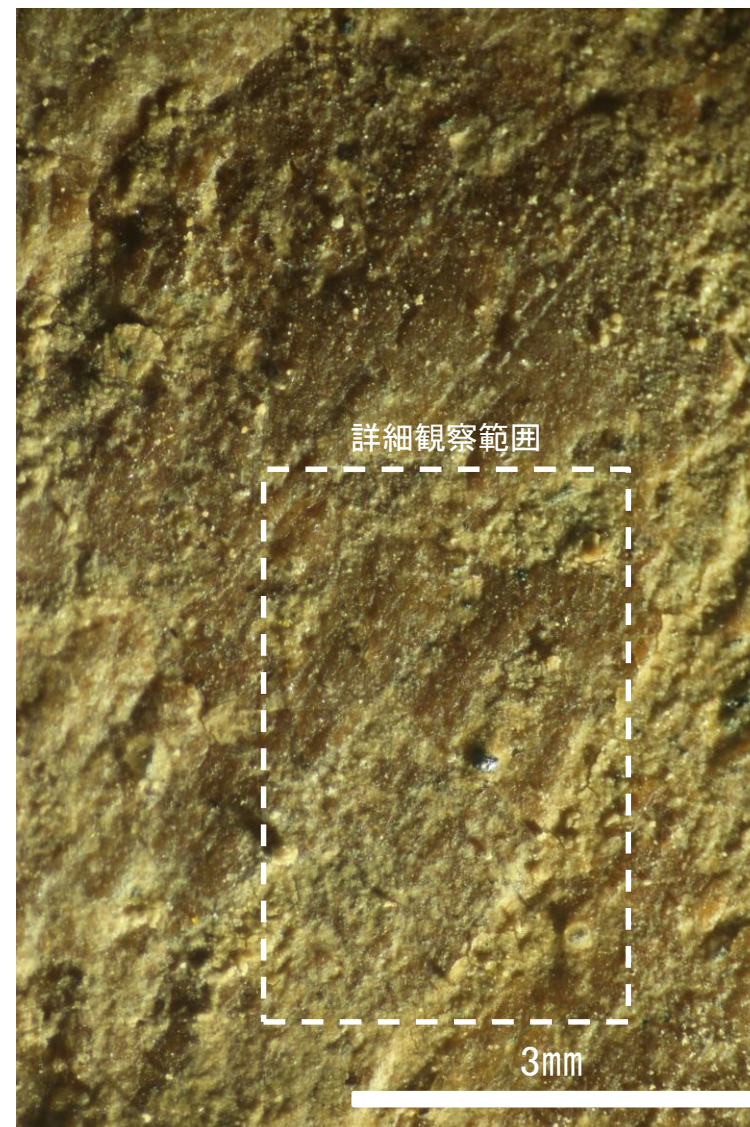
# 条線観察結果 ボーリングH-5.5-1孔[深度20.90m](下盤側)①



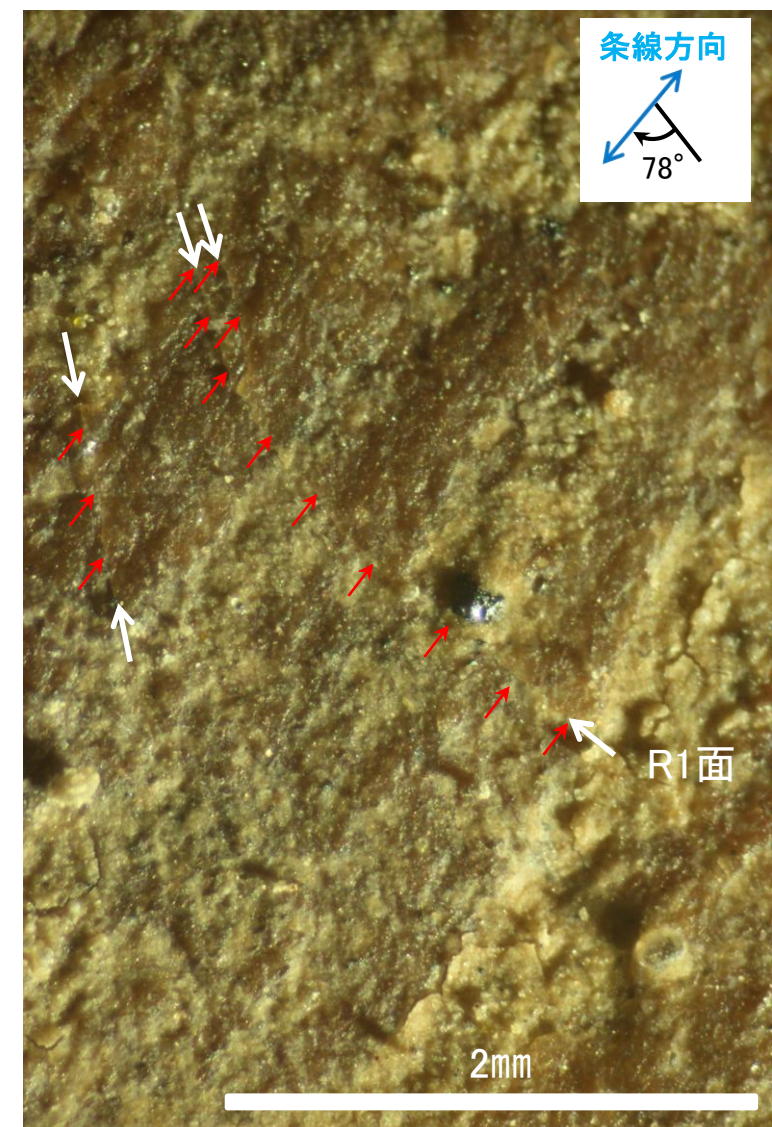
概念図  
※走向は真北で示す。



観察面写真



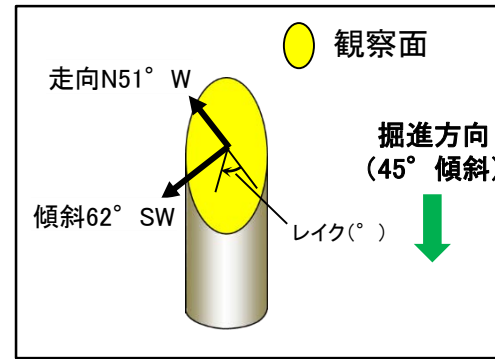
観察面拡大写真



詳細観察写真

・条線のレイクは78° R, 変位センスは右横ずれ逆断層センス

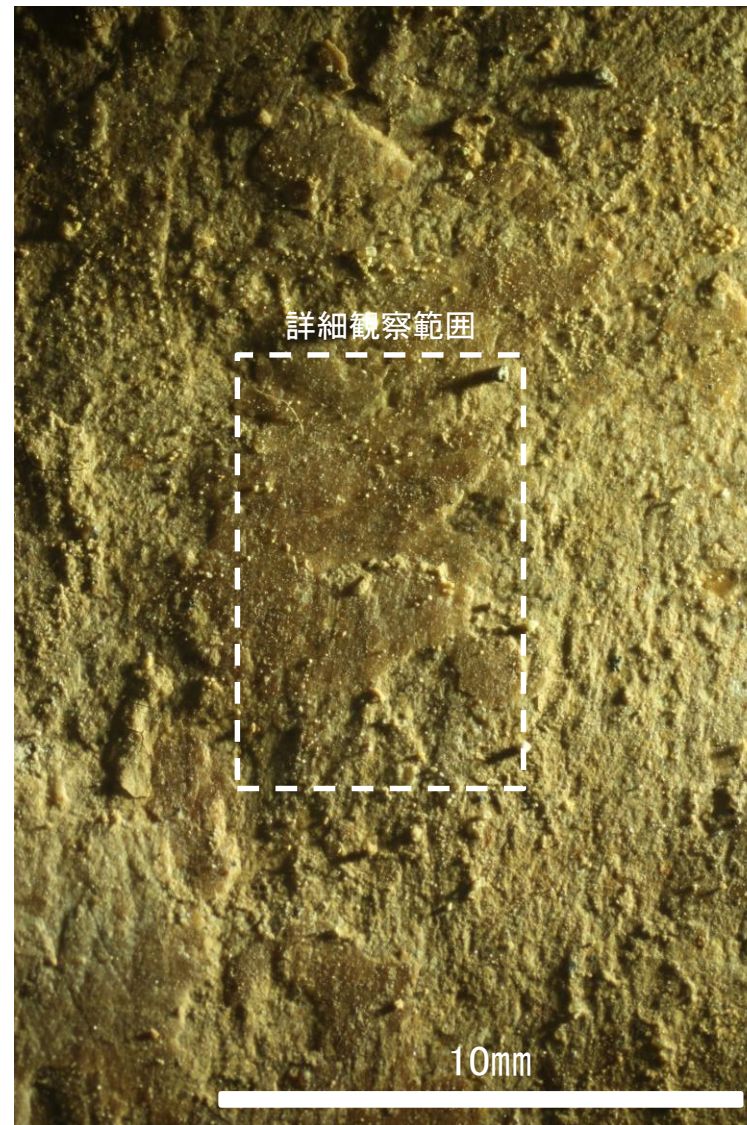
# 条線観察結果 ボーリングH-5.5-1孔[深度20.90m](下盤側)②



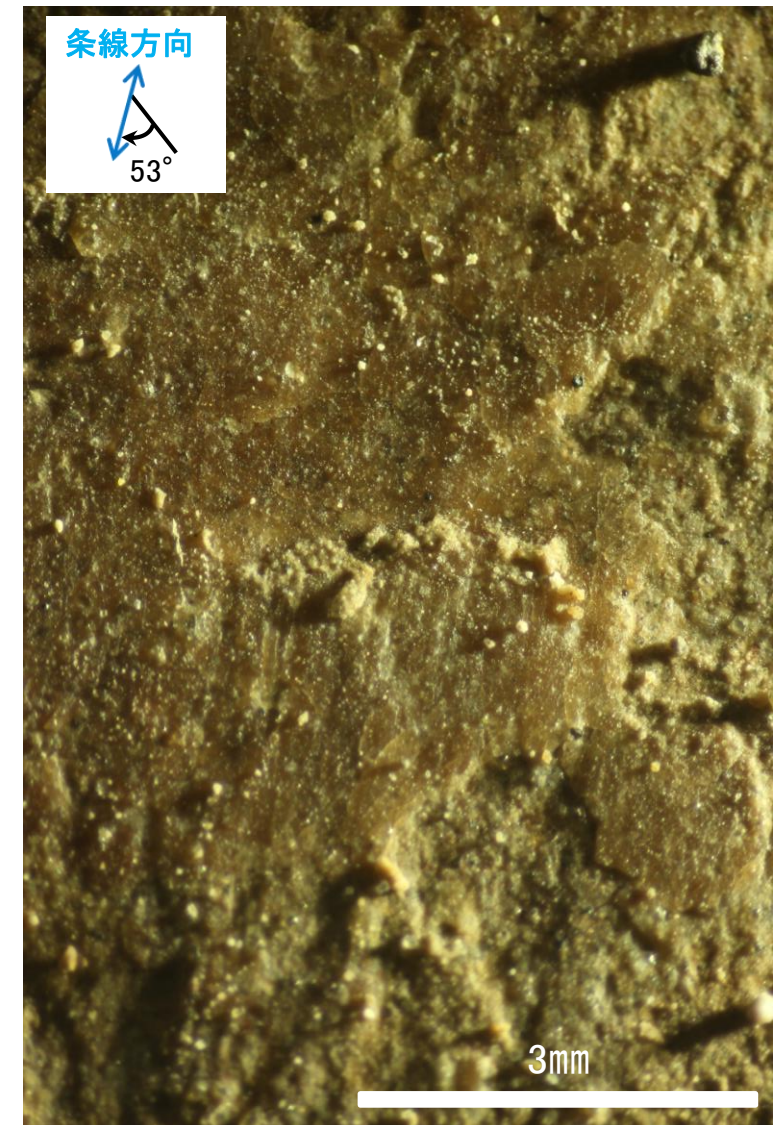
概念図  
※走向は真北で示す。



観察面写真



観察面拡大写真

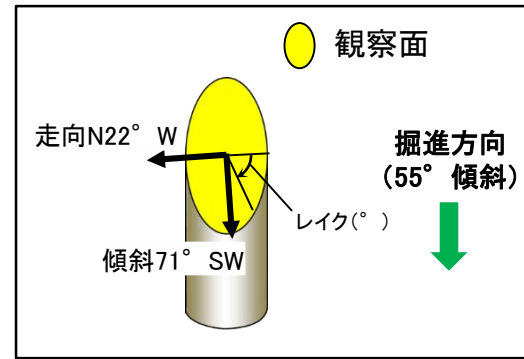


詳細観察写真

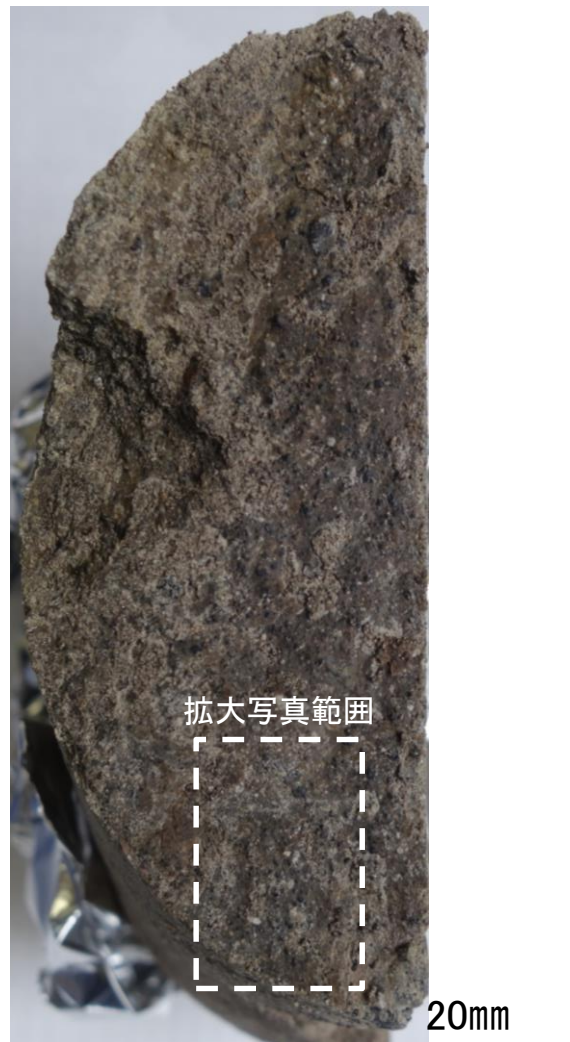
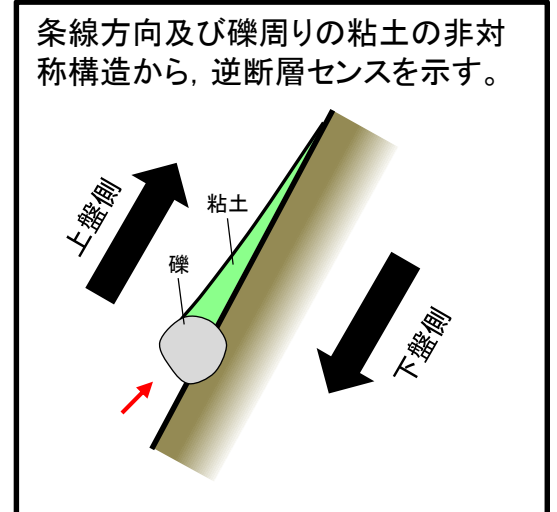
・条線のレイクは53° R, 変位センスは不明



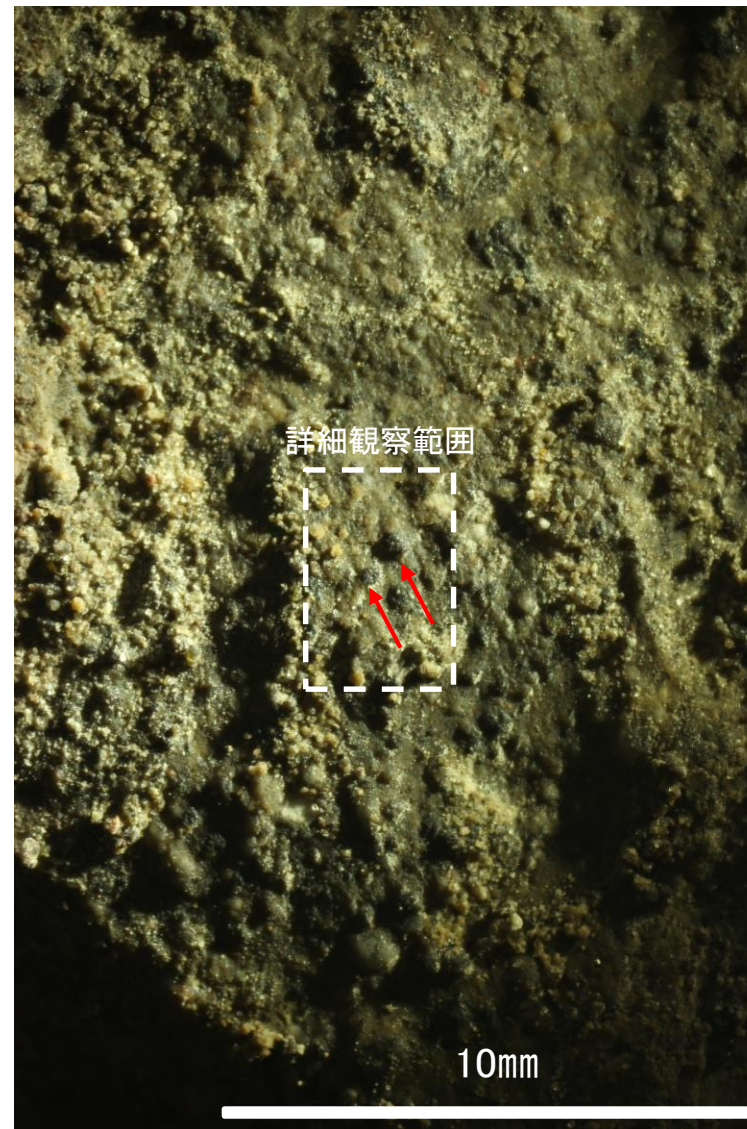
# 条線観察結果 ボーリングH-5.5-3孔[深度19.85m](下盤側)①



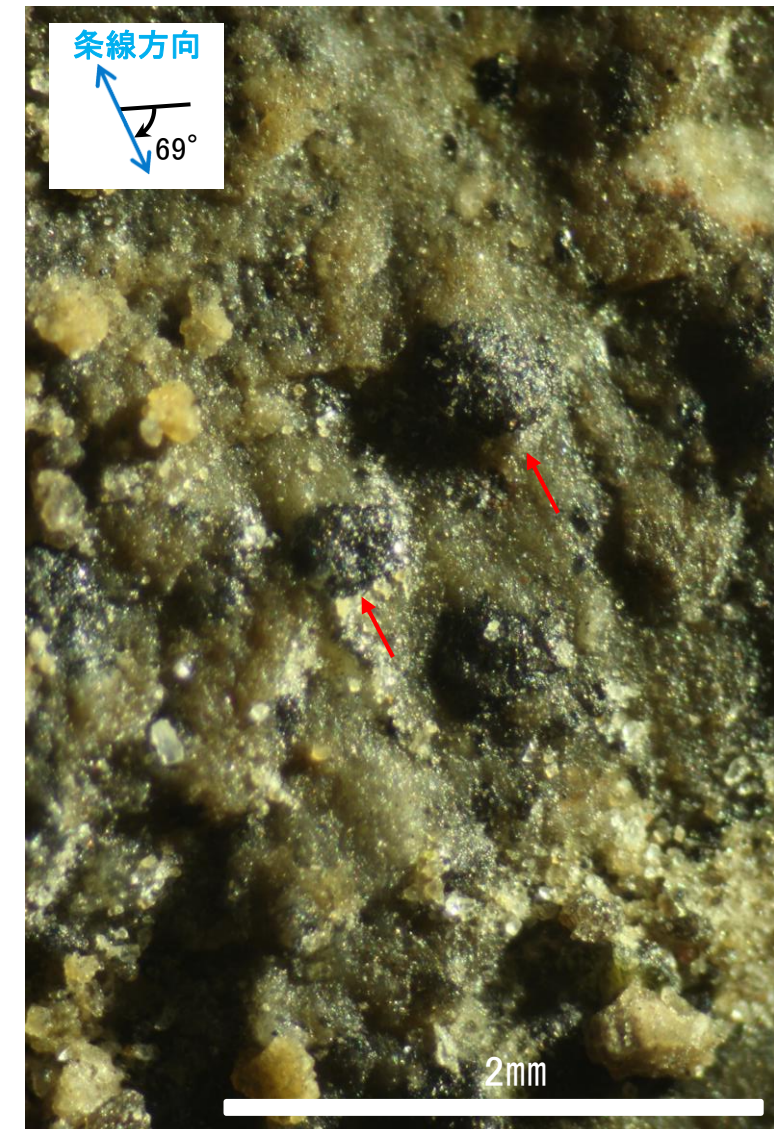
概念図  
※走向は真北で示す。



観察面写真



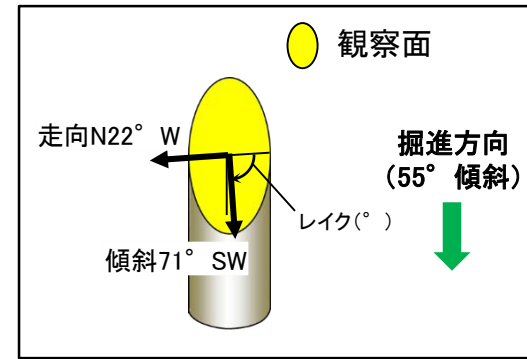
観察面拡大写真



詳細観察写真

・条線のレイクは69° R, 変位センスは右横ずれ逆断層センス

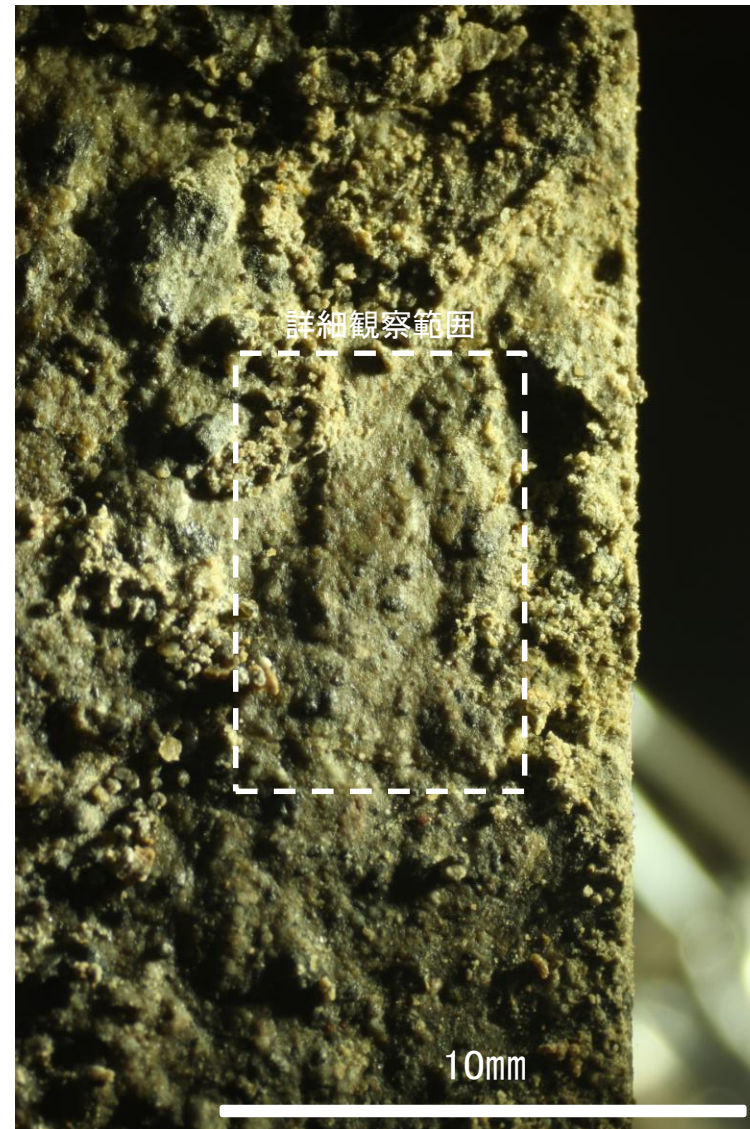
# 条線観察結果 ボーリングH-5.5-3孔[深度19.85m](下盤側)②



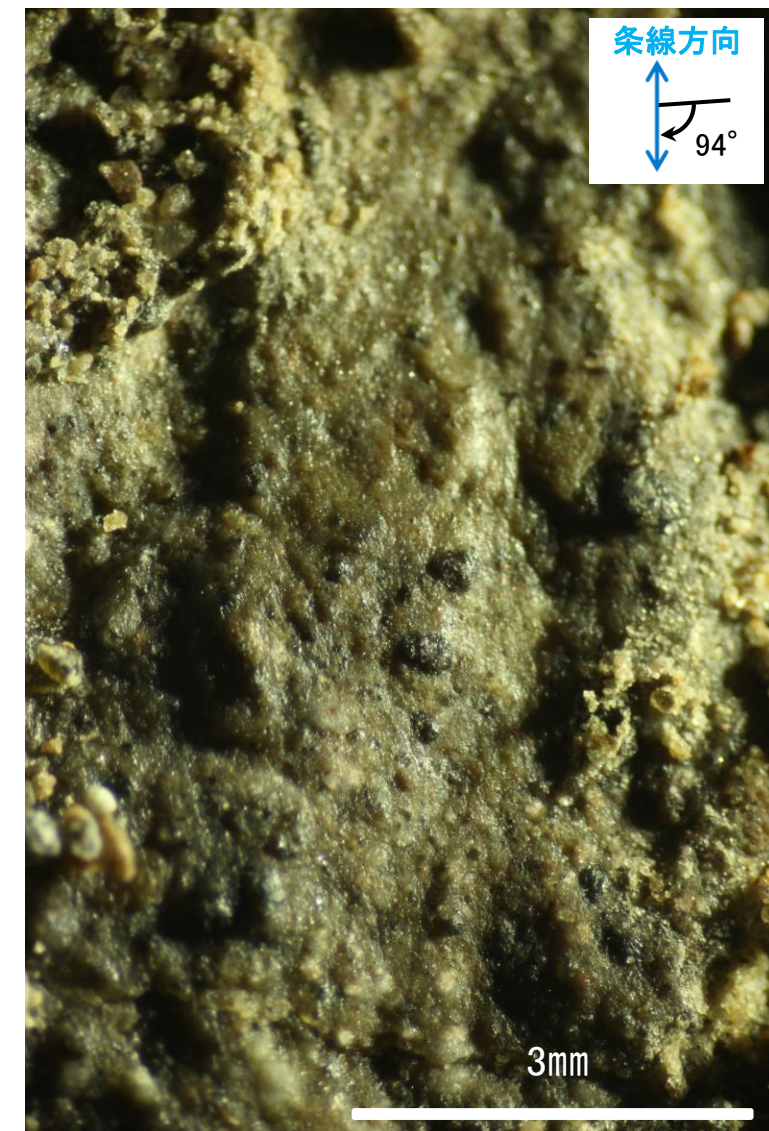
概念図  
※走向は真北で示す。



観察面写真



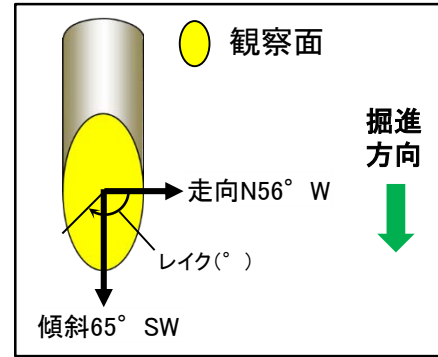
観察面拡大写真



詳細観察写真

・条線のレイクは94° R, 変位センスは不明

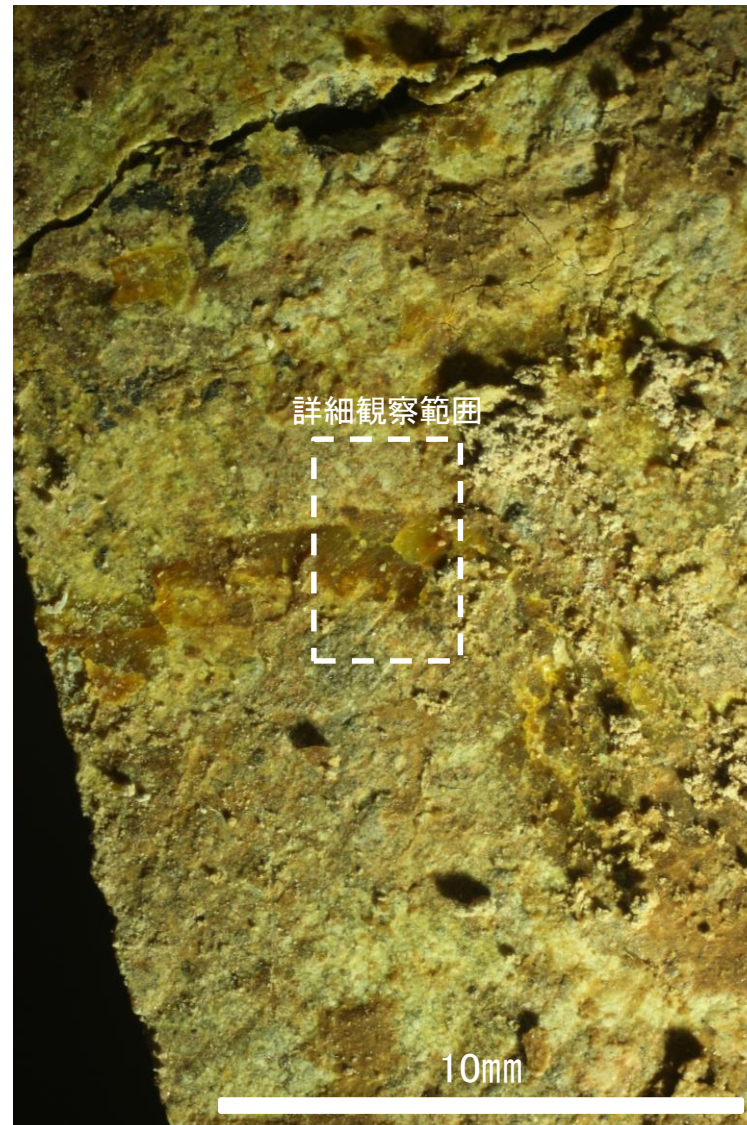
# 条線観察結果 ボーリングH-5.7孔[深度13.20m](上盤側)①



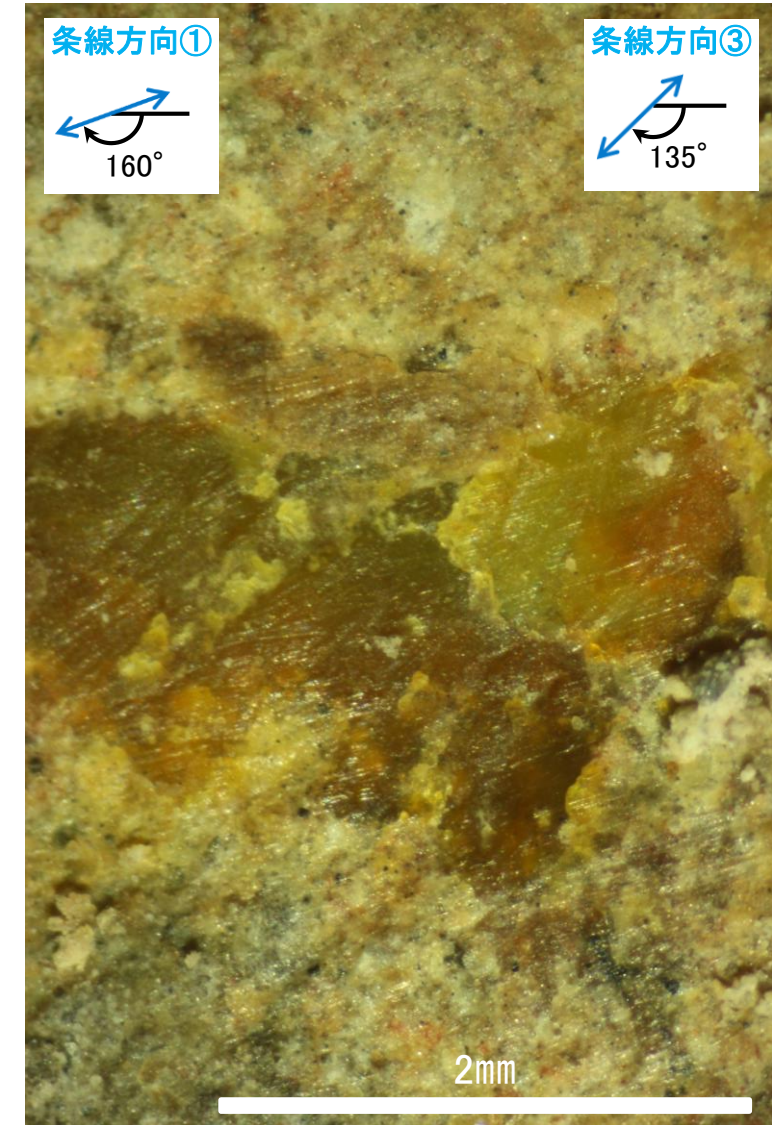
概念図  
※走向は真北で示す。



観察面写真

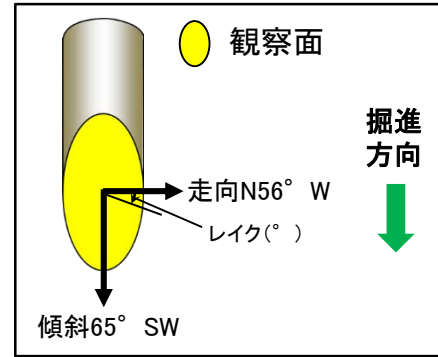


観察面拡大写真



詳細観察写真

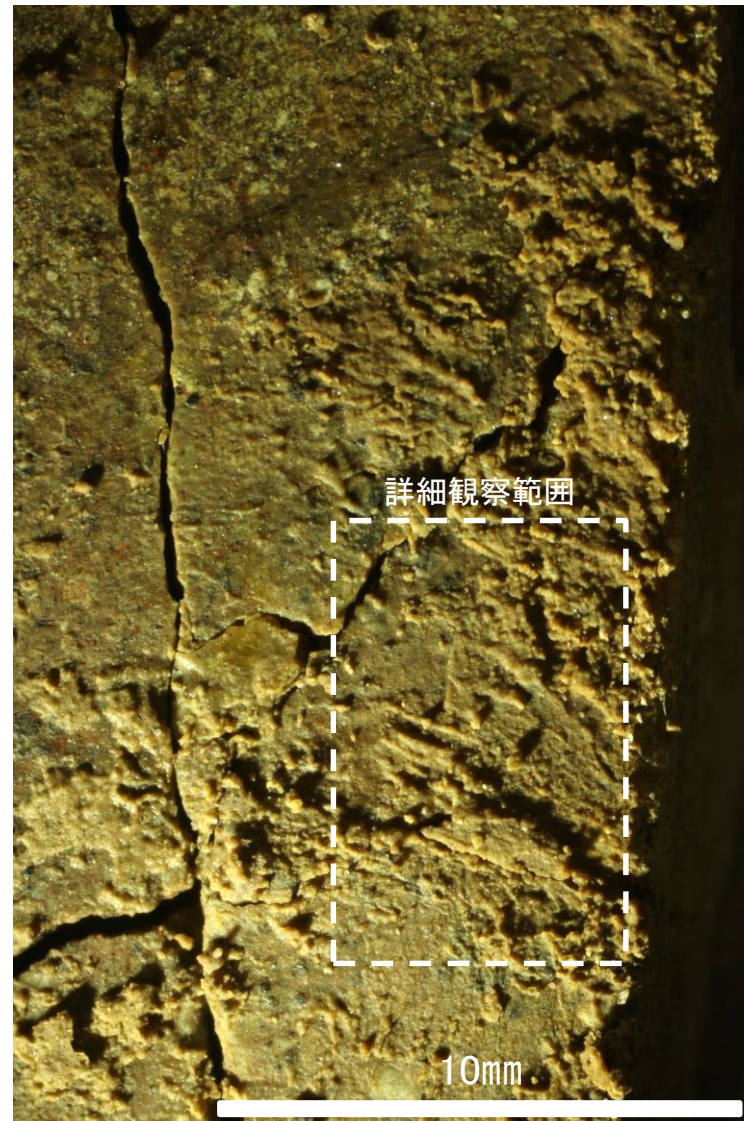
・条線のレイクは20° R(下盤側換算), 45° R(下盤側換算), それぞれ変位センスは不明



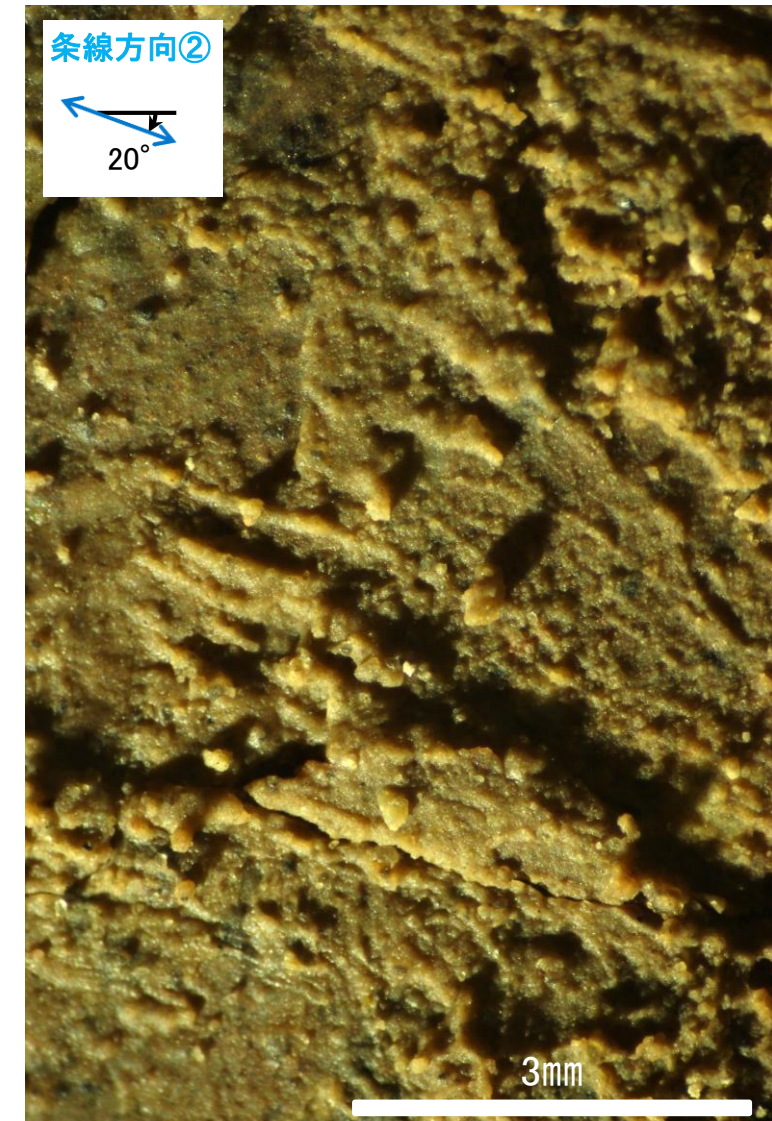
概念図  
※走向は真北で示す。



観察面写真



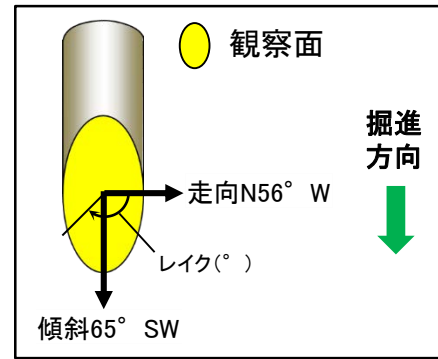
観察面拡大写真



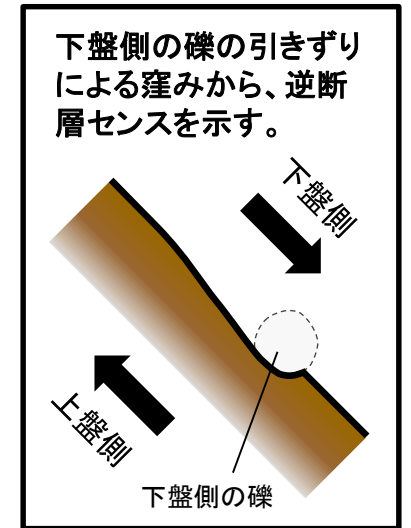
詳細観察写真

・条線のレイクは $160^\circ$  R(下盤側換算), 変位センスは不明

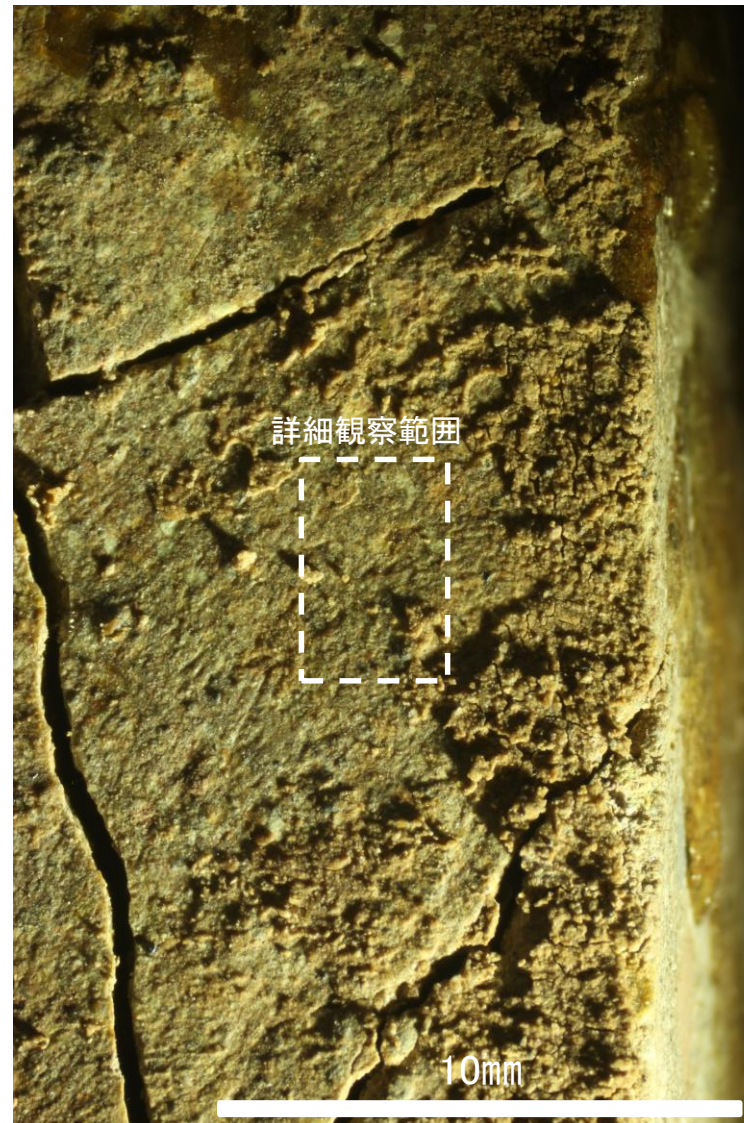
# 条線観察結果 ボーリングH-5.7孔[深度13.20m](上盤側)③



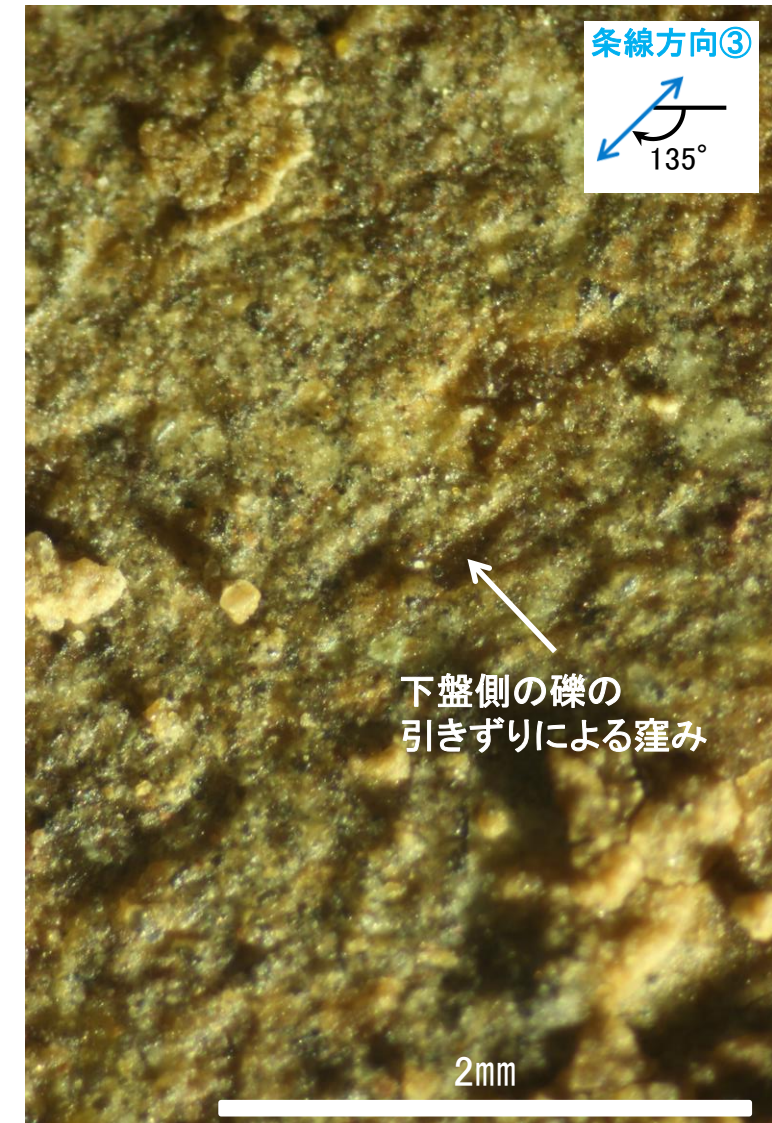
概念図  
※走向は真北で示す。



観察面写真



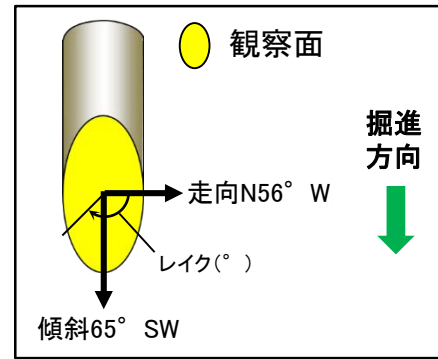
観察面拡大写真



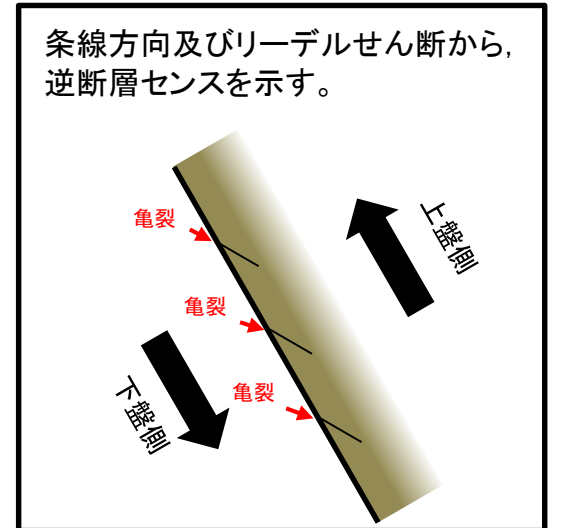
詳細観察写真

・条線のレイクは45° R (下盤側換算), 変位センスは右横ずれ逆断層センス

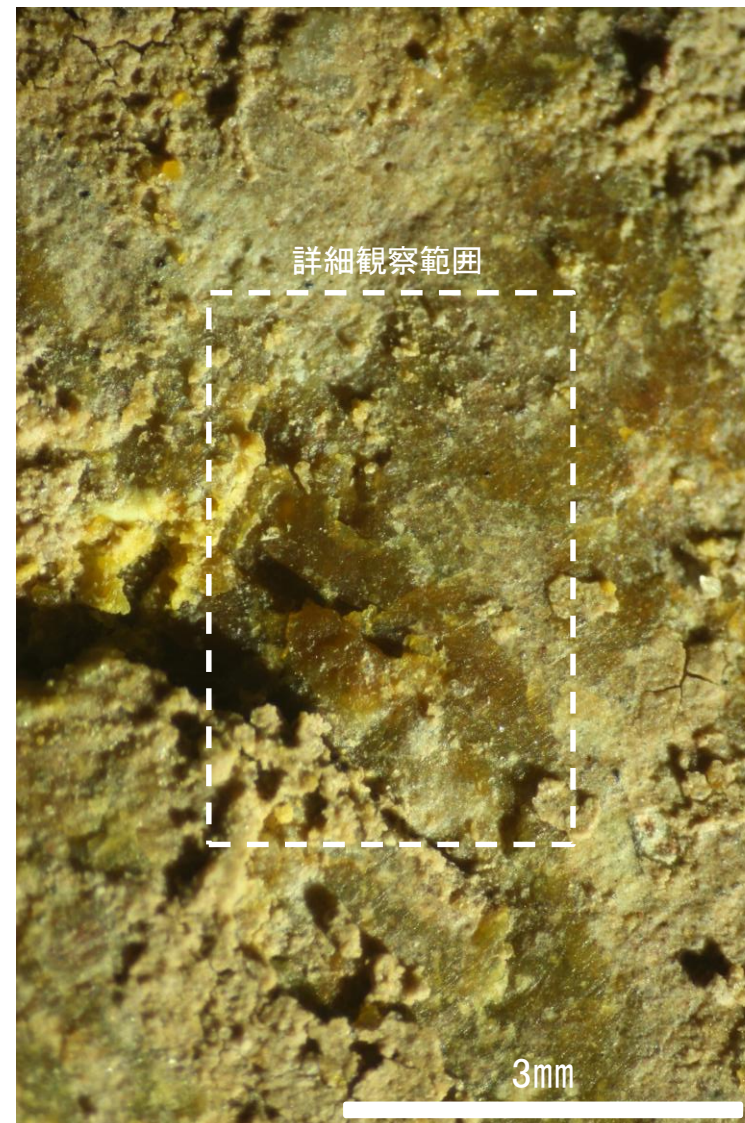
# 条線観察結果 ボーリングH-5.7孔[深度13.20m](上盤側)④



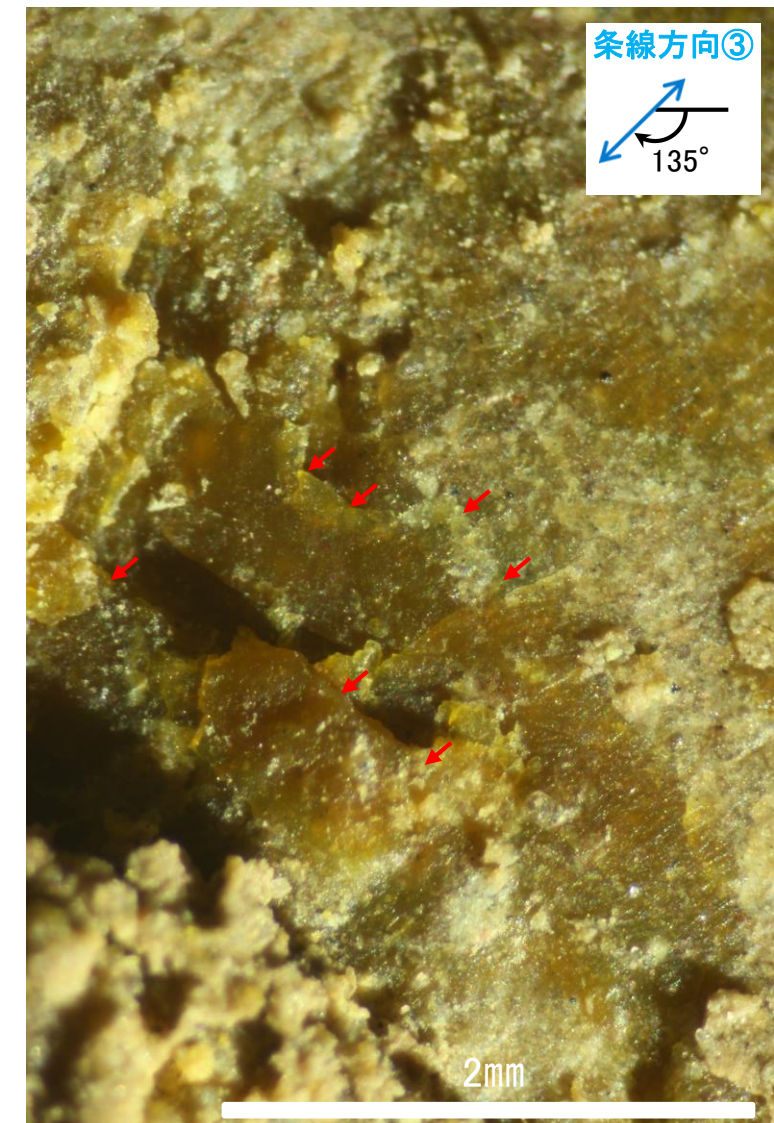
概念図  
※走向は真北で示す。



観察面写真



観察面拡大写真

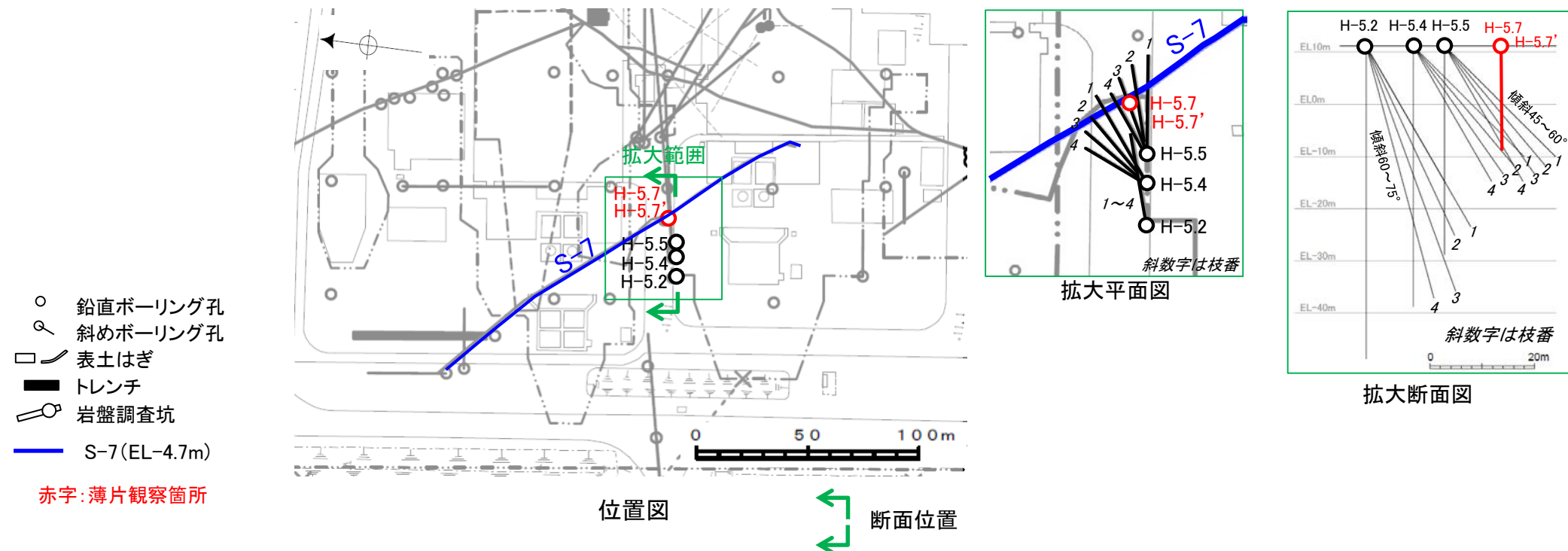


詳細観察写真

・条線のレイクは45° R (下盤側換算), 変位センスは右横ずれ逆断層センス

薄片観察結果(固結した破碎部, 粘土状破碎部)	
薄片番号	変位センス
H-5.7_20R	不明
H-5.7'_20R	不明

\* 各薄片試料は、付近の断層の条線観察結果を踏まえたレイクで切断し、作成した。



# 薄片観察結果 (H-5.7\_20R)

■ 条線観察結果を踏まえ、20° Rのレイクでボーリングコアを切断して作成した薄片を観察した。

	顕微鏡観察 (右に構造等を加筆)		顕微鏡観察 拡大 (右に構造等を加筆)	
H-5.7孔 (深度13.20m)	<p>(単ニコル)</p>		<p>(単ニコル)</p>	
	<p>(直交ニコル)</p>		<p>(直交ニコル)</p>	

凡例  
— Y面

・ 固結した破砕部、粘土状破砕部中には変位センスが認定できるような明瞭な変形構造は認められない。



# 薄片観察結果 (H-5.7'\_20R)

■ 条線観察結果を踏まえ、20° Rのレイクでボーリングコアを切断して作成した薄片を観察した。

	顕微鏡観察 (右に構造等を加筆)		顕微鏡観察 拡大 (右に構造等を加筆)		
H-5.7' 孔 (深度14.32m)	(単ニコル)				
	(直交ニコル)				

凡例  
— 例  
— Y面

・固結した破碎部, 粘土状破碎部中には変位センスが認定できるような明瞭な変形構造は認められない。

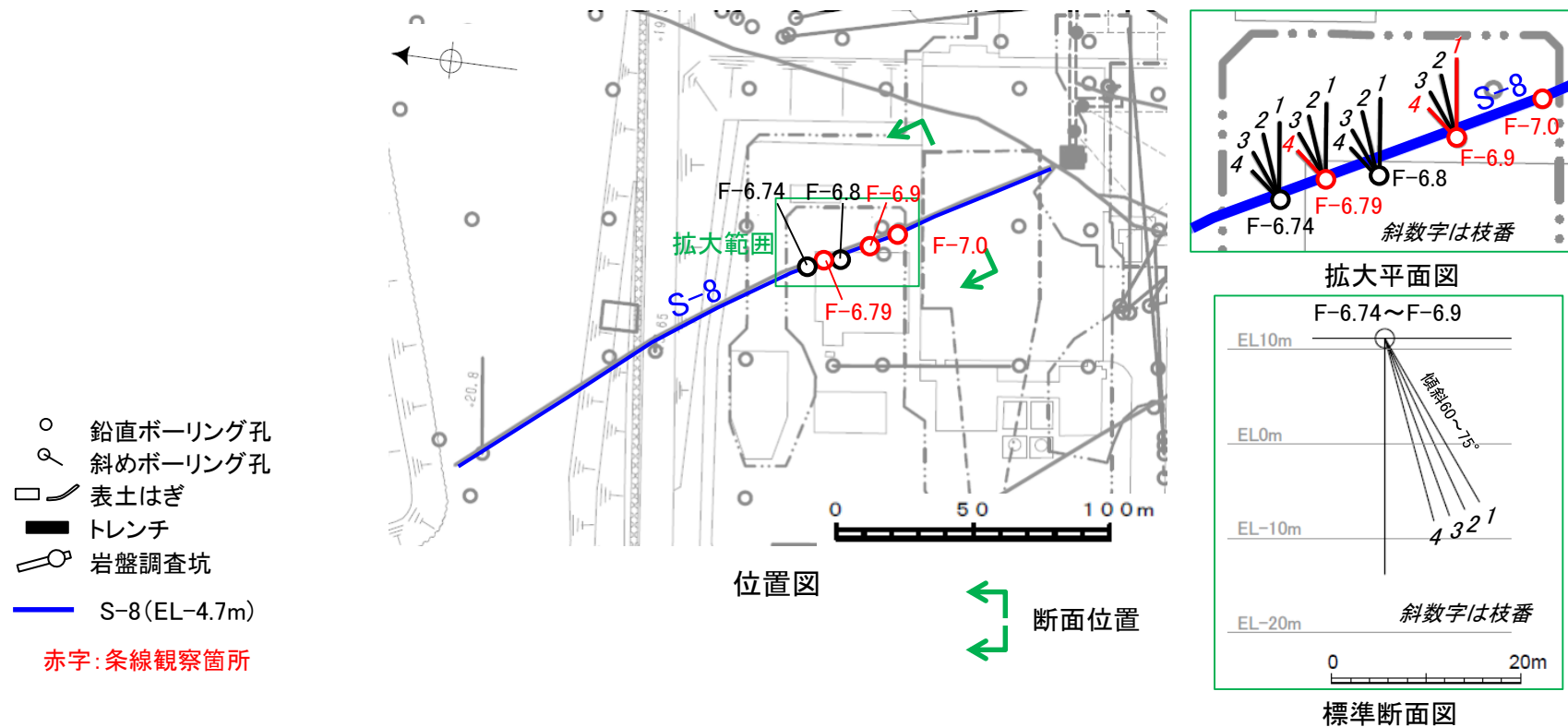
---

(7) S-8の運動方向調査結果

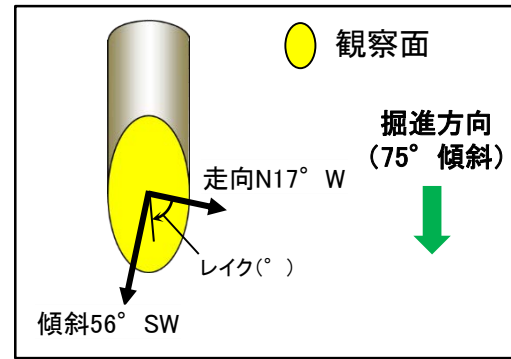
# S-8の条線観察結果

試料名		走向/傾斜 (走向は真北)	条線のレイク※1	変位センス
ボーリングF-6.79-4孔 [深度17.65m]	上盤側	N17° W/56° SW	107° R	(不明)
ボーリングF-6.9孔 [深度19.15m]	下盤側	N3° E/48° NW	135° R	左横ずれ逆断層
ボーリングF-6.9-1孔 [深度14.65m]	上盤側	N3° W/51° SW	74° R	(不明)
ボーリング F-6.9-4孔 [深度17.05m]	上盤側	N7° W/59° SW	84° R	(不明)
ボーリングF-7.0孔 [深度16.09m]	下盤側	N10° W/48° SW	70° R	(不明)
			25° R	(不明)

※1 上盤側で確認したレイクは下盤側に換算して示す。



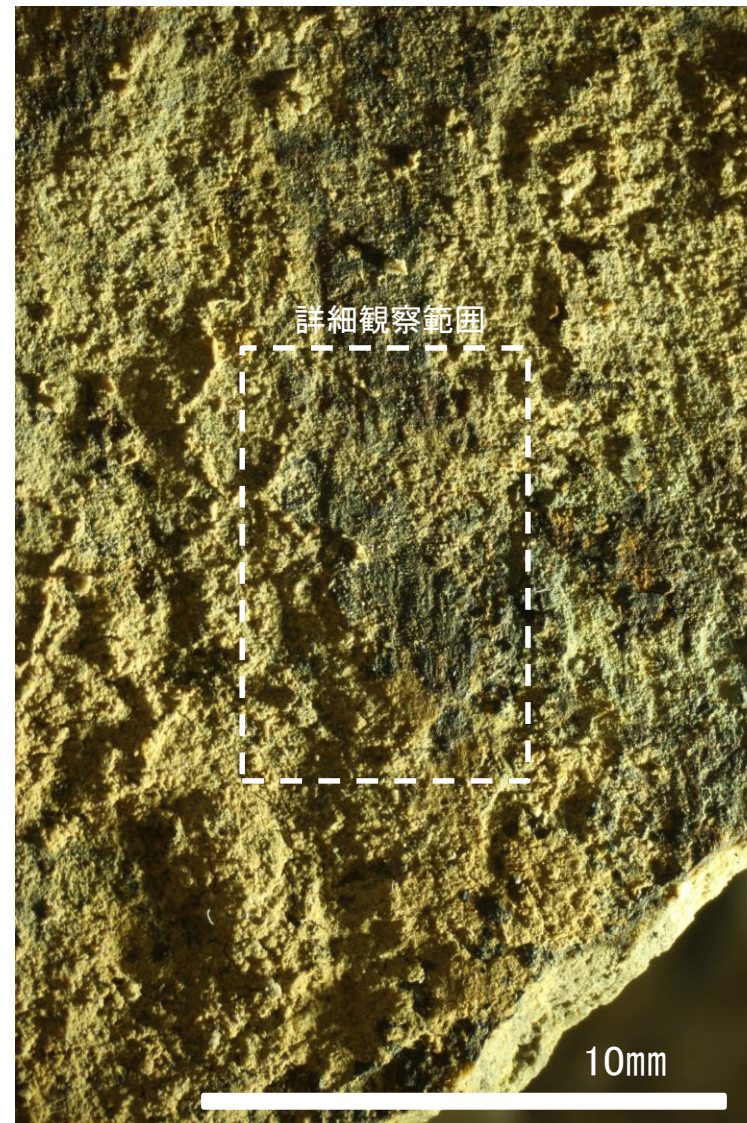
# 条線観察結果 ボーリングF-6.79-4孔[深度17.65m](上盤側)



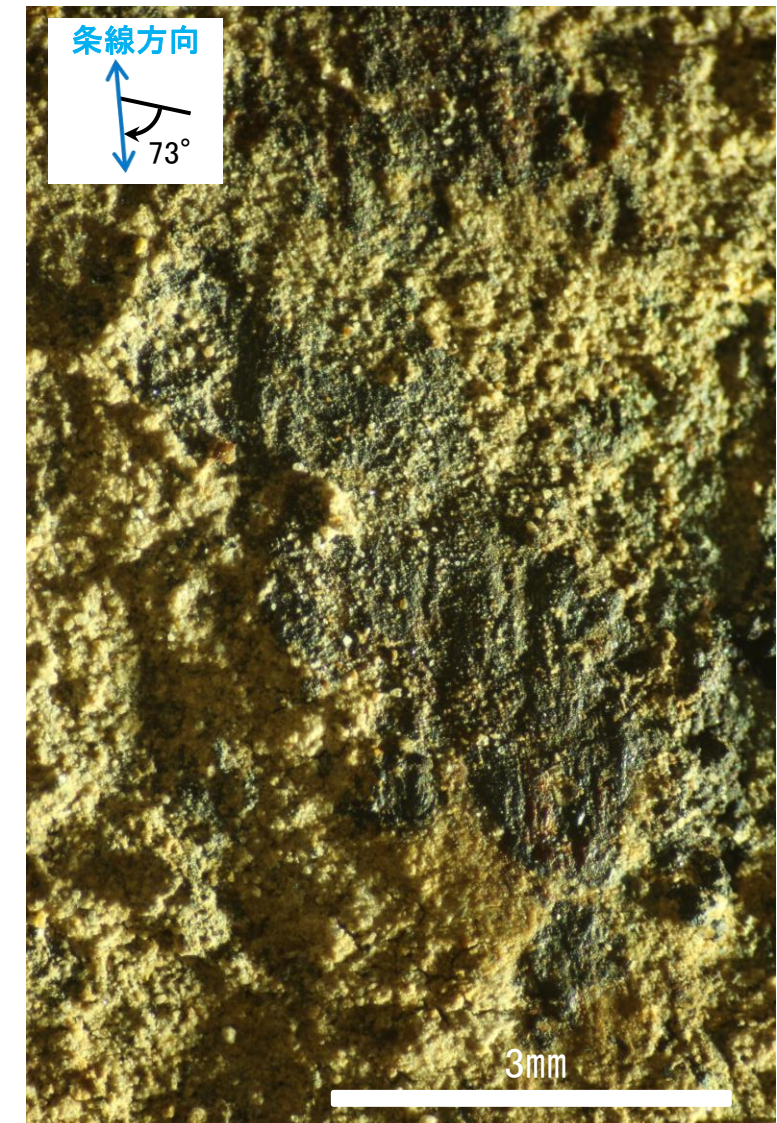
概念図  
※走向は真北で示す。



観察面写真



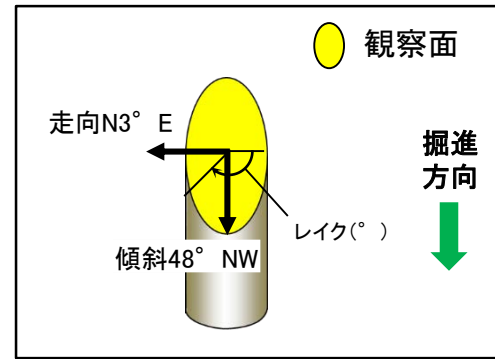
観察面拡大写真



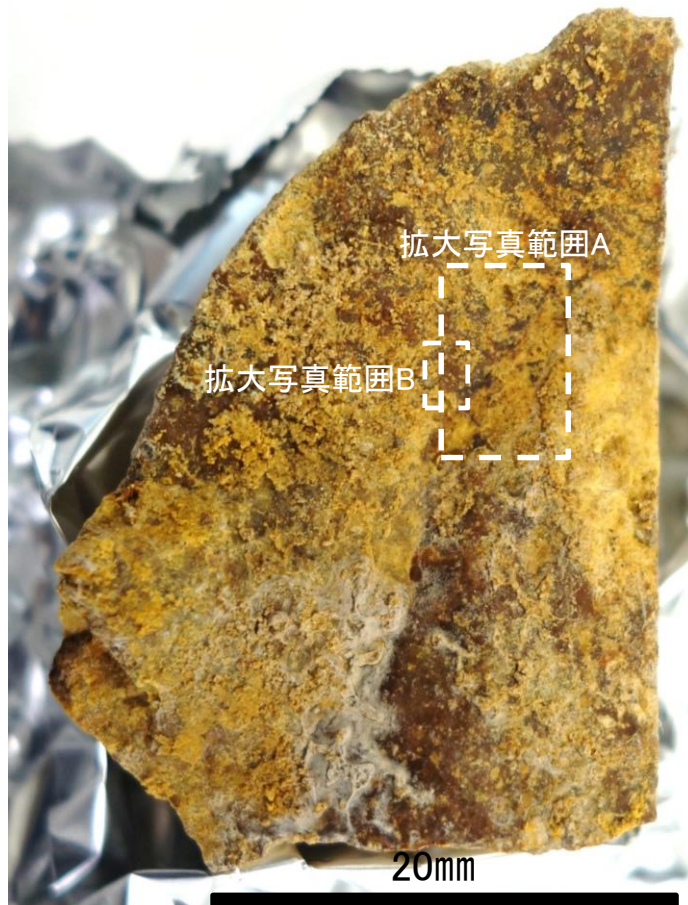
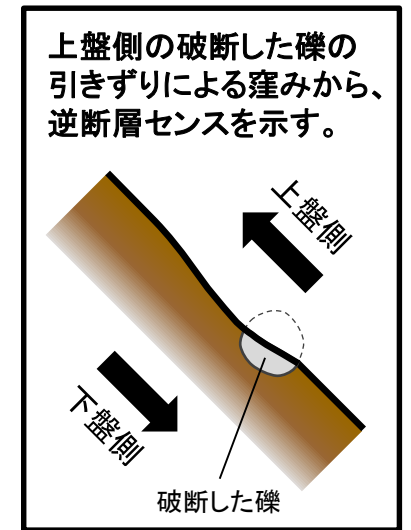
詳細観察写真

・条線のレイクは $107^{\circ}$  R(下盤側換算), 変位センスは不明

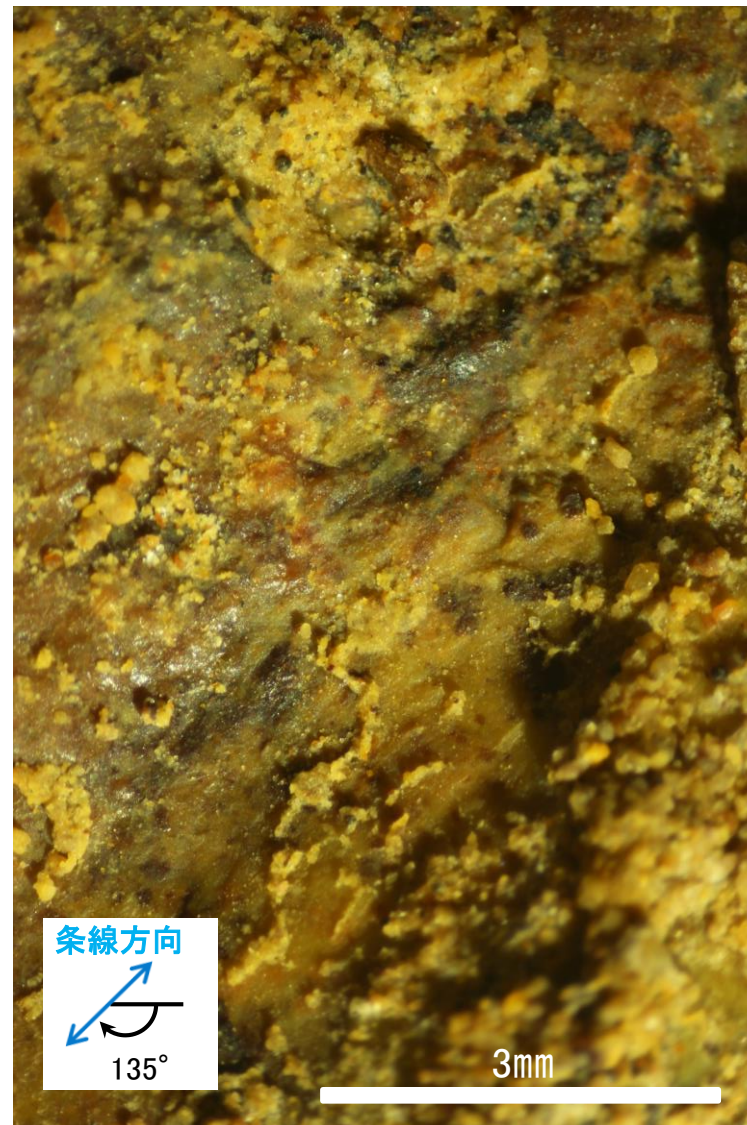
# 条線観察結果 ボーリングF-6.9孔[深度19.15m](下盤側)①



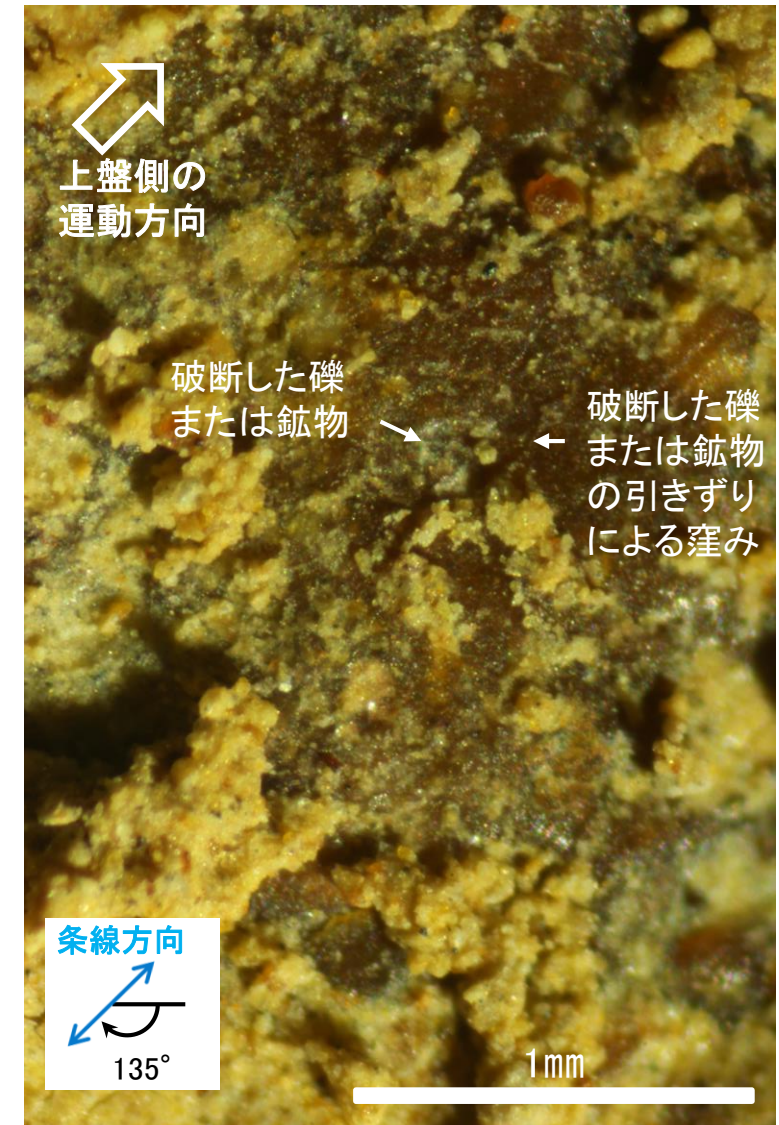
概念図  
※走向は真北で示す。



観察面写真



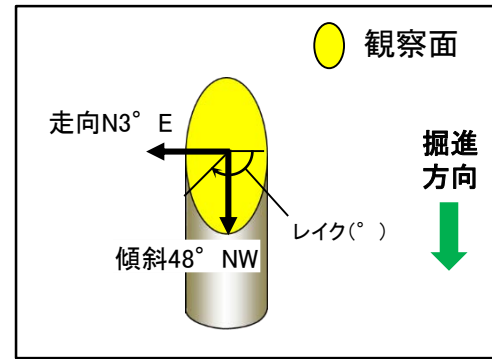
観察面拡大写真A



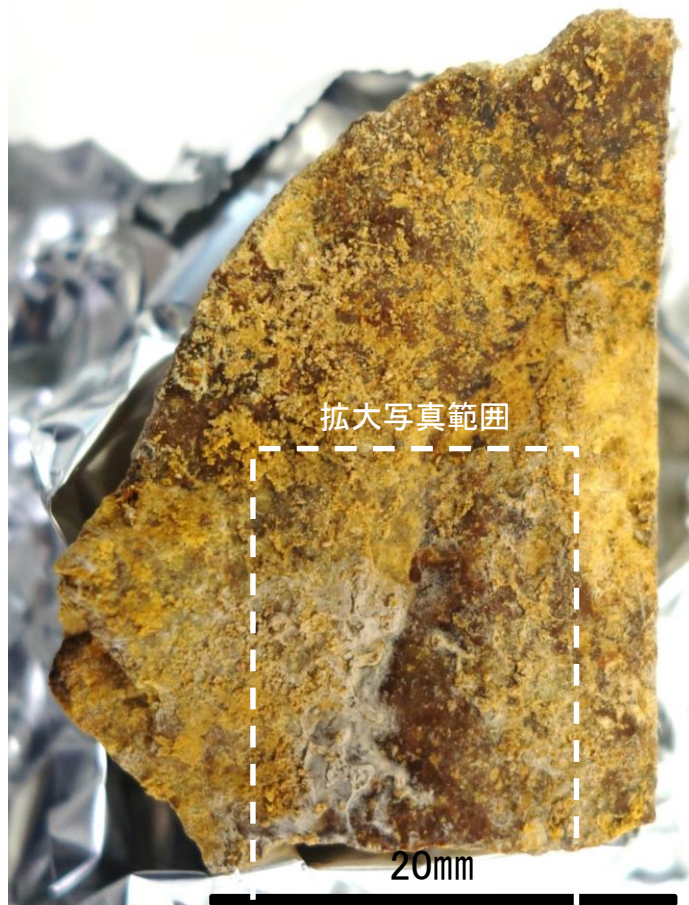
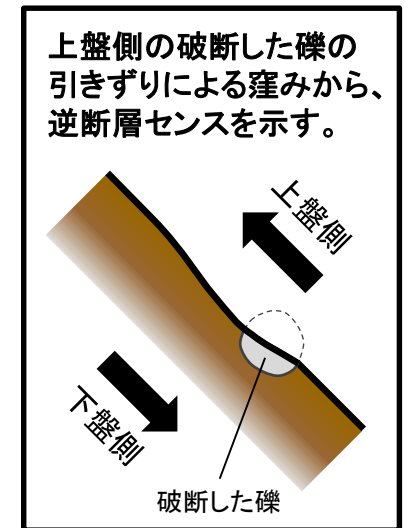
観察面拡大写真B

・条線のレイクは135° R, 変位センスは左横ずれ逆断層センス

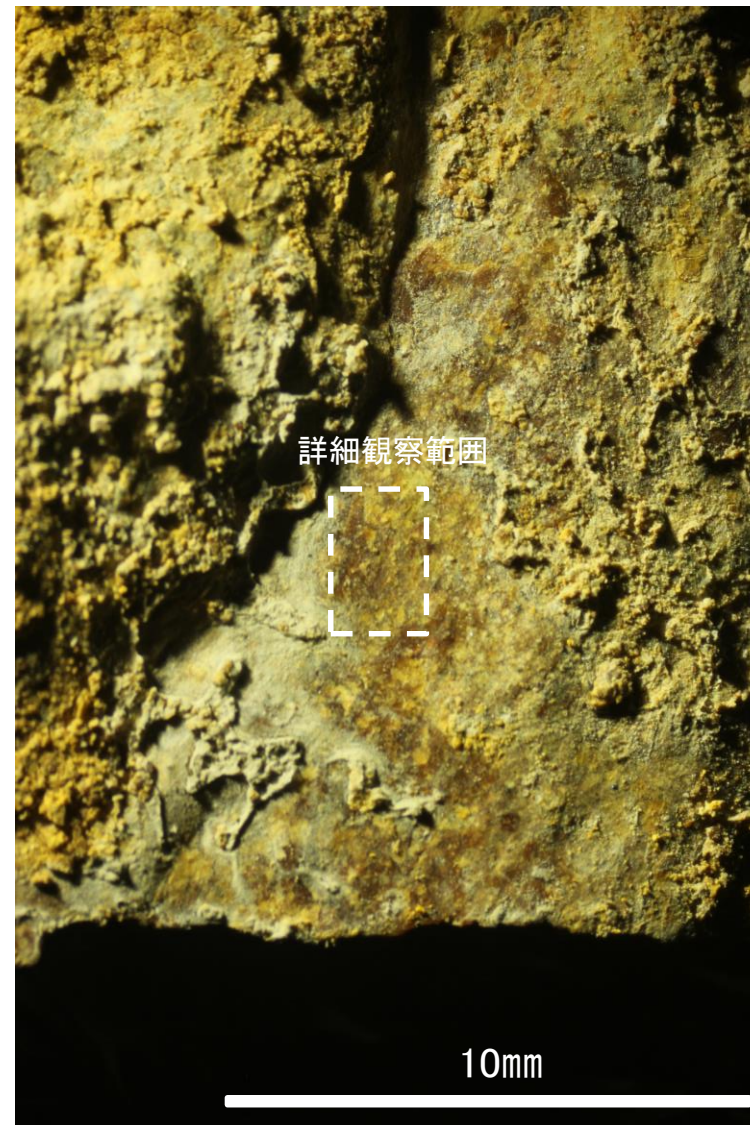
# 条線観察結果 ボーリングF-6.9孔[深度19.15m](下盤側)②



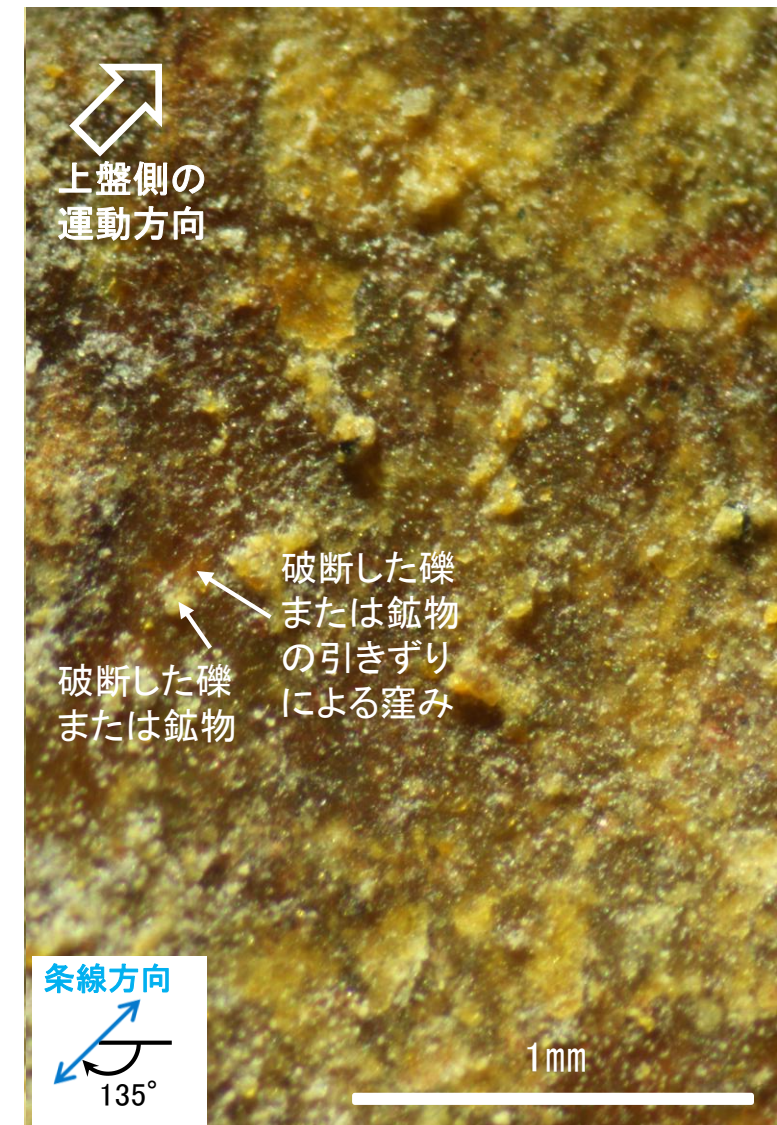
概念図  
※走向は真北で示す。



観測面写真



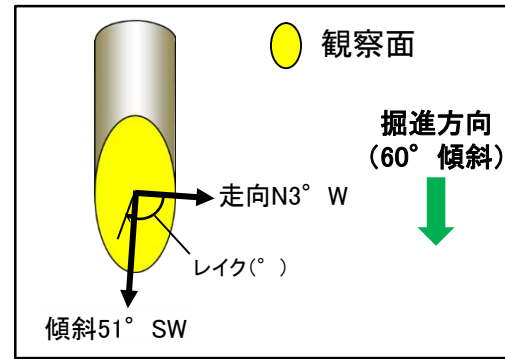
観測面拡大写真



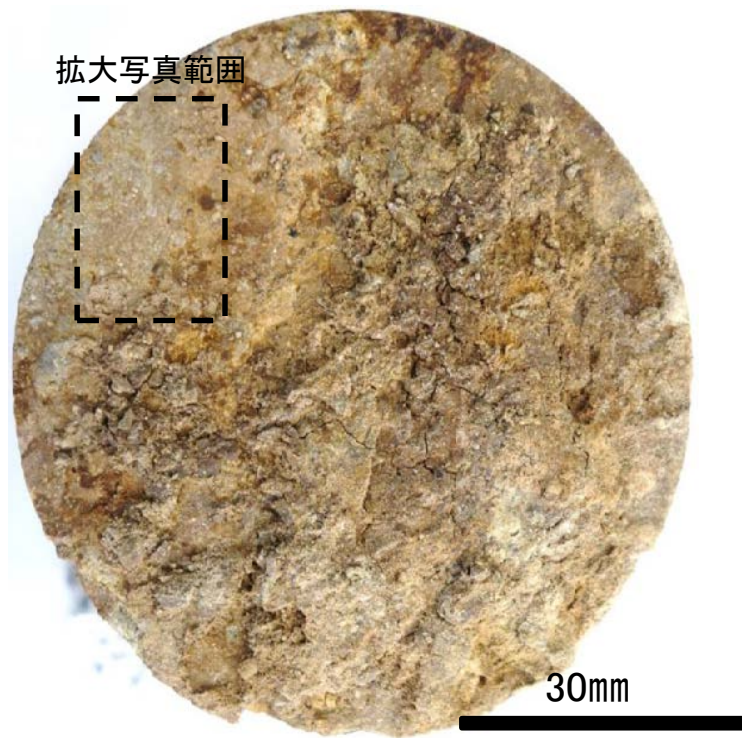
詳細観察写真

・条線のレイクは135° R, 変位センスは左横ずれ逆断層センス

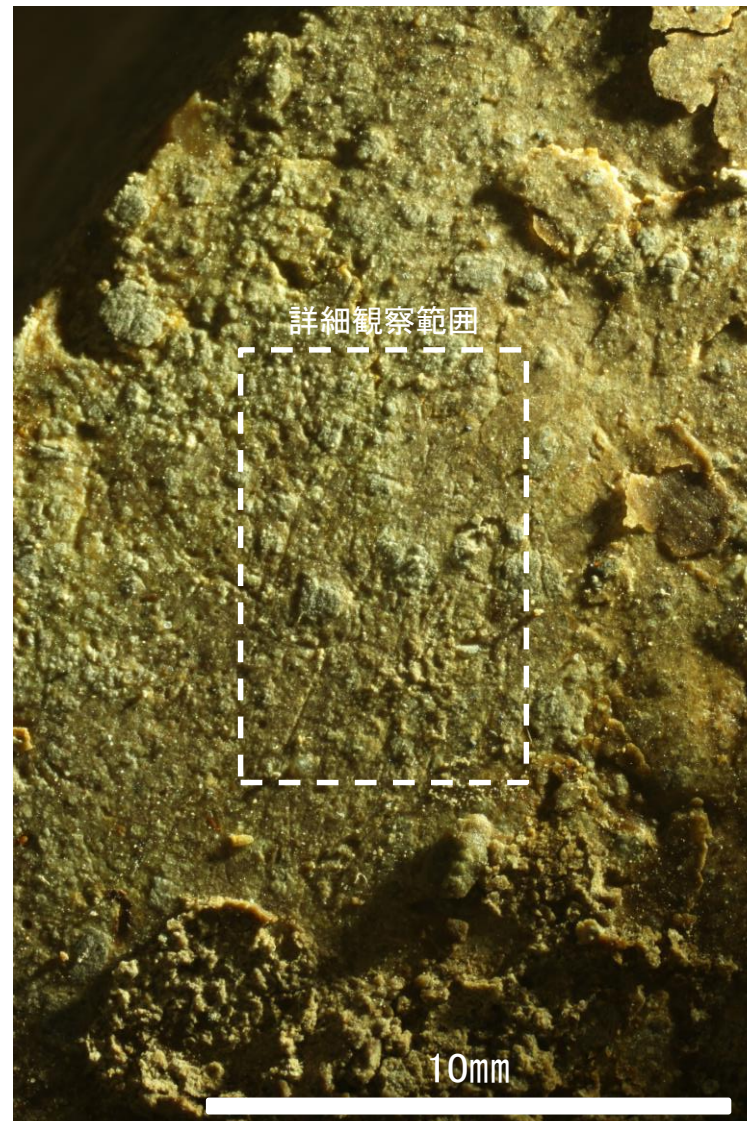
# 条線観察結果 ボーリングF-6.9-1孔[深度14.65m](上盤側)



概念図  
※走向は真北で示す。



観察面写真



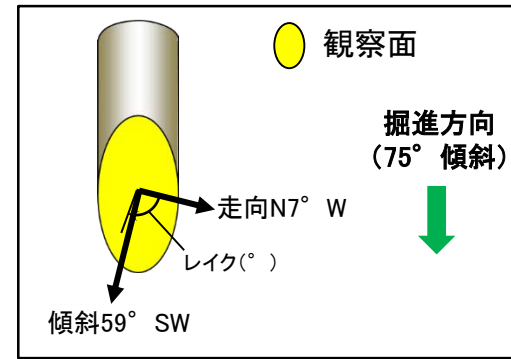
観察面拡大写真



詳細観察写真

・条線のレイクは74° R(下盤側換算), 変位センスは不明

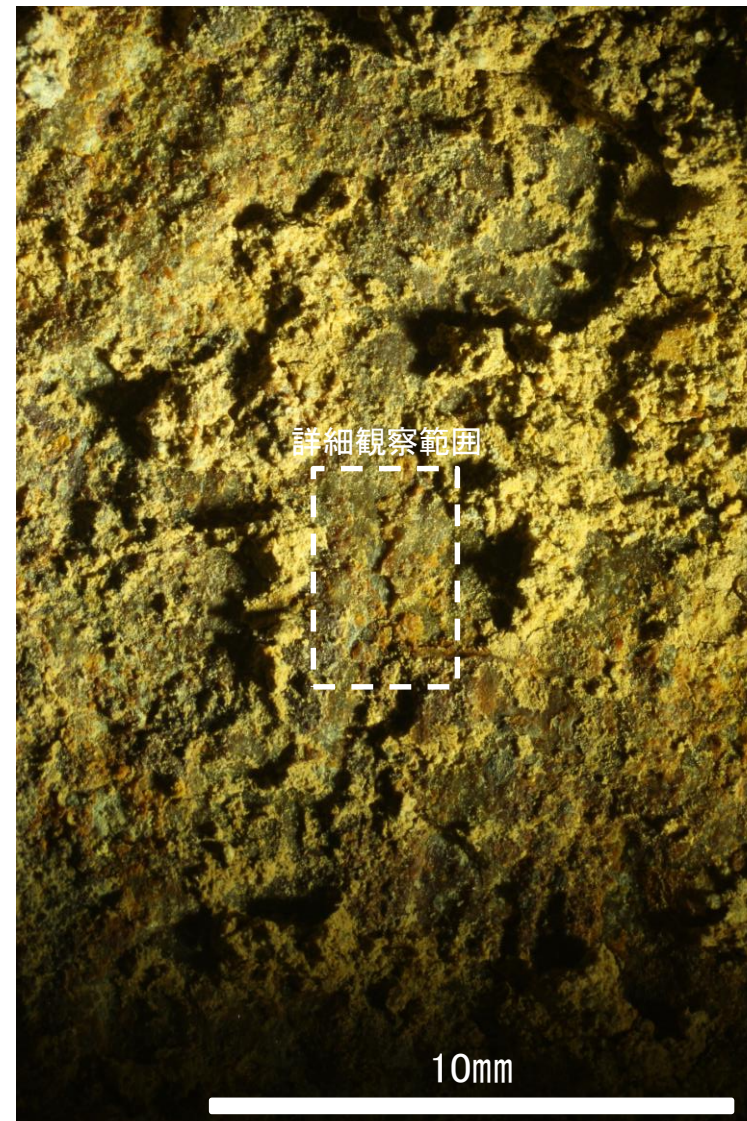
# 条線観察結果 ボーリングF-6.9-4孔[深度17.05m](上盤側)



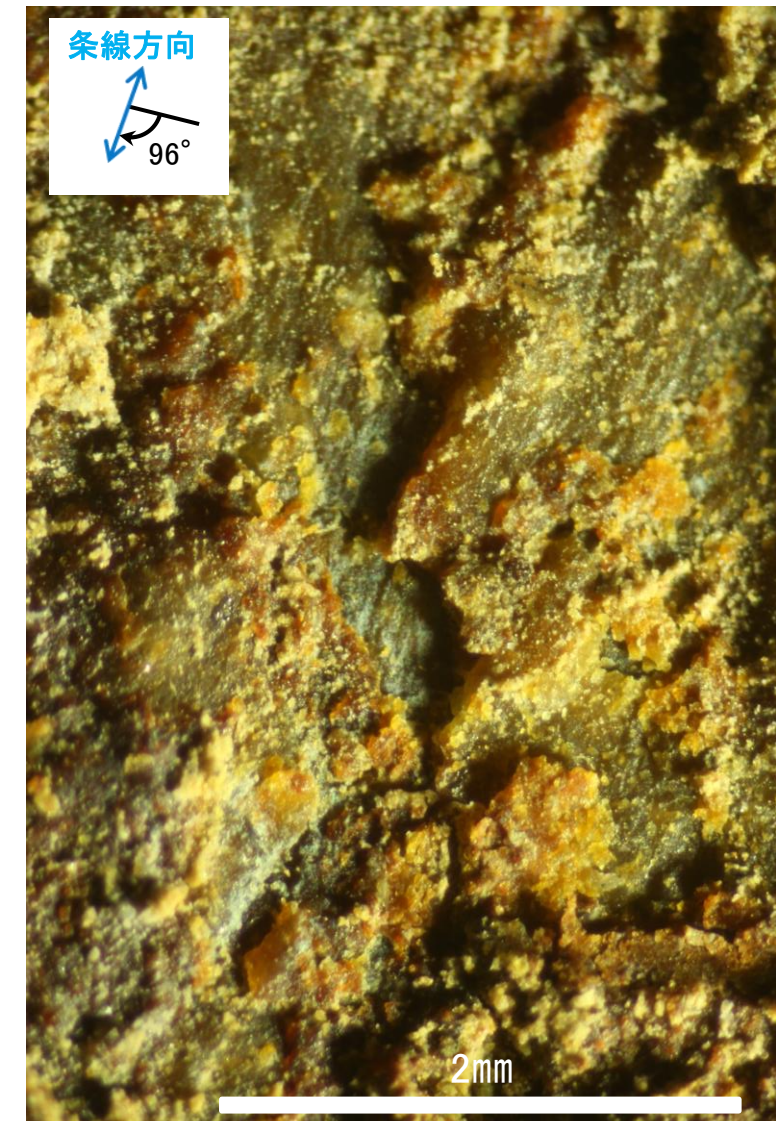
概念図  
※走向は真北で示す。



観察面写真



観察面拡大写真

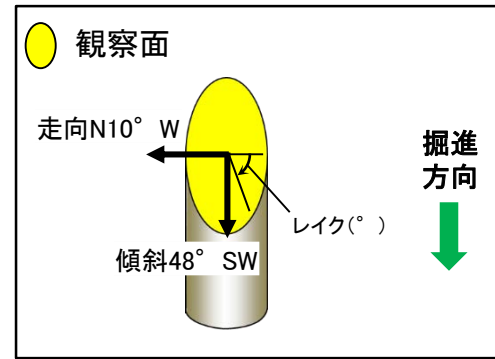


詳細観察写真

・条線のレイクは84° R(下盤側換算), 変位センスは不明



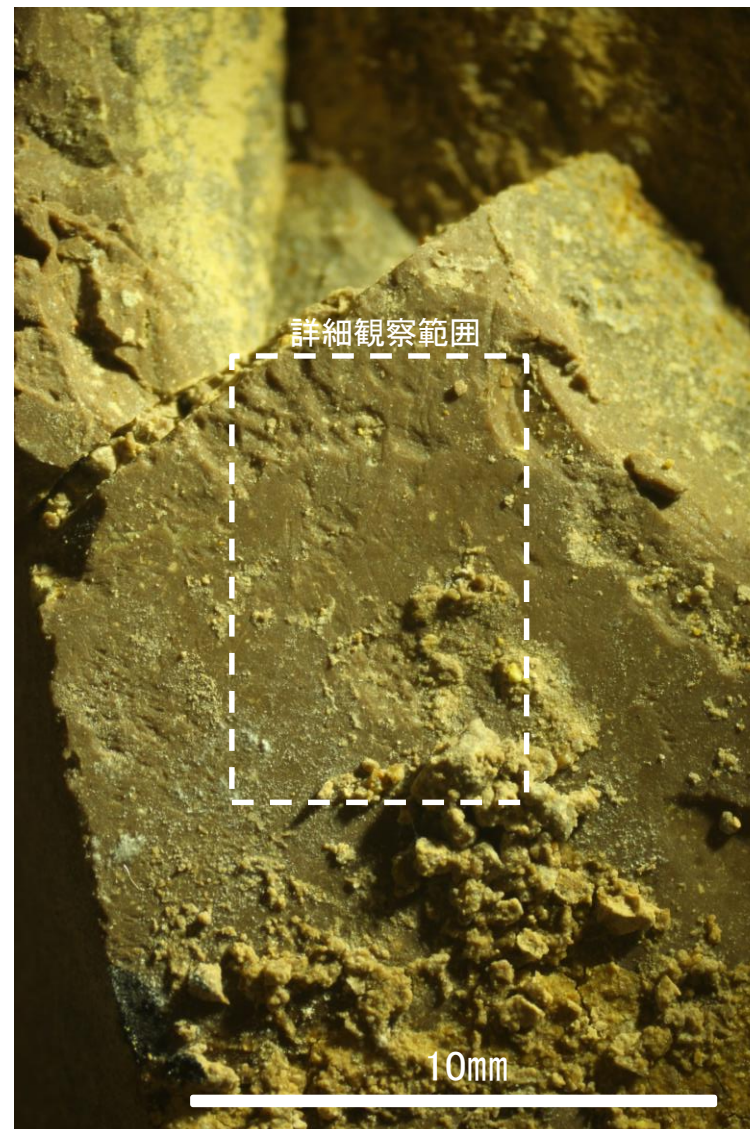
# 条線観察結果 ボーリングF-7.0孔[深度16.09m](下盤側)①



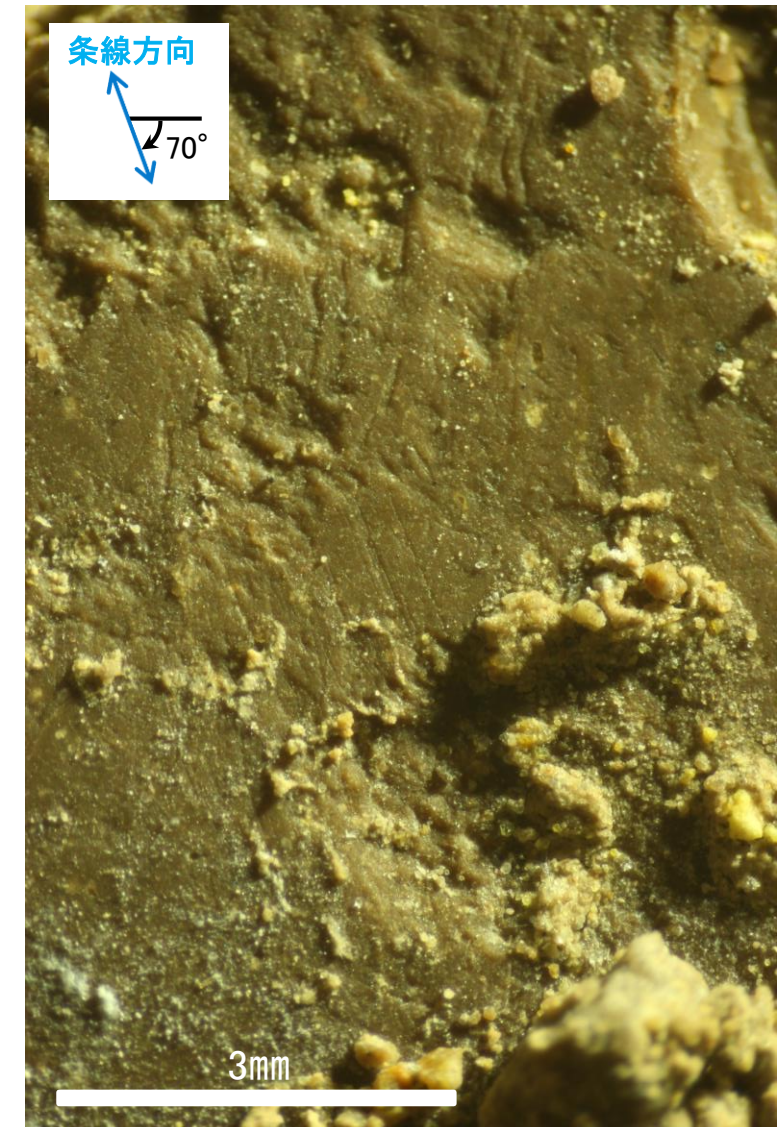
概念図  
※走向は真北で示す。



観察面写真



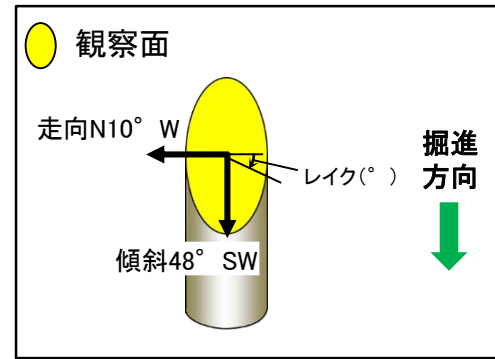
観察面拡大写真



詳細観察写真

・条線のレイクは70° R, 変位センスは不明

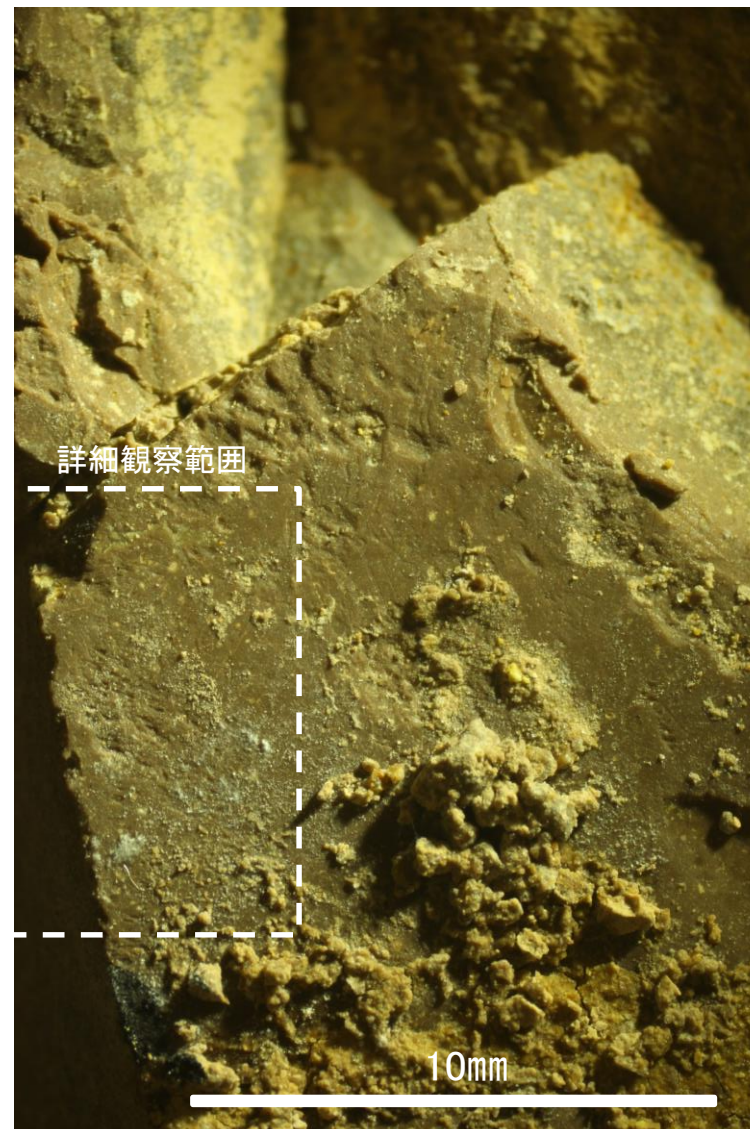
# 条線観察結果 ボーリングF-7.0孔[深度16.09m](下盤側)②



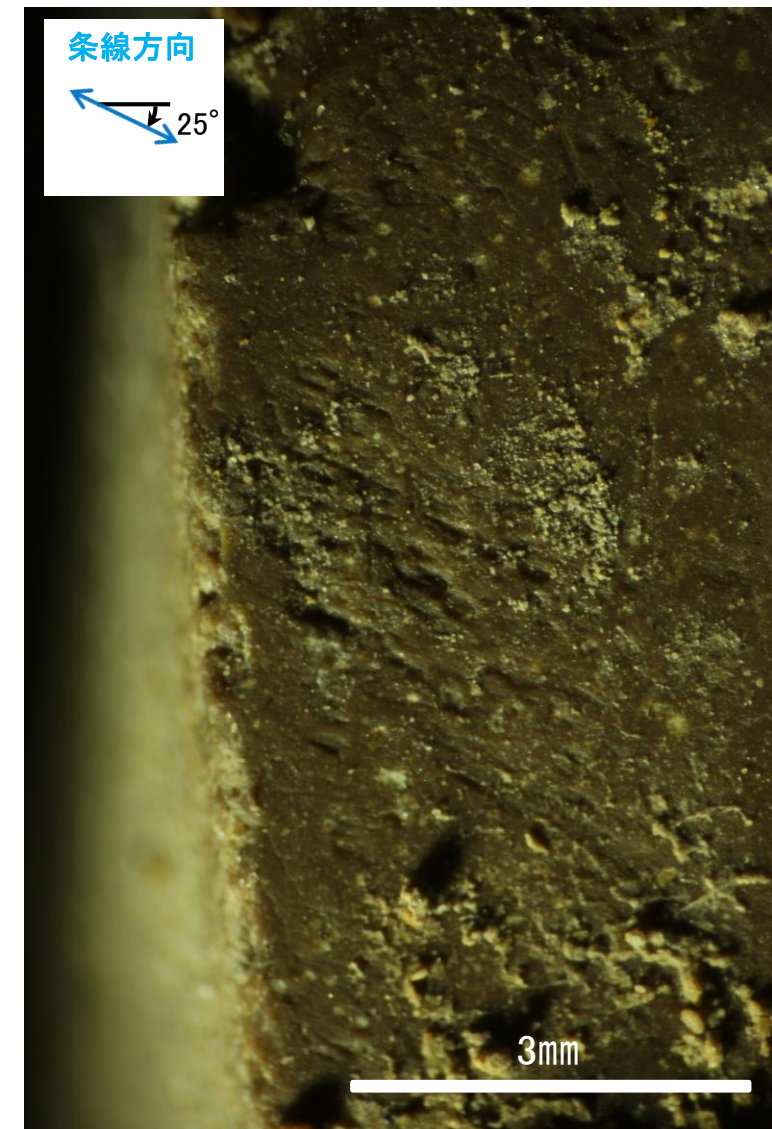
概念図  
※走向は真北で示す。



観察面写真



観察面拡大写真



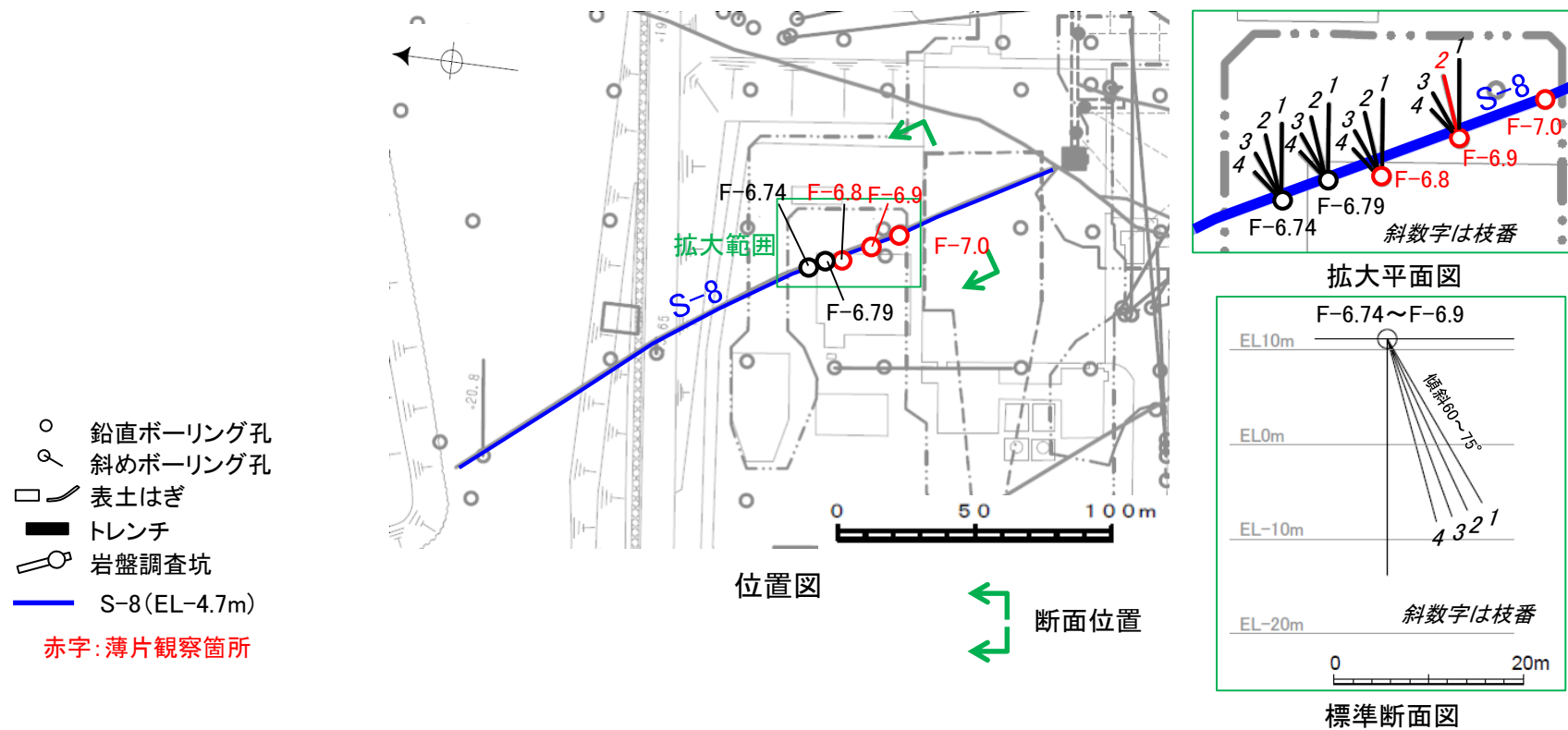
詳細観察写真

・条線のレイクは25° R, 変位センスは不明

薄片観察結果(固結した破砕部)	
薄片番号	変位センス
F-6.9-2_145R	正断層

薄片観察結果(固結した破砕部, 粘土状破砕部)	
薄片番号	変位センス
F-6.8_70R	不明
F-7.0_70R	不明

\* 各薄片試料は、付近の断層の条線観察結果を踏まえたレイクで切断し、作成した。



# 薄片観察結果 (F-6.9-2\_145R)

■ 条線観察結果を踏まえ、145° Rのレイクでボーリングコアを切断して作成した薄片を観察した。

		顕微鏡観察 (右に構造等を加筆)		顕微鏡観察 拡大 (右に構造等を加筆)		
F-6.9-2孔 (深度13.30m)	(単ニコル)					
	(直交ニコル)					
	<p style="text-align: right;">凡例  <span style="color: green;">—</span> Y面  <span style="color: blue;">—</span> P面  <span style="color: red;">↕</span> 変位方向</p>					
	<p style="text-align: right;">(直交ニコル) 上 上 上 上 上 上</p>					

・ 固結した破碎部中の変形構造から、見かけ上盤側下がりの変位が推定され、正断層センスが認定できる。

# 薄片観察結果 (F-6.8\_70R)

■ 条線観察結果を踏まえ、70° Rのレイクでボーリングコアを切断して作成した薄片を観察した。

	顕微鏡観察 (右に構造等を加筆)	顕微鏡観察 拡大 (右に構造等を加筆)		
F-6.8孔 (深度23.75m)	<p>(単ニコル) 上</p> <p>凝灰角礫岩 粘土状破砕部 固結した破砕部</p> <p>下盤</p> <p>拡大範囲</p> <p>1cm</p>	<p>(単ニコル) 上</p> <p>凝灰角礫岩 粘土状破砕部 固結した破砕部</p> <p>下</p> <p>1mm</p>	<p>(単ニコル) 上</p> <p>凝灰角礫岩 固結した破砕部 粘土状破砕部 固結した破砕部</p> <p>下</p> <p>1mm</p>	<p>(単ニコル) 上</p> <p>凝灰角礫岩 固結した破砕部 粘土状破砕部 固結した破砕部</p> <p>下</p> <p>1mm</p>
	<p>(直交ニコル) 上</p> <p>凝灰角礫岩 粘土状破砕部 固結した破砕部</p> <p>下盤</p> <p>拡大範囲</p> <p>1cm</p>	<p>(直交ニコル) 上</p> <p>凝灰角礫岩 粘土状破砕部 固結した破砕部</p> <p>下</p> <p>1cm</p>	<p>(直交ニコル) 上</p> <p>凝灰角礫岩 固結した破砕部 粘土状破砕部 固結した破砕部</p> <p>下</p> <p>1mm</p>	<p>(直交ニコル) 上</p> <p>凝灰角礫岩 固結した破砕部 粘土状破砕部 固結した破砕部</p> <p>下</p> <p>1mm</p>
	凡例 — Y面			
	<p>・ 固結した破砕部、粘土状破砕部中には変位センスが認定できるような明瞭な変形構造は認められない。</p>			

■ 条線観察結果を踏まえ、70° Rのレイクでボーリングコアを切断して作成した薄片を観察した。

	顕微鏡観察 (右に構造等を加筆)	顕微鏡観察 拡大 (右に構造等を加筆)
F-7.0孔 (深度16.09m)	<p>(単ニコル)</p>	<p>(単ニコル)</p>
	<p>(直交ニコル)</p>	<p>(直交ニコル)</p>

凡例  
— Y面

・ 固結した破碎部, 粘土状破碎部中には変位センスが認定できるような明瞭な変形構造は認められない。

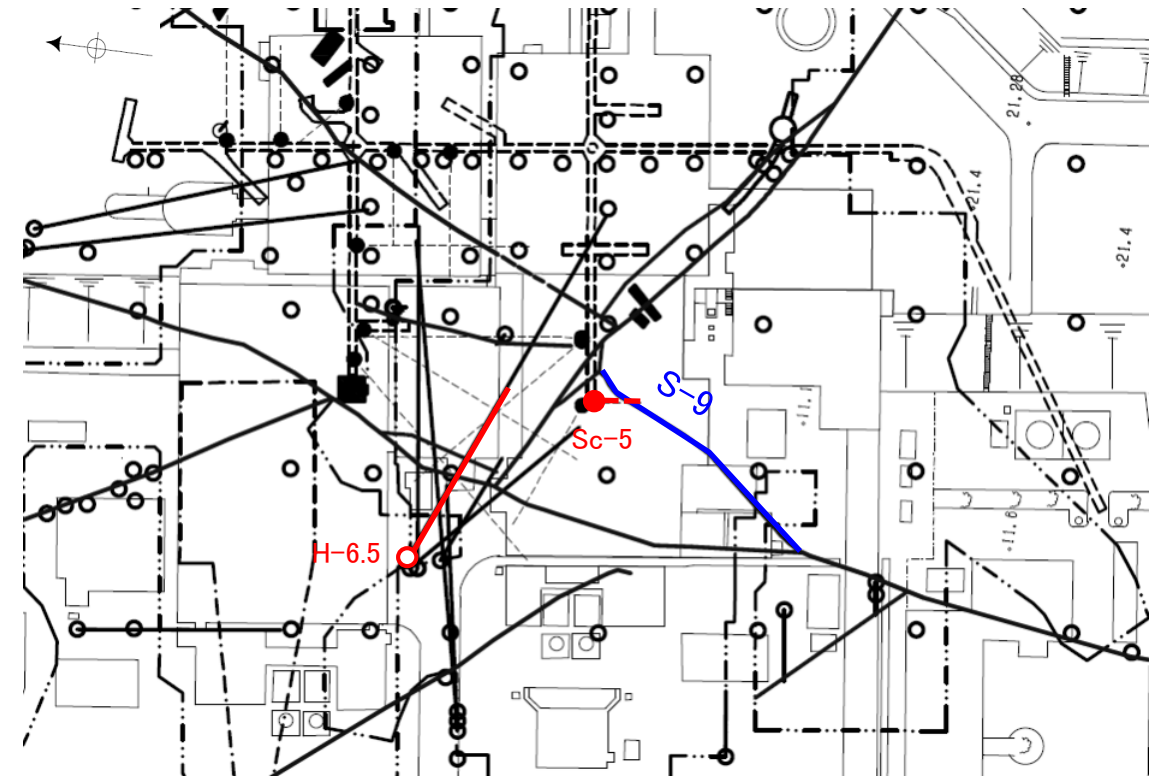
---

(8) S-9の運動方向調査結果

# S-9の条線観察結果

試料名		走向/傾斜 (走向は真北)	条線のレイク※1	変位センス
ボーリングH-6.5孔 [深度 80.75m]	上盤側	N36° E/61° NW	150° R	(不明)
ボーリングSc-5孔(水平) [深度10.40m]	下盤側	N35° E/41° NW	130° R	(不明)
			160° R	(不明)

※1 上盤側で確認したレイクは下盤側に換算して示す。

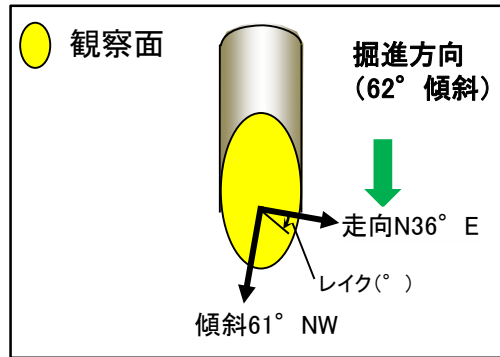


- 鉛直ボーリング孔
- ◐ 斜めボーリング孔
- 水平ボーリング孔
- 表土はぎ
- トレンチ
- ⌘ 岩盤調査坑
- ⋯ 試掘坑, 試験坑, 斜坑
- S-9(EL-4.7m)
- 赤字: 条線観察箇所

位置図



# 条線観察結果 ボーリングH-6.5孔[深度80.75m](上盤側)

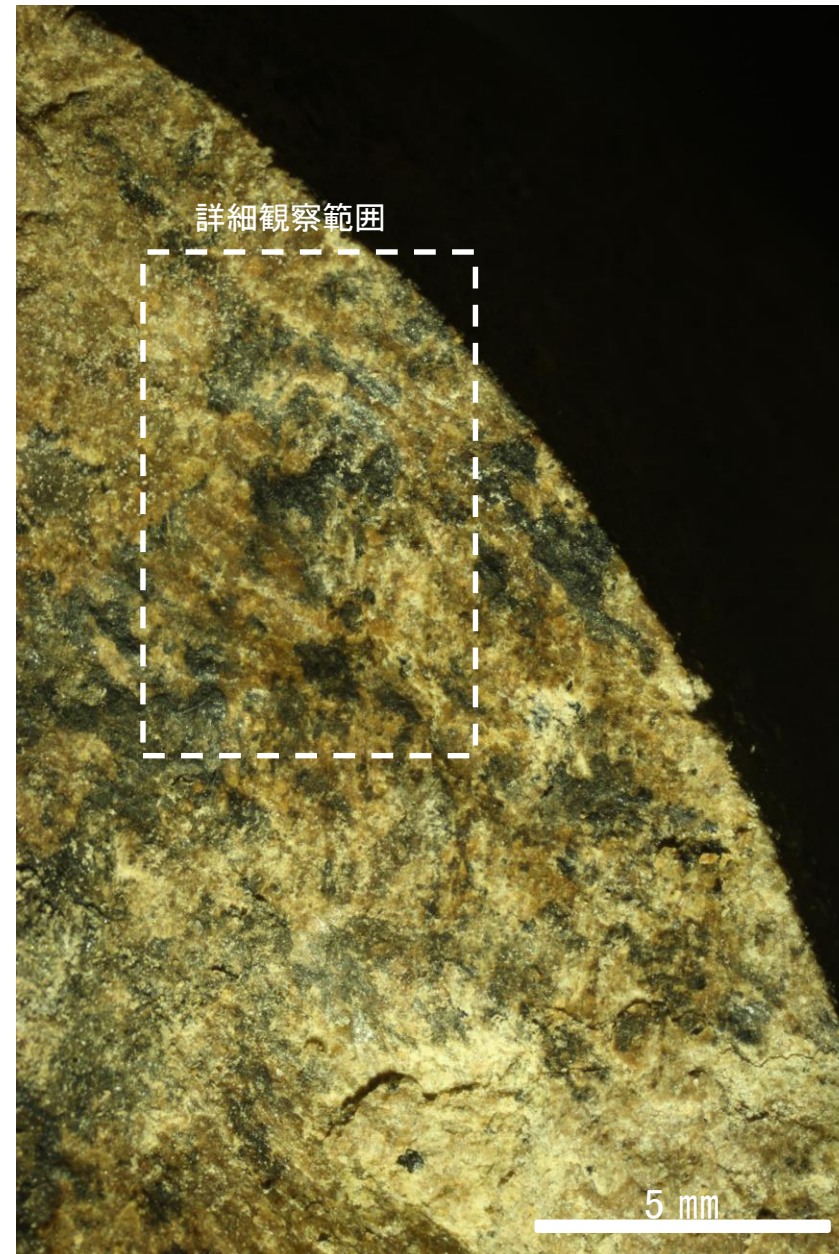


概念図

※走向は真北で示す。



観察面写真



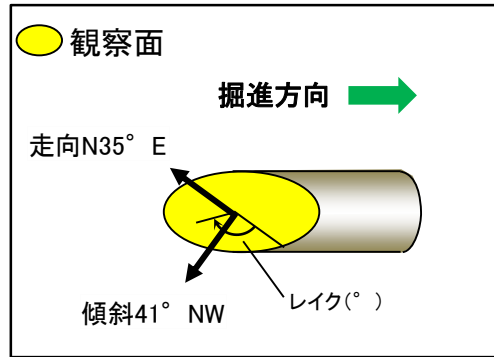
観察面拡大写真



詳細観察写真

・条線のレイクは $150^\circ$  R (下盤側換算), 変位センスは不明

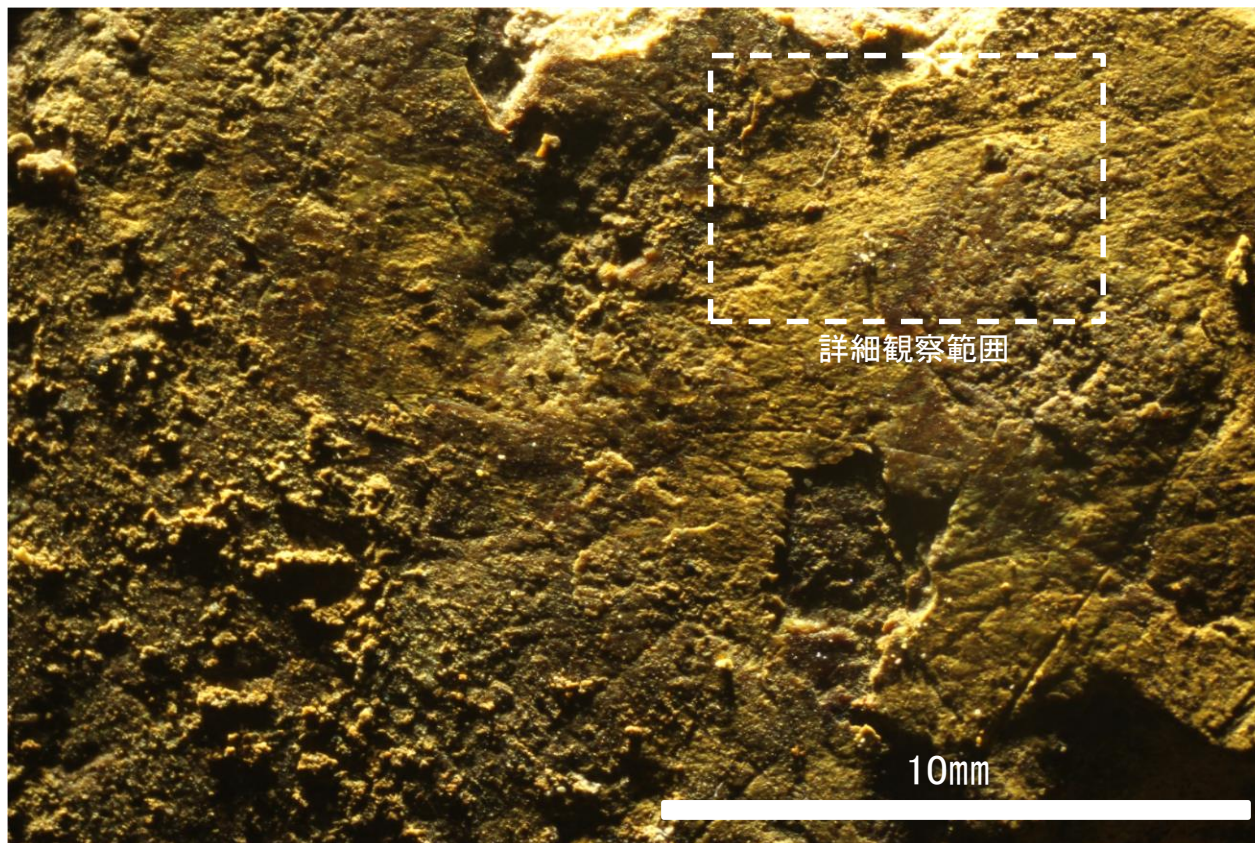
# 条線観察結果 ボーリングSc-5孔[深度10.40m](下盤側)①



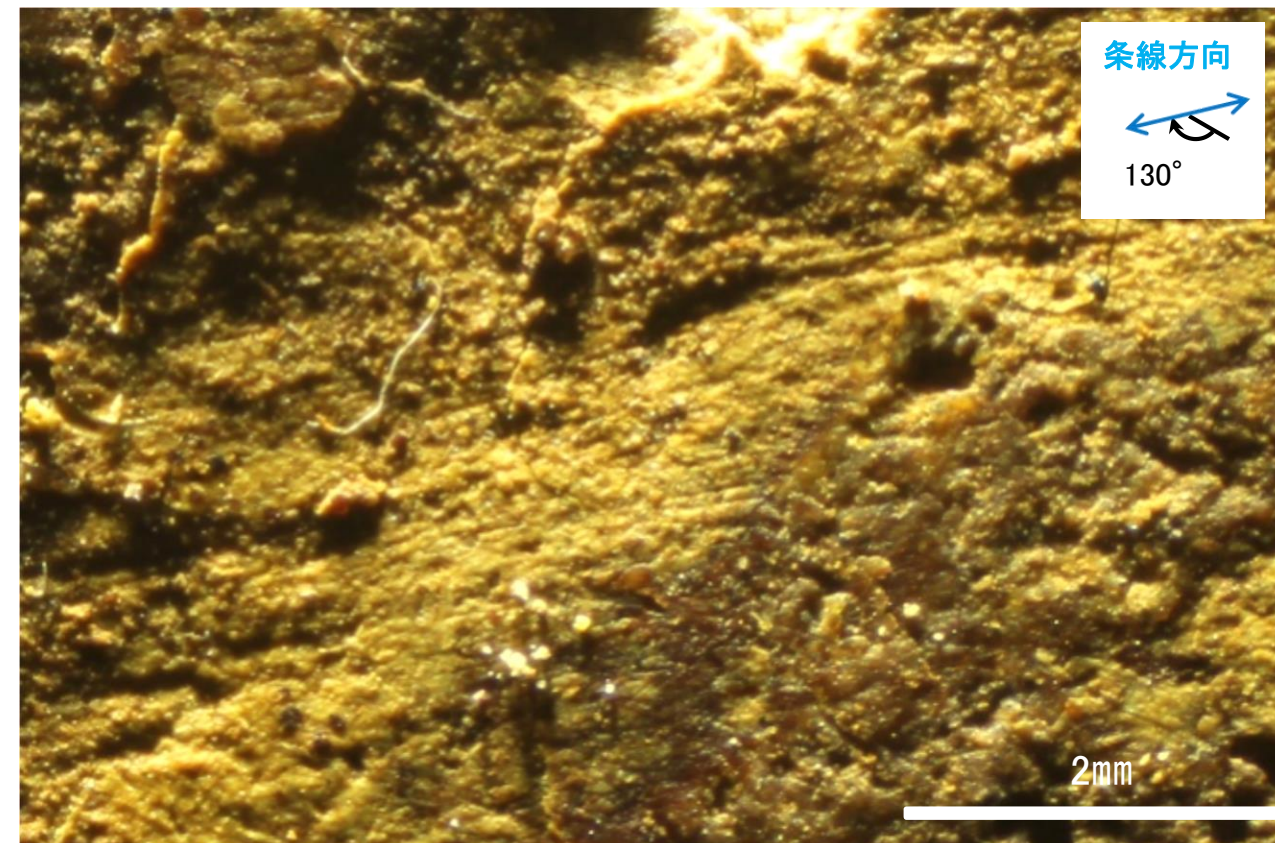
概念図  
※走向は真北で示す。



観察面写真



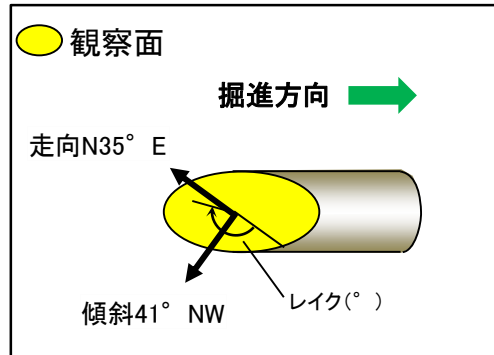
観察面拡大写真



詳細観察写真

・条線のレイクは130° R, 変位センスは不明

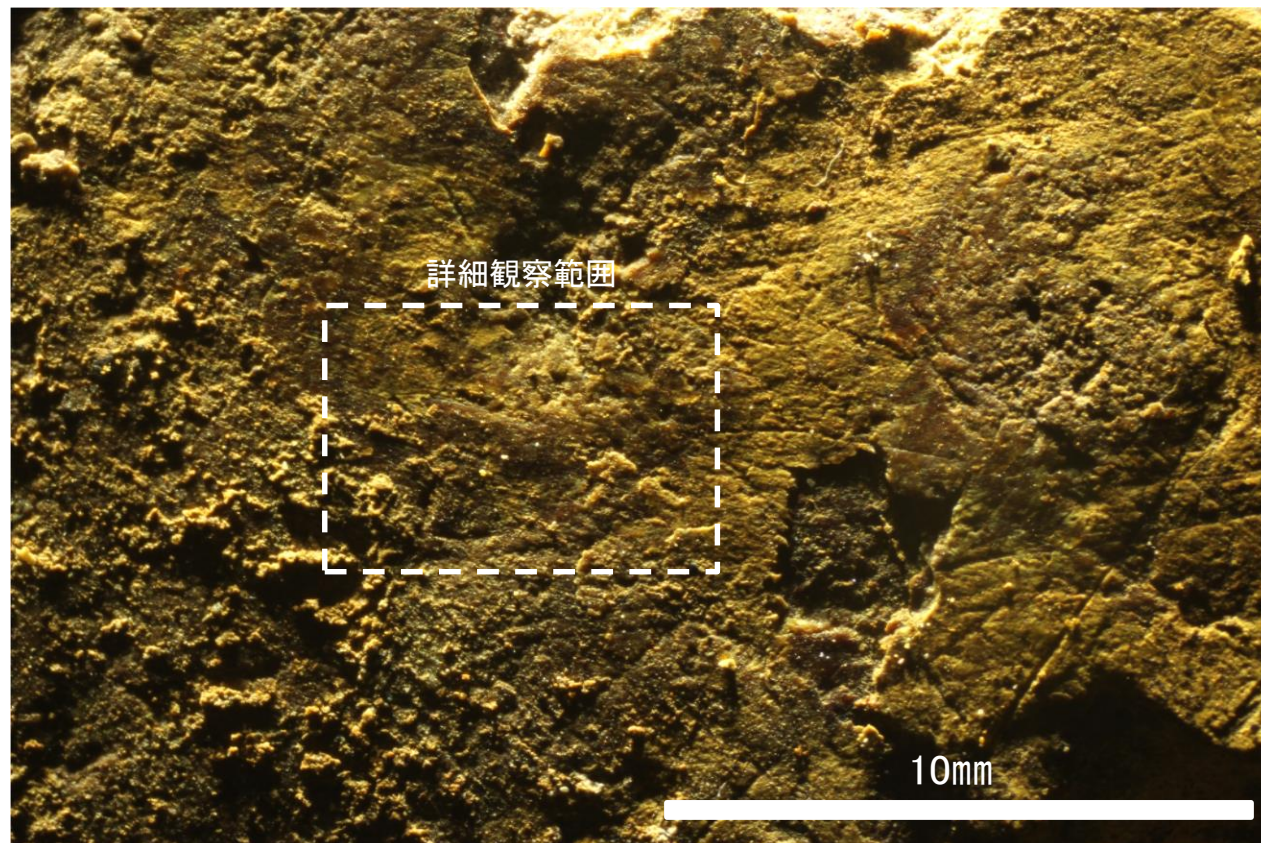
# 条線観察結果 ボーリングSc-5孔[深度10.40m](下盤側)②



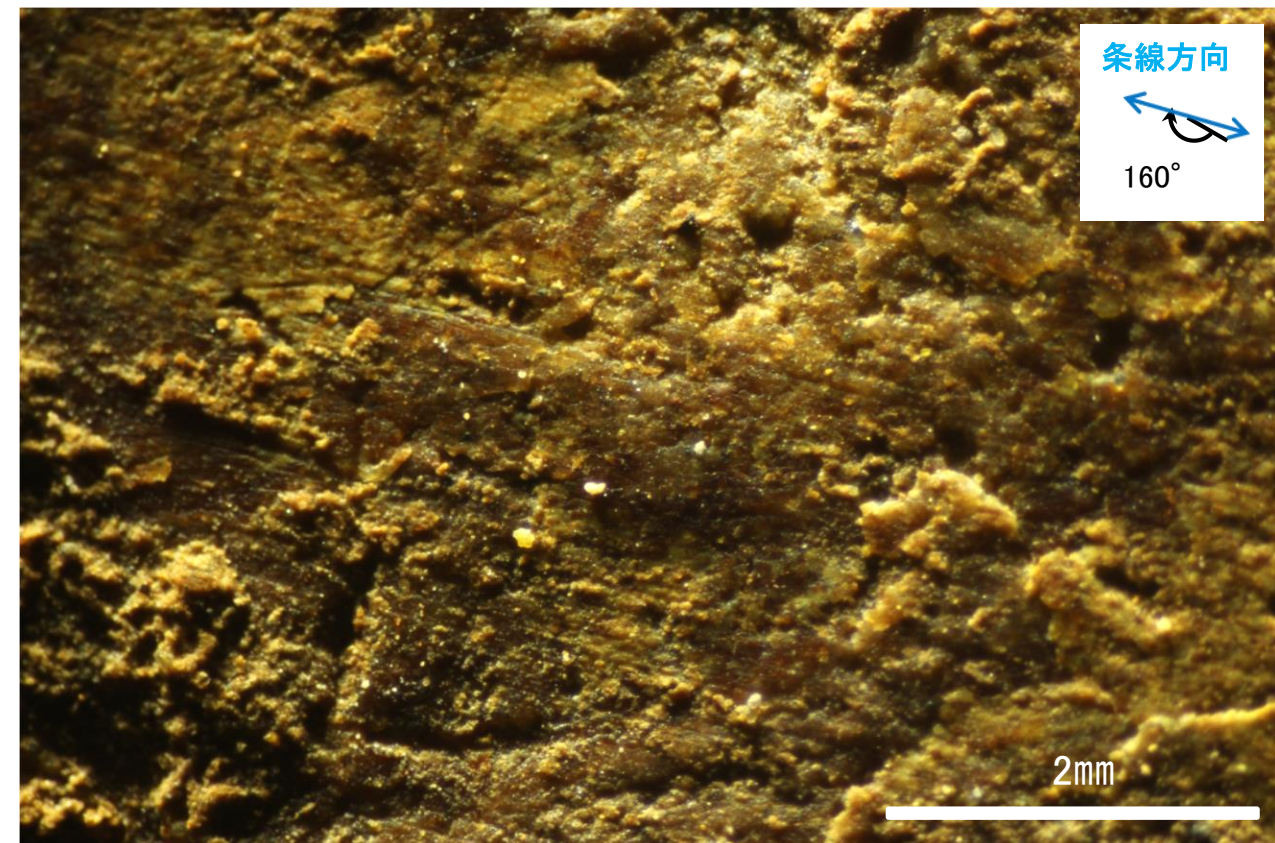
概念図  
※走向は真北で示す。



観察面写真



観察面拡大写真



詳細観察写真

・条線のレイクは160° R, 変位センスは不明

---

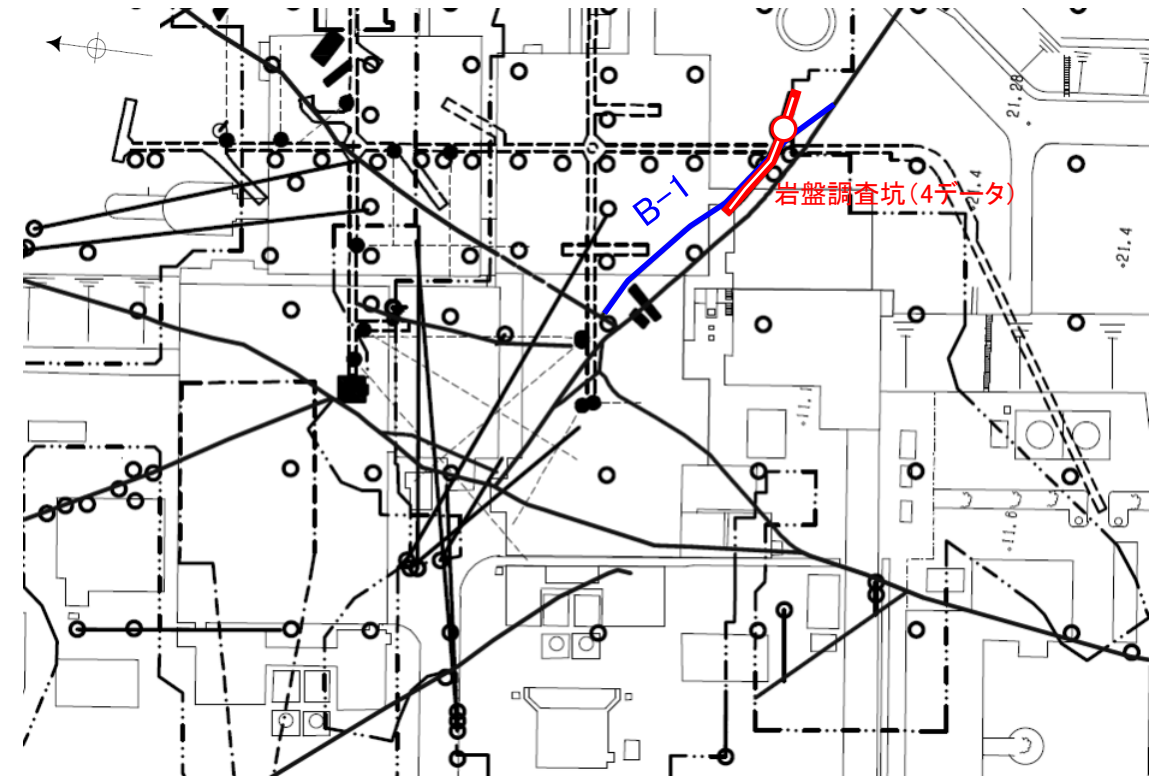
(9) B-1の運動方向調査結果

# B-1の条線観察結果

試料名		走向/傾斜 (走向は真北)	条線のレイク※1	変位センス
岩盤調査坑 ボーリングB-1No.18孔(水平)	下盤側	N63° W/90°	60° R	(不明)
			20° R	(不明)
岩盤調査坑 ボーリングB-1No.19孔(水平)	下盤側	N66° W/88° NE	50° R	(不明)
岩盤調査坑 ボーリングB-1No.20孔(水平)	上盤側	N55° W/90°	35° R	(不明)

※1 上盤側で確認したレイクは下盤側に換算して示す。

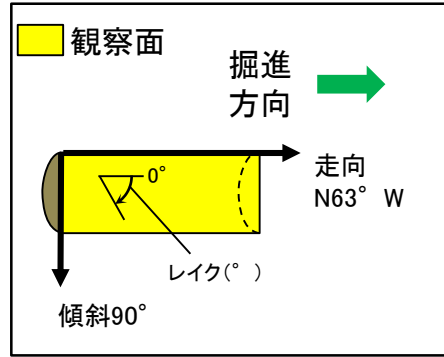
\* ボーリング孔名の「No.○」は、切羽の番号を示す。南東側がNo.1切羽で北西側のNo.30切羽まで約1m間隔。  
水平ボーリングは切羽から掘進した。



- 鉛直ボーリング孔
- 斜めボーリング孔
- 水平ボーリング孔
- 表土はぎ
- トレンチ
- 岩盤調査坑
- ⋯ 試掘坑, 試験坑, 斜坑
- B-1 (EL-4.7m)
- 赤字: 条線観察箇所

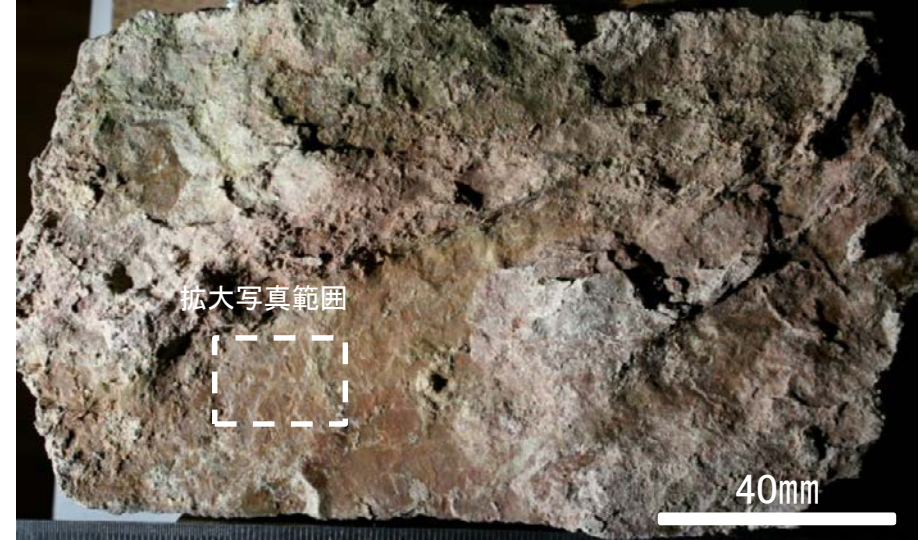
位置図

# 条線観察結果(岩盤調査坑)ボーリングB-1No.18孔(下盤側)①

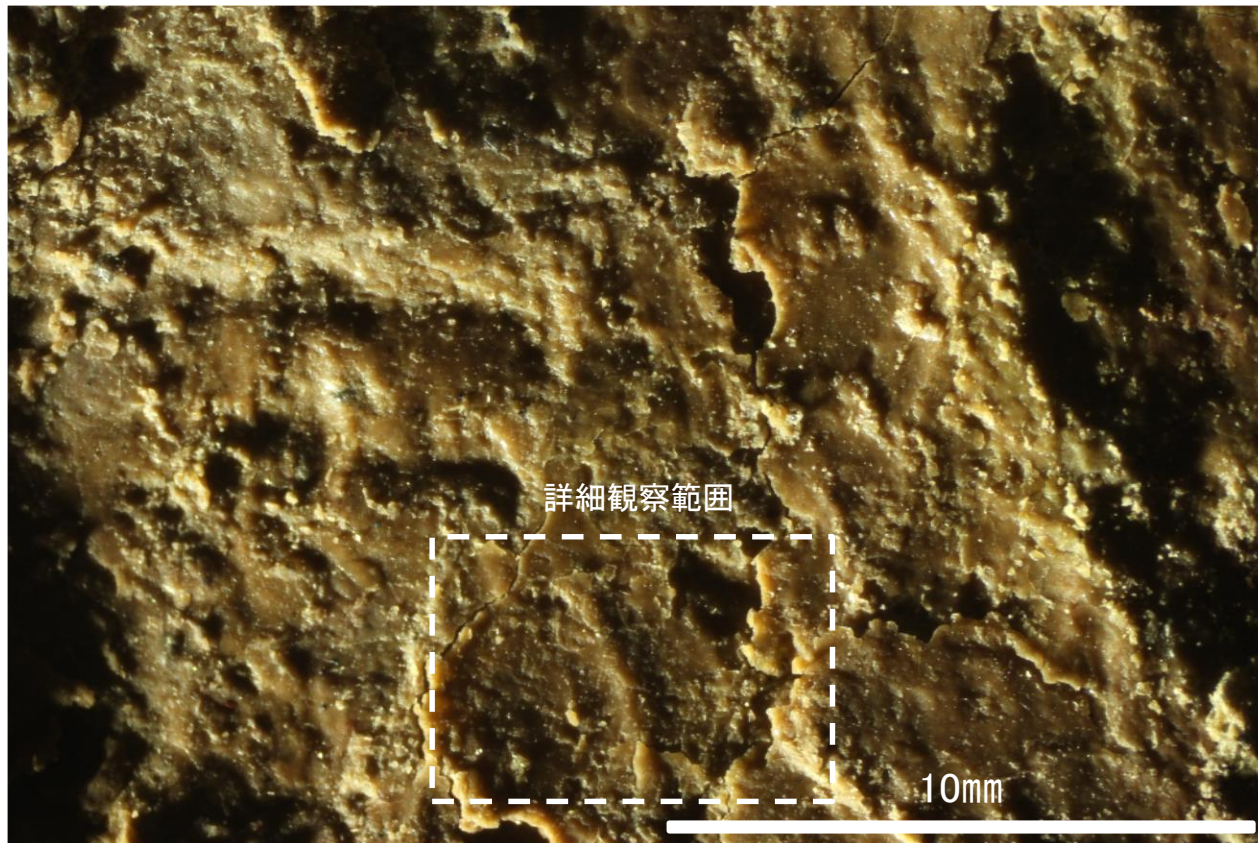


概念図

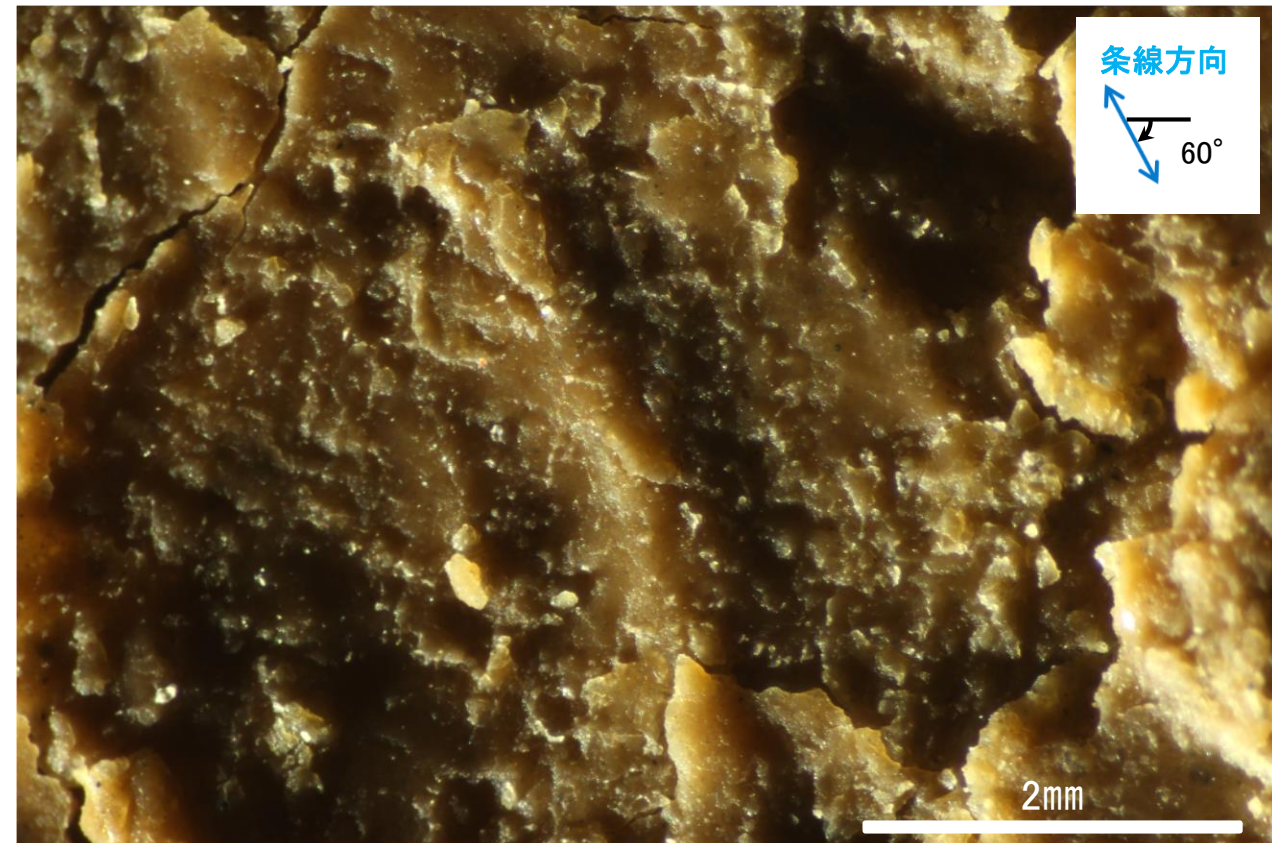
※走向は真北で示す。



観察面写真



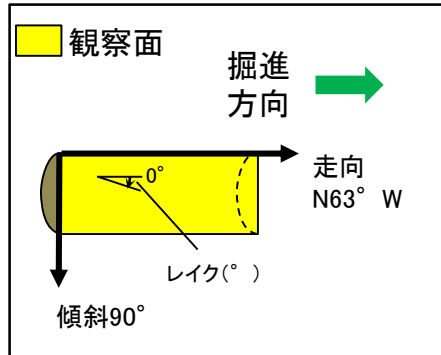
観察面拡大写真



詳細観察写真

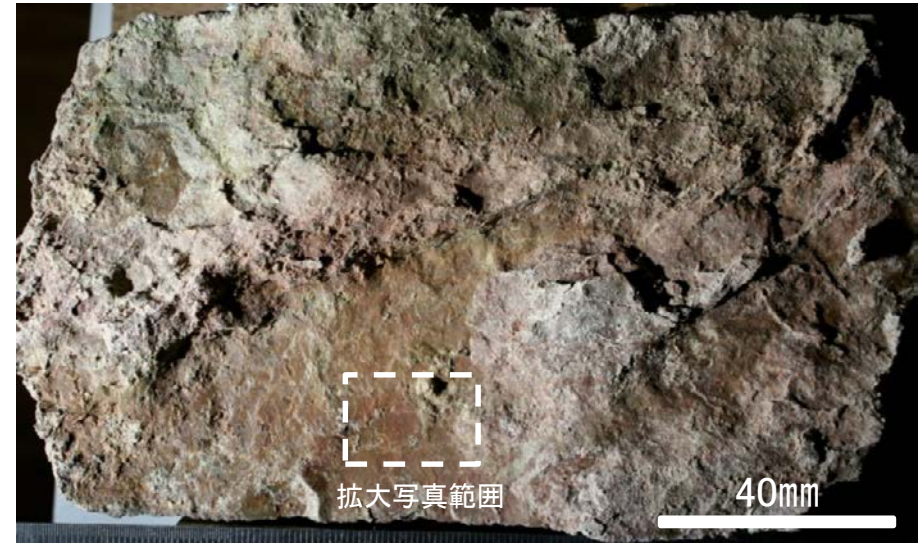
・条線のレイクは60° R, 変位センスは不明

# 条線観察結果(岩盤調査坑)ボーリングB-1No.18孔(下盤側)②

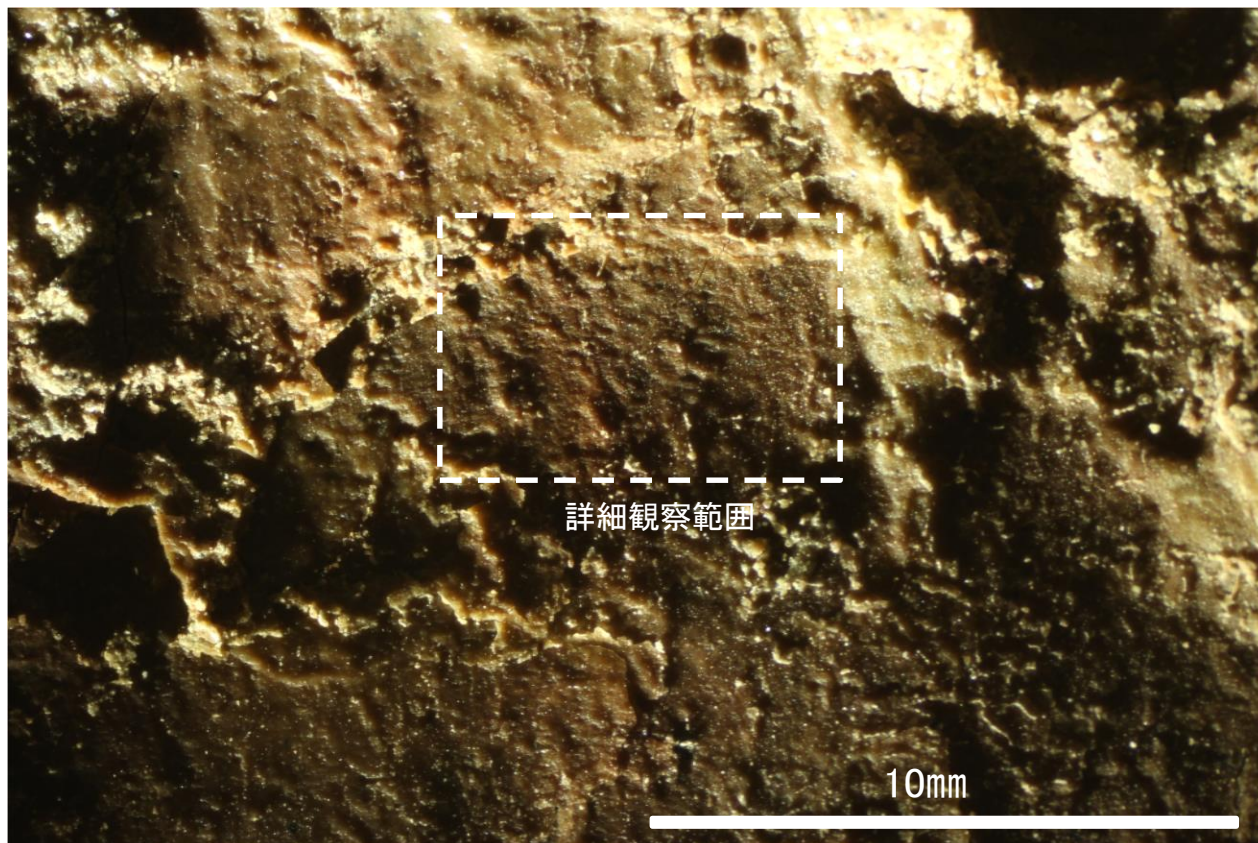


概念図

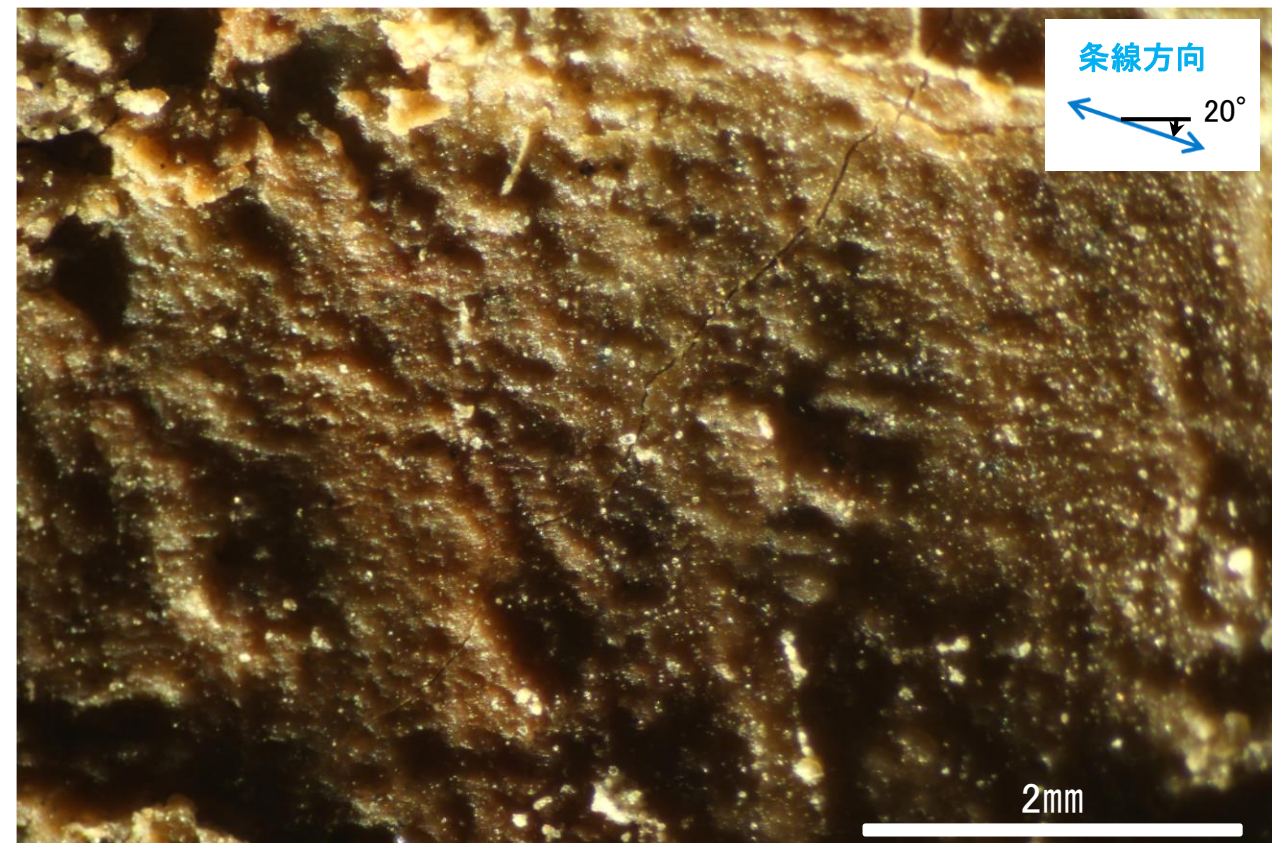
※走向は真北で示す。



観察面写真



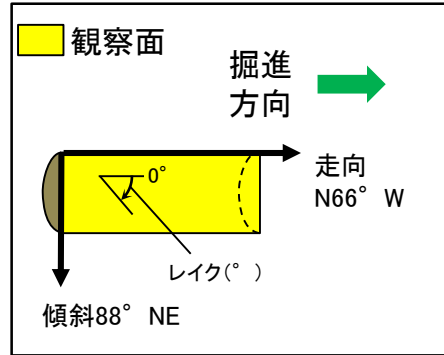
観察面拡大写真



詳細観察写真

・条線のレイクは20° R, 変位センスは不明

# 条線観察結果(岩盤調査坑)ボーリングB-1No.19孔(下盤側)

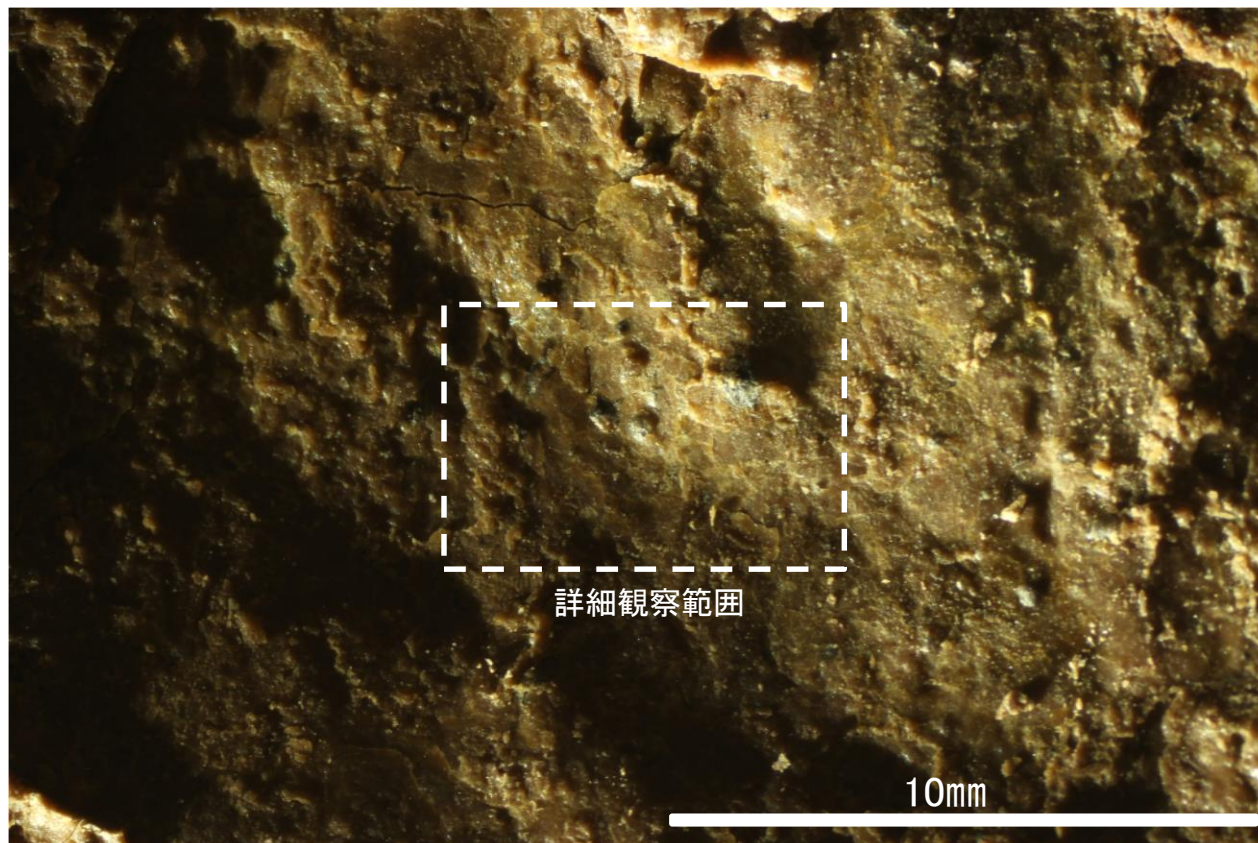


概念図

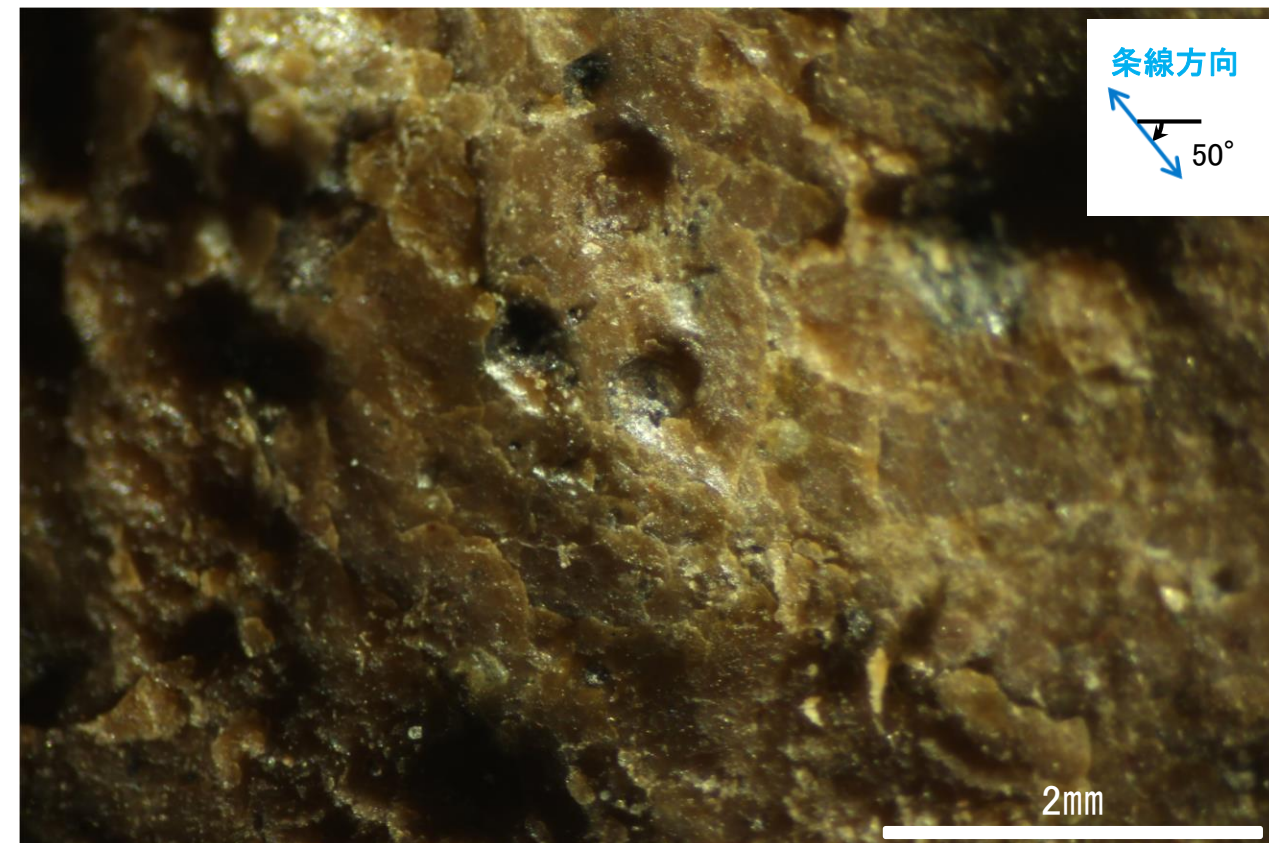
※走向は真北で示す。



観察面写真



観察面拡大写真

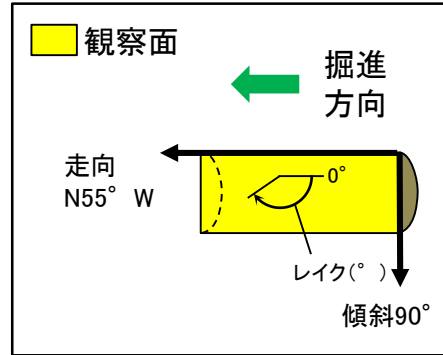


詳細観察写真

・条線のレイクは50° R, 変位センスは不明



# 条線観察結果(岩盤調査坑)ボーリングB-1No.20孔(上盤側)

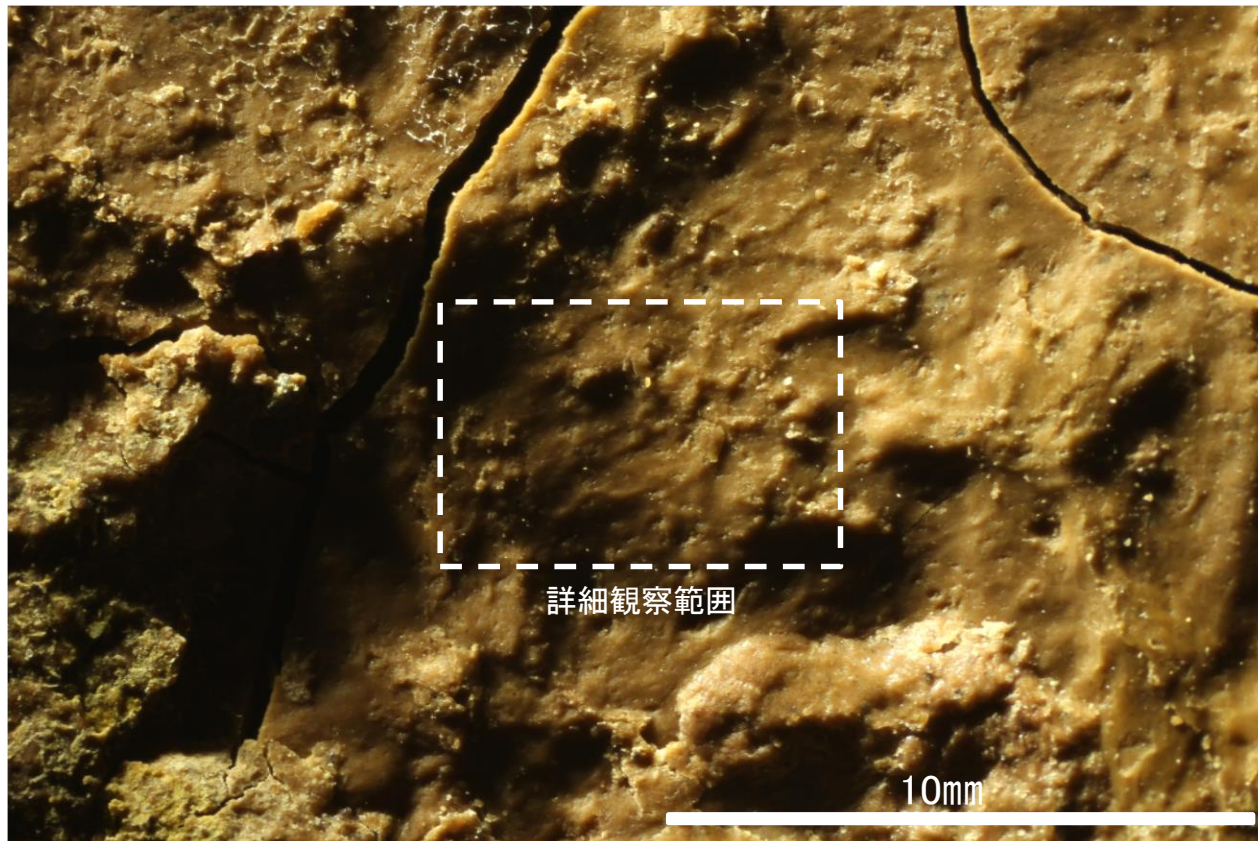


概念図

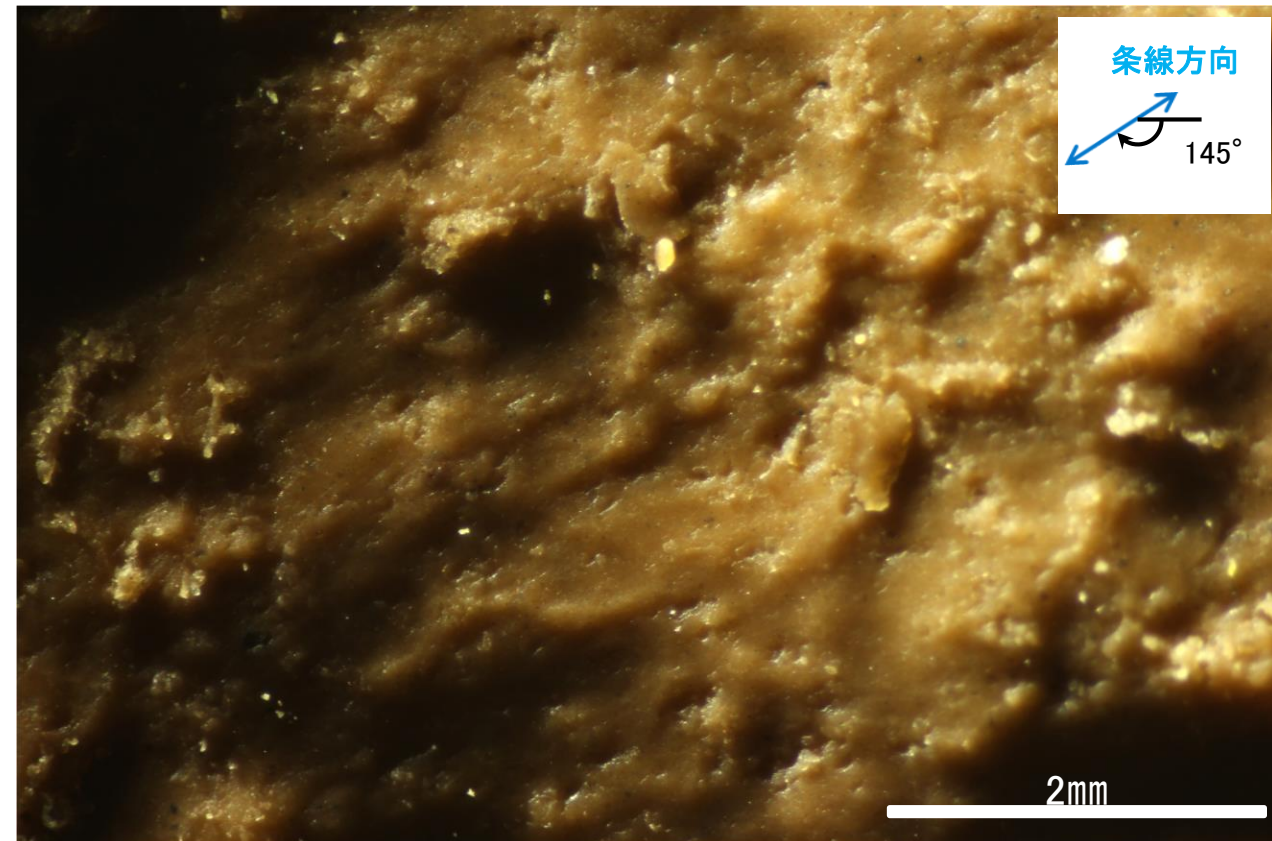
※走向は真北で示す。



観察面写真



観察面拡大写真



詳細観察写真

・条線のレイクは35° R (下盤側換算), 変位センスは不明

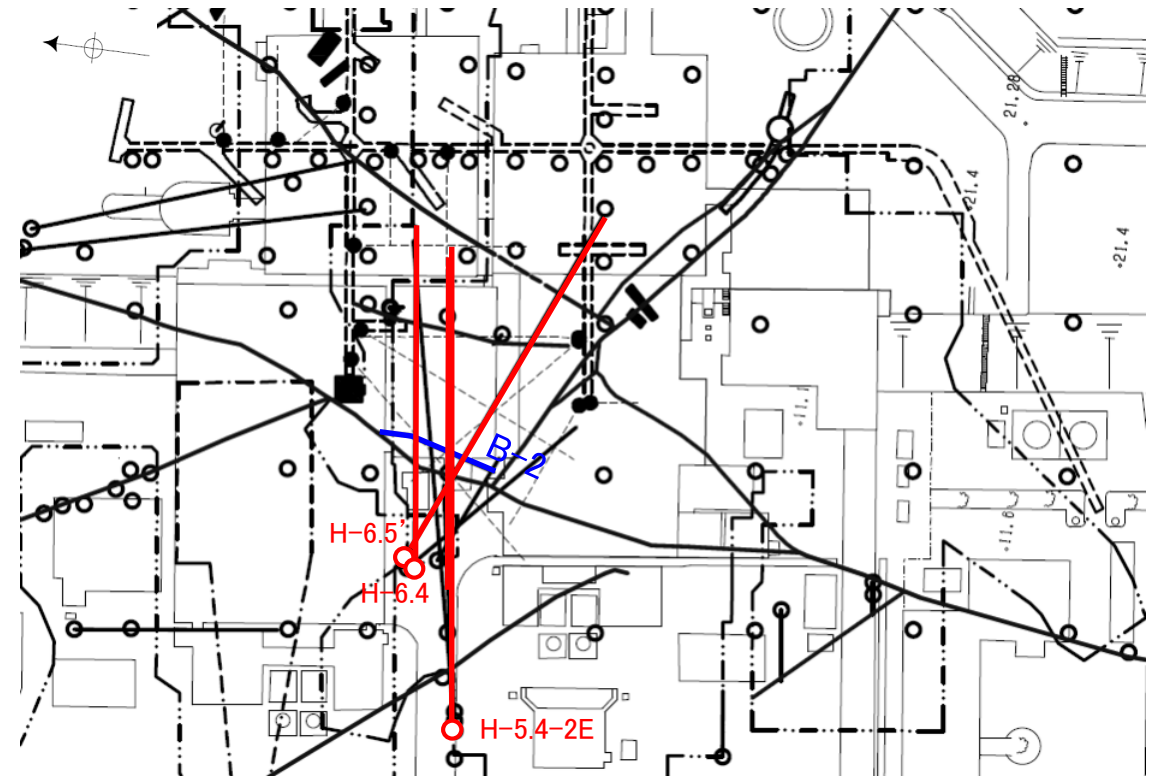
---

(10) B-2の運動方向調査結果

# B-2の条線観察結果

試料名		走向/傾斜 (走向は真北)	条線のレイク※1	変位センス
ボーリングH-5.4-2E孔 [深度86.70m]	下盤側	N24° E/60° NW	172° R	左横ずれ逆断層
ボーリングH-6.4孔 [深度43.10m]	上盤側	N13° W/46° SW	29° R	(不明)
ボーリングH-6.5'孔 [深度40.90m]	上盤側	N28° E/50° NW	4° R	(不明)

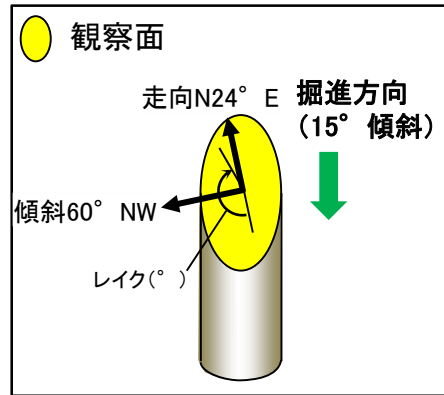
※1 上盤側で確認したレイクは下盤側に換算して示す。



- 鉛直ボーリング孔
- 斜めボーリング孔
- 水平ボーリング孔
- 表土はぎ
- トレンチ
- 岩盤調査坑
- ⋯ 試掘坑, 試験坑, 斜坑
- B-2(EL-4.7m)
- 赤字: 条線観察箇所

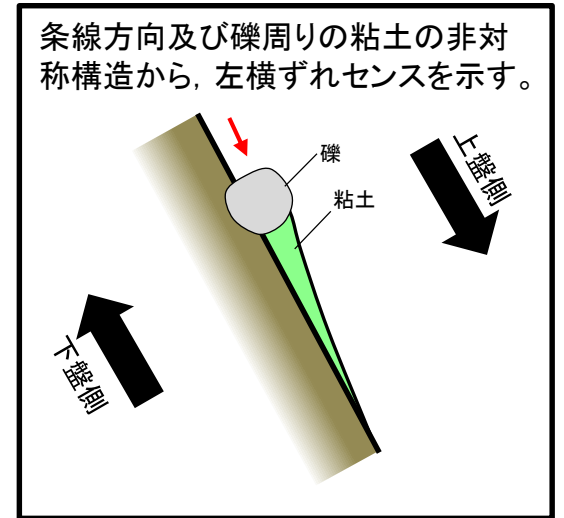
位置図

# 条線観察結果 ボーリングH-5.4-2E孔[深度86.70m](下盤側)

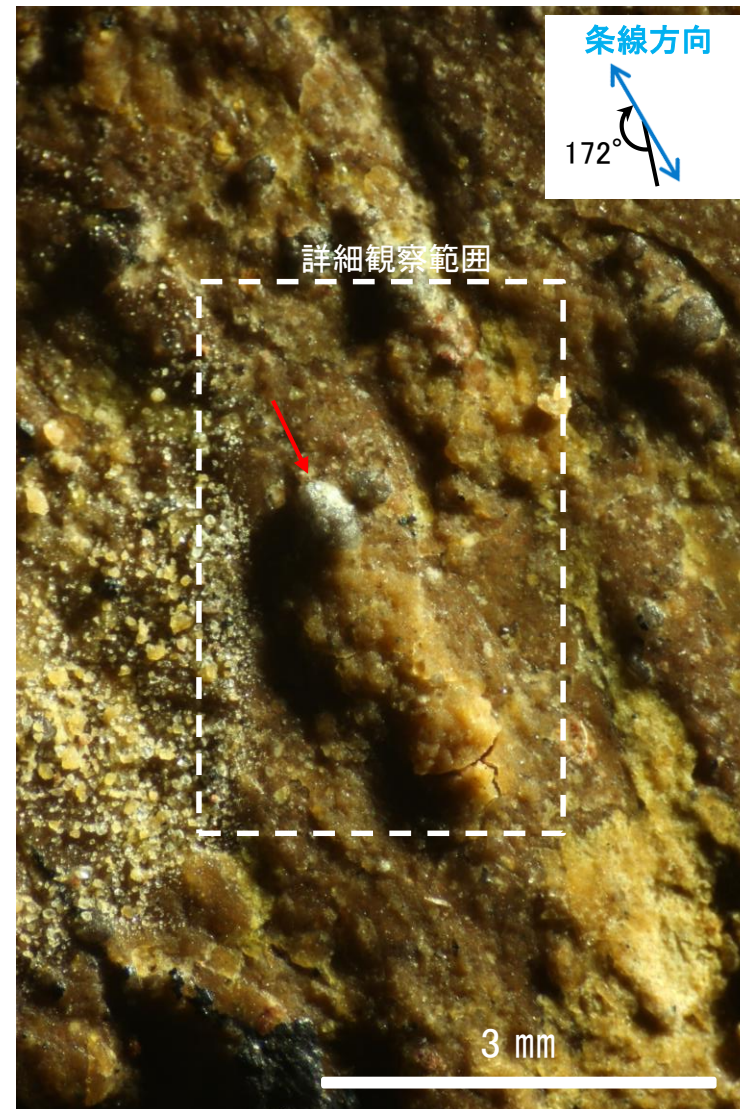


概念図

※走向は真北で示す。



観察面写真



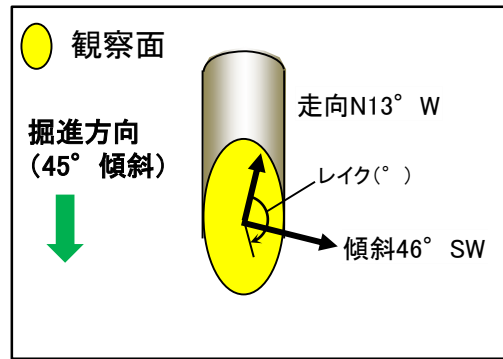
観察面拡大写真



詳細観察写真

・条線のレイクは172° R, 変位センスは左横ずれ逆断層センス

# 条線観察結果 ボーリングH-6.4孔[深度43.10m](上盤側)

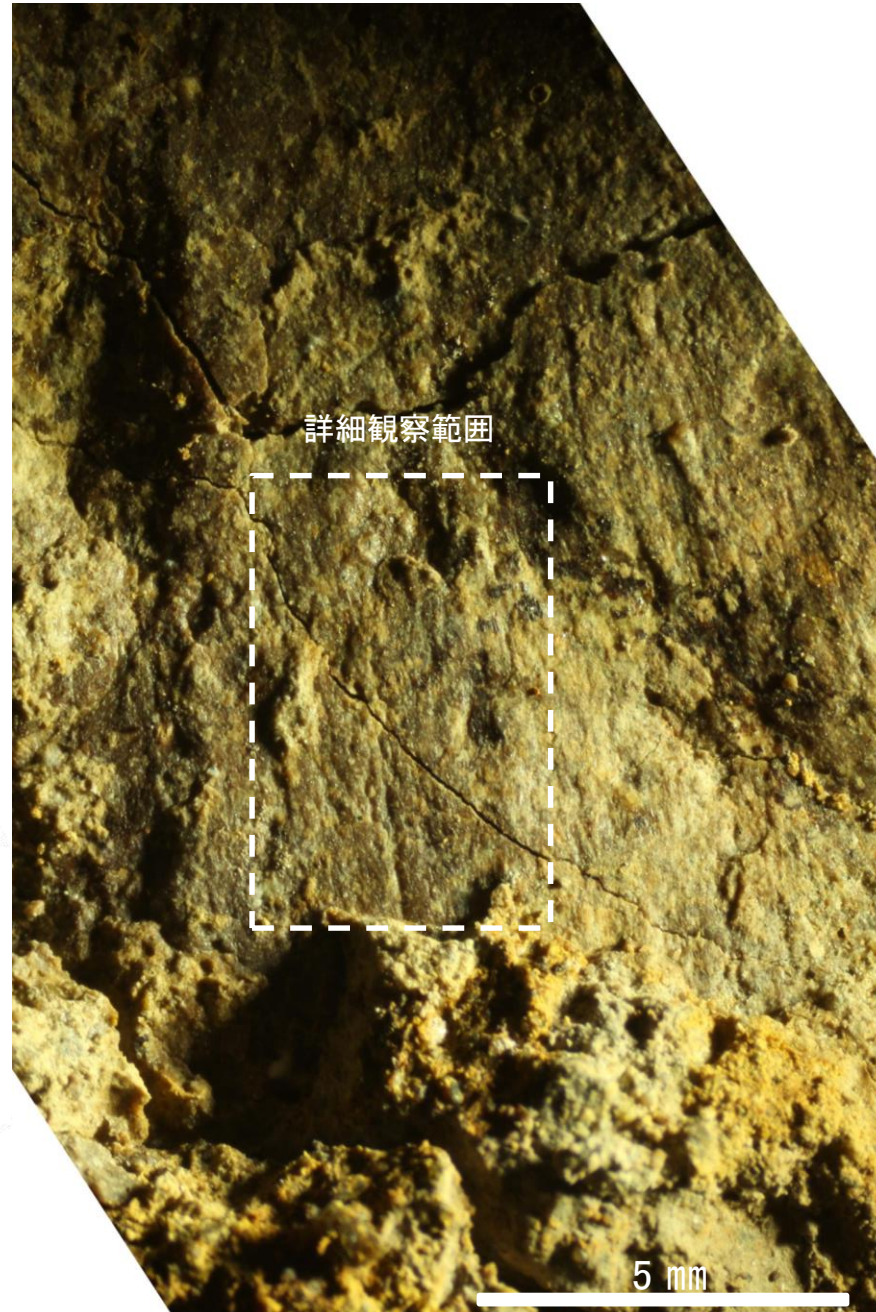


概念図

※走向は真北で示す。



観察面写真



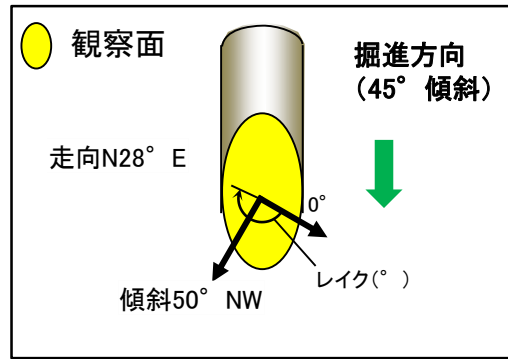
観察面拡大写真



詳細観察写真

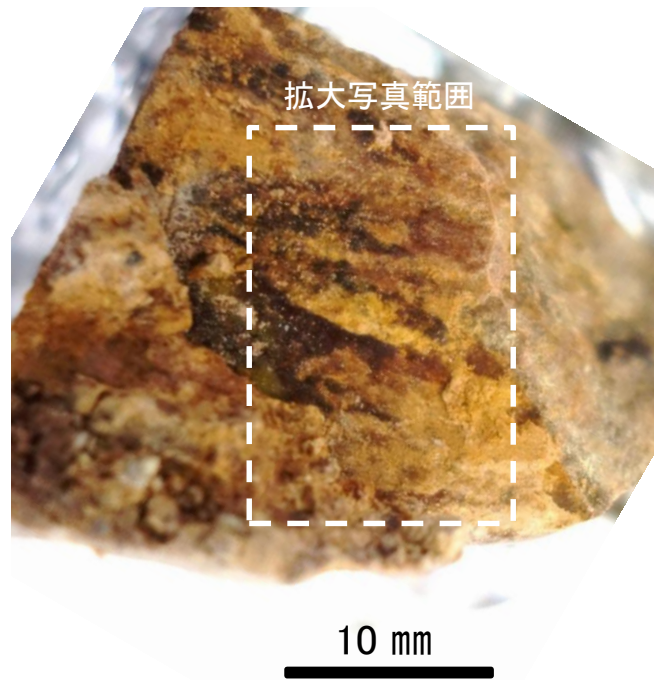
・条線のレイクは $29^{\circ}$  R(下盤側換算), 変位センスは不明

# 条線観察結果 ボーリングH-6.5'孔[深度40.90m](上盤側)

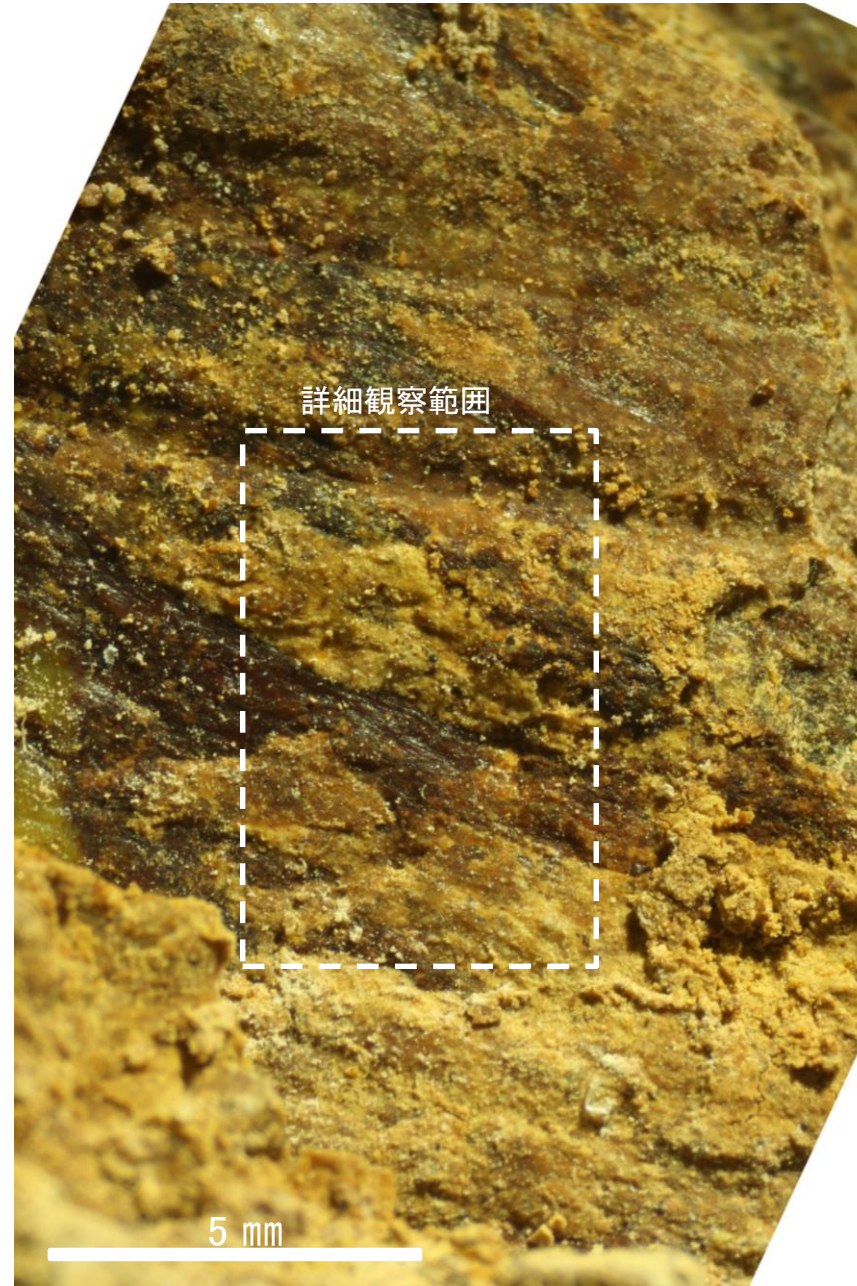


概念図

※走向は真北で示す。



観察面写真



観察面拡大写真



詳細観察写真

・条線のレイクは4° R (下盤側換算), 変位センスは不明

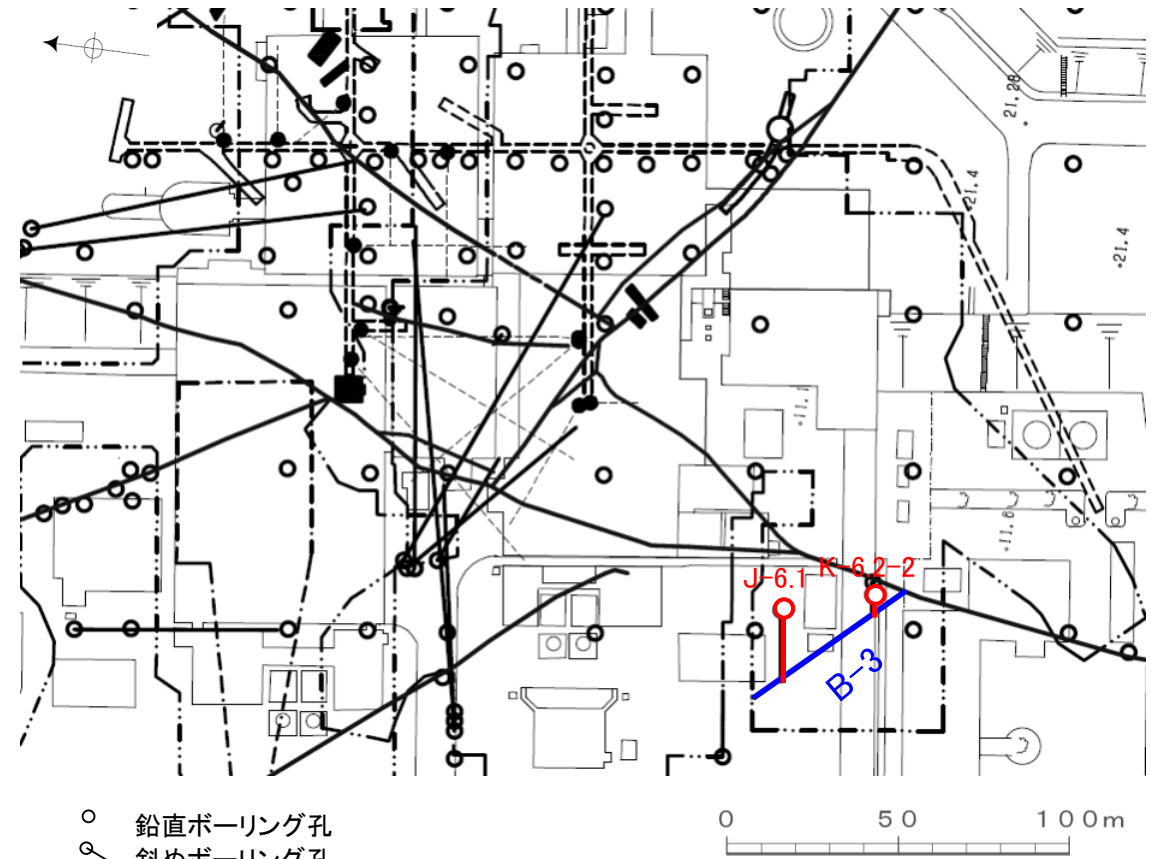
---

(11) B-3の運動方向調査結果

# B-3の条線観察結果

試料名		走向/傾斜 (走向は真北)	条線のレイク※1	変位センス
ボーリングJ-6.1孔 [深度27.90m]	下盤側	N37° W/84° NE	44° R	右横ずれ逆断層
ボーリングK-6.2-2孔 [深度21.40m]	下盤側	N47° W/74° NE	33° R	(不明)

※1 上盤側で確認したレイクは下盤側に換算して示す。

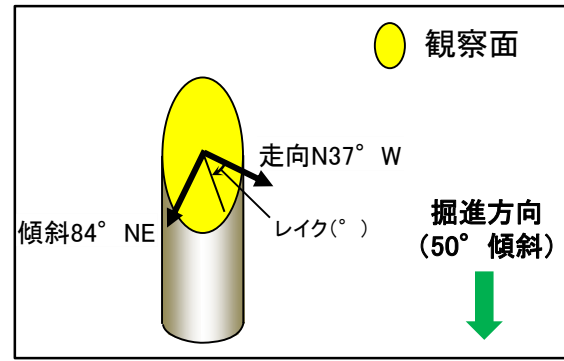


- 鉛直ボーリング孔
- 斜めボーリング孔
- 水平ボーリング孔
- 表土はぎ
- トレンチ
- 岩盤調査坑
- ⋯ 試掘坑, 試験坑, 斜坑
- B-3(EL-4.7m)
- 赤字: 条線観察箇所

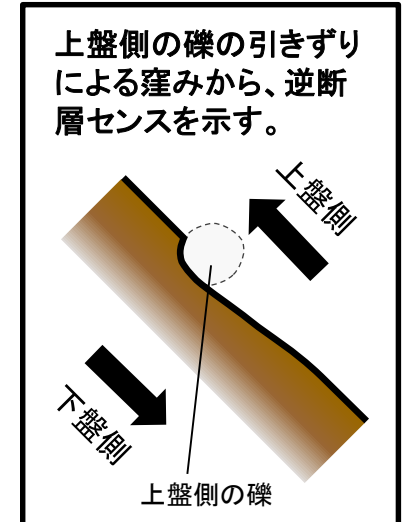
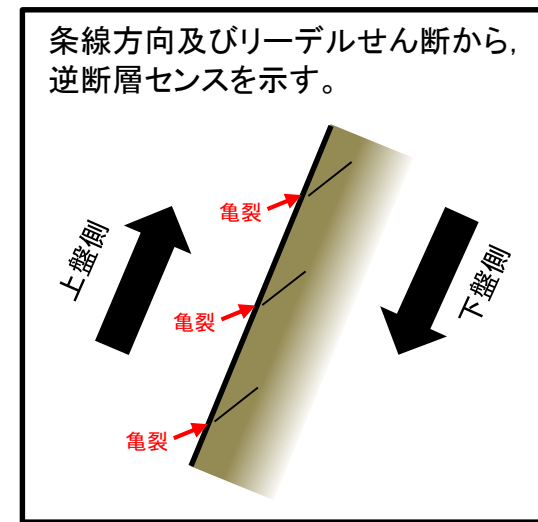
位置図



# 条線観察結果 ボーリングJ-6.1[深度27.90m](下盤側)

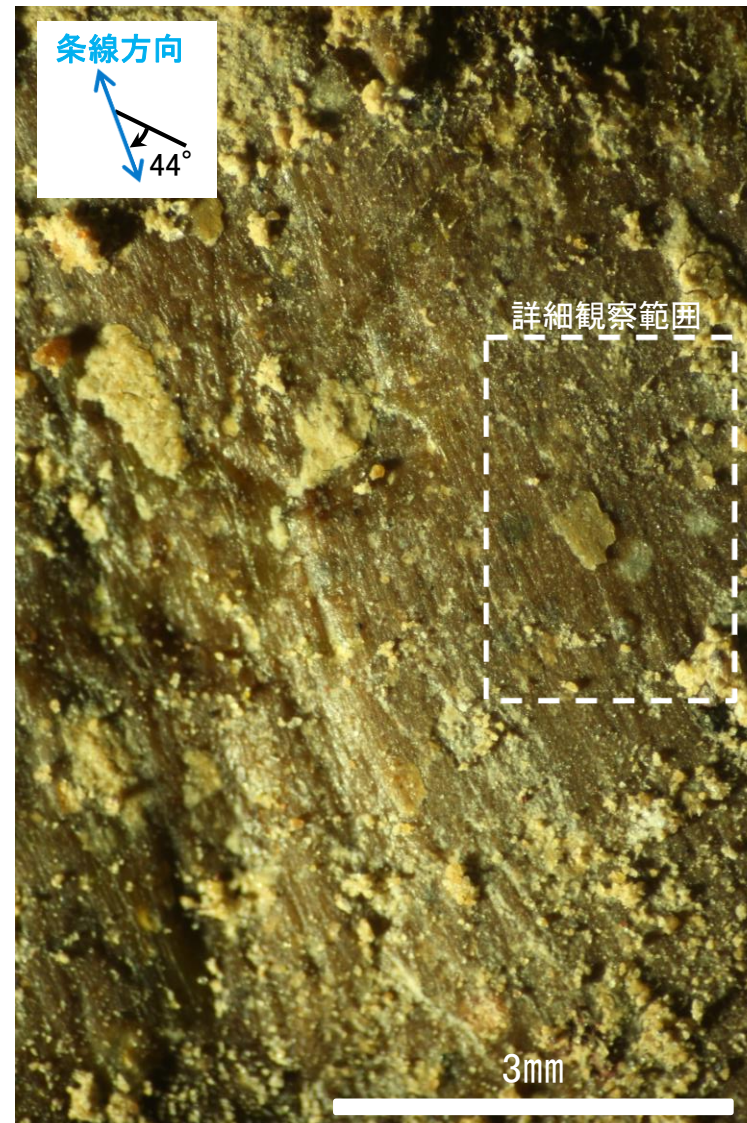


概念図  
 ※走向は真北で示す。



30mm

観察面写真



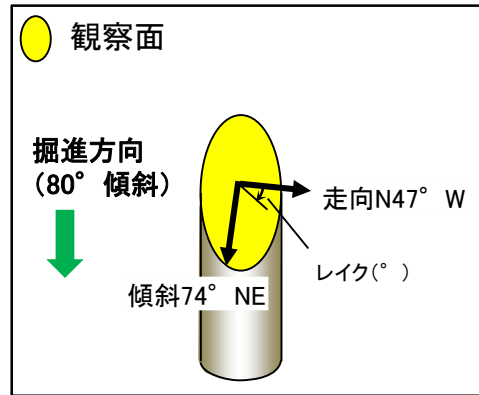
観察面拡大写真



詳細観察写真

・条線のレイクは44° R, 変位センスは右横ずれ逆断層センス

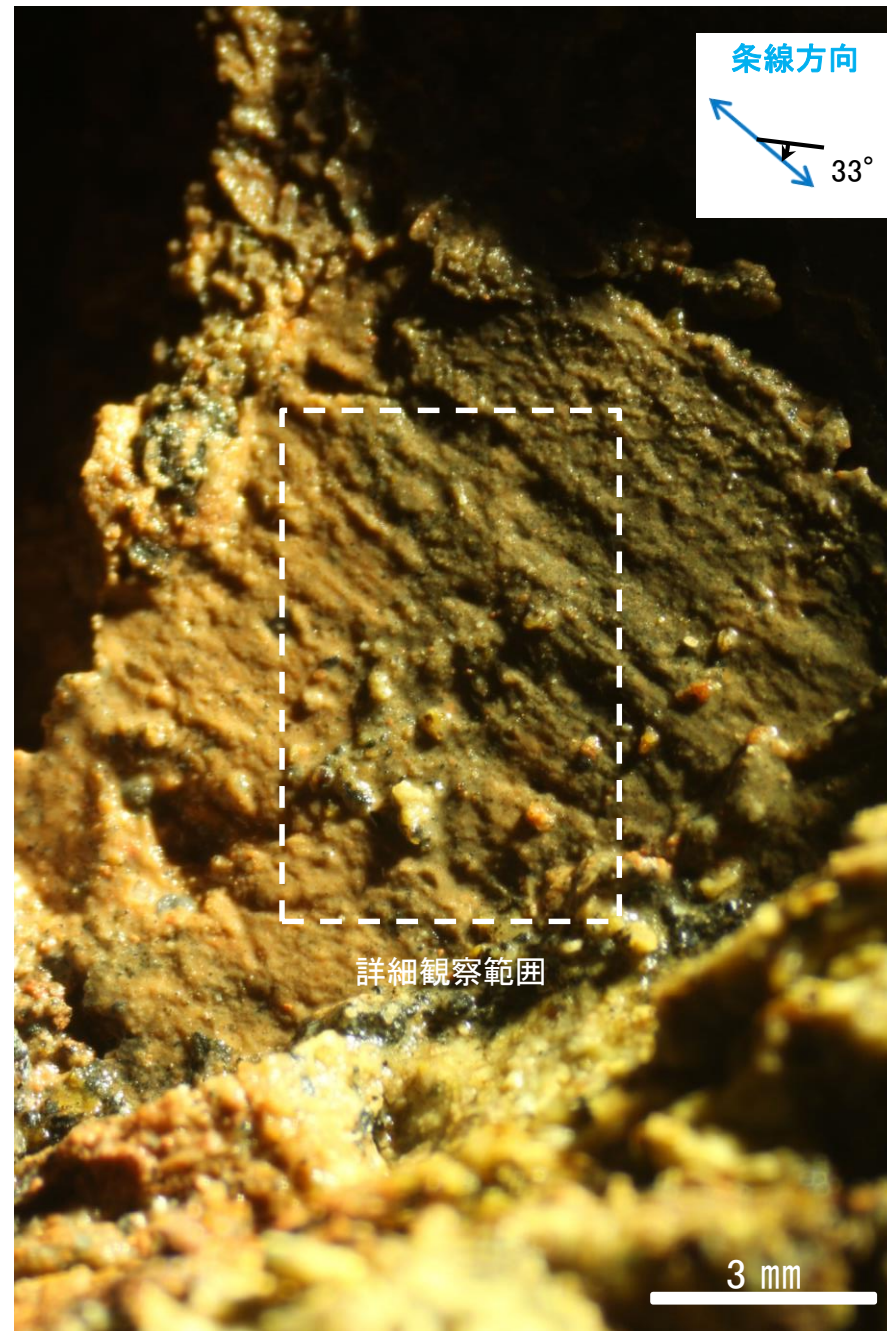
# 条線観察結果 ボーリングK-6.2-2孔[深度21.40m](下盤側)



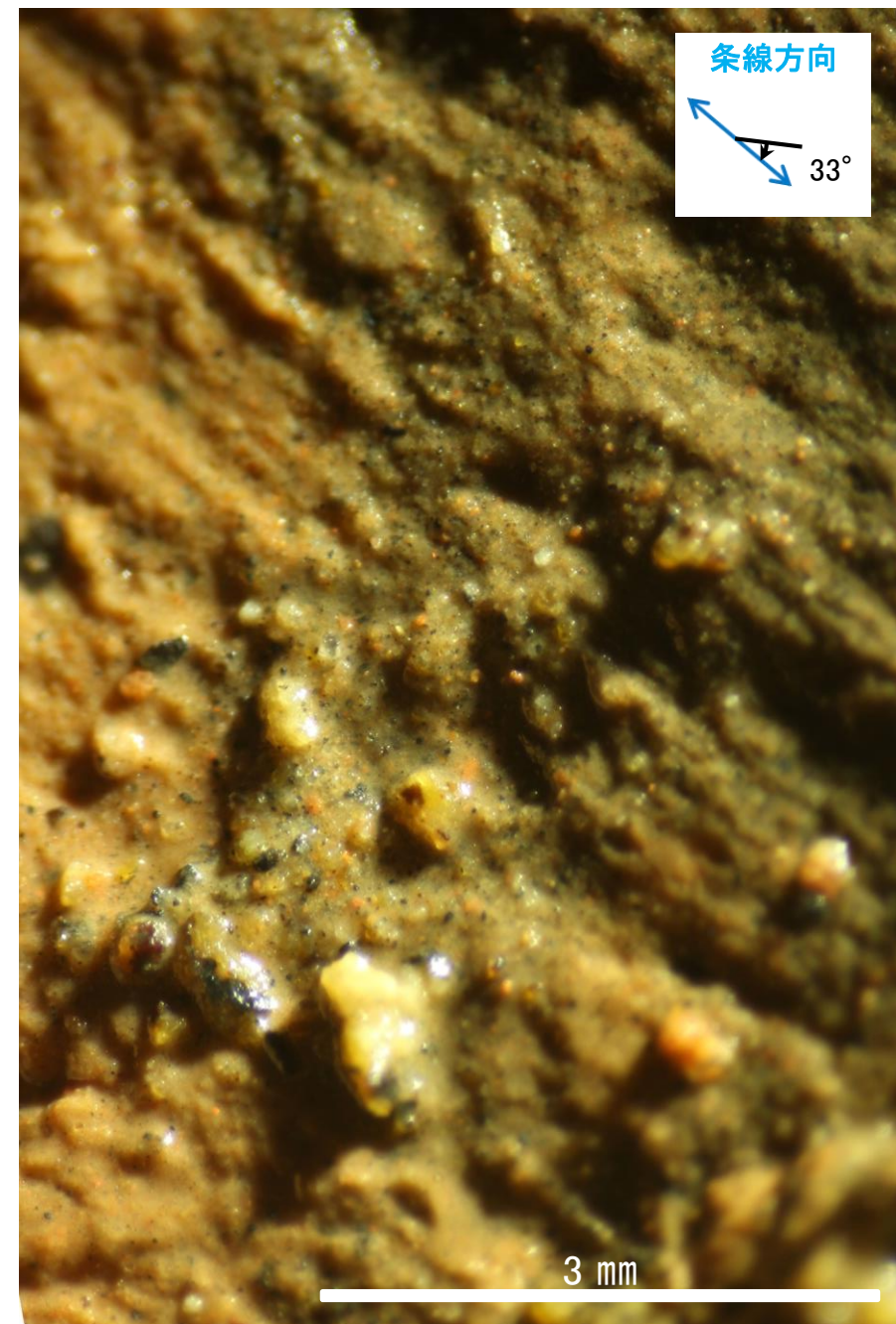
概念図  
※走向は真北で示す。



観察面写真



観察面拡大写真

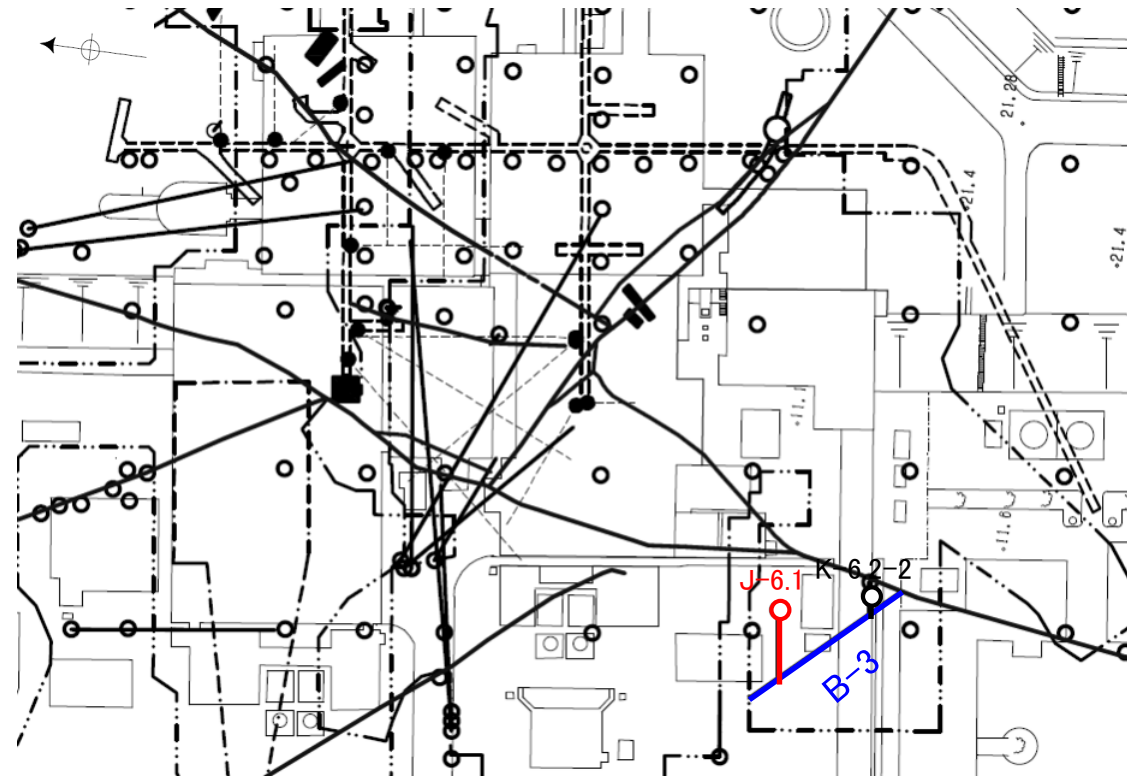


詳細観察写真

・条線のレイクは33° R, 変位センスは不明

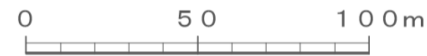
薄片観察結果(固結した破碎部)		薄片観察結果(粘土状破碎部)	
薄片番号	変位センス	薄片番号	変位センス
J-6.1_70R	正断層	J-6.1_70R	不明

\* 各薄片試料は、付近の断層の条線観察結果を踏まえたレイクで切断し、作成した。



- 鉛直ボーリング孔
- 斜めボーリング孔
- 水平ボーリング孔
- 表土はぎ
- トレンチ
- 岩盤調査坑
- ⋯ 試掘坑, 試験坑, 斜坑
- B-3(EL-4.7m)

赤字: 薄片観察箇所



位置図

# 薄片観察結果 (J-6.1\_70R)

■ 条線観察結果を踏まえ、70° Rのレイクでボーリングコアを切断して作成した薄片を観察した。

	顕微鏡観察 (右に構造等を加筆)		顕微鏡観察 拡大 (右に構造等を加筆)			
J-6.1孔 (深度27.9m)	(単ニコル)			(単ニコル)		
	(直交ニコル)			(直交ニコル)		
						<p>凡例</p> <p>— Y面</p> <p>— R1面</p> <p>— 変位方向</p>

・ 固結した破砕部中の変形構造から、見かけ上盤側下がりの変位が推定され、正断層センスが認定できる。  
 ・ 粘土状破砕部中には変位センスが認定できるような明瞭な変形構造は認められない。

# 薄片観察結果 (J-6.1\_70R)

■ 条線観察結果を踏まえ、70° Rのレイクでボーリングコアを切断して作成した薄片を観察した。

	顕微鏡観察 (右に構造等を加筆)		顕微鏡観察 拡大 (右に構造等を加筆)			
J-6.1孔 (深度27.9m)	(単ニコル)	<p>上</p> <p>固結した破碎部 粘土状破碎部</p> <p>下 1cm</p>	<p>上</p> <p>固結した破碎部 粘土状破碎部</p> <p>下 1cm</p>	(単ニコル)	<p>上</p> <p>固結した破碎部</p> <p>下 1mm</p>	<p>上</p> <p>固結した破碎部</p> <p>下 1mm</p>
	(直交ニコル)	<p>上</p> <p>固結した破碎部 粘土状破碎部</p> <p>下 1cm</p>	<p>上</p> <p>固結した破碎部 粘土状破碎部</p> <p>下 1cm</p>	(直交ニコル)	<p>上</p> <p>固結した破碎部</p> <p>下 1mm</p>	<p>上</p> <p>固結した破碎部</p> <p>下 1mm</p>
				<p>凡 例</p> <p>— Y面</p> <p>— P面</p> <p>— 変位方向</p>		

・ 固結した破碎部中の変形構造から、見かけ上盤側下がりの変位が推定され、正断層センスが認定できる。  
 ・ 粘土状破碎部中には変位センスが認定できるような明瞭な変形構造は認められない。

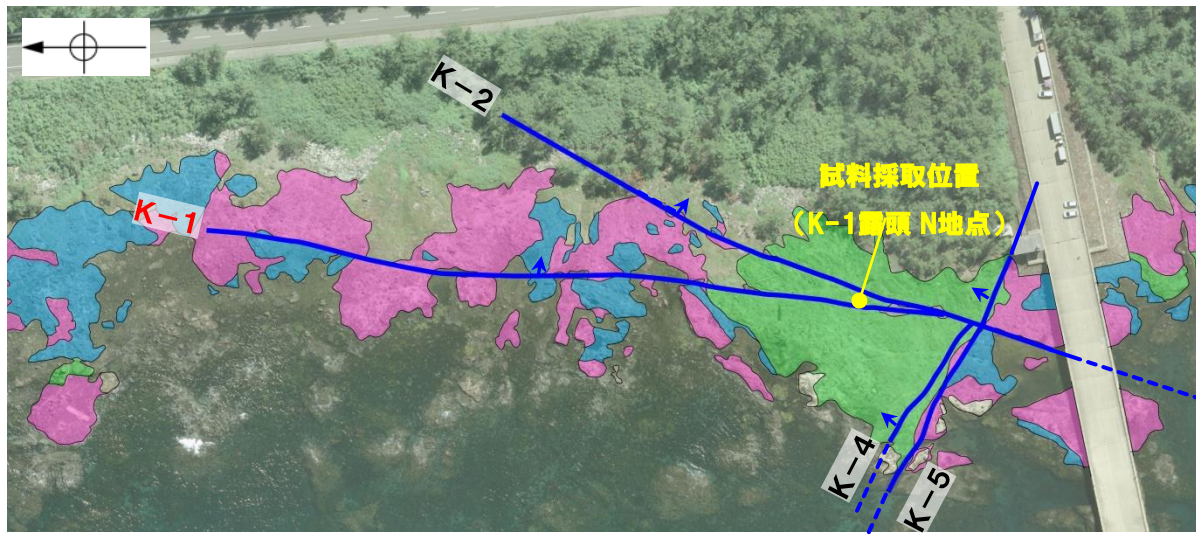
---

(12) K-1の運動方向調査結果

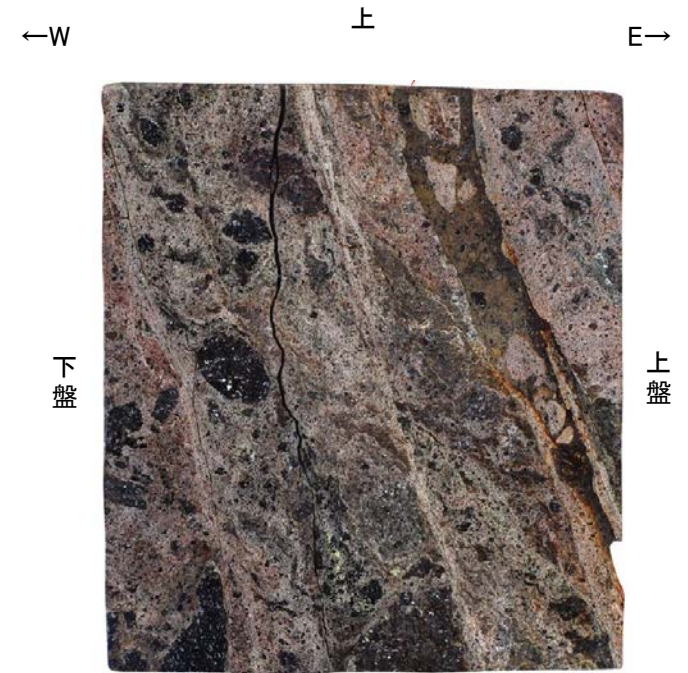
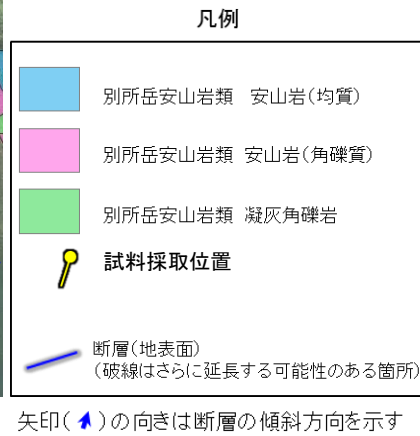
# K-1露頭 N地点 (研磨片観察)

研磨片観察結果(固結した破碎部)	
研磨片番号	変位センス
ブロックサンプル (K-1露頭 N地点)	正断層

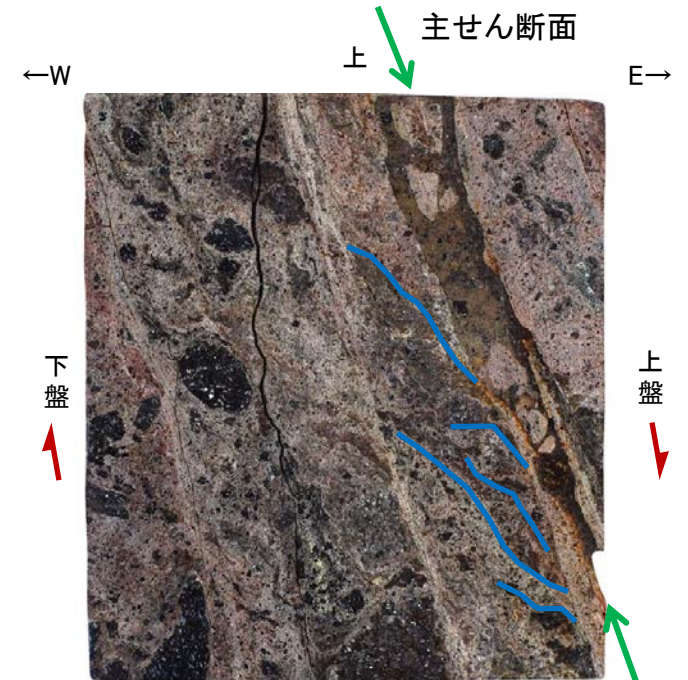
\* ブロックサンプルを鉛直方向に切断して研磨片を作成した。



調査位置図(海岸部露岩域)



0 50mm



0 50mm

研磨片写真(下は変形構造を加筆)

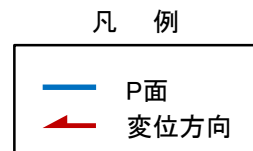


右研磨片作成箇所

10cm

試料採取位置(K-1露頭 N地点)

固結した破碎部



・固結した破碎部中の変形構造から、見かけ上盤側下がり変位が推定され、正断層センスが認定できる。

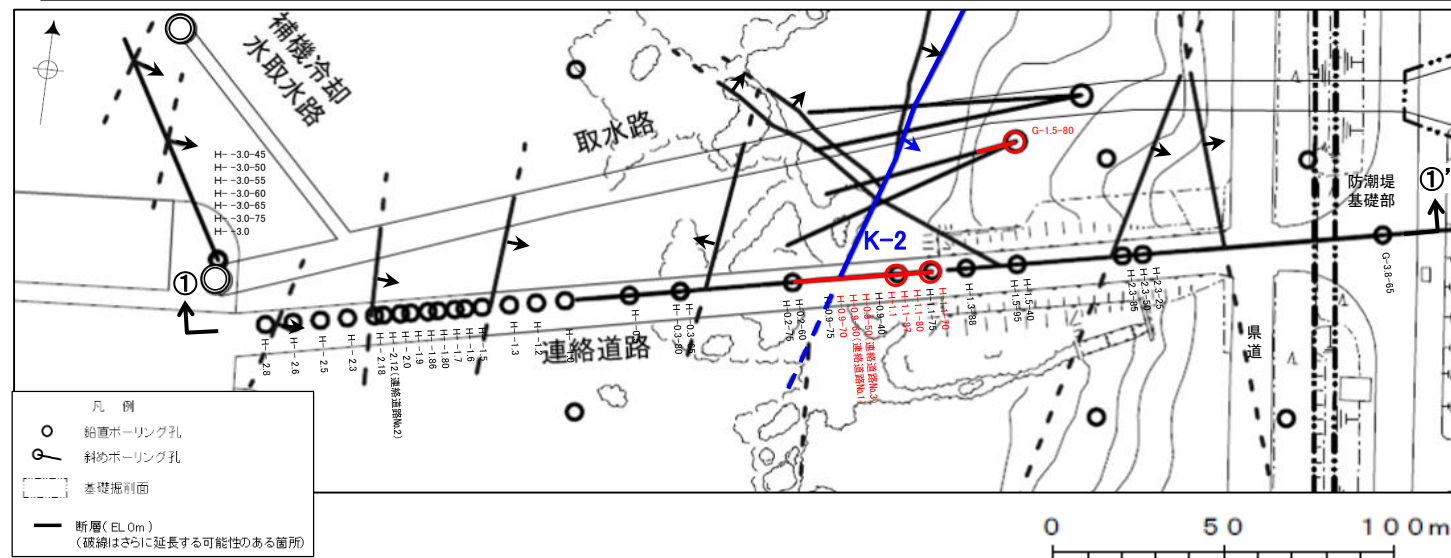
---

(13) K-2の運動方向調査結果



# K-2の運動方向調査結果 一概要一

○コア観察, CT画像観察, 条線観察, 薄片観察結果から, 固結した破碎部では正断層の変位センスが認められ, 粘土状破碎部では右横ずれまたは左横ずれを伴う逆断層の変位センスが認められる。右表中□の観察結果を次頁以降に示す。



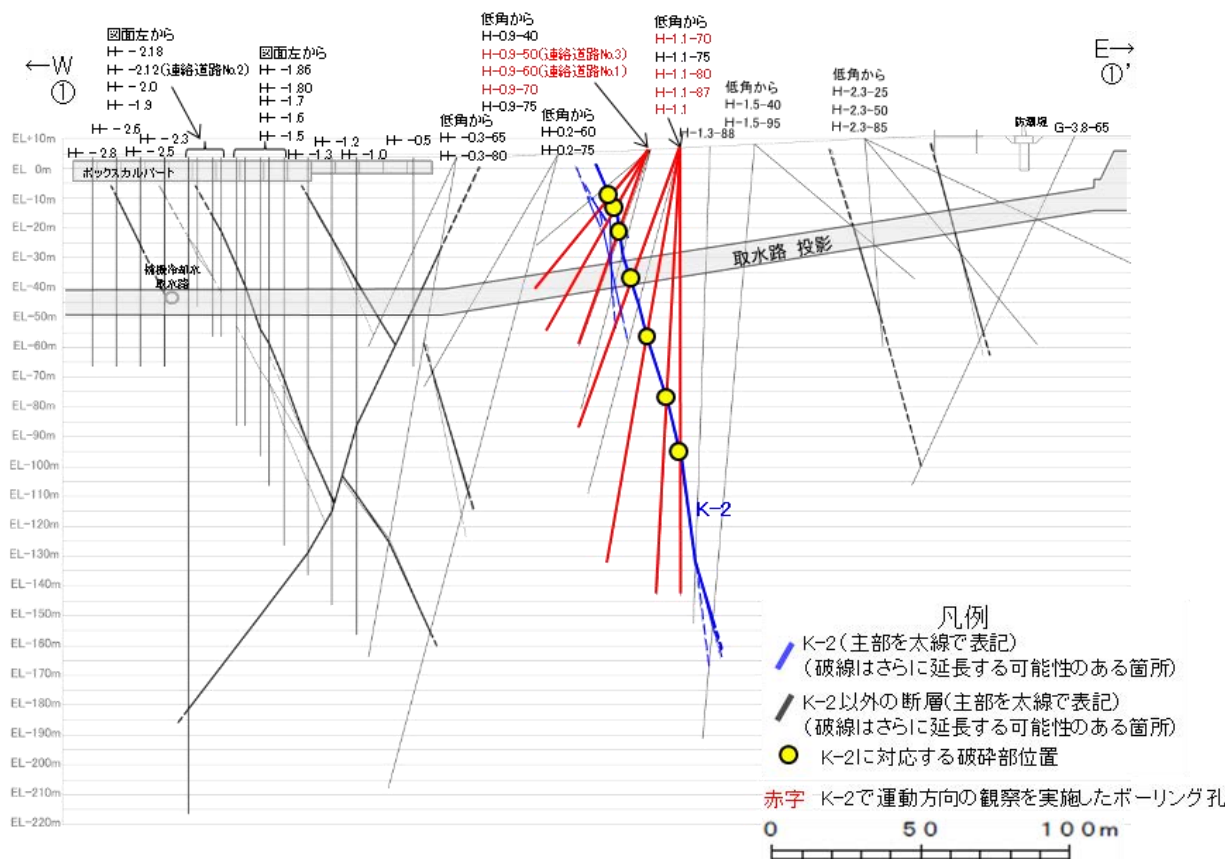
位置図

赤字 K-2で運動方向の観察を実施したボーリング孔  
矢印(▲)の向きは断層の傾斜方向を示す

観察結果 一覧表

試料名	走向/傾斜 (走向は真北)	固結した破碎部	粘土状破碎部		
		変位センス (薄片観察)	条線の レイク*1	変位センス (条線観察)	変位センス (薄片観察)
H-1.1-70孔 [深度48.17m]	N15° E/80° SE	正断層	75° R	(不明)	右横ずれ 逆断層
H-0.9-70孔 [深度27.35m]	N8° E/76° SE		133° R	(不明)	左横ずれ 逆断層
			58° R	(不明)	
H-1.1孔 [深度103.77m]	N21° E/80° SE	(不明)			0° R:右横ずれ*2 90° R:(不明)*3
H-0.9-50孔 [深度20.93m]	N27° E/71° SE		(不明)	(不明)	
H-0.9-60孔 [深度23.15m]	N6° E/75° SE		(不明)	(不明)	
H-1.1-80孔 [深度64.13m]	N13° E/79° SE		64° R	(不明)	
H-1.1-87孔 [深度84.30m]	N20° E/81° SE		117° R	(不明)	
G-1.5-80孔 [深度77.82m]	N8° E/72° SE		71° R	(不明)	

\*1: 上盤側で確認したレイクは下盤側に換算して示す。  
\*2: 破碎部の最大傾斜方向に直交な方向で切断し, 作成した薄片で確認。  
\*3: 破碎部の最大傾斜方向で切断し, 作成した薄片で確認。

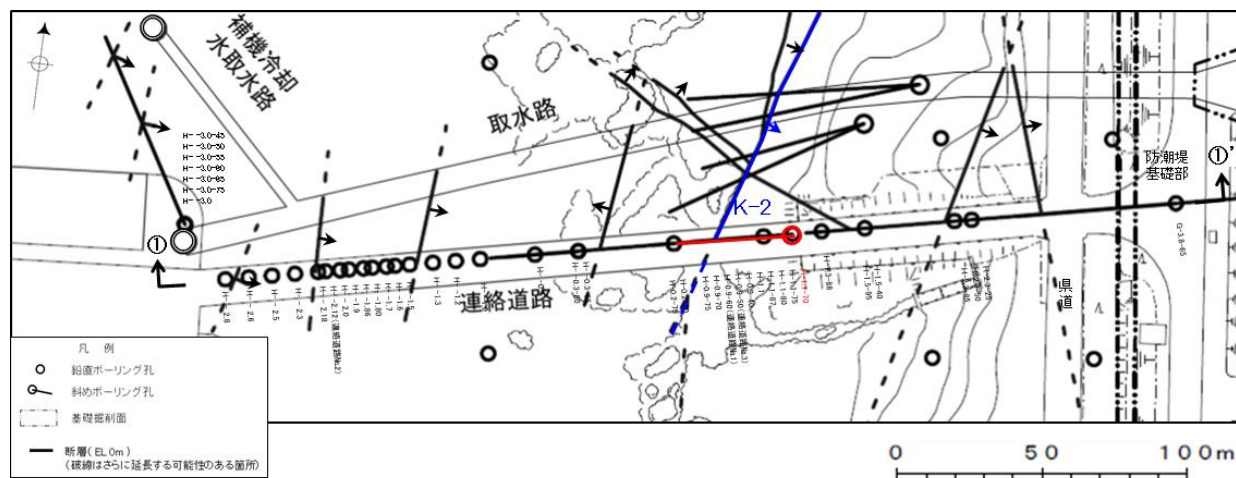


①-①' 断面図

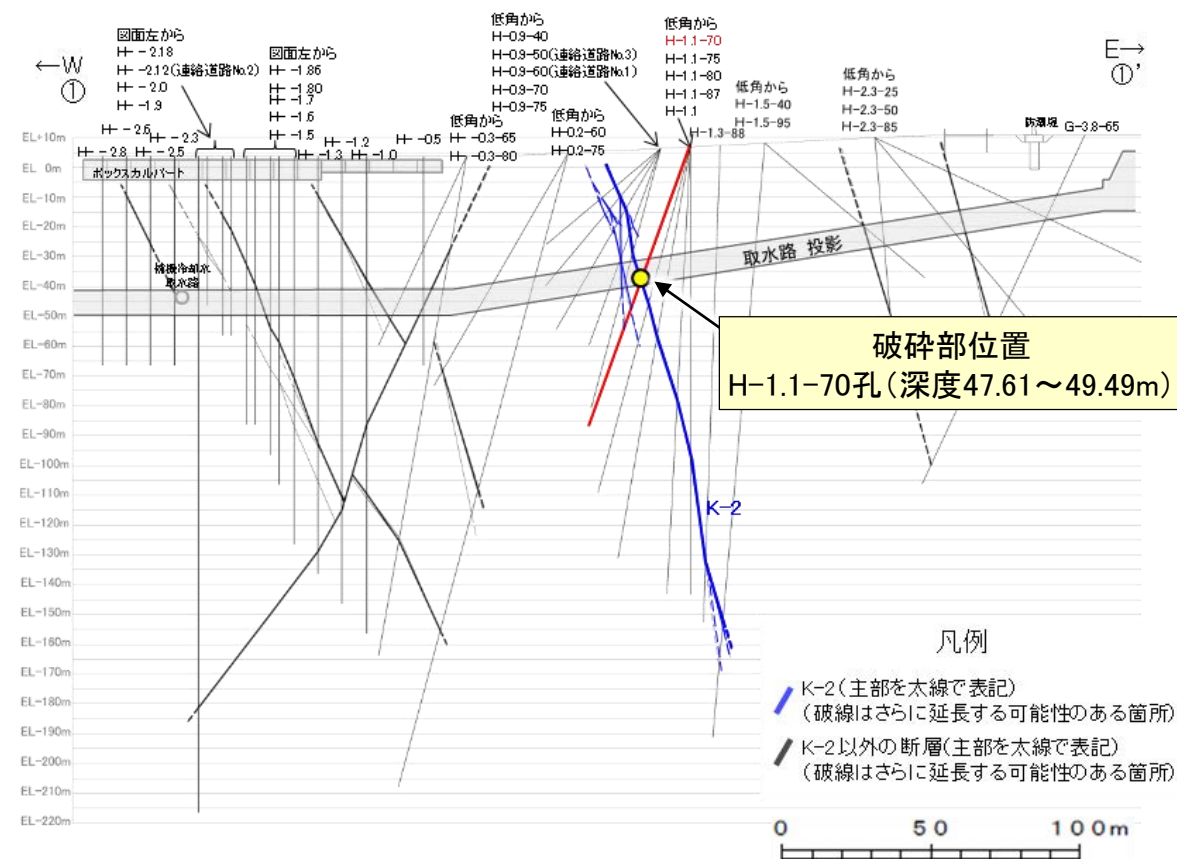
凡例  
 K-2(主部を太線で表記)  
 (破線はさらに延長する可能性のある箇所)  
 K-2以外の断層(主部を太線で表記)  
 (破線はさらに延長する可能性のある箇所)  
 ● K-2に対応する破碎部位置  
 赤字 K-2で運動方向の観察を実施したボーリング孔

# K-2の運動方向調査結果 —H-1.1-70孔—

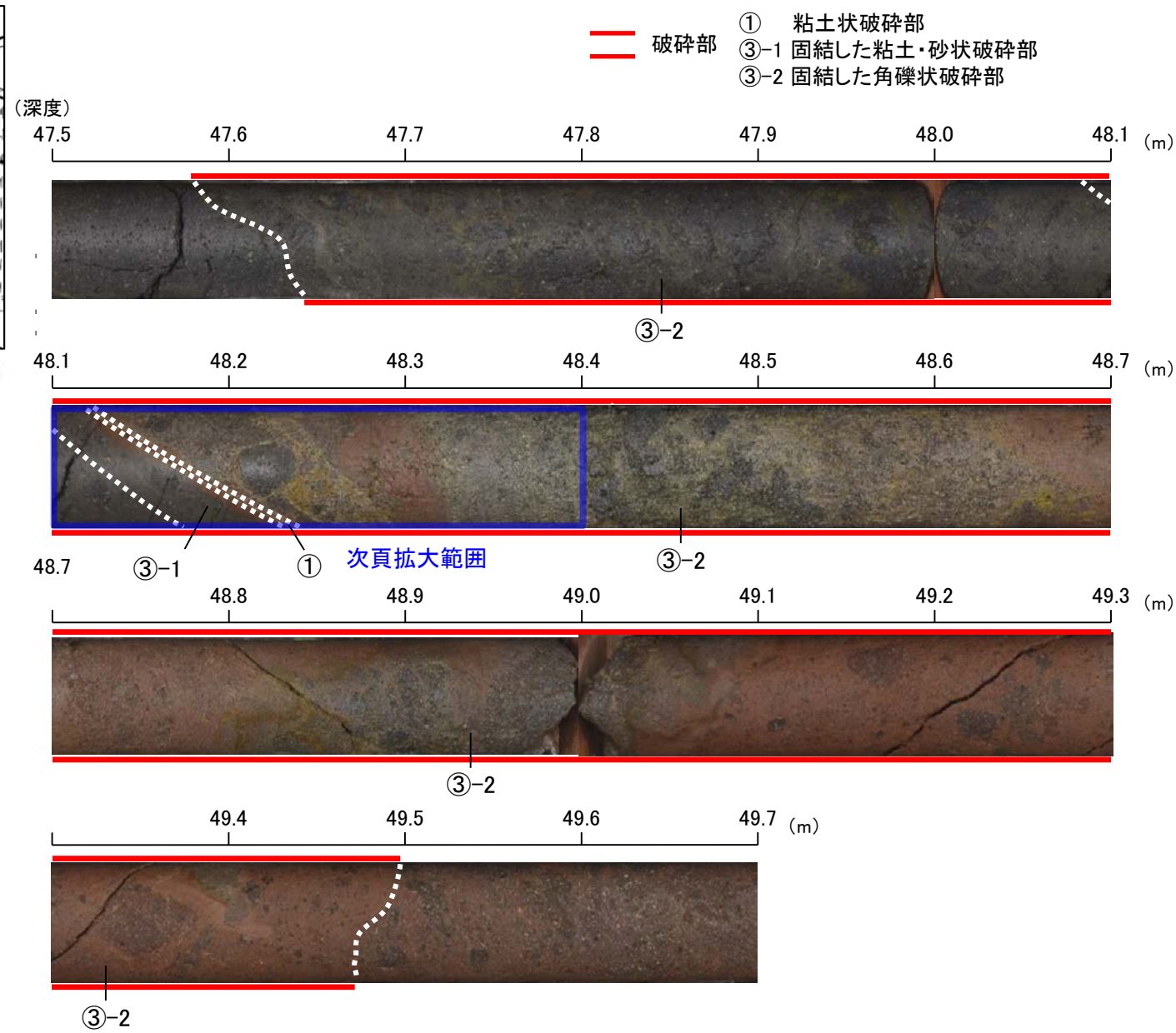
○H-1.1-70孔の深度47.61～49.49mにおいて、K-2に対応する破砕部が認められる。  
○この破砕部を対象に、コア観察及びCT画像観察により抽出した主せん断面において、条線観察、薄片観察を実施し、固結した破砕部の運動方向及び粘土状破砕部の運動方向を確認した。



位置図



①-①'断面図



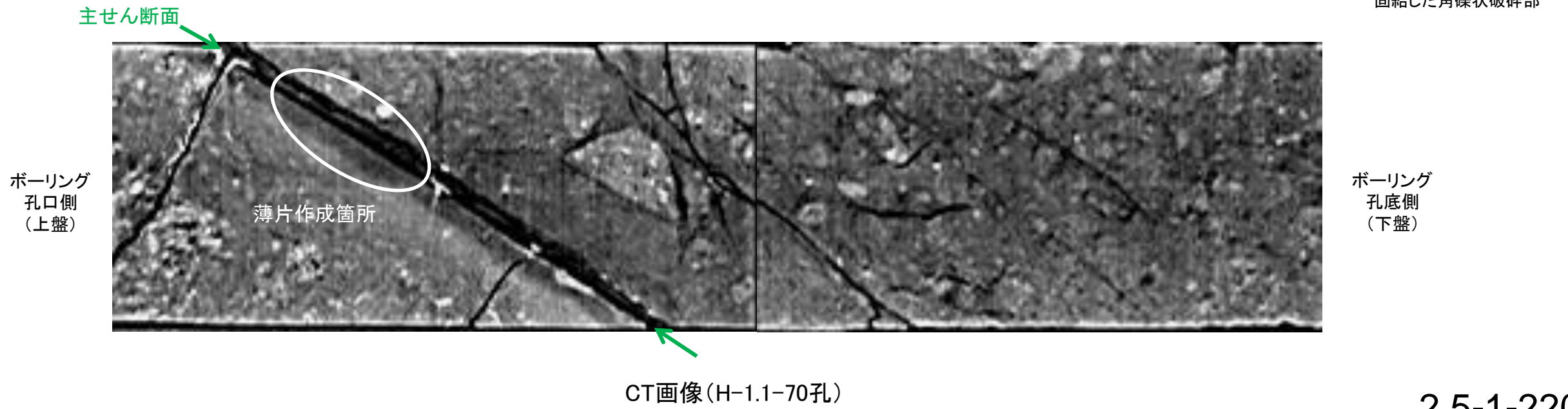
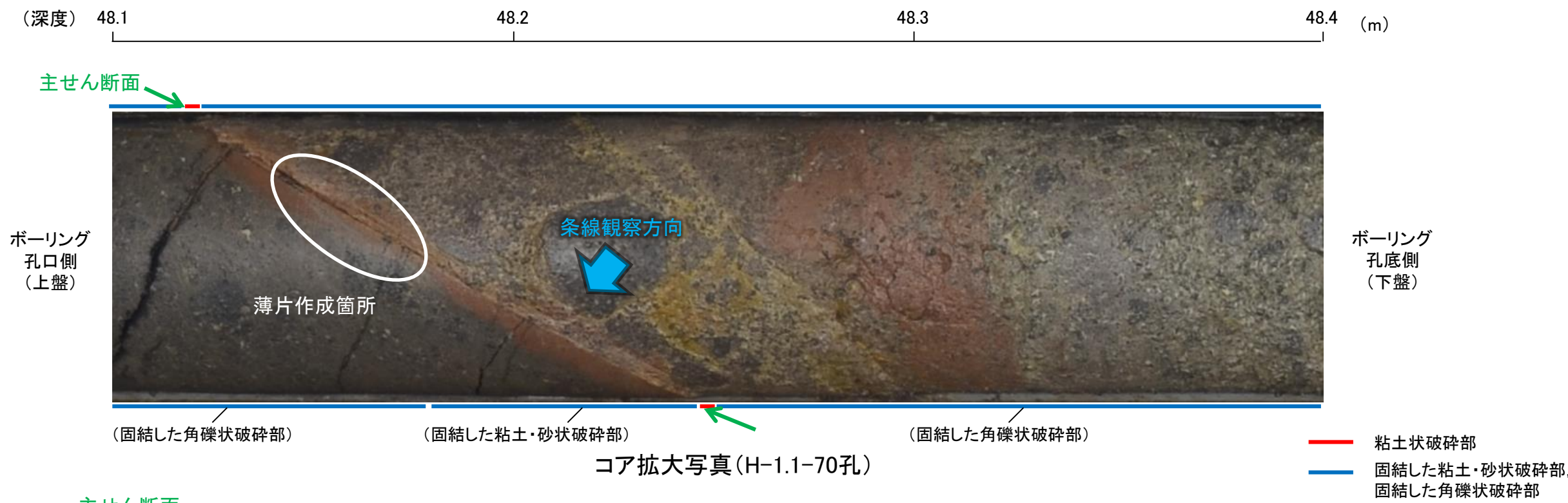
コア写真(H-1.1-70孔, 破砕部区分を加筆)

コア観察結果

深度47.61～49.49m:  
見かけの傾斜角20～60°の厚さ92～94cmの破砕部。厚さ0.2cmの明黄褐色の粘土状破砕部及び厚さ92～94cmの固結した破砕部からなる。

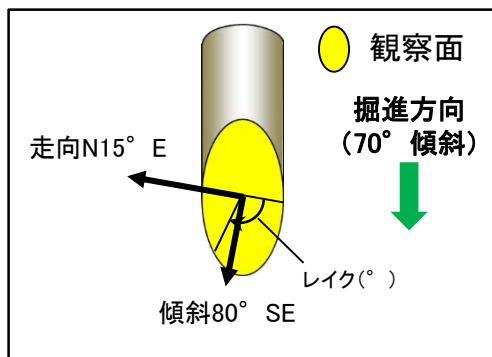
# K-2の運動方向調査結果 —H-1.1-70孔(コア観察, CT画像観察)—

- コア観察, CT画像観察結果より, 固結した粘土・砂状破碎部と固結した角礫状破碎部の境界である深度48.20m付近に, 厚さ0.2cmの粘土状破碎部が認められる。
- 粘土状破碎部を伴う比較的直線性・連続性がよい面を, 主せん断面として抽出した。
- 主せん断面において, 条線観察及び薄片観察を実施した。



# K-2の運動方向調査結果 —H-1.1-70孔(条線観察, 上盤側)—

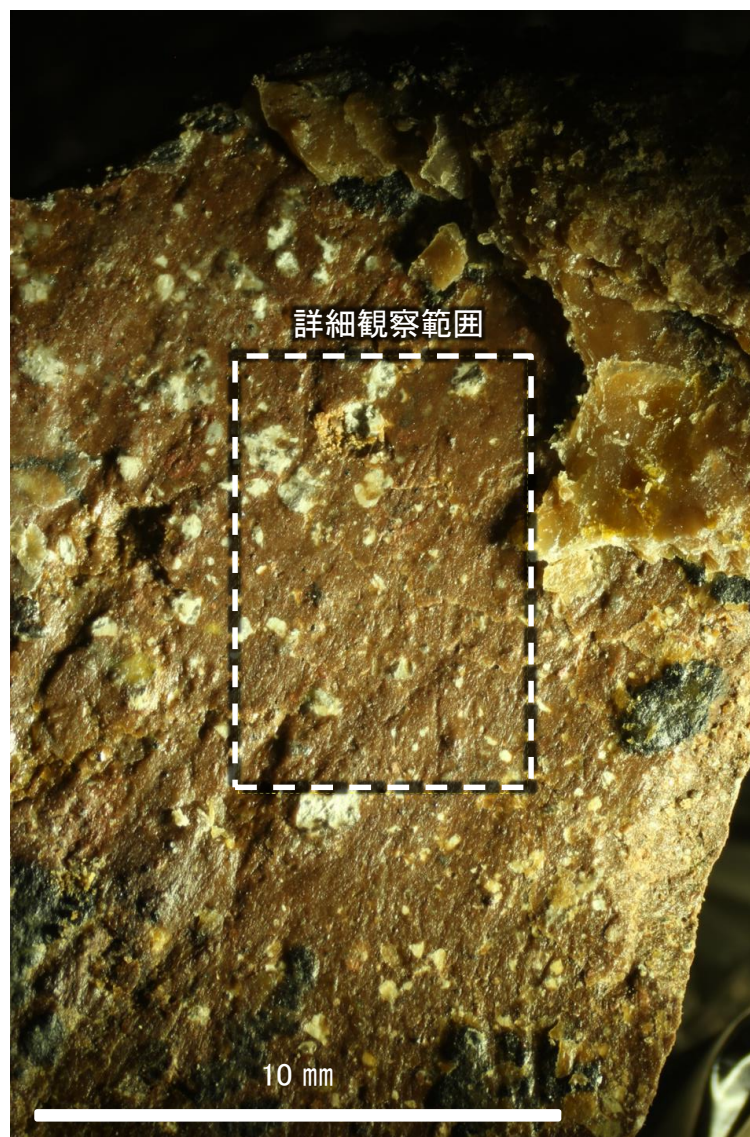
- 主せん断面における条線観察の結果, 上盤側の観察面で $105^\circ$  Rの条線が認められ, 下盤側換算すると $75^\circ$  Rとなる。
- 観察面において, 礫まわりの粘土の非対称構造などの変位センスを推定できるような構造は認められない。



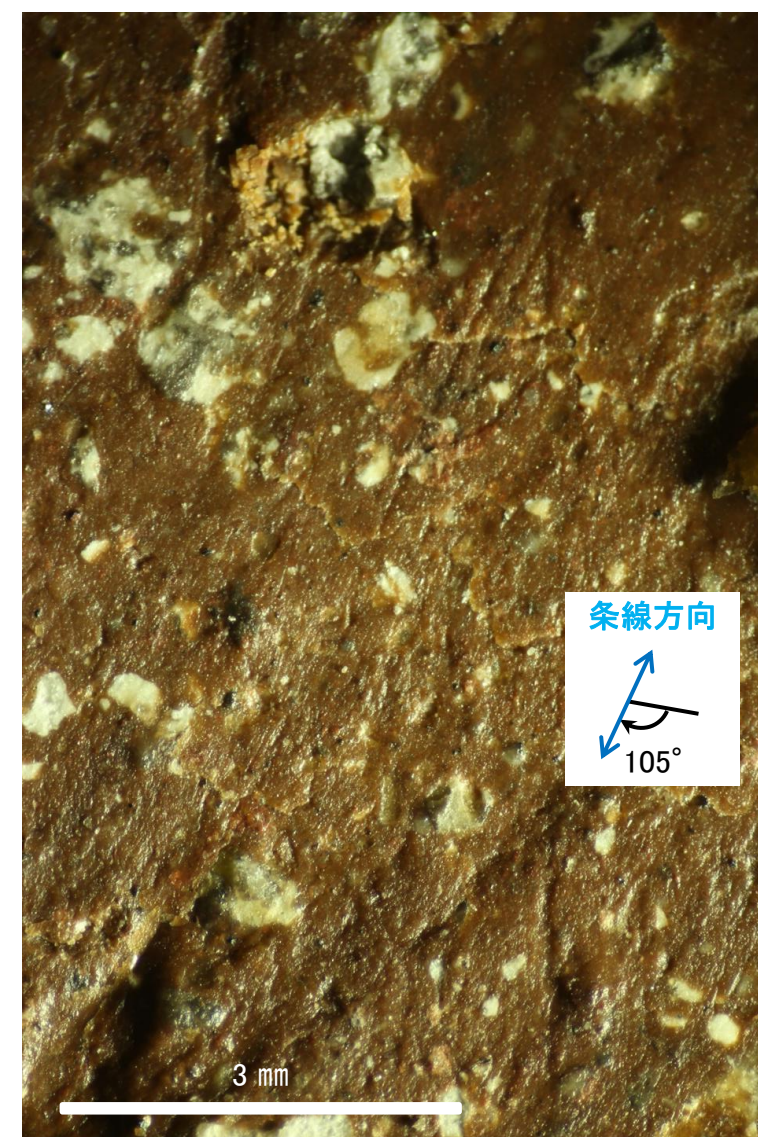
概念図  
※走向は真北で示す。



観察面写真



観察面拡大写真

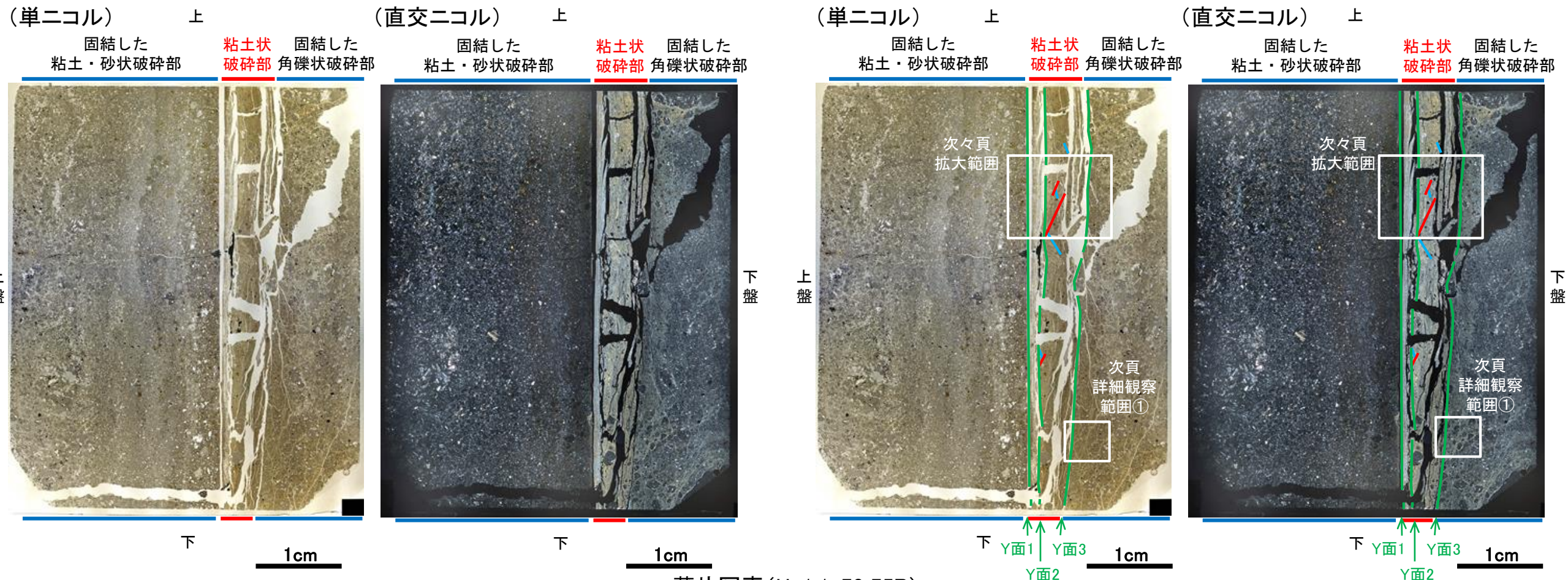


詳細観察写真

# K-2の運動方向調査結果 —H-1.1-70孔(薄片観察)—

- 主せん断面において75° Rの条線方向で作成した薄片観察の結果, 上盤側から固結した粘土・砂状破碎部, 粘土状破碎部, 固結した角礫状破碎部※に分帯される。
- 固結した粘土・砂状破碎部と粘土状破碎部の境界をなすY面1が認められる。
- 粘土状破碎部中にY面2が認められる。このY面2は, 薄片作成時の乾燥収縮によって一部で僅かに湾曲する。
- 粘土状破碎部と固結した角礫状破碎部の境界をなすY面3が認められる。このY面3は湾曲し, 一部で屈曲しており, 直線性に乏しい。
- その他, 薄片内にY面に相当する構造は認められない。

※分帯名はコア観察での破碎部区分に対応



薄片写真(H-1.1-70\_75R)  
(右は構造等を加筆)

## 薄片観察結果

### 固結した粘土・砂状破碎部:

単ニコルで淡褐灰～暗灰色, 直交ニコルで灰色の干渉色を呈する。径1mm以下の岩片や鉱物片が細粒な基質中に含まれており, 径7mm程度の岩片も認められる。岩片は垂角～垂円形, 鉱物片は角～垂円形である。

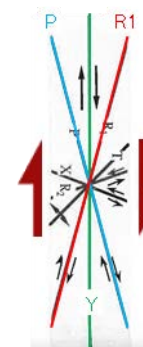
### 粘土状破碎部:

単ニコルで褐灰～灰色, 直交ニコルで白～黄色の干渉色を呈する。径0.5mm以下の岩片や鉱物片が細粒な基質中に含まれており, 径2mm程度の岩片も認められる。岩片は垂角～垂円形, 鉱物片は角～垂角形である。粒径や粘土鉱物の生成状況から, さらに3つのゾーンに分帯され, Y面1やY面3付近には, 結晶構造が比較的明瞭な粘土鉱物が生成されている。

### 固結した角礫状破碎部:

単ニコルで褐灰～灰色, 直交ニコルで灰色の干渉色を呈する。径5mm以下の岩片や鉱物片が細粒な基質中に含まれており, 径8mm以上の岩片も認められる。岩片, 鉱物片は垂角～垂円形である。粘土状破碎部との境界付近や基質中, 岩片の縁辺部には粘土鉱物が比較的多く生成されている。

見かけ上盤側上がり



凡例

- Y面
- P面
- R1面

せん断センスを示す複合面構造  
(狩野・村田(1998)に加筆)

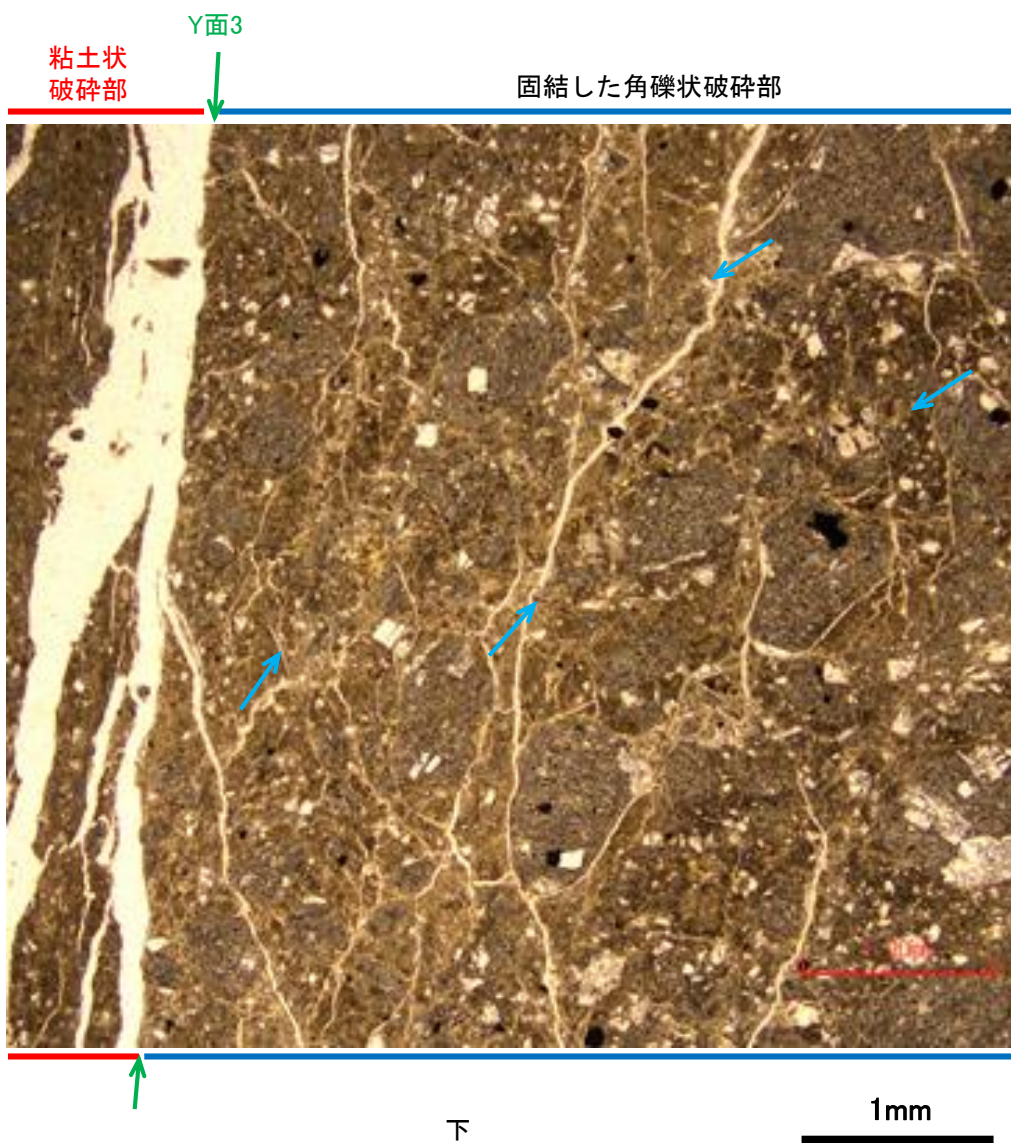
2.5-1-222

# K-2の運動方向調査結果 —H-1.1-70孔(薄片観察, 詳細観察)—

○固結した角礫状破碎部中において, Y面3の直近で岩片の定向配列が認められ, それをP面とすると, 見かけ上盤側下がりの変位が推定される。  
○断層の走向傾斜がN15° E/80° SE, 薄片作成方向が75° Rであることから, 固結した破碎部の運動方向は正断層センスである。

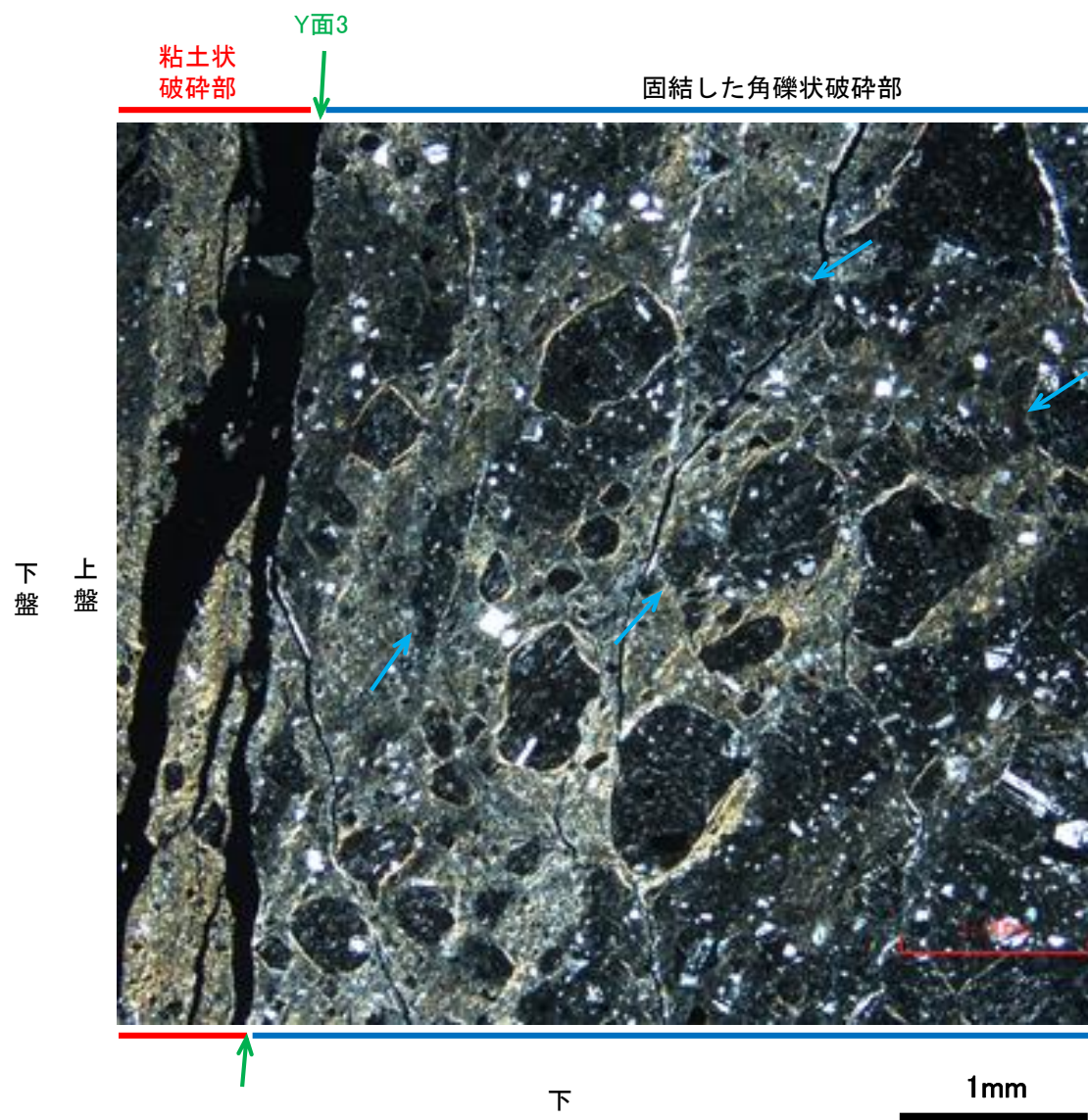
(単ニコル)

上

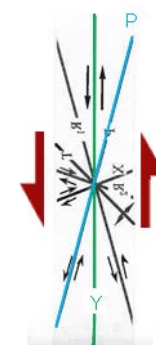


(直交ニコル)

上



見かけ上盤側下がり



せん断センスを示す複合面構造 (狩野・村田(1998)に加筆)

凡例

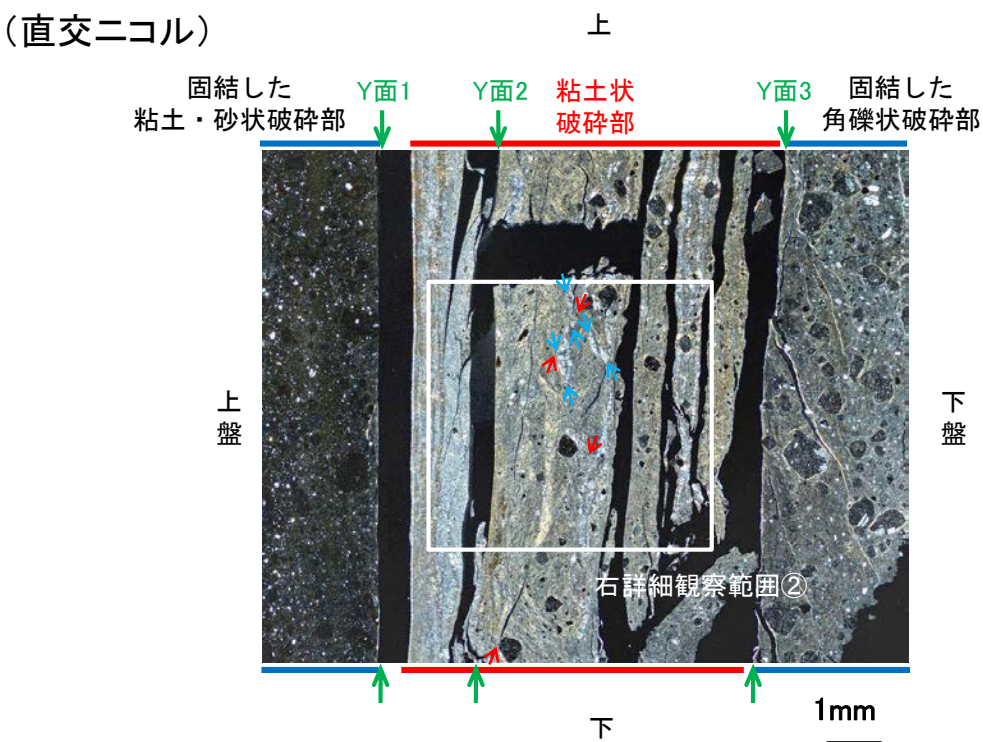
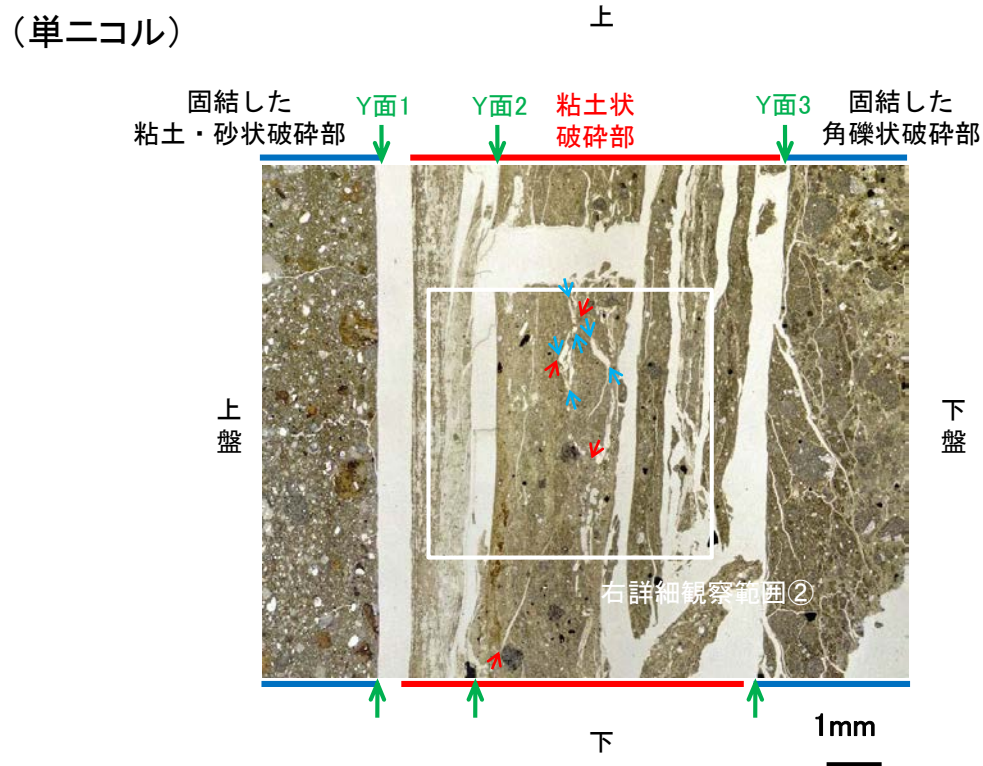
- ← Y面
- ← P面

詳細観察範囲①写真

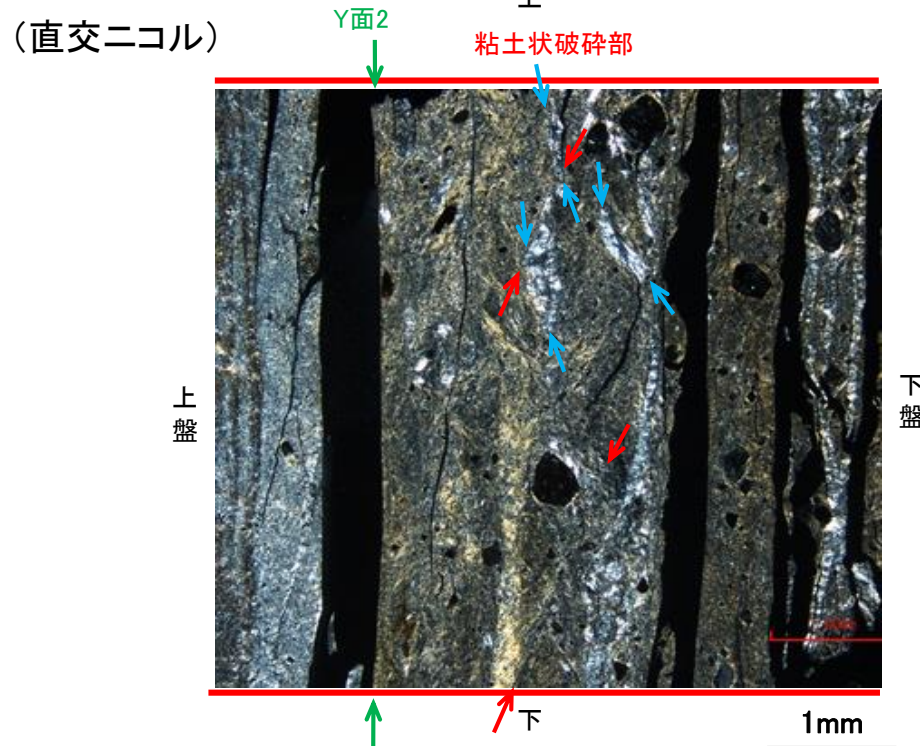
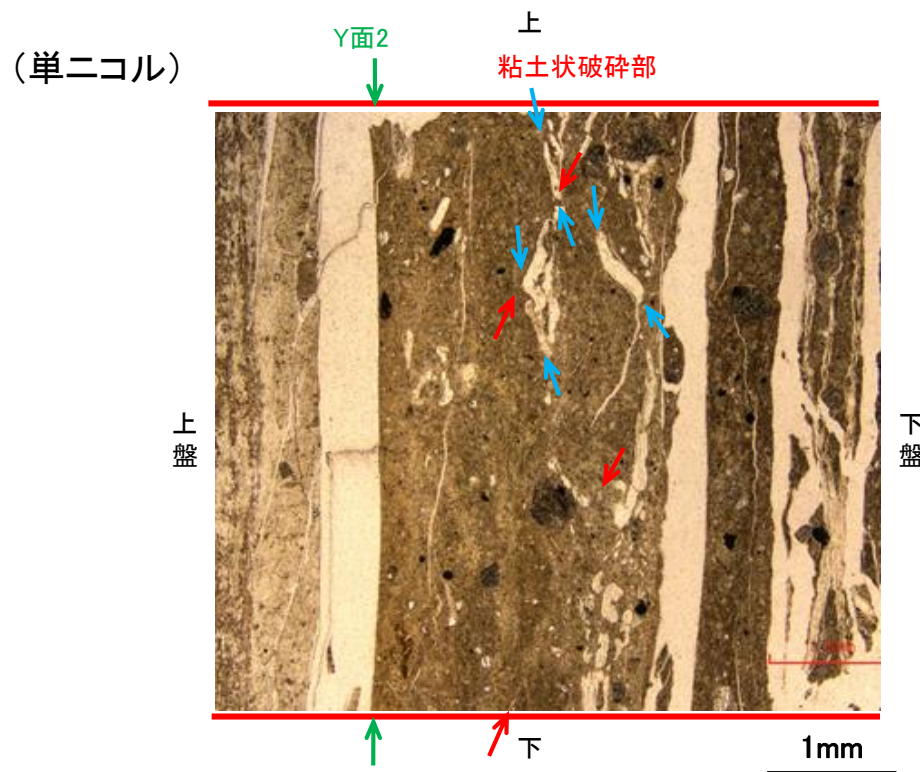
# K-2の運動方向調査結果 —H-1.1-70孔(薄片観察, 詳細観察)—

○粘土状破碎部中の岩片や鉱物片, 粘土鉱物の定向配列をP面とし, これらの配列を切断する微細な割れ目をR1面とすると, 見かけ上盤側上がりの変位が推定される。

○断層の走向傾斜がN15° E/80° SE, 条線レイクが75° Rであることから, 粘土状破碎部の運動方向は右横ずれを伴う逆断層センスである。

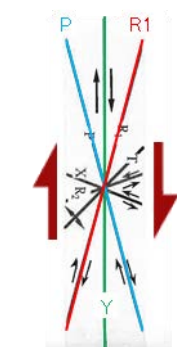


拡大範囲写真



詳細観察範囲②写真

見かけ  
上盤側上がり



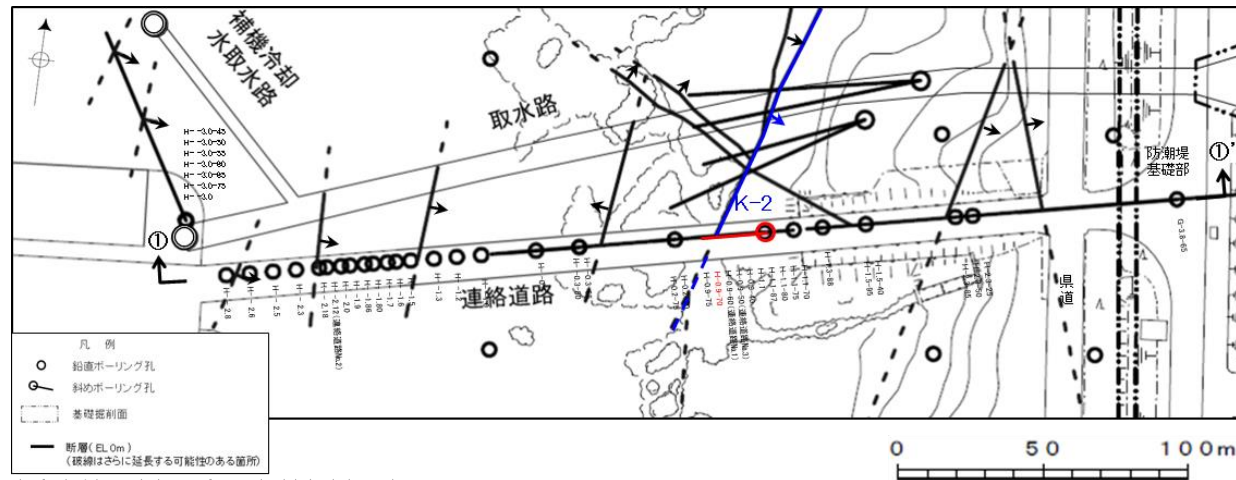
せん断センス  
を示す複合面構造  
(狩野・村田(1998)  
に加筆)

凡例

- ← Y面
- ← P面
- ← R1面

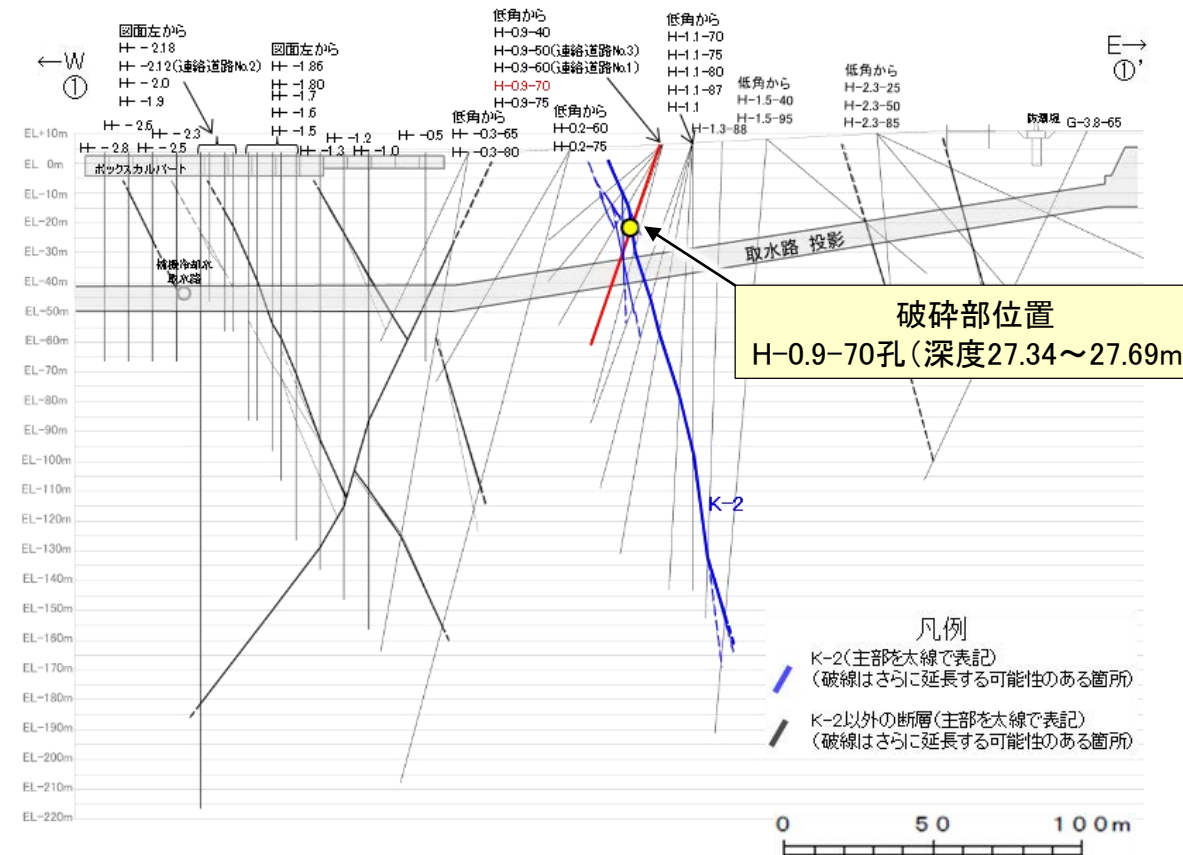
# K-2の運動方向調査結果 —H-0.9-70孔—

○H-0.9-70孔の深度27.34~27.69mにおいて、K-2に対応する破砕部が認められる。  
○この破砕部を対象に、コア観察及びCT画像観察により抽出した主せん断面において、条線観察、薄片観察を実施し、粘土状破砕部の運動方向を確認した。

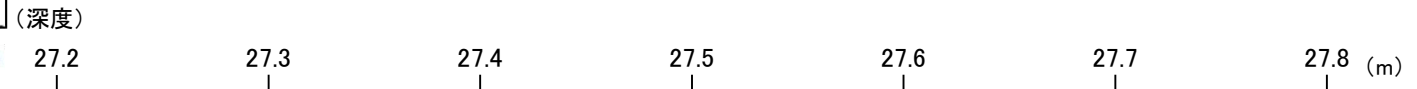


位置図

矢印(↑)の向きは断層の傾斜方向を示す



①-①'断面図



- ① 粘土状破砕部
  - ②-2 角礫状破砕部
  - ③-1 固結した粘土・砂状破砕部
- == 破砕部



次頁拡大範囲

コア写真(H-0.9-70孔, 破砕部区分を加筆)

コア観察結果

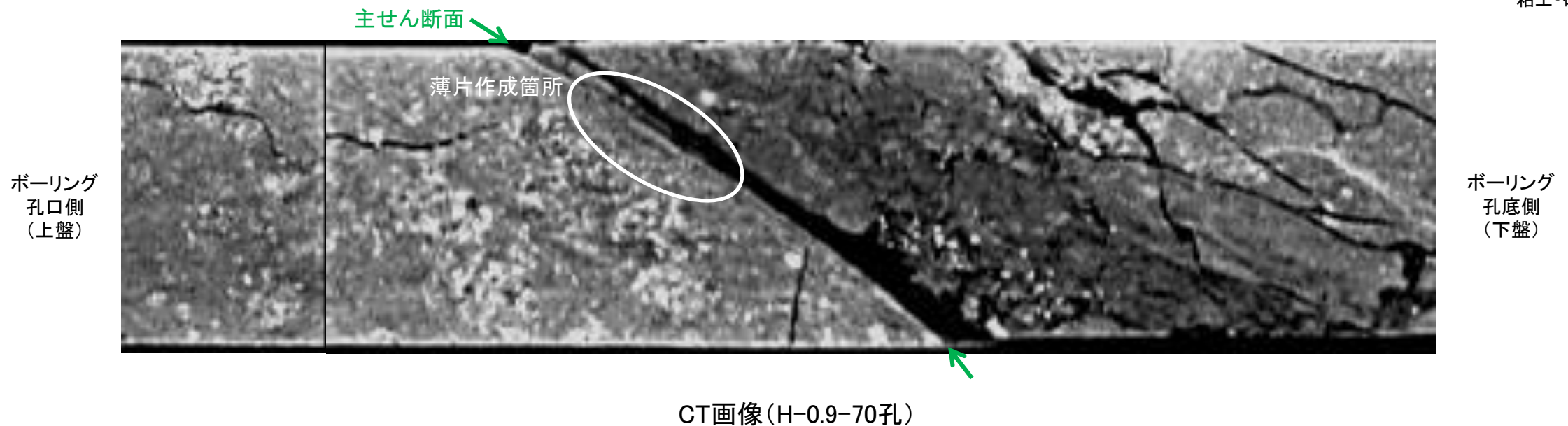
深度27.34~27.69m:  
見かけの傾斜角40~65°の厚さ16~18cmの破砕部。厚さ0.4~0.8cmの灰白~淡黄色の粘土状破砕部, 厚さ2.5~4.0cmのオリブ黄~灰オリブ色の角礫状破砕部及び厚さ12~14cmの固結した破砕部からなる。



# K-2の運動方向調査結果 —H-0.9-70孔(コア観察, CT画像観察)—

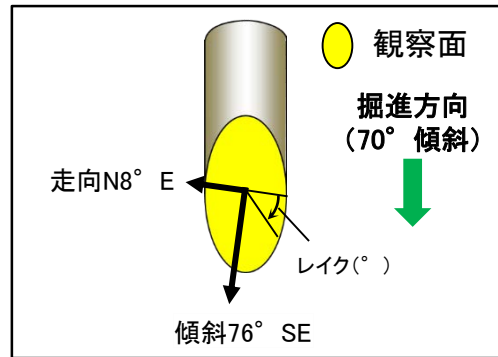
- コア観察, CT画像観察結果より, 固結した粘土・砂状破碎部と角礫状破碎部の境界である深度27.35m付近に, 厚さ0.4~0.8cmの粘土状破碎部が認められる。
- 粘土状破碎部を伴う比較的直線性・連続性がよい面を, 主せん断面として抽出した。
- 主せん断面において, 条線観察及び薄片観察を実施した。

(深度) 27.2 27.3 27.4 27.5 (m)



# K-2の運動方向調査結果 —H-0.9-70孔(条線観察, 上盤側)—

○主せん断面における条線観察の結果, 上盤側の観察面で $47^\circ$  R,  $122^\circ$  Rの条線が認められ, 下盤側換算すると $133^\circ$  R,  $58^\circ$  Rとなる。  
○観察面において, 礫まわりの粘土の非対称構造などの変位センスを推定できるような構造は認められない。



概念図  
※走向は真北で示す。

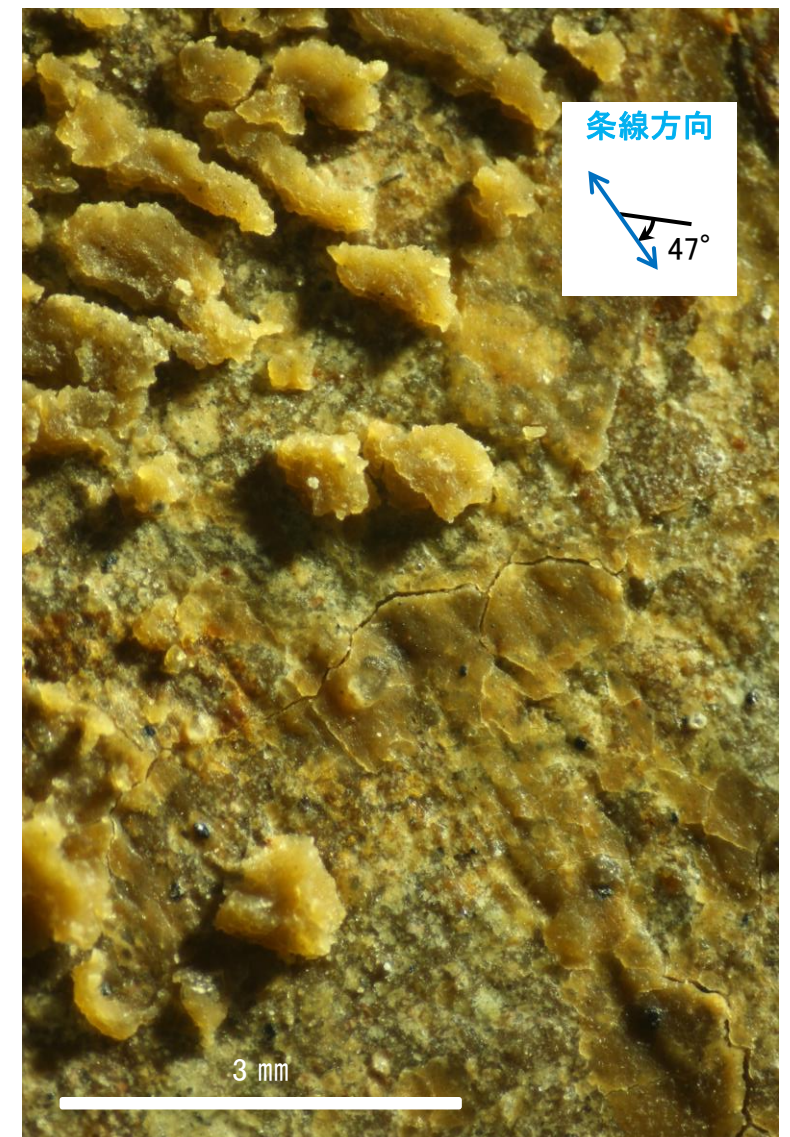
## 拡大写真範囲A



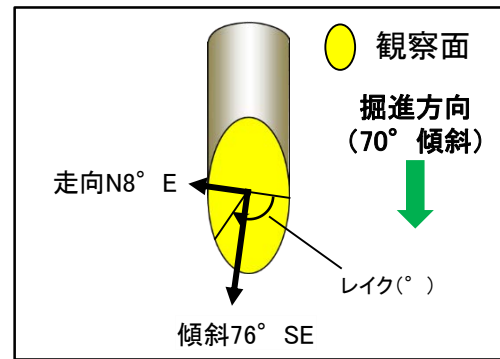
観察面写真



観察面拡大写真A



詳細観察写真A

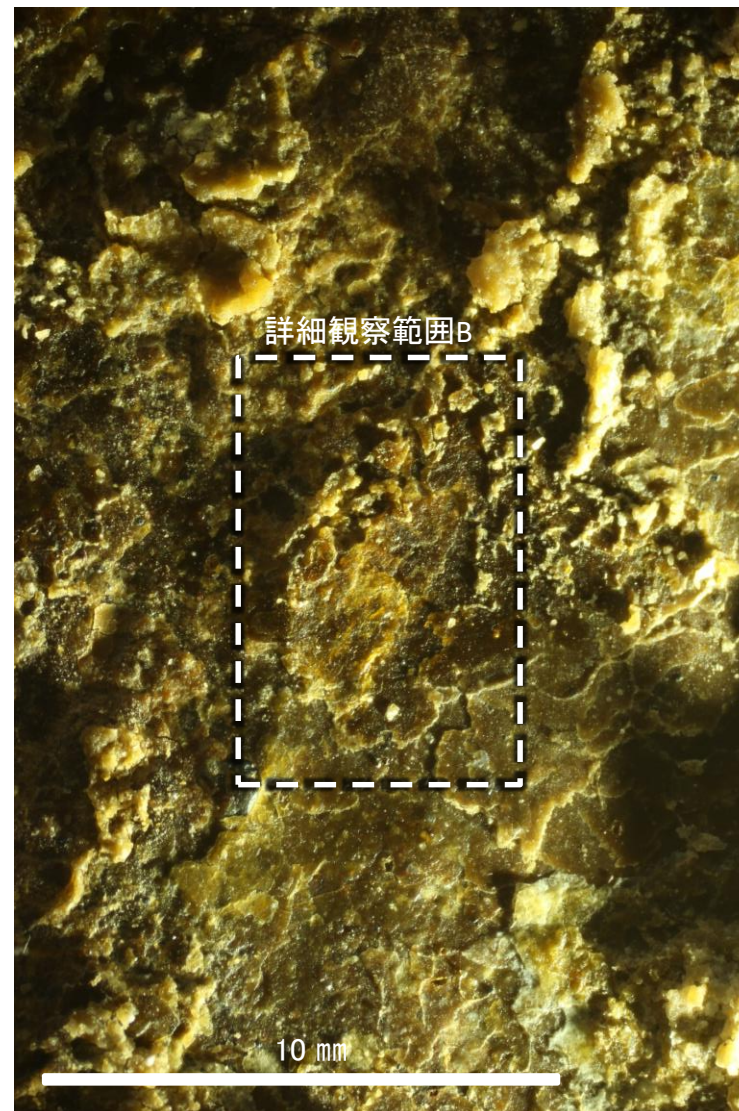


概念図  
※走向は真北で示す。

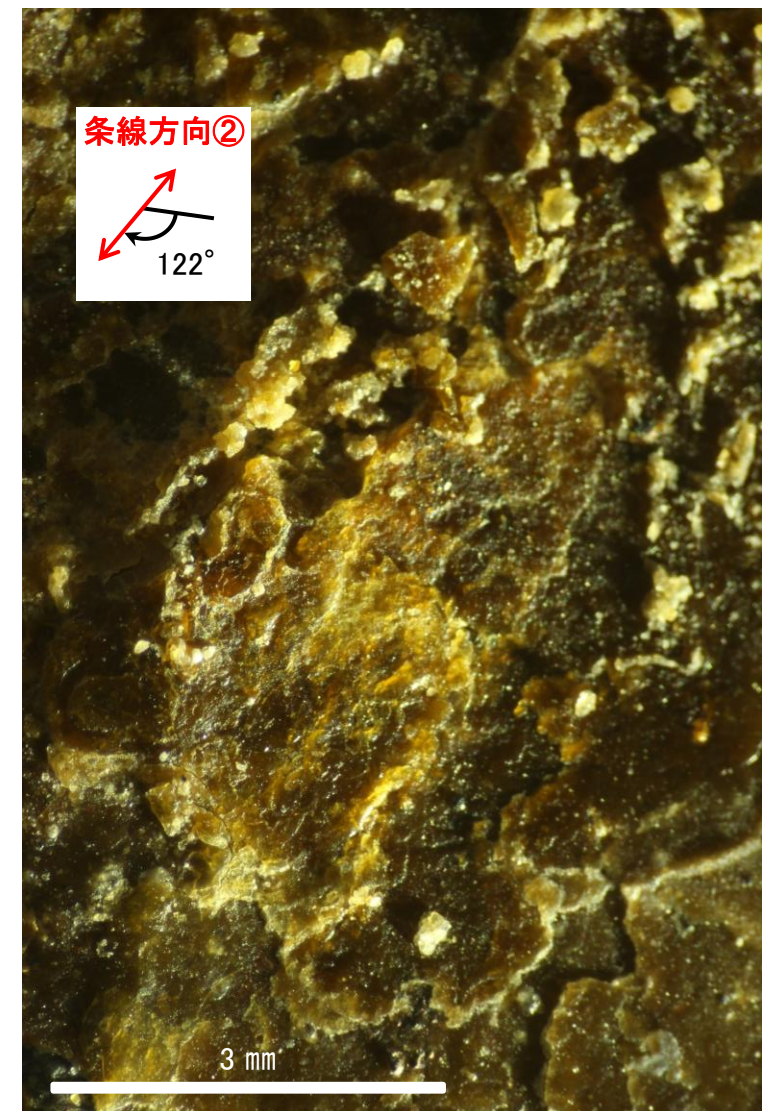
## 拡大写真範囲B



観察面写真



観察面拡大写真B

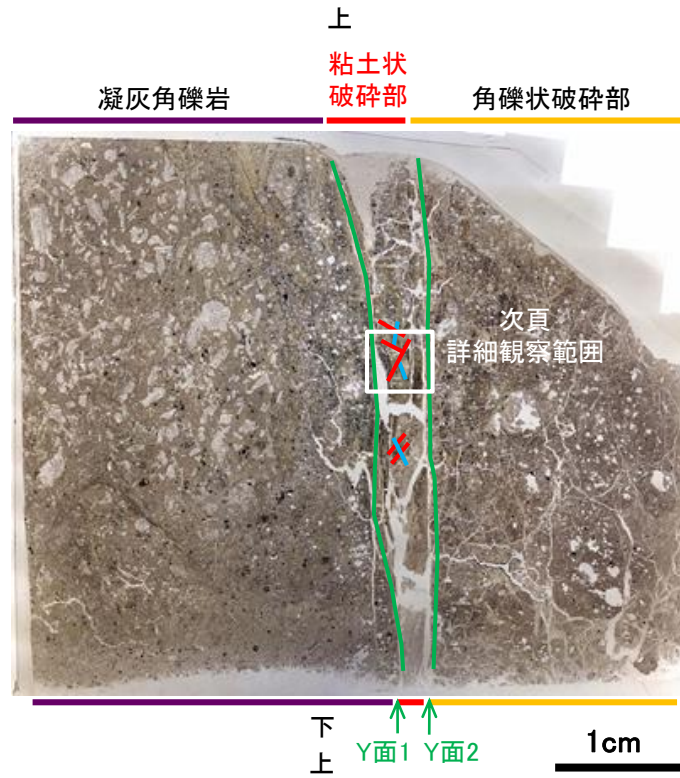
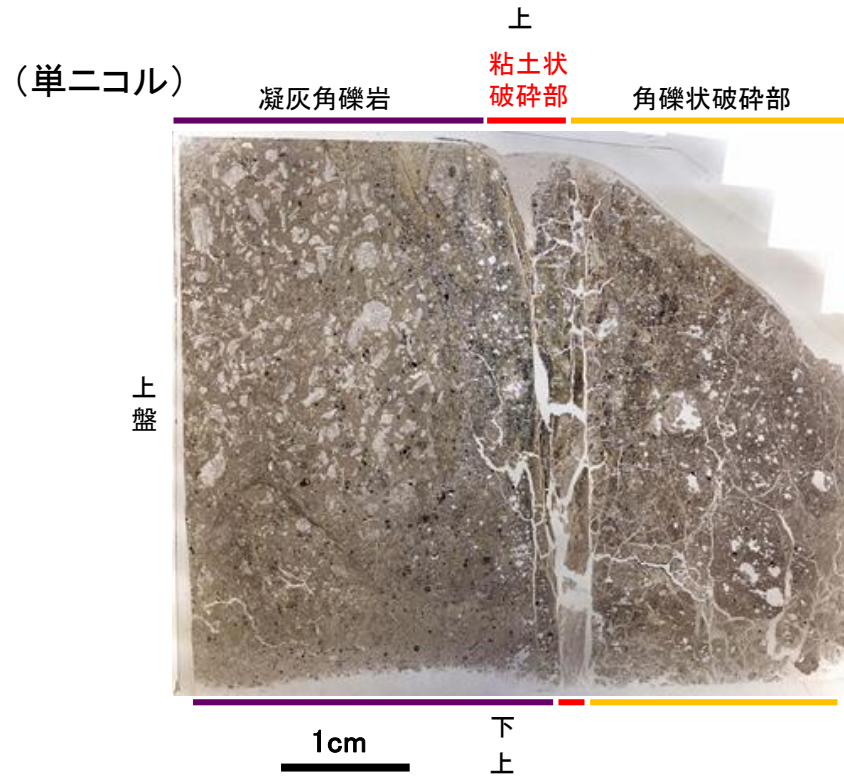


詳細観察写真B

# K-2の運動方向調査結果 —H-0.9-70孔(薄片観察)—

- 主せん断面において、より明瞭な133° Rの条線方向で作成した薄片観察の結果、上盤側から凝灰角礫岩、粘土状破碎部、角礫状破碎部※に分帯される。
- 凝灰角礫岩と粘土状破碎部の境界をなすY面1が認められる。このY面1は湾曲しており、直線性に乏しい。
- 粘土状破碎部と角礫状破碎部の境界をなすY面2が認められる。
- その他、薄片内にY面に相当する構造は認められない。

※分帯名はコア観察での破碎部区分に対応

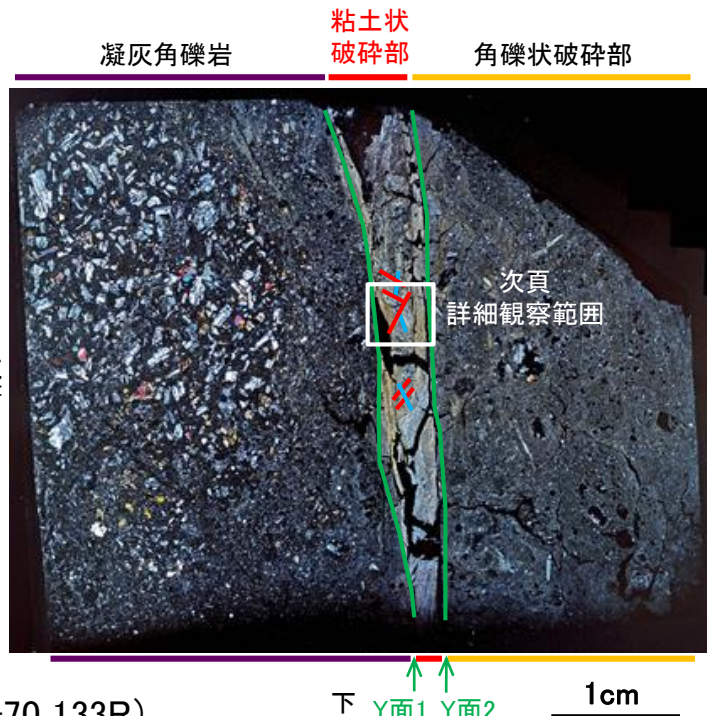
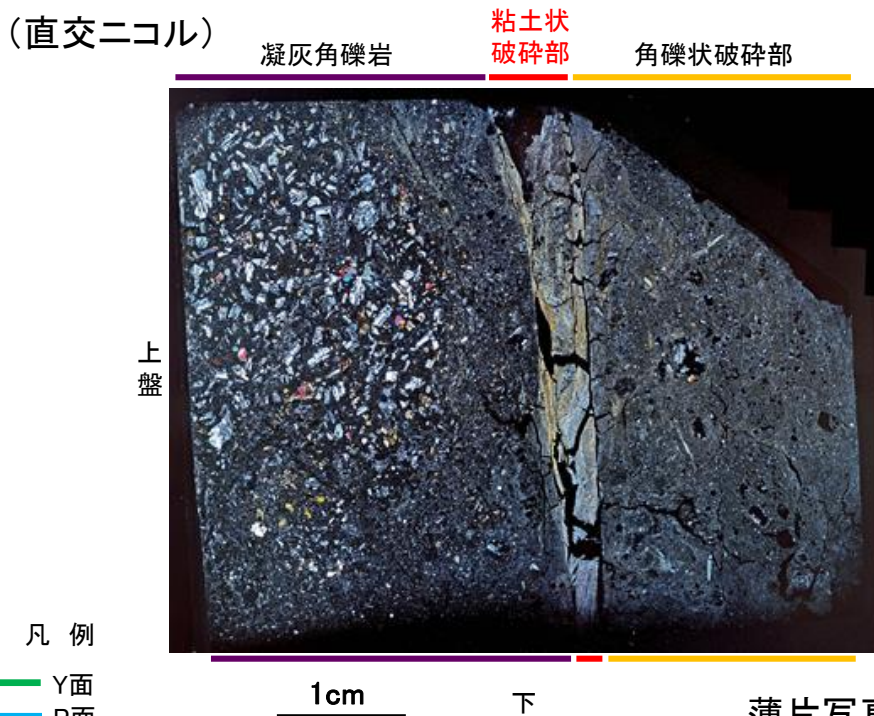


## 薄片観察結果

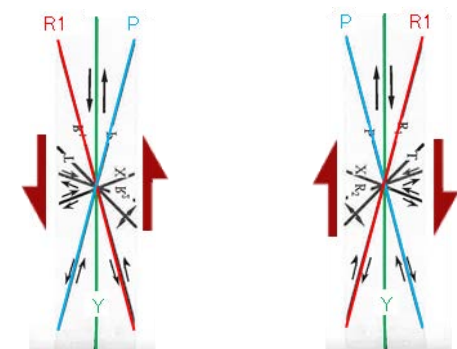
**凝灰角礫岩:**  
単ニコルで暗褐色、直交ニコルで淡褐～暗灰色の干渉色を呈する。径40mm以下の岩片や鉱物片が細粒な基質中に含まれる。岩片、鉱物片は亜角～亜円形である。粘土状破碎部との境界付近には粘土鉱物が比較的多く生成されている。

**粘土状破碎部:**  
単ニコルで褐灰～灰色、直交ニコルで黄～灰色の干渉色を呈する。径5mm以下の岩片や鉱物片が細粒な基質中に含まれる。岩片は角～亜円形、鉱物片は亜角～亜円形である。基質中には粘土鉱物が生成されている。

**角礫状破碎部:**  
単ニコルで褐灰～暗灰色、直交ニコルで灰色の干渉色を呈する。径4mm以下の岩片や鉱物片が細粒な基質中に含まれており、径10mm程度の岩片も含まれる。岩片、鉱物片は亜角～亜円形である。基質中や割れ目、岩片の縁辺部には粘土鉱物が生成されている。



見かけ上盤側下がり 見かけ上盤側上がり



せん断センスを示す複合面構造  
(狩野・村田(1998)に加筆)

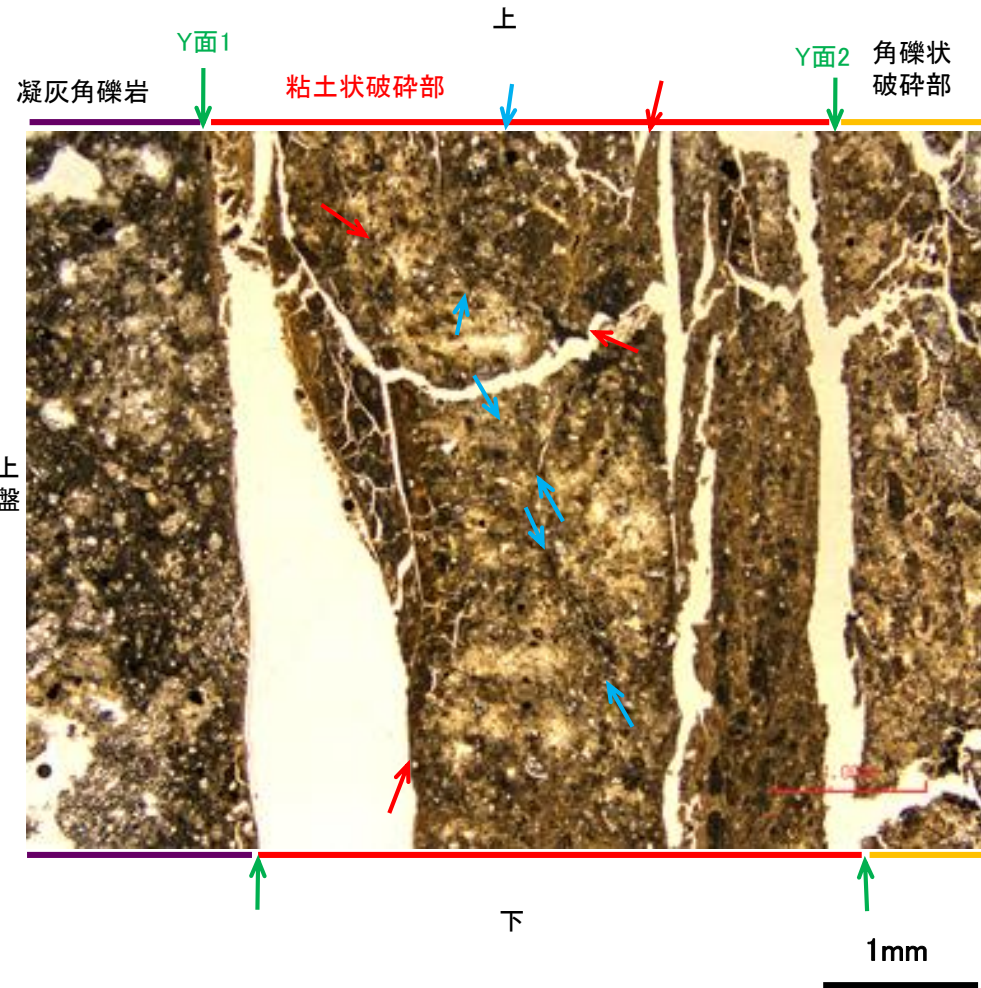
- 凡例
- Y面
  - P面
  - R1面

薄片写真(H-0.9-70\_133R)  
(右は構造等を加筆)

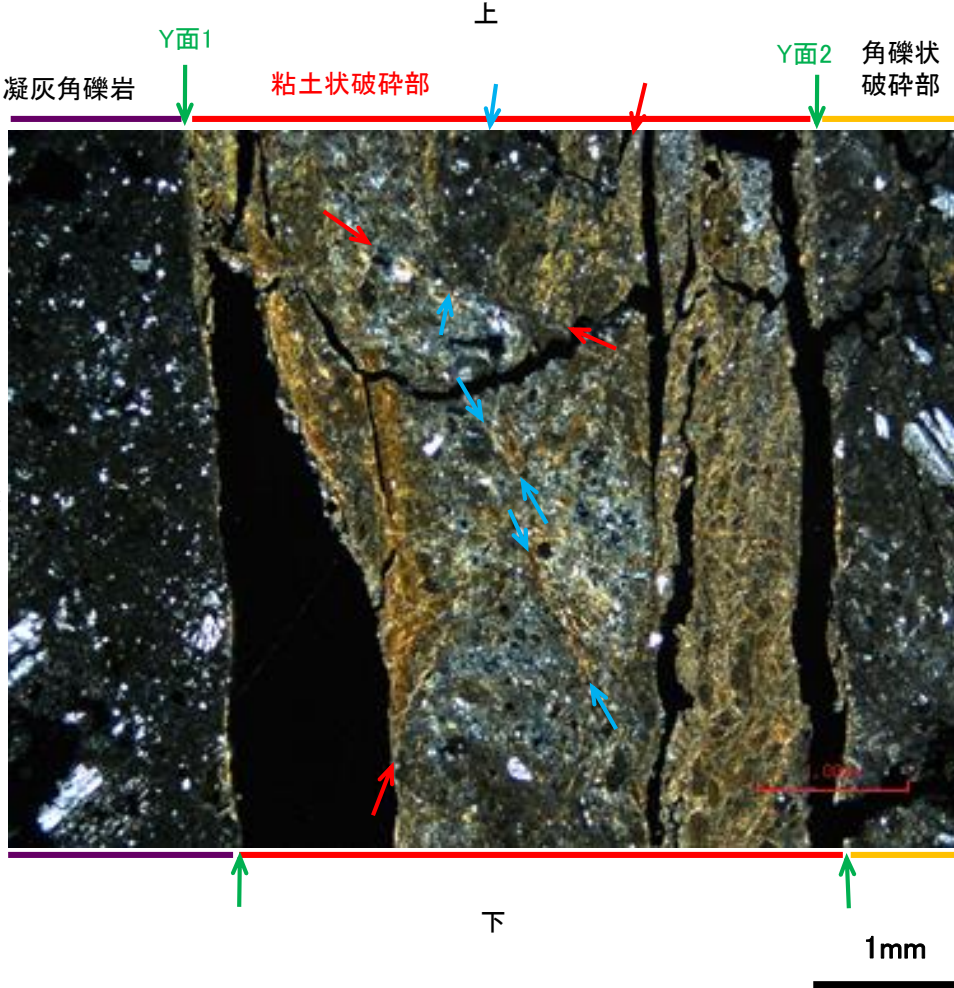
# K-2の運動方向調査結果 —H-0.9-70孔(薄片観察, 詳細観察)—

- 角礫状破碎部中には複合面構造は認められず, 変位センスは特定できない。
- 粘土状破碎部中の岩片や粘土鉱物の定向配列をP面とし, これらの配列を切断する微細な割れ目をR1面とすると, 見かけ上盤側上がり及び見かけ上盤側下がりとの異なる変位センスを読み取ることができる。これらは, 見かけ上盤側上がりのR1面が見かけ上盤側下がりR1面を切断していることから, 見かけ上盤側上がりの変位がより新しい構造であると考えられる。
- 断層の走向傾斜がN8° E/76° SE, 条線レイクが133° Rであることから, 粘土状破碎部の運動方向は左横ずれを伴う逆断層センスである。

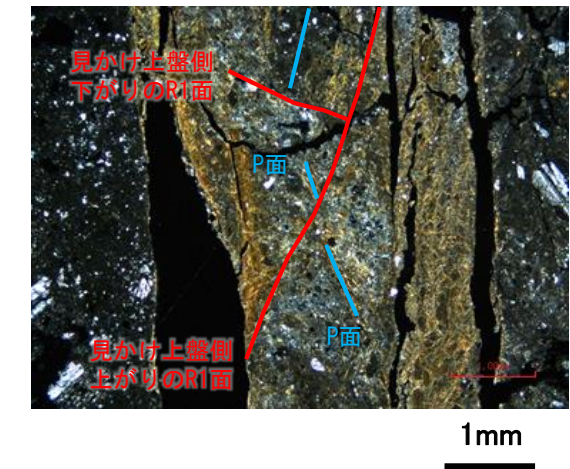
(単ニコル)



(直交ニコル)

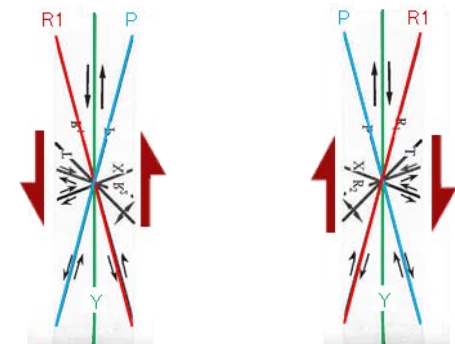


(直交ニコル)



切り合い関係解釈線  
加筆写真

見かけ上盤側下がり 見かけ上盤側上がり



せん断センスを示す複合面構造  
(狩野・村田(1998)に加筆)

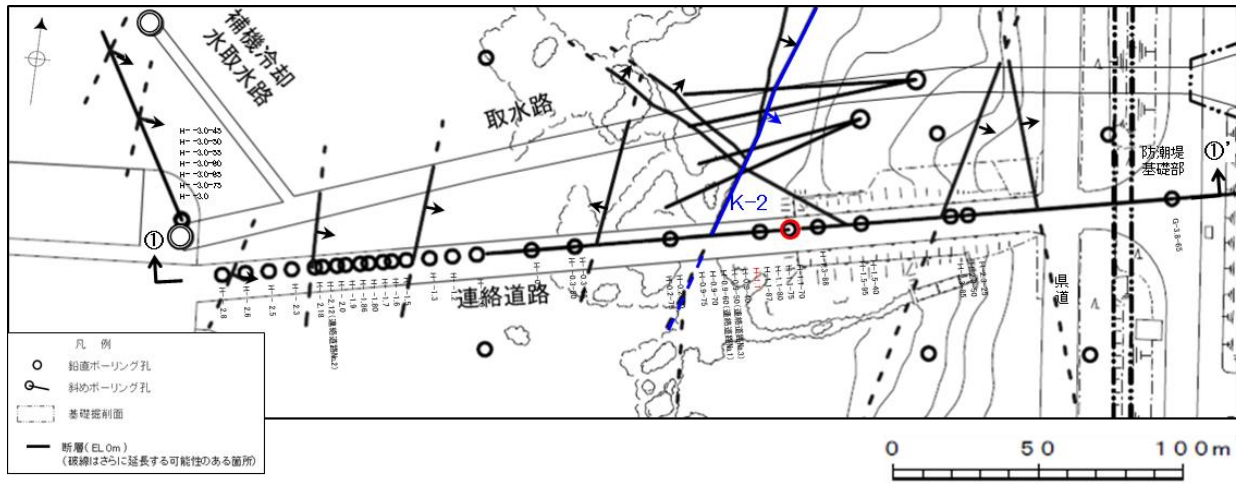
詳細観察範囲写真

凡例

- ← Y面
- ← P面
- ← R1面

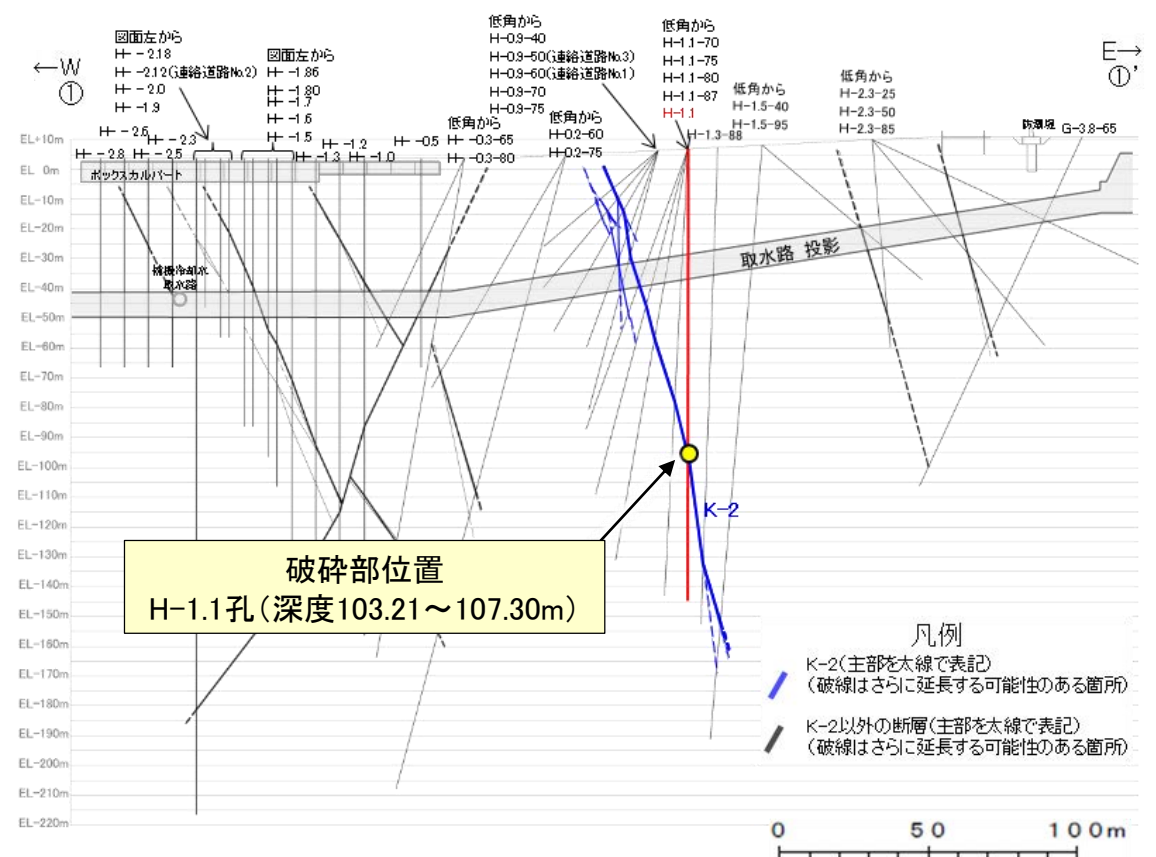
# K-2の運動方向調査結果 —H-1.1孔—

○H-1.1孔の深度103.21~107.30mにおいて、K-2に対応する破砕部が認められる。  
 ○この破砕部を対象に、コア観察及びCT画像観察により抽出した主せん断面において、薄片観察を実施し、粘土状破砕部の運動方向の水平成分を確認した。一方、固結した破砕部の運動方向及び粘土状破砕部の運動方向の鉛直成分を特定することはできなかった。

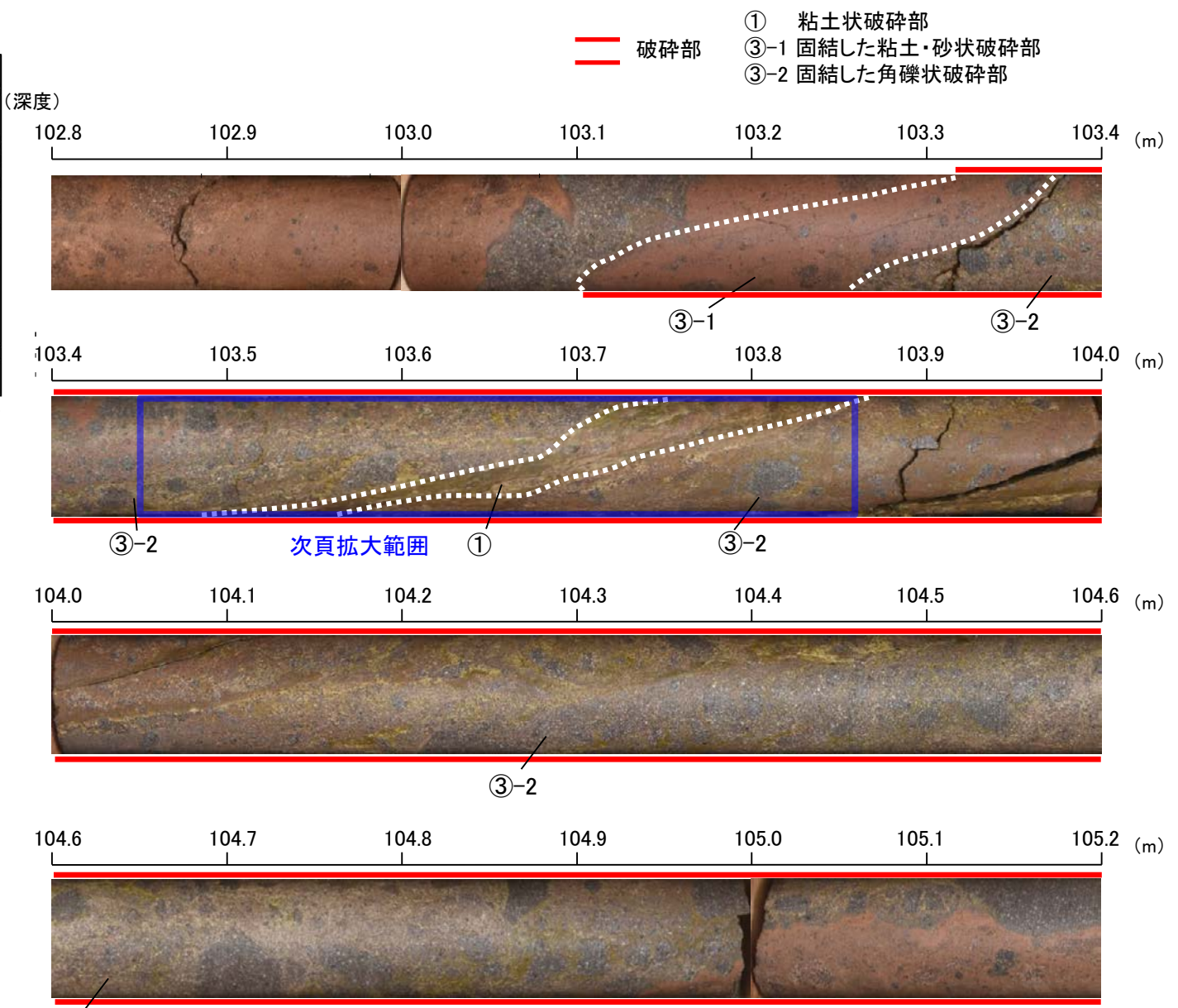


位置図

矢印(↑)の向きは断層の傾斜方向を示す



①-①'断面図

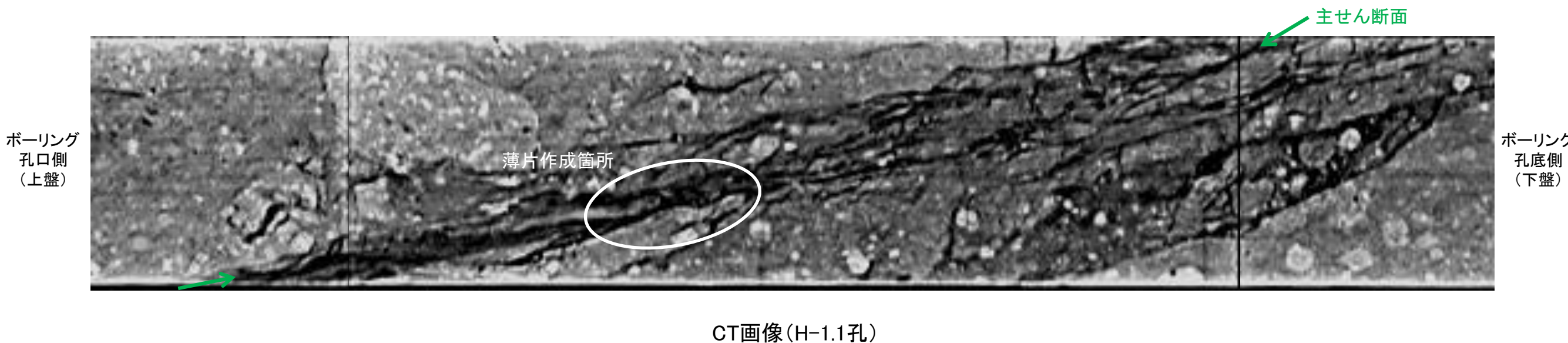


コア写真(H-1.1孔, 破砕部区分を加筆)

**コア観察結果**  
 深度103.21~107.30m:  
 傾斜角65~80°の厚さ71cmの破砕部。厚さ67~70cmの固結した破砕部及び厚さ1.0~3.8cmの暗オリーブ色の粘土状破砕部からなる。

# K-2の運動方向調査結果 —H-1.1孔(コア観察, CT画像観察)—

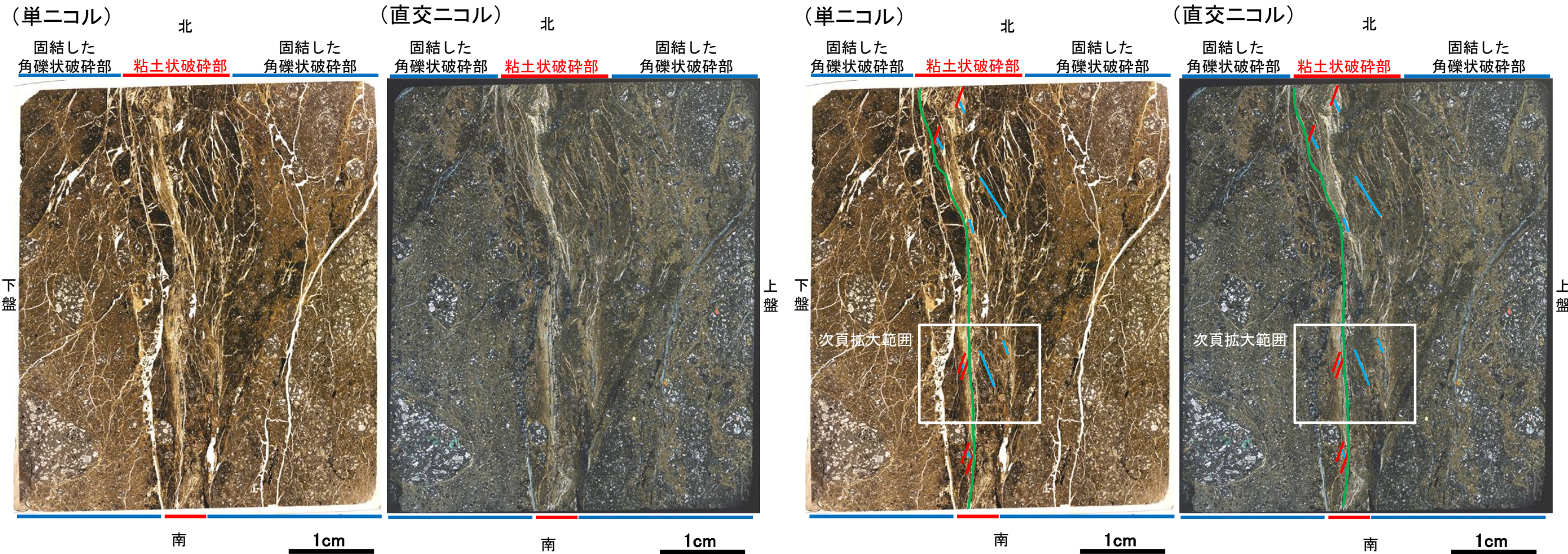
- コア観察, CT画像観察結果より, 固結した角礫状破碎部に挟まれた深度103.70m付近に, 厚さ1.0~3.8cmの粘土状破碎部が認められる。
- 粘土状破碎部を伴う比較的直線性・連続性がよい面を, 主せん断面として抽出した。
- 主せん断面において, 薄片観察を実施した。



# K-2の運動方向調査結果 —H-1.1孔(薄片観察①)—

- 主せん断面が密着しており、条線観察ができなかったことから、0° R, 90° Rの直交方向で薄片を作成した。
- 主せん断面において0° Rで作成した薄片観察の結果、下盤側から固結した角礫状破碎部、粘土状破碎部、固結した角礫状破碎部※に分帯される。
- 粘土状破碎部中にY面が認められる。このY面は、凹凸を伴いつつ湾曲し、直線性に乏しい。
- その他、薄片内にY面に相当する構造は認められない。

※分帯名はコア観察での破碎部区分に対応



薄片写真(H-1.1\_0R)  
(右は構造等を加筆)

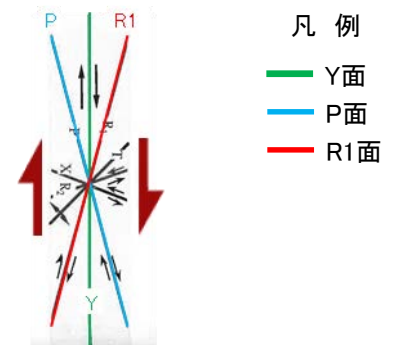
見かけ右横ずれ

## 薄片観察結果

**固結した角礫状破碎部(下盤側):**  
単ニコルで淡褐～暗褐色、直交ニコルで黄褐～暗褐色の干渉色を呈する。径12mm以下の岩片や鉱物片が細粒な基質中に含まれる。岩片、鉱物片は亜角～亜円形である。基質中や岩片の縁辺部には粘土鉱物が生成されている。

**粘土状破碎部:**  
単ニコルで暗褐色、直交ニコルで黄褐～暗褐色の干渉色を呈する。径3mm以下の岩片や鉱物片が細粒な基質中に含まれる。岩片、鉱物片は亜角～亜円形である。Y面付近や割れ目沿いには、単ニコルで無色透明～淡褐色、直交ニコルで白～黄色の干渉色を呈する粘土鉱物が生成されている。その他に、単ニコルで無色透明～淡褐色、直交ニコルで灰色～暗褐色を呈する鉱物脈が形成されている。

**固結した角礫状破碎部(上盤側):**  
単ニコルで淡褐～暗褐色、直交ニコルで黄褐～暗褐色の干渉色を呈する。径20mm以下の岩片や鉱物片が細粒な基質中に含まれる。岩片、鉱物片は亜角～亜円形である。基質中や割れ目、岩片の縁辺部には粘土鉱物が生成されている。

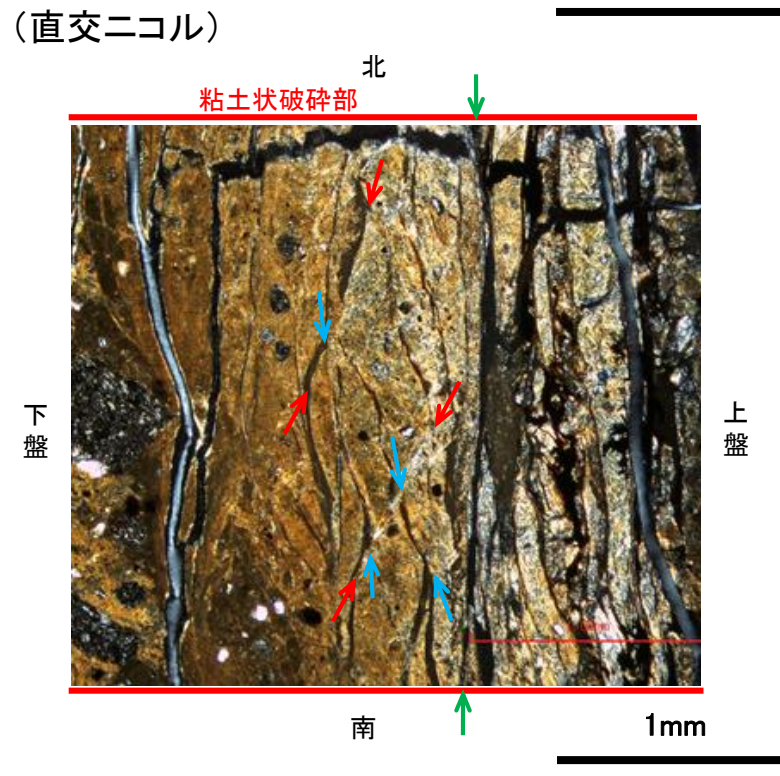
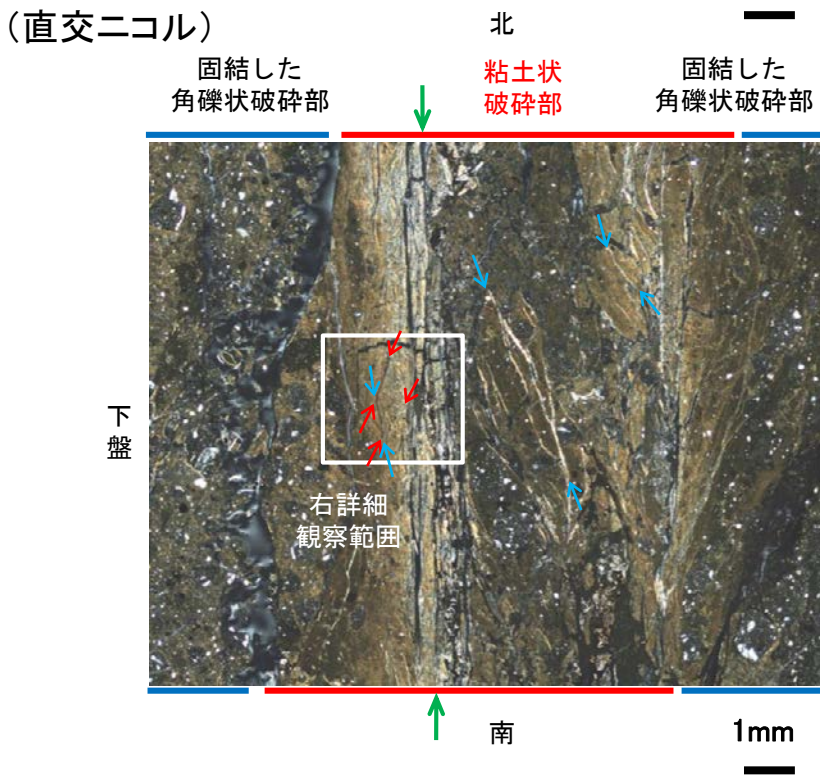
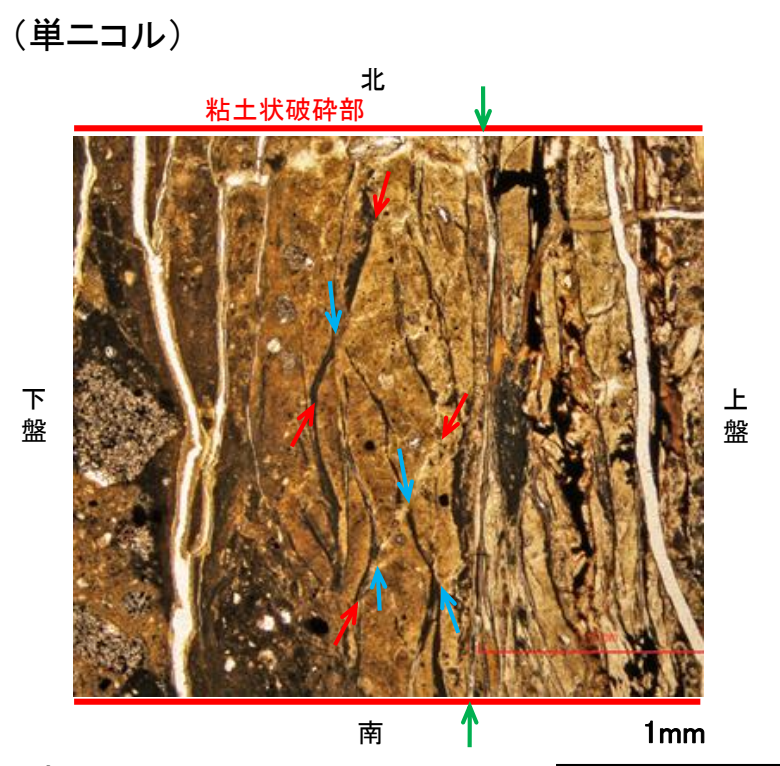
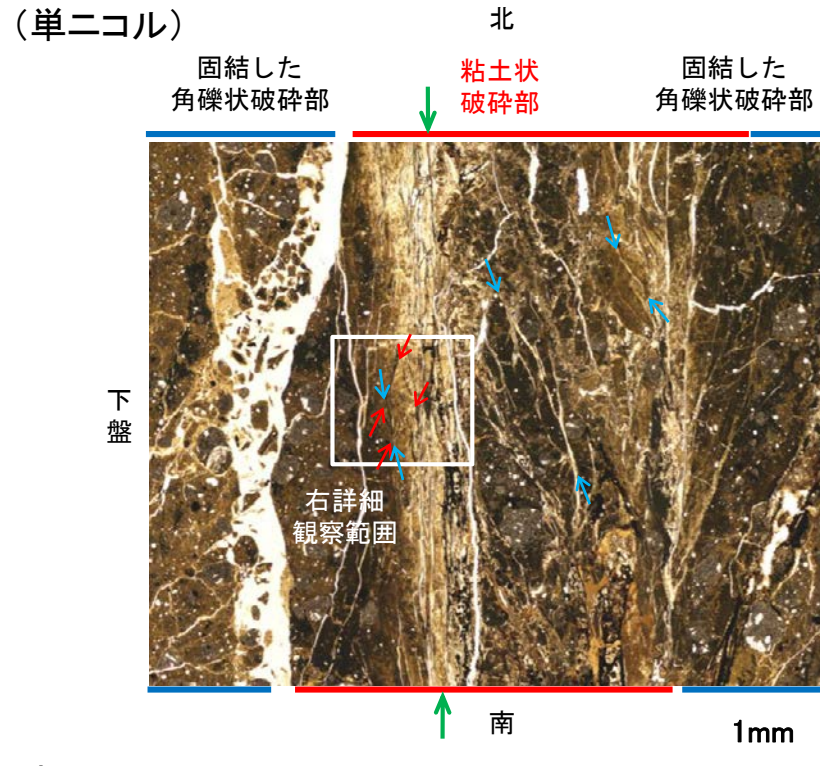


せん断センスを示す複合面構造  
(狩野・村田(1998)に加筆)

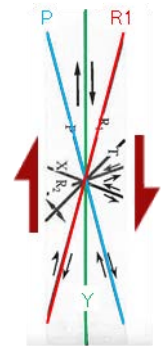


# K-2の運動方向調査結果 —H-1.1孔(薄片観察①, 詳細観察)—

- 固結した角礫状破碎部中には複合面構造は認められず、変位センスは特定できない。
- 粘土状破碎部中の粘土鉱物の定向配列をP面とし、粘土鉱物の配列を切断する微細な割れ目をR1面とすると、見かけ右横ずれの変位が推定される。
- 断層の走向傾斜がN21° E/80° SE, 薄片作成方向が0° Rであることから、粘土状破碎部の運動方向の水平成分は右横ずれである。



見かけ右横ずれ



せん断センスを示す複合面構造 (狩野・村田(1998)に加筆)

- 凡例
- ← Y面
  - ← P面
  - ← R1面

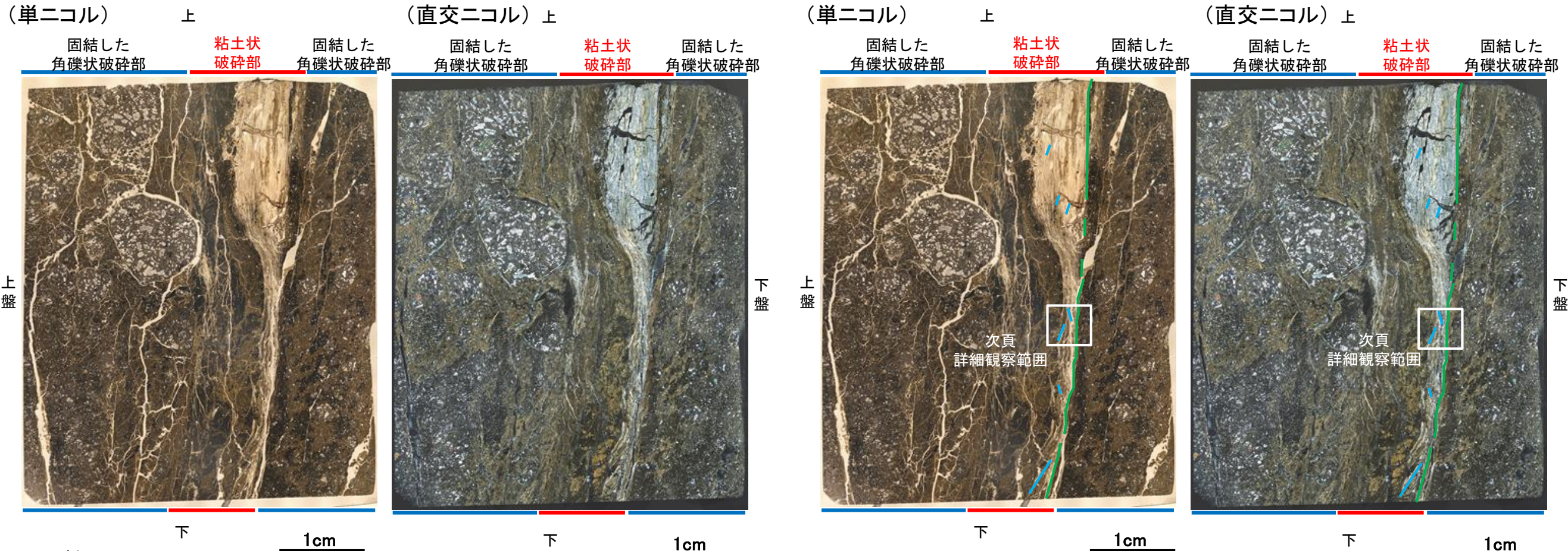
拡大範囲写真

詳細観察範囲写真

# K-2の運動方向調査結果 —H-1.1孔(薄片観察②)—

- 主せん断面において90° Rで作成した薄片観察の結果、上盤側から固結した角礫状破碎部、粘土状破碎部、固結した角礫状破碎部※に分帯される。
- 粘土状破碎部中にY面が認められる。このY面は、一部で鉱物脈によって切断され、断続的になり、連続性に乏しい。
- なおこの鉱物脈は、**補足資料2.4-2(2) P.2.4-2-26**のX線回折分析結果を踏まえると、オパールCTであると判断される。
- その他、薄片内にY面に相当する構造は認められない。

※分帯名はコア観察での破碎部区分に対応



凡例

- Y面
- P面

## 薄片観察結果

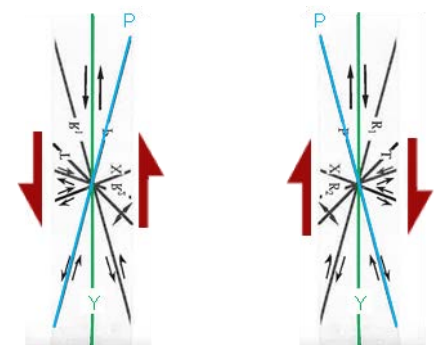
**固結した角礫状破碎部(上盤側):**  
単ニコルで暗褐色、直交ニコルで淡褐～暗褐色の干渉色を呈する。径15mm以下の岩片や鉱物片が細粒な基質中に含まれる。岩片、鉱物片は垂角～垂円形である。

**粘土状破碎部:**  
単ニコルで暗褐色、直交ニコルで黄褐～暗褐色の干渉色を呈する。径2mm以下の岩片や鉱物片が細粒な基質中に含まれる。岩片、鉱物片は垂角～垂円形である。Y面付近や割れ目沿いには、単ニコルで無色透明～淡褐色、直交ニコルで白～黄色の干渉色を呈する粘土鉱物が生成されている。その他に、単ニコルで無色透明～淡褐色、直交ニコルで灰～暗黒色を呈する鉱物脈が形成されている。

**固結した角礫状破碎部(下盤側):**  
単ニコルで暗褐色、直交ニコルで黄褐～暗褐色の干渉色を呈する。径3mm以下の岩片や鉱物片が細粒な基質中に含まれる。岩片、鉱物片の形状は垂角～垂円形である。基質中や岩片の縁辺部には粘土鉱物が生成されている。

薄片写真(H-1.1\_90R)  
(右は構造等を加筆)

見かけ上盤側下がり 見かけ上盤側上がり



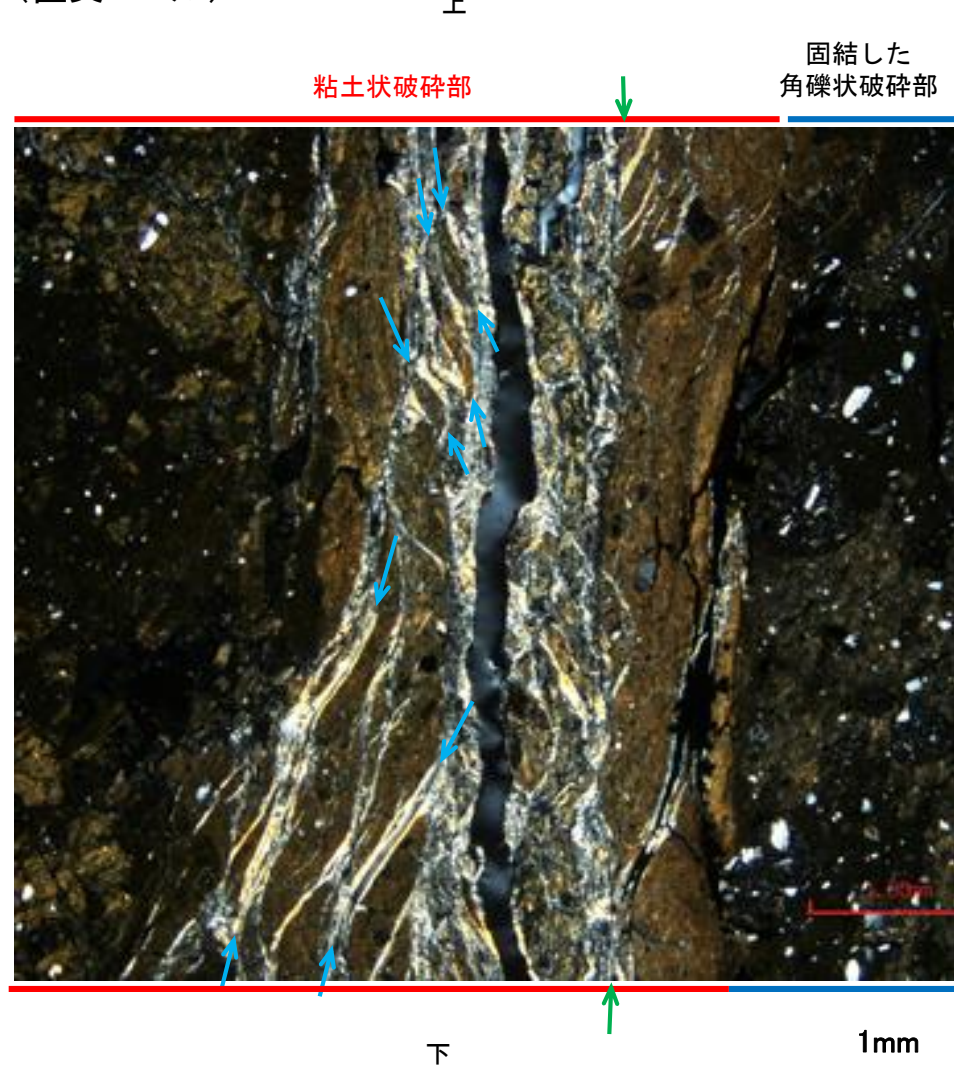
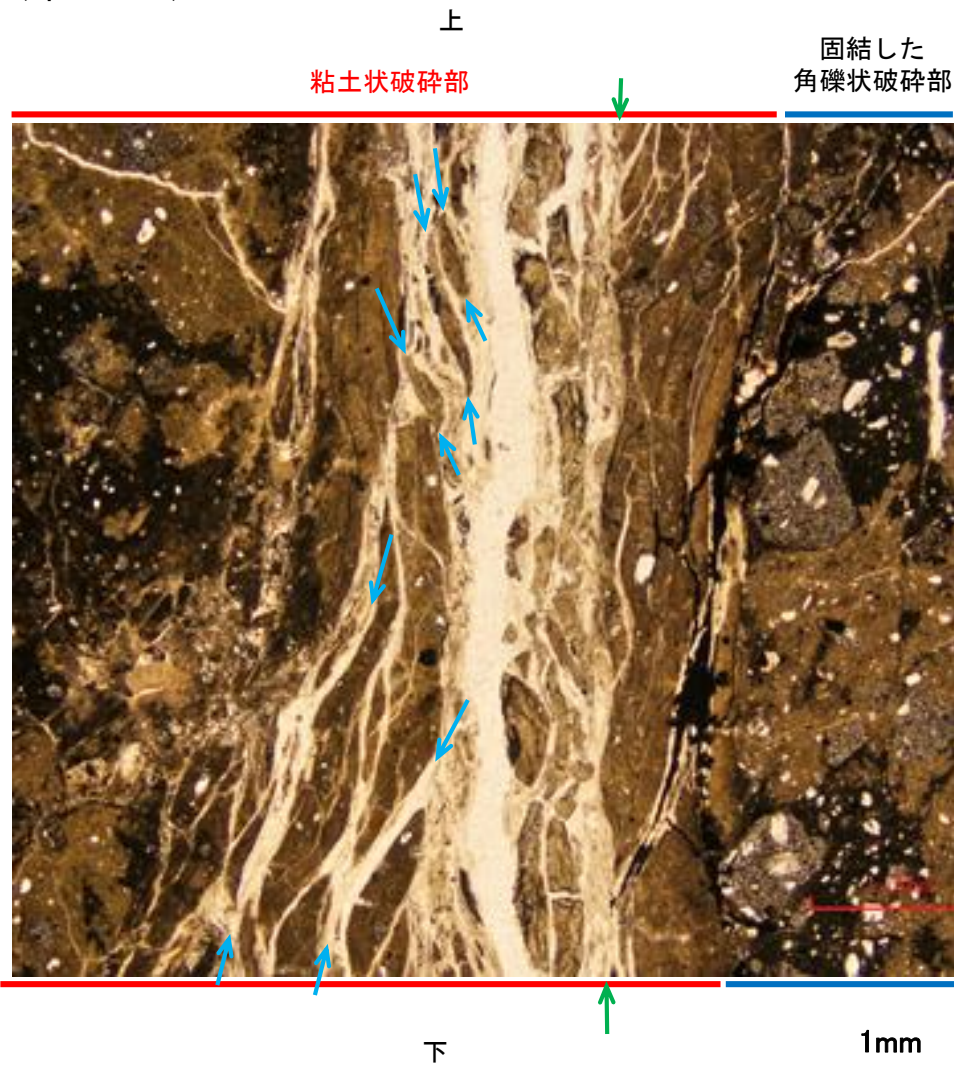
せん断センスを示す複合面構造  
(狩野・村田(1998)に加筆)

# K-2の運動方向調査結果 —H-1.1孔(薄片観察②, 詳細観察)—

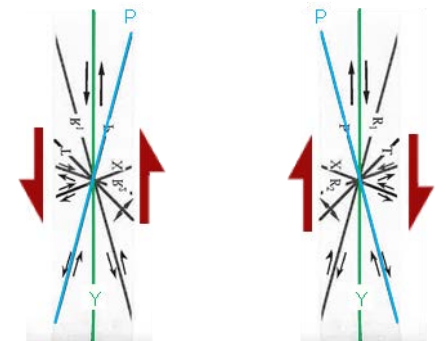
○固結した角礫状破碎部中には複合面構造は認められず、変位センスは特定できない。  
○粘土状破碎部中の岩片や粘土鉱物の定向配列をP面とすると、見かけ上盤側上がり及び見かけ上盤側下がりの二つの異なる変位センスを読み取ることができる。これらは前後関係が不明であり、最新の運動方向を特定できない。

(単ニコル)

(直交ニコル)



見かけ上盤側下がり 見かけ上盤側上がり

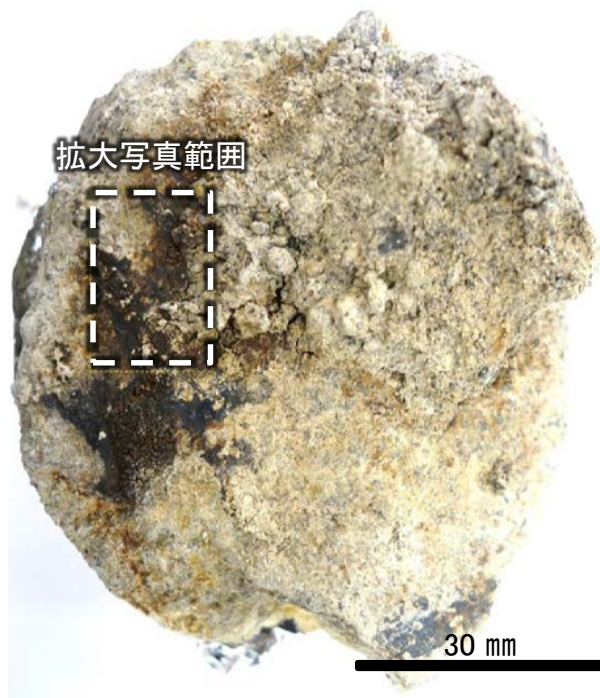


せん断センスを示す複合面構造  
(狩野・村田(1998)に加筆)

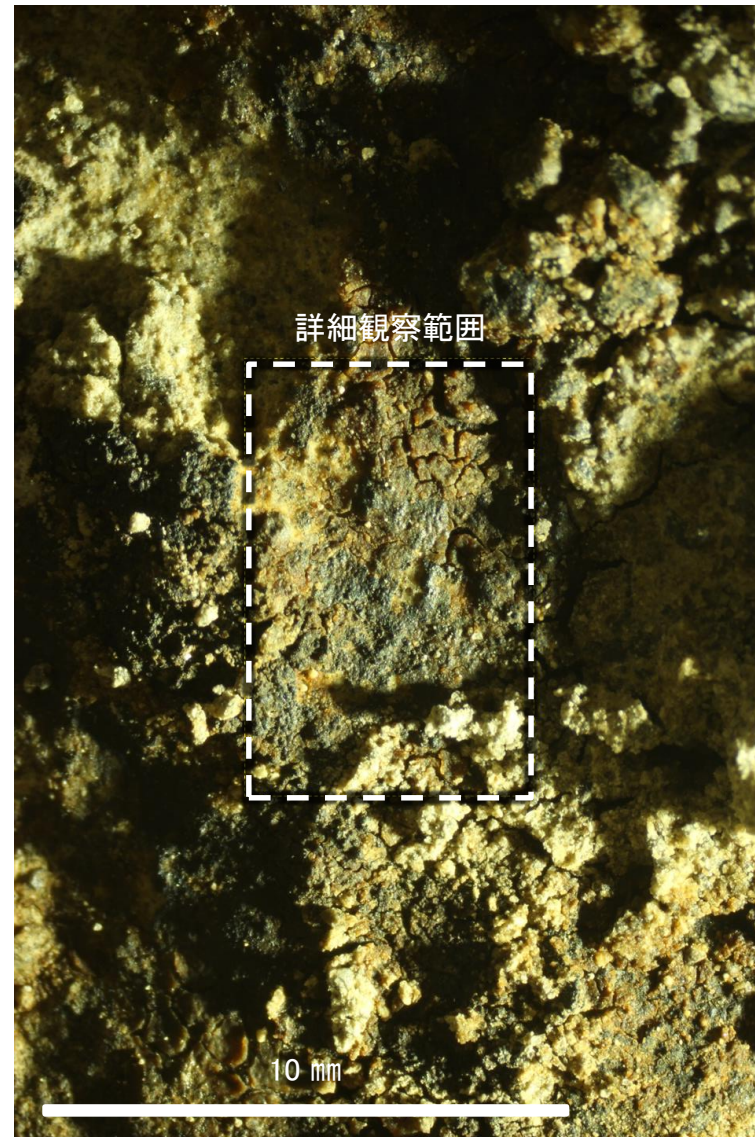
凡例

- Y面
- P面

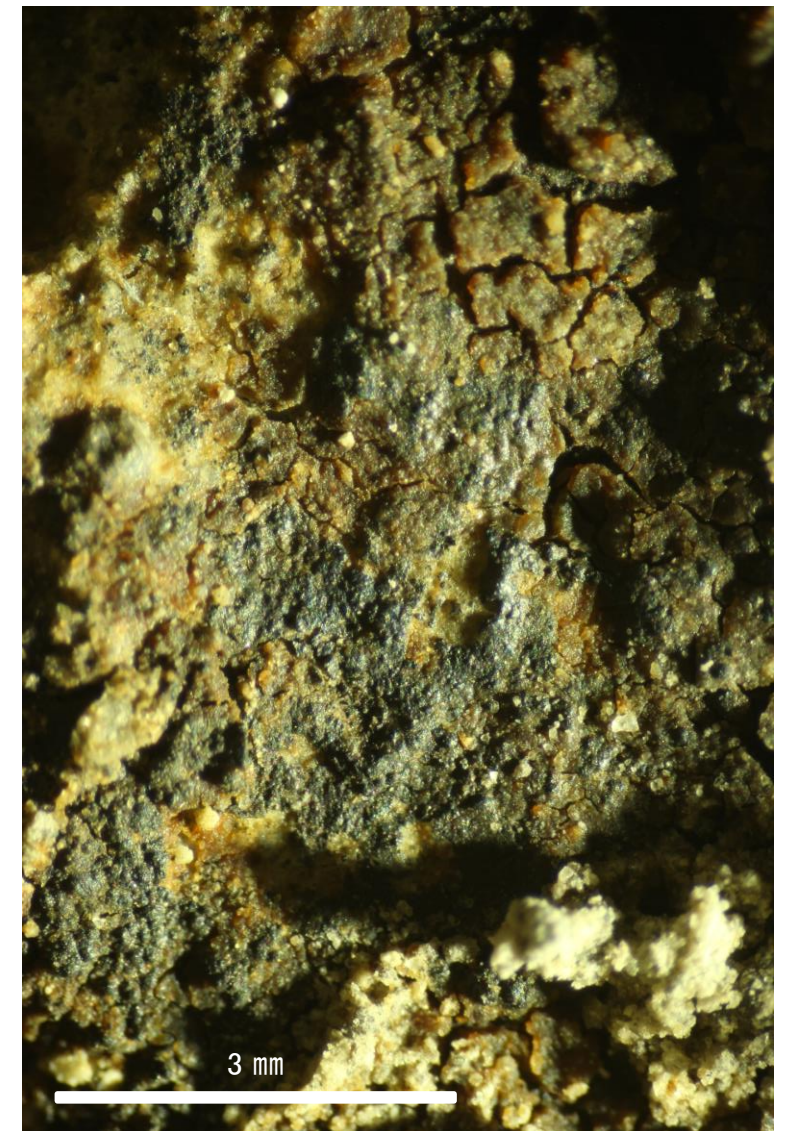
詳細観察範囲写真



観察面写真



観察面拡大写真

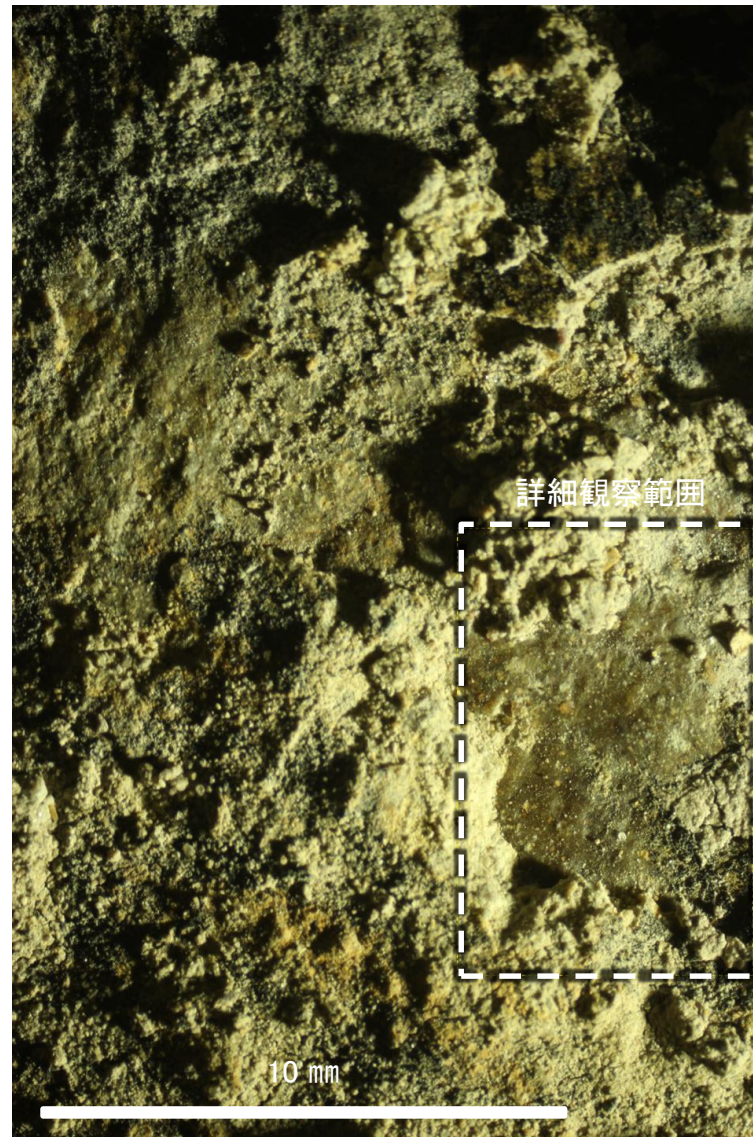


詳細観察写真

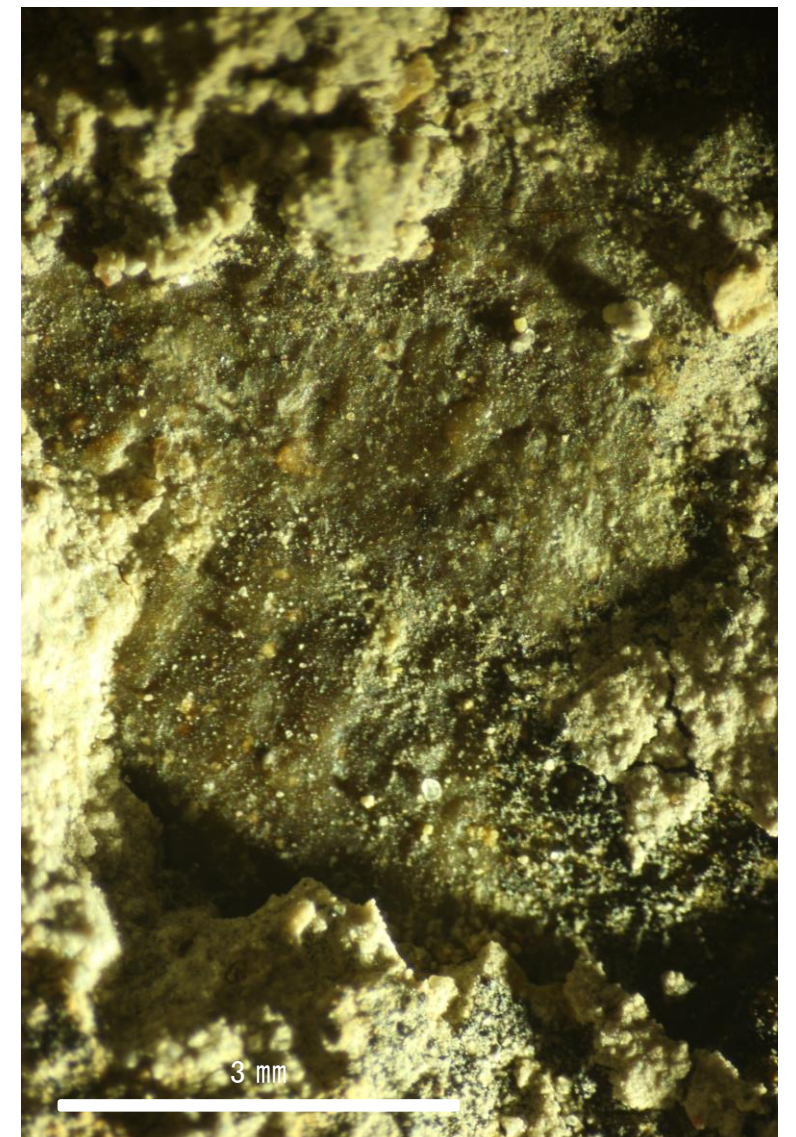
・条線，変位センスは不明



観察面写真



観察面拡大写真



詳細観察写真

・条線，変位センスは不明